LIXIVIATION DE LA CHALCOPYRITE EN MILIEU CHLORURE :

CONTRIBUTION A L'ETUDE DE LA CINETIQUE

ET DU MECANISME DE LA REACTION

EN VUE D'UNE MISE EN OEUVRE INDUSTRIELLE

- Michel BONAN -



### RESUME

La chalcopyrite (CuFeS<sub>2</sub>) est à l'heure actuelle le principal minerai sulfuré pour l'obtention du cuivre. Une revue bibliographique fait apparaître la diversité des agents chimiques utilisés ou proposés pour la lixiviation des sulfures de cuivre. Mais le seul problème n'est pas de dissoudre la chalcopyrite : il faut encore séparer et purifier le cuivre dissous ; l'ensemble de ces étapes compose un procédé hydrométallurgique. Les principaux procédés de traitement de la chalcopyrite sont décrits et l'accent est particulièrement mis sur ceux en milieu chlorure, qui ont l'intérêt de limiter l'oxydation du soufre du sulfure à l'état élémentaire.

Les investigations concernant la lixiviation en milieu CuCl<sub>2</sub> sont rares dans la littérature. La réaction s'écrit pour la chalcopyrite :

Cu Fe S<sub>2</sub> + 3 Cu(II) 
$$\longrightarrow$$
 4 Cu(I) + Fe(II) + 2S°.

Il a donc paru intéressant d'étudier ce milieu, d'autant plus qu'il est utilisé dans plusieurs procédés industriels. L'étude a tout d'abord porté sur le couple Cu(II)/Cu(I) en milieu concentré en chlorure de sodium, concernant les courbes intensité-potentiel et la thermodynamique des solutions de chlorocomplexes de cuivre.

Deux types de cellules ont été utilisées dans le cadre de l'étude de la lixiviation et les principaux paramètres mis en évidence ont été les suivants : le potentiel de la solution qui est à la fois fonction du rapport  $\frac{\text{Cu(II)}}{\text{Cu(I)}}$  et de la concentration en chlorure (NaCl et CaCl $_2$  ont été utilisés comme source d'ions chlorure), la température et la granulométrie. Parmi les divers modèles proposés pour décrire la cinétique observée, ceux du type diffusionnel, supposant que l'étape limitative est la diffusion des espèces à travers une couche de produit non poreux formée au cours de la réaction, correspondent le mieux aux résultats observés à température supérieure à 85°C. L'étude de la phase solide et quelques expériences complémentaires sont venues confirmer cette idée.

### TABLE DES MATIERES

### INTRODUCTION

<ul> <li>A - Les sources de cuivre : la chalcopyrite</li> <li>B - L'hydrométallurgie : définition et place</li> <li>C - Généralités concernant les mécanismes de lixiviation</li> </ul>	1 2 3
I - REACTIONS DE MISE EN SOLUTION ET ELECTROCHIMIE DES SULFURES META	LLIQUES 7
A - Les principaux agents de lixiviation des sulfures métalliq a. Attaque par un acide b. Attaque par un oxydant en milieu non complexant c. Attaque par un complexant seul d. Attaque par un oxydant en milieu complexant	jues 7
B - Electrochimie des sulfures métalliques et lixiviation par poudres métalliques a. Mécanismes électrochimiques et diffusion dans les s métalliques b. Réduction de la chalcopyrite par les poudres métall	27 sulfures
II - PROCEDES HYDROMETALLURGIQUES DE TRAITEMENT DE LA CHALCOPYRITE	34
A - Procédés menant à la mise en solution du cuivre sous forme sulfate	e de 34
<ul> <li>a. Procédés utilisant des oxydants "puissants"</li> <li>b. Procédés utilisant l'oxygène sous pression</li> <li>B - Procédés en milieu chlorure</li> <li>a. Procédés basés sur une lixiviation par le chlorure</li> <li>b. Procédés basés sur une lixiviation par le chlorure</li> <li>c. Procédés basés sur deux types de lixiviation</li> <li>d. Comparaison de quelques procédés en milieu chlorure</li> <li>e. Conclusion</li> </ul>	cuivrique
III - MILIEU ET CONDITIONS EXPERIMENTALES	59
<ul> <li>A - Choix du milieu</li> <li>B - Minerai étudié</li> <li>C - Montages expérimentaux et déroulement des manipulations</li> </ul>	59 60 63
IV - MODELISATION DE LA CINETIQUE DE LIXIVIATION	69
A - Modèles proposés a. Modèle de dissolution b. Modèles de diffusion	69
<ul> <li>B - Modèles particuliers</li> <li>C - Comparaison des divers modèles : limitation par une couche soufre à température supérieure à 85°C</li> </ul>	79 e de
V - MECANISMES ELECTROCHIMIQUES DE LA REACTION : ROLE DU POTENTIEL	85
<ul> <li>A - Courbes intensité-potentiel des réactions mises en jeu et courant d'échange</li> </ul>	85

	B - Potentiel redox de la solution : aspects thermodynamique et cinétique	90
	a. Aspect thermodynamique b. Influence du potentiel redox de la solution sur la ciné-	
	tique de lixiviation	
	c. Conclusion	
VI	- INFLUENCE DE CERTAINS PARAMETRES ET DISCUSSION DE LA MODELISATION	
	PROPOSEE	114
	A - Influence de certains paramètres	114
	a. Température	
	b. Granulométrie	
	B - Discussion de la modélisation proposée	123
	a. Observation de la phase solide	
	b. Manipulations complémentaires et discussion de la modélisa-	
	tion proposée. CONCLUSION	133
	BIBLIOGRAPHIE	135
	ANNEXE 1 : Programme de traitement des données	а
	ANNUAU 0 . C. 1 1 . the residence of concernant la livinistion de la	
	ANNEXE 2 : Calculs thermodynamiques concernant la lixiviation de la	J

### Liste des figures et photos

Figure 1	Diagramme Cu-Fe-S à 200°C
Figure 2	Lixiviation de la chalcopyrite suivant un modèle de dissolution
Figures 3 a et b	Résultats de la percolation d'une solution d'eau de chlore à tra- vers une colonne contenant de la chalcopyrite.
Figure 4	Procédé cyclique de lixiviation à pH contrôlé de minéraux cuprifères
Figure 5	Diagramme de POURBAIX pour le système Cu -Fe-S-H <sub>2</sub> O à 25°C
Figure 6	Relation entre l'énergie d'activation et le rayon des espèces diffusantes dans la chalcopyrite
Figure 7	Schéma du modèle électrochimique de réaction pour le système Cu FeS <sub>2</sub> -Cu-H <sup>+</sup> •
Figure 8	Procédé de traitement de concentrés de cuivre par l'acide nitrique
Figure 9	Procédé de traitement de concentrés de cuivre par le bichromate
Figure 10	Version initiale du procédé ARBITER de traitement de concentrés de cuivre en milieu ammoniacal
Figure 11	Procédé de traitement de la chalcopyrite par l'oxygène sous pression en milieu sulfurique
Figure 12	Procédé du Bureau of Mines de traitement de la chalcopyrite
Figure 13	Procédé de traitement de concentrés sulfurés de cuivre par le chlorure ferrique de la société COMINCO
Figure 14	Procédé de traitement de concentrés de cuivre par le chlorure ferrique du N.I.M. de Johannesburg
Figure 15	Schéma du procédé DU PONT DE NEMOURS en milieu chlorure cuivrique
Figure 16	Porcédé PENNAROYA de traitement de minéraux cuprifères en milieu chlorure cuivrique
Figure 17	Procédé SHERRIT-GORDON de traitement de la chalcopyrite en milieu chlorure
Figure 18	Seconde version du procédé CYMET de traitement de la chalcopyrite
Figure 19	Seconde version du procédé DUVAL (CLEAR) de traitement de concentrés de cuivre
Photos 20	Echantillon du minerai étudié

igure 21	Schéma du premier dispositif expérimental
igure 22	Schéma du second dispositif expérimental
igure 23	Cinétique de mise en solution de Cu et Fe par électrooxydation
igures 24 et 24bis	Courbes représentatives des divers modèles en fonction de $\alpha$
igure 25	Droites représentatives des divers modèles
igure 26	Allure supposée des courbes intensité-potentiel de la chalcopyrite et de $Cu(II)/Cu(I)$
igure 27	Montage potentiostatique utilisé pour le tracé des courbes i-E du couple Cu(II)/Cu(I)
igures 28 et 28bis	Courbes intensité-potentiel du couple Cu(II)/Cu(I)
igure 29	Schéma du dispositif expérimental utilisé par KAMETANI
igures 30 et 30bis	Oxydation de la chalcopyrite, de la pyrite et d'un concentré en fonction du potentiel
igures 31 et 31bis	Résultats de SUCHA et URNER concernant $E = f( C1^- )$
igures 32 et 32bis	Relation observée entre potentiel redox et concentration en chlorure
igure 33	Décroissance du temps de réaction en fonction du potentiel (à pour- centage de dissolution fixé)
igure 34	Le logarithme de la constante K est une fonction linéaire du 'potentiel redox de la solution
igure 35	Influence du rapport $Cu(II)/Cu(I)$ sur la cinétique de lixiviation
igures 36 et 36bis	Influence de la concentration en NaCl et CaCl $_2$ sur la cinétique de lixiviation
igure 37	Influence de la température sur la cinétique de lixiviation
igure 38	Influence de la température sur l'énergie d'activation de la réaction de lixiviation
igure 39	Influence de la granulométrie sur la cinétique de lixiviation
igure 40	Relation entre les constantes cinétiques de diffusion et le carré de la granulométrie moyenne
igure 41	Observation à la microsonde de minerai partiellement recouvert de soufre
igure 42	Observation à la microsonde de minerai totalement recouvert de soufre
igure 43	Observation du dépôt de soufre par microsonde à balayage électronique
igure 44	La dissolution intermédiaire du soufre augmente la cinétique de lixiviation

### Liste des tableaux

- Tableau l Mécanismes de la lixiviation de divers sulfures de cuivre en milieu sulfate.
- Tableau 2 Potentiel de repos de divers minéraux dans différents milieux
- Tableau 3 Comparaison de quelques procédés en milieu chlorure.
- Tableau 4 Comparaison de divers modèles
- Tableau 5 Constantes de formation de chlorocomplexes cuivreux et cuivriques à 25°C.

-:-:-:-:-:-:-:-

#### INTRODUCTION

#### A. les sources du cuivre : la chalcopyrite

Le cuivre est actuellement un des métaux les plus utilisés dans de nombreux secteurs industriels. Son cours est d'ailleurs souvent pris comme indicateur de l'activité économique. Et il est actuellement nécessaire de prendre en compte deux types de considérations : d'une part, s'efforcer de trouver de nouvelles ressources et, d'autre part, faire en sorte que le coût du traitement du minerai pour l'obtention du métal rende le prix de ce dernier compétitif et soit donc le plus faible possible.

Les ressources en cuivre sont actuellament fort diverses :

- le cuivre natif, qui ne représente plus qu'une part infime des ressources mondiales ; par contre, le cuivre récupéré des déchets prend, à la suite des mesures visant à économiser les matières premières et à lutter contre la pollution, une part croissante.

- les oxydes : . carbonatés 
$$\left[ \text{azurite } \text{Cu}_3(\text{OH})_2(\text{CO}_3)_2, \right]$$
 malachite  $\text{Cu}_2(\text{OH})_2\text{CO}_3 \right]$  . silicatés  $\left[ \text{chrysocolle Cu SiO}_3, 2\text{H}_2\text{O} \right]$  . simples  $\left[ \text{cuprite Cu}_2\text{O}, \text{ ténorite CuO} \right]$ 

Ils représentent une part importante des sources actuelles de cuivre et sont d'autant plus intéressants qu'ils sont en général mis en so-lution par une simple solution d'acide sulfurique. Dans les nodules de manganèse, le cuivre semble également être sous forme oxydée, mais les traitements proposés sont beaucoup plus complexes dans la mesure où d'autres espèces intéressantes à récupérer lui sont associées.

- les sulfures : . simples 
$$\left\{\text{chalcocite Cu}_2S, \text{ covellite CuS,} \right.$$
 digénite  $\left\{\text{Cu}_9S_5\right\}$  . sulfo-arséniures  $\left\{\text{énargite Cu}_9AsS_4, \right.$  tenantite  $\left\{\text{Cu}_{12}AsS_{13}\right\}$  . bimétalliques  $\left\{\text{chalcopyrite Cu Fe S}_2, \right\}$  cubanite  $\left\{\text{Cu Fe}_2S_3, \right\}$  bornite  $\left\{\text{Cu}_5FeS_4\right\}$ 

Le nombre important de sulfures de cuivre et de fer entraine une grande complexité au niveau du diagramme Cu.Fe.S représenté sur la figure 1, tel qu'il a été proposé par YUND et KULLERUD (1). Ils représentent actuellement la source essentielle de cuivre et leur place devrait encore croître au cours des prochaines années dans la mesure où le cuivre dans les minerais pauvres ou complexes, tels que les amas pyriteux qui seront de plus en plus exploités dans les années à venir, est sous forme de sulfure, généralement de chalcopyrite. Cela explique l'intérêt porté à la compréhension des mécanismes de lixiviation de ce minéral ainsi qu'aux procédés industriels de son traitement.

La chalcopyrite est un sulfure double de cuivre et de fer. La forme naturelle  $\alpha(\text{Cu Fe S}_2)$  a une structure quadratique de paramètres cristallins de 5,25 et 10, 32 Å . Lorsque la chalcopyrite naturelle est chauffée sous azote à haute température, elle donne, suivant les conditions, la chalcopyrite  $\beta$  de structure cubique, Cu Fe S $_{1,82}$  ou la chalcopyrite  $\gamma$  de structure quadratique, Cu Fe S $_{2-x}$ , où x peut prendre un large éventail de valeur.

Les formes allotropiques  $\beta$ ety sont donc toutes deux déficientes en soufre par rapport à la chalcopyrite  $\alpha$ . Celle-ci pure contient 34,6 % de cuivre, 30,4 % de fer et 35% de soufre.

Des mesures magnétiques ont prouvé que, dans le réseau, le cuivre serait à l'état d'oxydation un, alors que le fer serait à l'état trois. HABASHI (2) propose ainsi de représenter la chalcopyrite par la formule (Cu<sub>2</sub> S, Fe<sub>2</sub> S<sub>3</sub>). Les liaisons dans la maille sont plutôt de type métallique, ce qui explique le fait que la chalcopyrite soit un semi-conducteur, dont la conductibilité est de  $0.021~\Omega$  cm  $^{-1}$  (3), alors que le cuivre a certes une conductibilité de  $6.10^5~\Omega$  cm , mais celle du soufre ou de la silice est inférieure à  $10^{-14}~\Omega$  cm . La largeur de la zone interdite 0,53 eV, a justement confere ce caractère de semi-conducteur à la chalcopyrite (4). La densité en est comprise entre 4,1 et 4,3. La chaleur spécifique passe de 22,9 cal/mole. degré à 25°C, à 24,8 cal/mole. degré à  $100^{\circ}$ C. (5)

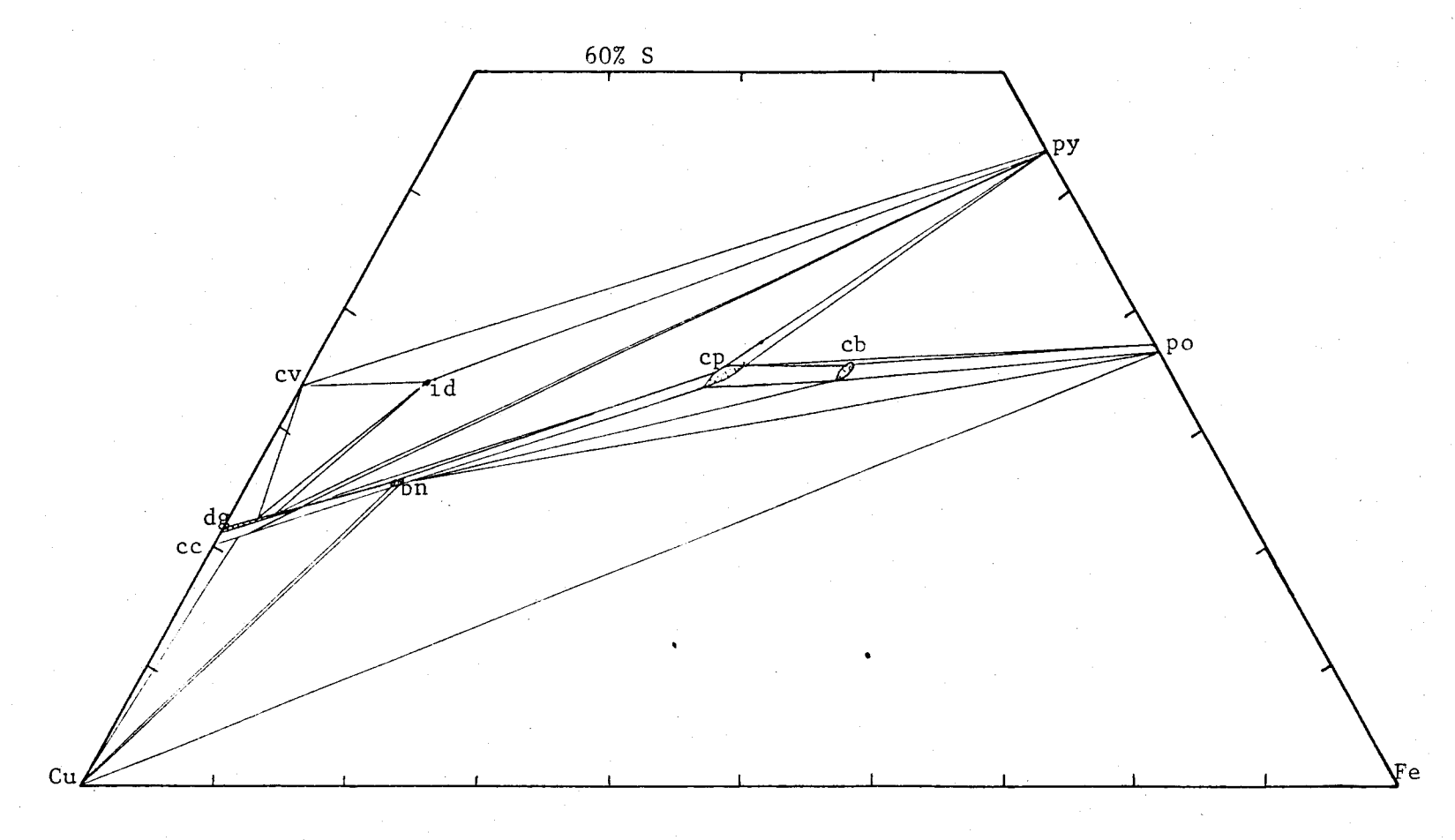


FIGURE - 1 - Diagramme Cu - Fe - S d'après YUND et KULLERUD (1) à 200°C

```
bn bornite (Cu<sub>5</sub> Fe S<sub>4</sub>)
```

cb cubanite (Cu Fe<sub>2</sub>S<sub>3</sub>)

cc chalcocite (Cu<sub>2</sub>S)

cp chalcopyrite (Cu Fe S<sub>2</sub>)

cv covellite (Cu S)

dg digénite (Cu<sub>1,8</sub>S)

id idaite ( $Cu_{11}Fe_2S_{13}$ )

po pyrrhotite ( $Fe_{1-x}S$ )

py pyrite (Fe S<sub>2</sub>)

Concernant l'enthalpie et l'enthalpie libre de formation de la chalcopyrite, KING, MAH et PANKRATZ (5), d'une part, et PEMSLER et WAGNER (6), d'autre part, donnent des résultats relativement proches:

	Δ G <sub>CuFeS2</sub> (298 K) cal/mole	Δ H <sub>CuFeS<sub>2</sub></sub> (298 K) cal/mole
(5)	- 45,55	- 45,50
(6)	- 42,80	- 42,12

#### B. L'hydrométallurgie : définition et place

L'extraction du cuivre à partir de ses sulfures a traditionnellement été éffectuée par voie pyrométallurgique: dans une première étape, le concentré est fondu et partiellement exydé de façon à en ôter la gangue ainsi qu'une partie du fer et du soufre, puis, dans une seconde étape, la matte, contenant cuivre, fer et soufre, est oxydée pour en éliminer le fer et le soufre. Le problème important est celui de la pollution, car le soufre est éliminé sous forme de SO<sub>2</sub>.

Face à cette situation, le traitement des minerais par voie humide est appelé à prendre une place grandissante pour plusieurs raisons :

- les normes de plus en plus sévères imposées en matière de pollution entraînent des coûts supplémentaires pour les procédés pyrométallurgiques.
- l'hydrométallurgie présente l'intérêt de pouvoir être utilisée dans des unités de faible capacité, contrairement à la pyrométallurgie qui nécessite des investissements importants et donc, de gros tonnages.
- les minerais traités à l'heure actuelle sont de plus en plus complexes, cussi la récupération de tous les sous-produits s'avère-t-elle capitale du point de vue économique. Or l'hydrométallurgie est seule capable d'être sélective et de permettre la récupération des sous-produits dans le cadre même du procédé.

Si la place de l'hydrométallurgie n'est pas, à l'heure actuelle, plus importante sur le marché de la production du cuivre à partir de minerais riches ou de concentrés de flotation, titrant plus de 20% de cuivre, c'est que le coût en est encore relativement élevé. Toutefois une part non négligeable du cuivre est produite par voie hydrométallurgique : la lixiviation en tas de minerais de très faible teneur (inférieure à 1% de cuivre) permet, par circulation d'une solution oxydante de sulfate ferrique, en général, pour les sulfures, ou d'une solution simplement acide pour les oxydes, de récupérer des quantités non négligeables de cuivre aux Etats-Unis ; cette méthode est également très utilisée pour l'uranium. En ce qui concerne le traitement des concentrés, le nombre de procédés proposés au cours des cinq dernières années est très élevé; dans le cas du cuivre, plusieurs sont actuellement au niveau du pilote mais aucun n'est encore passé au stade industriel.

Au niveau d'un procédé hydrométallurgique de traitement de minerais, trois étapes essentielles sont à distinguer :

- la mise en solution du minerai ou lixiviation (leaching en Anglais)
- la séparation des espèces métalliques ( ou purification de la solution)
  - la récupération du métal.

L'application, au cours de ces dix dernières années, de l'extraction liquide-liquide à l'hydrométallurgie, a permis de faire de grands progrès au niveau de la séparation. Bien que, au niveau de la lixiviation, les méthodes mises en oeuvre soient relativement classiques, les problèmes demeurent nombreux, dus en particulier à la complexité des minéraux et de leur étude.

La compétition existant actuellement entre procédés pyro- et hydrométallurgiques se retrouve pour le problème du traitement des nodules de manganèse où les diverses solutions proposées utilisent l'une ou l'autre des deux voies, ou même une combinaison des deux.

### C. Généralités concernant les mécanismes de lixiviation

La théorie générale de la dissolution des solides dans les liquides (taux de dissolution proportionnel à la surface solide) ne s'applique que rarement à la lixiviation des minerais sulfurés.

WOODCOCK (7) propose un mécanisme électrochimique, assez analogue à celui de la corrosion : certains sites sont anodiques et sont les sites de la dissolution du minerai, d'autres, cathodiques et l'oxydant y est réduit. La réduction se produirait ainsi dans des sites préférentiels, dont le nombre reste constant pendant l'oxydation : ils se trouvent en général dans les défauts de la maille.

Dans cet esprit, GERLACH, PAWLEK et col (3) ont tenté de relier l'aptitude à la lixiviation à certains paramètres ; distance entre mailles élémentaires, conductibilité. Certains résultats tels que l'accroissement du taux de lixiviation de la sphalérite par l'intermédiaire d'un rayonnement ultra-violet qui en augmente la conductibilité vont dans le sens d'un modèle électrochimique.

Par ailleurs, d'autres auteurs ont étudié ces réactions sous l'aspect de la cinétique héterogène. Ainsi le mécanisme de lixiviation comprend, selon BALBERYSZSKI (8), cinq étapes :

- transport des réactifs de la solution à l'interface solideliquide,
  - adsorption des réactifs sur solide.
  - réaction à la surface.
  - désorption des produits solubles.
- transport des produits solubles de la surface du solide au sein de la solution.

La lixiviation avec les solutions aqueuses se fait à température relativement basse : les aspects cinétiques des réactions ont alors une grande importance. Les processus pouvant imposer la cinétique sont, selon FORWARD et WARREN (9), les suivants :

- le transport en solution des ions réagissant à la surface du solide, affecté par l'agitation
- la réaction chimique, caractérisée par une forte énergie d'activation (> 10 kcal) et non affectée par l'agitation
- la diffusion à travers une couche de produit insoluble formée à la surface du solide : la vitesse de réaction observée décroît alors de façon parabolique en fonction du temps et n'est pas influencée par l'agitation.

#### I - REACTIONS DE MISE EN SOLUTION ET ELECTROCHIMIE DES SULFURES METALLIQUES

Des revues bibliographiques sur ce sujet ont été effectuées, il y a une quinzaine d'années (7,9); plus récemment, WADSWORTH (10) ainsi que ROMAN et BENNER (11) ont fait le point sur le sujet, dont l'étude a encore progréssé depuis.

Diverses méthodes sont proposées pour la lixiviation des sulfures métalliques, toutes ne s'appliquent pas à la chalcopyrite :

- l'attaque par un acide, méthode suffisante pour la dissolution de la plupart des minerais oxydés.
  - l'attaque par un oxydant en milieu non complexant
  - l'attaque par un complexant seul
  - l'attaque par un oxydant en milieu complexant.
- la lixiviation bactérienne, proche de l'attaque oxydante, qui pose des problèmes d'un autre ordre que chimique, ne sera pas étudiée ici.
- la lixiviation réductrice en présence d'un métal qui conduit généralement à l'apparition d'une nouvelle phase plus aisément attaquable, les mécanismes mis en jeu se produisant au niveau du minéral et du métal.

#### A. Les principaux agents de lixiviation des sulfures métalliques

#### a) Attaque par un acide

Ce mode d'attaque ne concerne qu'un nombre limité de sulfures : alors que la sphalérite ZnS ou la pyrrhotite FeS sont solubles en milieu acide, la chalcopyrite semble l'être fort peu. La réaction, en présence des acides proposés pour cette réaction,  $H_2SO_4$  et HCl, s'écrit :

$$MS + 2H^{\dagger} \longrightarrow M^{2^{\dagger}} + H_2S$$

La formation de gaz sulfhydrique et la consommation d'acide, impossible à régénérer, sont les deux points faibles de cette réaction. En ce qui concerne la chalcopyrite, YU (12) n'a pas observé de réaction en milieu  $\rm H_2SO_4\,IN$  exempt d'oxygène, alors que, selon ICHIKUNI (13), il y a en milieu chlorhydrique formation de covellite suivant :

Cu Fe S<sub>2</sub> + 
$$2H^+$$
 — Cu S +  $Fe^{2^+}$  +  $H_2S$ 

La vitesse de la réaction est toutefois négligeable devant celle obtenue en présence d'air. ERMILOV (14) a profité de cette difficulté à dissoudre les sulfures de cuivre dans le cadre d'un procédé de traitement de concentrés de cuivre, plomb et zinc : seuls, ces deux derniers étaient mis en solution et les sulfures de cuivre ainsi concentrés étaient traités par une méthode adéquate.

De nombreuses autres réactions se déroulent en milieu acide : toutefois, le rôle des ions H n'est pas alors de cissoudre le minéral, mais d'éviter l'hydrolyse de composés oxydants tels que les ions ferriques.(15)

### b) Attaque par un oxydant en milieu non complexant

Il est le plus souvent avantageux de faire fonctionner les procédés industriels en continu; pour cela, il est nécessaire que la régénération des réactifs soit aisée : c'est un des critères de choix de l'oxydant. Les réactions où de l'acide est consommé, et où il devra par suite être réintroduit, seront distinguées ici de celles où l'oxydant est seul à réagir. L'ordre d'énumération choisi est celui correspondant aux valeurs décroissantes de potentiel redox

# α)Réactions consommant de 1'acide

# 1 - Cr (VI)

SHANTZ et MORRIS (16) ont étudié dans le cadre d'un procédé de traitement de concentrés sulfurés de cuivre, la lixiviation de la chalcopyrite par le bichromate de sodium. Deux réactions se produisent concouramment, l'une menant à la formation de sulfate, l'autre à celle de soufre, les ions sulfates étant présents initialement dans le milieu.

$$6\text{CuFeS}_{2} + 17 \text{ Cr}_{2}\text{O}_{7}^{=} + 142 \text{ H}^{+} \longrightarrow 6\text{Cu}^{2+} + 6\text{Fe}^{3+} + 34\text{Cr}^{3+} + 12\text{SO}_{4}^{=} + 71\text{H}_{2}\text{O}$$

$$6\text{CuFeS}_{2} + 5\text{Cr}_{2}\text{O}_{7}^{=} + 70 \text{ H}^{+} \longrightarrow 6\text{Cu}^{2+} + 6\text{Fe}^{3+} + 10\text{Cr}^{3+} + 12\text{S}^{\circ} + 35\text{H}_{2}\text{O}$$

La consommation d'oxydant et d'acide est beaucoup plus importante pour la réaction transformant le soufre du minéral en sulfate. L'un des buts de l'étude a donc été de la minimiser, tout en conservant un taux de récupération élevé du cuivre. Les conditions optimales définies par les auteurs sont les suivantes :

- température élevée : celle d'ébullition de la pulpe est la plus favorable dans la mesure où elle est la limite supérieure avant d'avoir à opérer sous pression.
- forte concentration en acide sulfurique de façon à éviter l'hydrolyse de la solution et à limiter la consommation de bichromate.
- faible concentration de Cr (VI) en solution, pour en limiter les pertes éventuelles.

## $2 - 0_2$ en milieu perchlorique

PETERS et LOEWEN (17) ont étudié la réaction à des températures comprises entre 105 et 140°C sur plusieurs sulfures de cuivre ; parmi eux, la chalcopyrite est le minéral le plus difficilement attaquable. La quantité d'oxygène consommé dans la réaction croît linéairement en fonction du temps. Il y a conjointement formation de soufre et de sulfate ; le soufre semble formé selon un mécanisme électrochimique, alors que le sulfate proviendrait d'une réaction chimique telle que :

Cu Fe S<sub>2</sub> + 
$$40_2$$
  $\longrightarrow$  Cu<sup>2+</sup> + Fe<sup>2+</sup> + 2SO<sub>4</sub>

La part de la réaction chimique croît quand l'acidité diminue et, audessus de 120°C, bien que le soufre fondu déposé sur les grains de minerai bloque la réaction, la formation de sulfate n'est guère affectée.

L'énergie d'activation de la réaction de lixiviation en milieu perchlorique 1M sous une pression de 5 bars d'oxygène est de 11,3 kcal/mole, alors
que celle de la production de sulfate est de 16 kcal/mole.

# $3 - 0_2$ en milieu sulfurique

Les réactions de formation de soufre et de sulfate sont toujours concurrentes ; ainsi DOBROKHOTOV et MAIAROVA (18) observent pour la lixiviation en autoclave de mattes sulfurées de cuivre, les deux réactions

$$Cu_2S + O_2 + 2H_2SO_4 \longrightarrow 2 Cu SO_4 + S^{\circ} + 2H_2O_4$$
 $Cu_2S + \frac{5}{2}O_2 + H_2SO_4 \longrightarrow 2 Cu SO_4 + H_2O_4$ 

La vitesse de la réaction est proportionnelle à la concentration de  $\rm H_2SO_4$  et à la racine carrée de la pression d'oxygène. La proportion de soufre élémentaire décroît lorsque la concentration en  $\rm H_2SO_4$ , la pression d'oxygène et la température sont augmentées.

La réaction globale semble se dérouler en deux étapes :

- tout d'abord, la réaction menant à la formation de soufre élémen-
- ensuite, la transformation du soufre élémentaire précédemment formé en sulfate.

Cette hypothèse est confirmée par les travaux de PETERS et MAJIMA (19) qui attribuent la formation de soufre élémentaire à un mécanisme électrochimique et celle de sulfate à un mécanisme chimique.

En ce qui concerne la chalcopyrite (20), la vitesse est également proportionnelle à l'acidité et à la racine carrée de la pression d'oxygène; bien que l'agitation influe peu sur la cinétique, la limitation semble provenir de la diffusion de l'oxygène, ce qui est confirmé par la faible énergie d'activation de la réaction : 7,2 kcal/mole. Le mécanisme suppose la formation d'un complexe activé, qui est détruit en ions cuivriques et ferreux, ces derniers étant ensuite leur tour oxydés en ions ferriques; quant au soufre, il est intégralement transformé en sulfate.

YU, HANSEN, et WADSWORTH (12) ont opéré entre 125 et 175°C à une pression d'oxygène comprise entre 5 et 30 bars. Ils ont observé qu'il y avait essentiellement formation de sulfate suivant la réaction:

4 Cu Fe S<sub>2</sub> + 17 O<sub>2</sub> + 
$$4H^{+}$$
  $\longrightarrow$   $4Cu^{2+}$  +  $4Fe^{3+}$  +  $8SO_{4}^{=}$  +  $2H_{2}O$ 

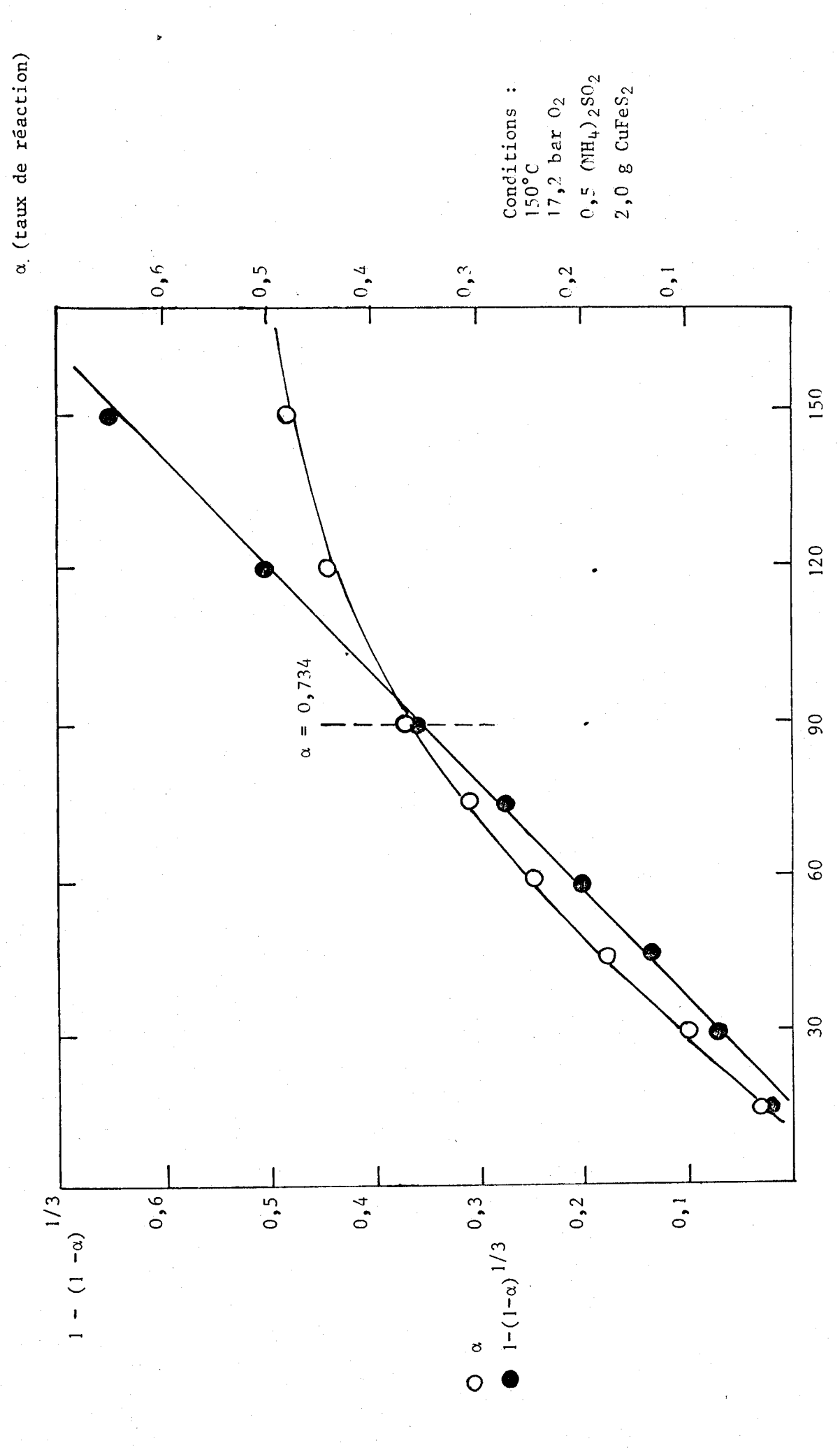


FIGURE 2 : Lixiviation de la chalcopyrite suivant un modèle de dissolution :  $1-(1-\alpha)^{1/3}$ est une fonction linéaire du temps, d'après les travaux de YU et col (12)

Ils sont d'accord avec WARREN (21) pour affirmer que la cinétique d'attaque est linéaire et donc contrôlée par une réaction de dissolution (fig. 2), qui serait précédée par l'adsorption d'oxygène dans les sites de corrosion. Le potentiel de la solution ne semble pas influer sur la cinétique bien que les auteurs insistent sur l'aspect électrochimique de la réaction. Par contre, VISZOLYI et col (22) ont observé, dans des conditions opératoires proches des précédentes (pression d'oxygène de 35 bars et température de 116°C), la transformation du sulfure essentiellement en soufre élémentaire suivant :

Cu Fe S<sub>2</sub> + 
$$H_2SO_4$$
 +  $\frac{5}{4}O_2$  +  $\frac{1}{2}H_2O$   $\longrightarrow$  Cu  $SO_4$  +  $Fe(OH)_3$  +  $2S^{\circ}$ 

A 200°C sous une pression partielle d'oxygène de 6 bars, STANCZYK et RAMPACEK (23) ont observé des mécanismes intéressants au niveau de la transformation des phases solides des divers sulfures de cuivre : en ce qui concerne la chalcopyrite, il y aurait formation intermédiaire de covellite. Ce mécanisme est contredit par PRATER et QUENEAU (24) qui, sous une faible pression d'oxygène (inférieure à 1 bar) entre 180 et 260°C, n'ont pas observé la formation de tels composés intermédiaires. Le soufre provenant de la chalcopyrite se retrouve en partie sous forme de soufre élémentaire et en partie sous forme de SO<sub>2</sub>, états à partir desquels 1'accide sulfurique peut être régénéré. Par cette méthode, 1'attaque de la chalcopyrite est sélective vis-à-vis de la pyrite.

Dans le cadre de la lixiviation in situ par l'acide sulfurique (dans ce type de lixiviation, les réactions sont très lentes et non sélectives), les réactions sont similaires :

Cu Fe S<sub>2</sub> + 
$$\frac{5}{4}$$
 O<sub>2</sub> + 5H<sup>+</sup>  $\longrightarrow$  Cu + Fe<sup>3+</sup> + 2S° +  $\frac{5}{2}$  H<sub>2</sub>O

et le soufre formé peut réagir :

$$S^{\circ} + \frac{3}{2} O_2 + H_2 O \longrightarrow 2H^{+} + SO_{4}^{-}$$

Les modèles mis au point sont relativement complexes, car ils doivent prendre en compte plusieurs paramètres (25):

- nature chimique de la gangue, pouvant occasionner une production d'acide dans les gangues pyriteuses :

$$FeS_2 + \frac{15}{4}O_2 + \frac{1}{2}H_2O \longrightarrow Fe^{3+} + 2SO_4^{=} + H^{+}$$

ou une consommation d'acide dans les gangues calcaires :

$$CaCO_3 + 2H^+ + SO_4^- \rightarrow CaSO_4 + CO_2 + H_2O_3$$

- nature physique de la gangue (porosité, densité, taux de dissémination de la chalcopyrite).

### 4 - Acide nitrique

BJORLING et KOLTA (26) ont proposé une telle méthode pour l'attaque de la chalcopyrite ainsi que de la sphalérite et de la molybdénite; l'acide nitrique sert de catalyseur car il est régénéré dans le milieu en présence d'oxygène:

$$\begin{cases} 3 \text{ Me S} + 2 \text{ H NO}_3 + 6 \text{ H}^+ & \longrightarrow 3 \text{Me}^{2^+} + 3 \text{S}^{\circ} + 2 \text{ NO} + 4 \text{ H}_2 \text{O} \\ \\ 2 \text{ NO} + \frac{3}{2} \text{ O}_2 + \text{H}_2 \text{O} & \longrightarrow 2 \text{H NO}_3 \end{cases}$$

Toutefois, une partie non négligeable du sulfure est oxydée à l'état de sulfate. Elle est d'autant plus faible que la pression d'oxygène et l'acidité sont faibles.

PRATER, QUENEAU et HUDSON (27) opèrent en présence d'un mélange  ${\rm H_2SO_4}$  -  ${\rm HNO_3}$  et proposent dans le cas de la chalcopyrite une réaction menant à la précipitation du fer sous forme de jarosite :

$$6\text{CuFeS}_2 + 10\text{HNO}_3 + 10\text{H}_2\text{SO}_4 \longrightarrow 6\text{CuSO}_4 + 10\text{NO} + 6\text{H}_2\text{O} + 12\text{S}^\circ +$$

$$+ 2\left(\text{Fe}_3(\text{OH})_5(\text{SO}_4)_2^2\text{H}_2\text{O}\right)$$

La part de la réaction parasite d'oxydation du soufre en sulfate est également, d'après ces auteurs, une fonction croissante de la température ainsi que de la concentration en HNO3. Cette réaction est très genante, car elle se produit également avec la pyrite et limite ainsi le champ d'application de cette méthode.

HABASHI (28) a opéré en l'absence d'acide sulfurique : il y a formation de soufre élémentaire qui peut être ensuite oxydé en sulfate.

$$\begin{cases} 3\text{CuFeS}_2 + 20\text{HNO}_3 & \longrightarrow 3\text{Cu(NO}_3)_2 + 3\text{Fe(NO}_3)_2 + 6\text{S}^\circ + 5\text{NO} + 10\text{H}_2\text{O} \\ 2\text{HNO}_3 + \text{S} & \longrightarrow \text{H}_2\text{SO}_4 + 2\text{NO} \end{cases}$$

Plus de la moitié du soufre est oxydée en sulfate: cette proportion peut être réduite en faisant subir à la chalcopyrite un traitement thermique.

Un gros handicap pour cette réaction est la formation de sulfate : toutefois dans des cas particuliers tels que celui de la lixiviation in situ sous pression (gisements profonds), CARNAN et HEINEN (29) proposent son utilisation. L'acide nitrique sert alors de catalyseur et permet de multiplier les taux d'extraction par quatre ou même huit : il est facilement régénéré aux pressions élevées règnant dans ce type de lixiviation.

### β) Réactions ne consommant pas d'acide

Certaines réactions peuvent même produire de l'acide, comme dans le cas de l'oxydation de la pyrite par l'oxygène; l'oxydation de sulfures métalliques par le chlore en produit également concouramment à des ions sulfates.

### 1 - Chlore

SHERMAN et STRICKLAND ont éffectué des études avec le mécanisme d'attaque de cailloux de galène (30), puis de pyrite (31) par des solutions acides d'eau de chlore.

Concernant la pyrite, la réaction mène à la formation d'ions sulfates et ferriques :

$$2\text{FeS}_2 + 15\text{C1}_2 + 16\text{H}_2\text{O} \longrightarrow 2\text{Fe}^{3^+} + 30\text{C1}^- + 32\text{H}^+ + 4\text{SO}_4^-$$

L'énergie d'activation en est faible, de l'ordre de 5 kcal/mole, ce qui prouverait que la réaction est contrôlée par la diffusion des espèces en solution. Dans le cas de la galène, le mécanisme est plus complexe. Il fait intervenir concouramment la formation de soufre et celle de sulfate, et la réaction est alors à la fois contrôlée chimiquement et par la diffusion des espèces.

L'énergie d'activation est de l'ordre de 20 kcal/ mole et les réactions s'écrivent :

$$\begin{cases} Pb S + Cl_2 & \longrightarrow & Pb^{2^+} + 2Cl^- + S^{\circ} \\ \\ Pb S + 4Cl_2 + 4H_2O & \longrightarrow & Pb^{2^+} + 8Cl^- + 8H^+ + SO_{4}^{=} \end{cases}$$

La constante cinétique globale s'exprime en fonction de la constante cinétique chimique  $\mathbf{k}_C$  et de celle de diffusion  $\mathbf{k}_D$  :

$$k = \frac{k_C \cdot k_D}{k_C + k_D}$$

Or  $k_C$  croit plus vite que  $k_D$  avec la température ; à haute température, la cinétique est donc limitée par la diffusion des espèces. La formation de sulfate proviendrait essentiellement de la dismutation du chlorure de soufre : 6S(I) 5S° + S(VI).

FORTUNATOV et col (32) ont justement obtenu de très bons rendements d'attaque en effectuant la chloruration de la chalcopyrite dans le chlorure de soufre liquide à 130 - 160°C.

JACKSON et STRICKLAND (33) ont observé que, pour la chalcopyrite en milieu aqueux, la cinétique est du premier ordre par rapport à  $\mathrm{Cl}_2$  et est contrôlée par la diffusion des espèces en phase aqueuse. Dans ce cas apparaît également la formation de sulfate qui, selon les auteurs, proviendrait en partie d'une attaque directe du sulfure.

GROVES et SMITH (34) ont étudié cette même réaction en faisant percoler une solution d'eau de chlore à travers une colonne de sable contenant de la chalcopyrite.

L'abaissement du pH au cours de la réaction conduit les auteurs à écrire la réaction sous la forme :

$$CuFeS_2 + \frac{17}{2}Cl_2 + 8H_2O \longrightarrow Cu^{2+} + Fe^{3+} + 2SO_4^{-} + 16H^{+} + 17C1^{-}$$

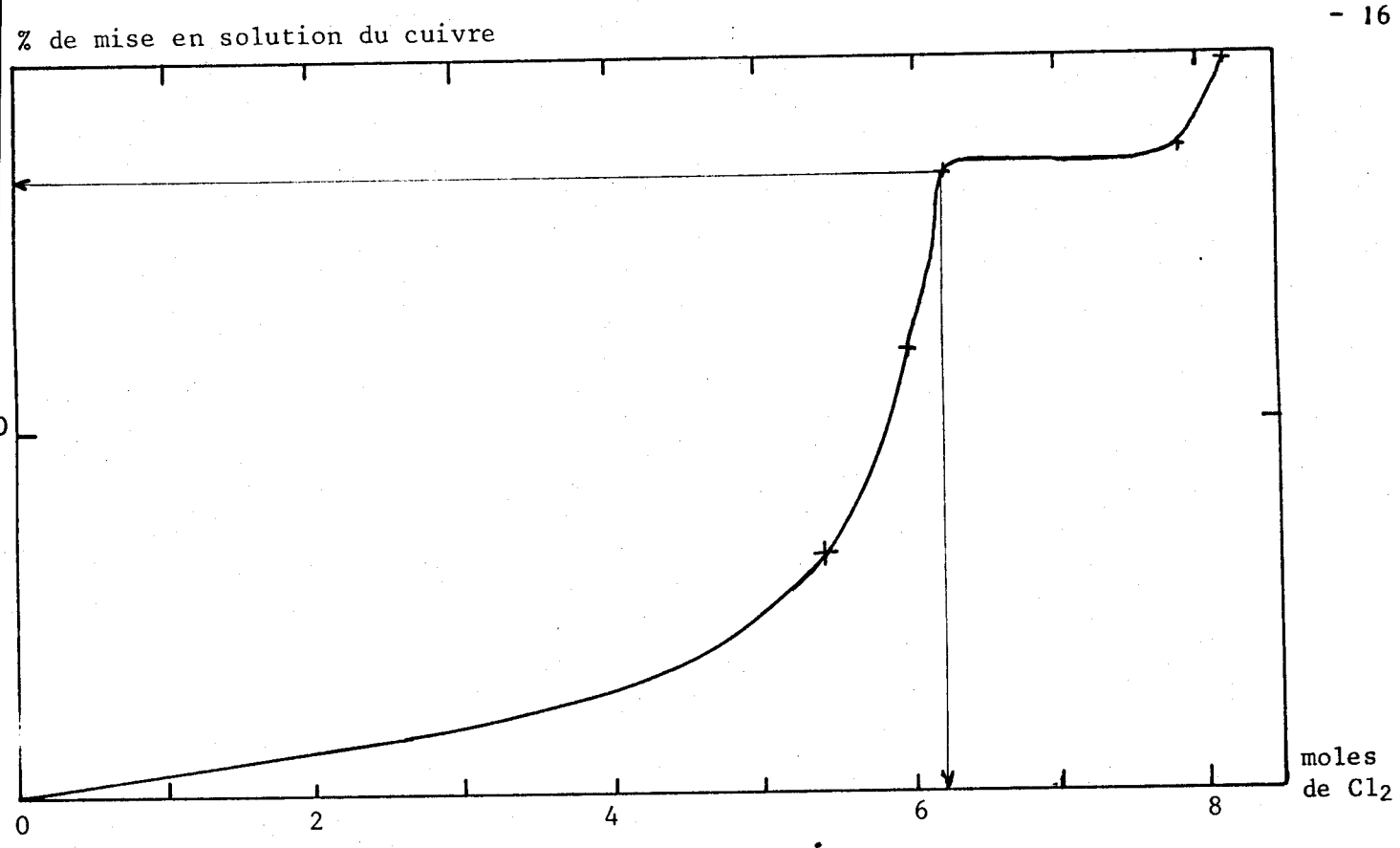


FIGURE 3a - Miseen solution du cuivre enfonction de la quantité de chlore consommée d'après les résultats de GROVES et SMITH (34)

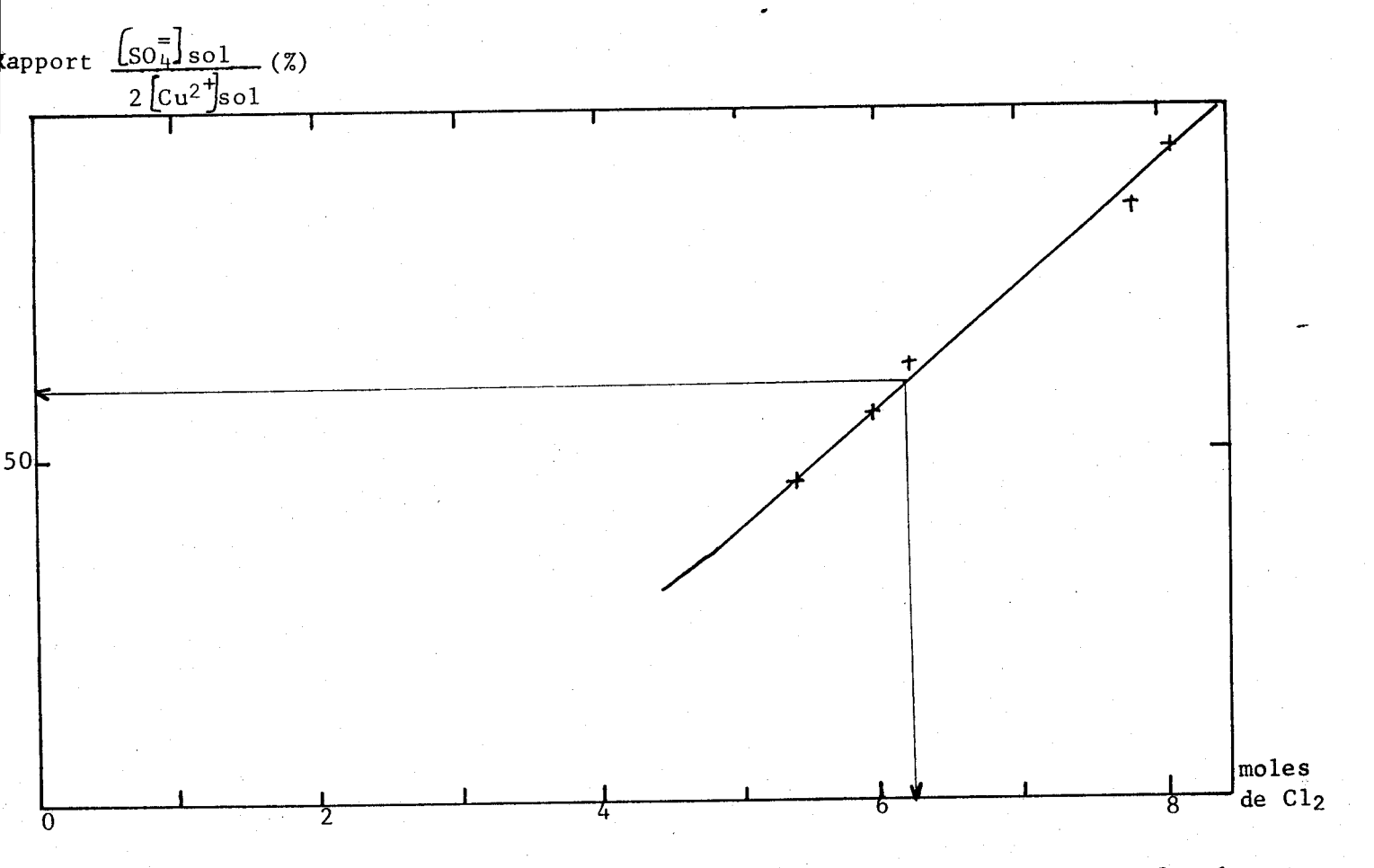


FIGURE 3b - Courbe prouvant l'augmentation de la quantité de sulfate formée en fin de réaction, d'après les résultats de GROYES et SMITH (34)

Toutefois les courbes 3a et 3b, tracées à partir des résultats expérimentaux de GROVES et SMITH, prouvent qu'en présence d'un excès de minerai par rapport à la quantité d'oxydant stoechiométriquement requise, la réaction d'oxydation du sulfure en sulfate n'est pas complète.

Ainsi, le nombre de moles de chlore nécessaires à la mise en solution de 84,2% du cuivre est 6,26 moles ; or, pour ce nombre de moles de chlore consommées, le rapport

 $\frac{\left(SO_{4}^{-}\right) \text{ solution}}{2\left(Cu^{2}^{+}\right) \text{ solution}} \text{ est de 61%, alors qu'il devrait}$ 

être de 100%, si la réaction était complète.

Il y a donc, concouramment à la formation de sulfate, apparition d'espèces sulfurées de degré d'oxydation inférieur à + VI, qui ne sont oxydées qu'en fin de réaction, puisque, pour 98,8% d'extraction du cuivre, le rapport

 $\begin{array}{c}
\left[SO_{4}^{=}\right] \text{ solution} \\
2\left[Cu^{2}\right] \text{ solution}
\end{array}$ passe à 94%.

Un autre inconvénient de cette réaction, à côté de la formation de sulfate, est, selon HAVER et WONG (35), la faible sélectivité de dissolution de la chalcopyrite par rapport à la pyrite.

# 2 - Ions ferriques

#### En milieu sulfate

Cette méthode d'attaque a été étudiée pour de très nombreux sulfures de cuivre par le Department of Energy, Mines and Resources d'Ottawa: elle est susceptible d'être utilisée pour la lixiviation de minerais de faible teneur par percolation (36) ou en tas (37), suivant le flow-sheet décrit sur la figure 4, ou même in situ (38).

L'intérêt est que le sulfate ferrique peut être généré à partir de pyrite souvent présente à côté des sulfures de cuivre et facilement régénéré par l'air avec ou sans catalyse par des bactéries suivant :

$$4 \text{FeSO}_4 + 0_2 + 2 \text{H}_2 \text{SO}_4 \longrightarrow 2 \text{Fe}_2 (\text{SO}_4)_3 + 2 \text{H}_2 \text{O}$$

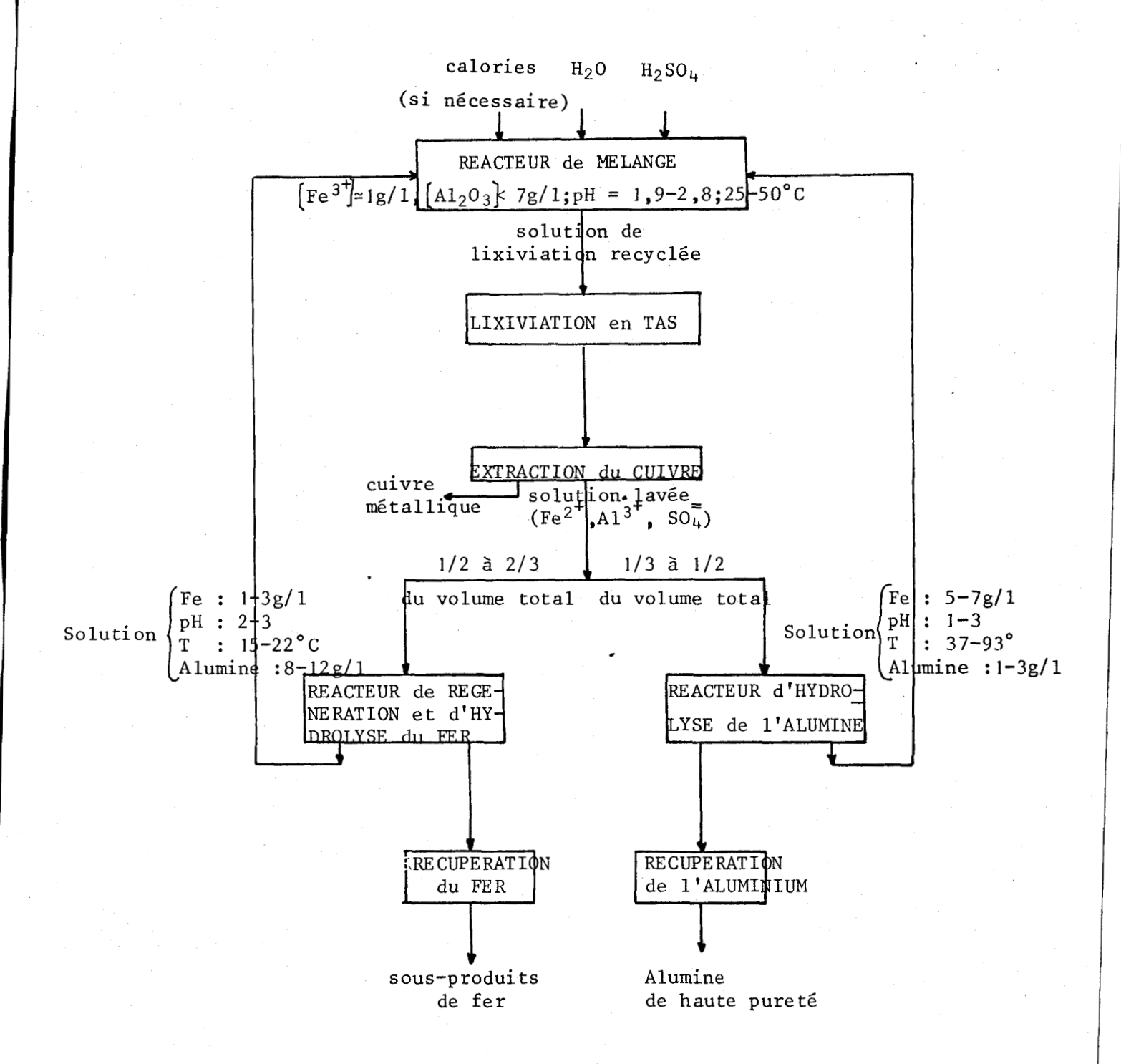


FIGURE 4 - Procédé cyclique de lixiviation à pH contrôlé de minéraux cuprifères

d'après ZIMMERLEY et col (37)

DUTRIZAC (39) a fait une excellente revue bibliographique sur l'application de la lixiviation par les ions ferriques en milieu sulfate ainsi qu'en milieu chlorure aux minerais suivants: sulfure de cuivre, fer, nickel, cobalt, zinc, plomb, molybdène, antimoine, mais aussi oxydes d'uranium.

Le mineraiest mis en solution sous forme de sulfate de cuivre et de fer; pour la chalcopyrite, la réaction s'écrit par exemple :

$$CuFeS_2 + 2Fe_2(SO_4)_3 \longrightarrow CuSO_4 + 5FeSO_4 + 2S^{\circ}$$

Les mécanismes proposés diffèrent suivant la nature du sulfure : le tableau l'récapitule les résultats observés par DUTRIZAC, INGRAHAM, MAC DONALD et THOMAS (15,40-45). Il apparait que les mécanismes diffèrent dans certains cas avec la température, mais il peut également y avoir dans certains cas formation de phases intermédiaires : co vellite dans le cas de la digénite et de la chalcocite(40), bornite non stoechiométrique et chalcopyrite dans celui de la bornite (41)

En ce qui concerne la chalcópyrite, BECKSTEAD et col (46) ont observé que la cinétique était limitée par la diffusion des ions ferriques à travers une couche de soufre formée au cours de l'attaque; cette hypothèse est confirmée par l'influence de la granulométrie et la valeur élevée de l'énergie d'activation, 20 kcal/mole. L'influence observée des concentration en ions ferriques et ferreux s'explique par la complexation par les ions sulfates et la prise en compte des coefficients d'activité. Les auteurs proposent de broyer le minerai à une granulométrie moyenne de 0,5µ, ce qui permettrait d'extraire 90% du cuivre à 93°C en 3 heures.

Un aspect a été particulièrement étudié dans ce milieu, la sélectivité de mise en solution des minéraux les uns par rapport aux autres
et, en particulier, l'influence de la présence de pyrite sur la dissolution d'autres minéraux : pour la bornite, la présence de la pyrite n'augmente, selon DUTRIZAC et col (47), le taux de mise en solution
du cuivre qu'à basse température, alors que, pour la chalcopyrite,
DUTRIZAC et MAC DONALD (48) estiment qu'elle en accélère toujours la
dissolution. ICHIKUNI (49) estime, par ailleurs, que les ions ferriques
agissent de manière moins sélective que l'oxygène dissous; les travaux
de AMMOU-CHOKROUM (50) vont plutôt dans le sens des résultats de DUTRIZAC

Ré <b>f.</b>	Espèce minérale	Forme solide utilisée	Phénomène contrôlant la cinétique (kcal/mole)	Energie d'activation	Domaine de température	Influences particulières
(40)	Chalcopyrite (Cu <sub>2</sub> S)	disque de chalcopyrite synthétique	diffusion en phase aqueuse	5 <b>-</b> 6	25 - 80°C	Vitesse proportionnelle à la concentration en Fe <sup>3†</sup> et à la racine carrée de la vitesse de
. 11	Digénite(Cu <sub>1,8</sub> S)	disque de digénite synthétique	<b>11</b>		"	rotation du disque.
(41)	Covellite (CuS)	disque de covellite synthétique	réaction chimique [de surface]	22±1	25 - 60°C	Vitesse proportionnelle à la concentration en Fe <sup>3+</sup> pour C<0.005M et à la racine carré
			diffusion en phase aqueuse	8	60 - 80°C	de la vitesse de rotation du disque.
(42)	11	disque de c <sub>o</sub> vellite synthétique et natu- relle	réaction chimique [ de surface ]	17 <b>,</b> 8±2	25 <u></u> 95°C	Vitesse décroissante par addition de Fe <sup>2+</sup> , proportionnelle à la concentration en Fe <sup>3+</sup> pour C <0,005M
(15)	Chalcopyrite (CuFeS <sub>2</sub> )	disque de chalcopyrite	diffusion à travers une couche de soufre (cinétique parabolique)	17±3	50 -94°C	- Pour C <sub>Fe3</sub> +(0,01M, vitesse contrôlée par la diffusion de Fe <sup>3+</sup> vers l'intérieur du grain Pour C <sub>Fe3</sub> +(0,01M, vitesse contrôlée par la diffusion de Fe <sup>2+</sup> vers l'extérieur du
						grain
(43)	Bornite (Cu <sub>5</sub> FeS <sub>u</sub>	disques de bornite synthétique et natu- relle	diffusion à travers une couche liquide adsorbée dan les pores formés (cinétique parabolique)	6,2±1,3	5 - 40°C	
			diffusion à travers une couche liquide proche de la surface (cinétique linéaire)	5,3±0,8	40 - 94°C	- Pour C <sub>Fe3</sub> +<0,06M,diffusion de Fe3 <sup>+</sup> - Pour C <sub>Fe2</sub> +<0,05M, diffusion de Fe <sup>2</sup>
(44)	Cubanite(CuFe S	disques de cubanite synthétique et natu- relle	Réaction chimique [de surface] (cinétique linéaire)	11,6±0,7	45 - 90°C	Vitesse fonction croissante de la concentration en Fe <sup>2</sup> , dé- croissante de l'acidité et de la concentration en Fe <sup>2</sup>
(45)	Enargite(Cu <sub>3</sub> AsS <sub>4</sub>	disques d'énargite synthétique	réaction chimique [ de surface ] (cinétique linéaire)	13,3±0,5	60 - 95°C	V =  Fe <sup>3+</sup>  0,55  H <sup>+</sup>  Q <sup>2</sup> constante et fonction décrois- sante de Fe <sup>2+</sup>

TABLEAU : Mécanismes de la lixiviation de divers sulfures de cuivre en milieu sulfate ferrique

et col: il serait, selon lui, possible d'éffectuer une solubilisation sélective de la chalcopyrite par rapport à la pyrite en effectuant un broyage tel que l'on ait des mixtes minéralogiques, analogues à des piles, où la chalcopyrite serait l'anode et serait donc oxydée et la pyrite, la cathode où l'oxydant (Fe<sup>3†</sup>) serait réduit.

### - En milieu chlorure

Plusieurs procédés hydrométallurgiques comportent une étape de lixiviation par le chlorure ferrique. Aussi existe-t-il une bibliographie relativement abondante qui tend à prouver l'intérêt de ce milieu pour la lixiviation de la chalcopyrite à l'aide de tableauxet de courbes, mais les interprétations restent souvent faibles : la variété des conditions expérimentales et des minerais utilisés peut expliquer également les différences observées entre les résultats des divers auteurs.

HAVER et WONG (35) ont étudié, dans le cadre du procédé du Bureau of Mines, l'influence de plusieurs paramètres; granulométrie, rapport  $\frac{\text{FeCl}_3}{\text{CuFeS}_2}$ , température, acidité et agitation. Ils sont parvenus à dissoudre en deux heures 99,6% du cuivre et 71,6% du fer (il est normal que le taux d'extraction du fer soit plus faible, dans la mesure où celui-ci se trouvait en partie importante sous forme de pyrite, qui n'est pas attaquée au cours de la lixiviation) dans les conditions optimales ainsi définies ; température d'ébullition ( $\sim 106^{\circ}$ C), granulométrie inférieure à 44 $\mu$  et rapport  $\frac{\text{FeCl}_3}{\text{CuFeS}_2}$  égal à 2,7, alors que l'agitation et l'acidité semblaient avoir peu d'influence. La valeur trouvée par le rapport  $\frac{\text{FeCl}_3}{\text{CuFeS}_2}$  est faible dans la mesure où la réaction menant à la formation de chlorure cuivrique a une stoechiométrie égale à 4, et celle menant à celle de chlorure cuivreux, à 3:

$$CuFeS_2 + 3FeCl_3 \longrightarrow CuCl + 4FeCl_2 + 2S$$

Il n'y a pas au cours de la réaction, de dépôt de chlorure cuivreux, qui serait donc solubilisé sous forme de chloro-complexe par les ions chlorures présents dans le milieu. La valeur de 2,7 observée pourrait se comprendre par une réoxydation partielle de la solution par l'air. Des tests statistiques appliqués aux résultats observés sur le minerai non broyé (granulométrie moyenne : 17µ) ont prouvé qu'un modèle diffusionnel supposant la formation d'une couche de soufre s'appliquait le mieux.

### NAGARAJ (51) a essentiellement étudié deux paramètres :

- la granulométrie que l'on a intérêt à maintenir au-dessous de 53µ
- le rapport  $\frac{\text{FeCl}_3}{\text{CuFeS}_2}$  qui peut être fixé à une valeur un peu supérieure à trois : ce résultat est en parfait accord avec la stoechiométrie de la réaction.

De nombreux auteurs soviétiques ont travaillé sur la lixiviation de divers sulfures métalliques par le chlorure ferrique; en ce qui concerne la chalcopyrite et les concentrés sulfurés de cuivre, deux équipes ont fait des publications :

- KLETS et LIOPO (52) estiment que la cinétique est limitée par un phénomène diffusionnel et que l'élévation de température au-dessus de 105°C défavorise la réaction en raison d'un abaissement de la porosité du soufre au-delà de cette température : un phénomène assez similaire avait été observé par PETERS et LOEWEN (17) dans le cas de la lixiviation pour l'oxygène sous pression en milieu perchlorique.
- ERMILOV et col ont d'abord estimé que la cinétique était limitée par la diffusion à travers une couche de soufre, qu'il y avait intérêt à dissoudre par un solvant tel que le xylène (53), puis observé que la cinétique était contrôlée par une réaction chimique de surface et donc que la couche de soufre formée n'était pas limitative (54). La réaction est d'ordre un par rapport à la concentration en FeCl<sub>3</sub> et l'énergie d'activation de 12,3 Kcal/mole.

# - Comparaison des milieux sulfate et chlorure

Deux thèse ont été soutenues en 1974 sur la lixiviation de la chalcopyrite par les ions ferriques et les auteurs y comparent les milieux sulfate et chlorure.

- CONDE (55) estime que ses résultats obtenus dans des conditions de faible agitation prouvent qu'un modèle de diffusion correspondant à la formation d'une couche de soufre sur les grains de minerai, s'applique mieux que le modèle de dissolution proposé par ERMILOV (54). Les facteurs importants à fixer sont les suivants : la température, la granulométrie,

les teneurs en ions ferriques, ferreux et chlorures ; la constante de vitesse serait liée aux concentrations en ions ferriques et chlorures par une relation du type : K = Ko [Fe<sup>3+</sup>] <sup>1/3</sup> [C1]<sup>1/3</sup> et, en milieu sulfate, aux faibles concentrations en ions ferreux (<0,5M), la constante est une fonction décroissante de Fe<sup>2+</sup> : K = A(1 - a|Fe<sup>2+</sup>|). DUTRIZAC et col (15, 43-5) avaient observé une telle influence des ions ferreux dans le cas de plusieurs sulfures complexes de cuivre (chalcopyrite, bornite, ...). L'énergie d'activation trouvée par CONDE (56) varie suivant le milieu : 22±2 kcal/mole en milieu chlorure, 11±1 kcal/mole en milieu sulfate.

- JONES (56) n'a pas observé d'influence des ions ferreux sur la cinétique en milieu chlorure et évalue l'énergie d'activation à 17,3 kcal/mole dans FeCl<sub>3</sub>IM. La stoechiométrie de la réaction est différente de celle observée par HAVER et WONG (35), car il y aurait formation d'ions cuivriques et non cuivreux suivant :

$$CuFeS_2' + 4FeCl_3 \longrightarrow CuCl_2 + 5FeCl_2 + 2S^{\circ}$$

La réaction est de type électrochimique aussi bien en milieu sulfate qu'en milieu chlorure; toutefois, alors que, dans le premier milieu, l'attaque se produit le long de fissures, dans le second, elle se propage sur la totalité de la surface du minéral. La vitesse de lixiviation est une fonction croissante de |Fe<sup>3+</sup>|, décroissante de la granulométrie ainsi que la concentration en ions ferreux en milieu sulfate: ces résultats sont assez proches de ceux obtenus par CONDE (55). Bien qu'une part plus importante du soufre soit oxydée à l'état de sulfate en milieu sulfate, le chlorure ferrique s'avère comme étant un oxydant plus puissant. En effet, alors que, en milieu sulfate, une cinétique linéaire est observée jusqu'à un taux de 50 - 80% de dissolution, où la réaction s'arrête, JONES observe, en milieu chlorure, une cinétique non linéaire dans sa phase initiale, suivie d'une étape plus lente, qui conduit à des taux d'extraction du cuivre avoisinant les 100% en 4 heures à 109°C en milieu 4M FeCl<sub>3</sub> pour certains concentrés.

#### c) Attaque par un complexant seul

Ce type de réaction a un champ d'utilisation restreint. BLAZY (57) en rapporte deux applications:

- les solutions de cyanure pour des sulfures simples de cuivre tels que la chalcocite ,pour laquelle SCHANTZ et FISCHER (58) ont observé des réactions, différant quelque peu suivant le niveau d'acidité de la solution, du type :

$$Cu_2S + 6CN + H_2O \longrightarrow 2Cu(CN)_3^2 + HS + OH$$

- les solutions de sulfures qui régissent avec le cinabre (HgS) ou la stibine (Sb $_2$ S $_3$ ):

$$Sb_2S_3 + 3S^{-} \longrightarrow 2SbS_3^{3-}$$

### d) Attaque par un oxydant en milieu complexant

#### a)Oxygène en milieu ammoniacal

Un intérêt de cette réaction est de permettre une facile élimination du fer, qui précipite sous forme d'oxyde, alors que le cuivre passe en solution sous forme de complexe amminé; le soufre est oxydé jusqu'à l'état de sulfate:

$$CuFeS_2 + \frac{17}{4}O_2 + 6NH_3 + H_2O \longrightarrow Cu(NH_3)_4SO_4 + 2(NH_4)_2SO_4 + \frac{1}{2}Fe_2O_3$$

Dans le cadre du procédé ARBITER (59), il a été prouvé que cette réaction donnait un excellent rendement à une température et une pression relativement faibles (0,35 bar d'oxygène, 60-90°C) : ceci n'a été rendu possible que dans la mesure où le système est soumis à une agitation efficace. La limitation de la cinétique provient en effet de la diffusion de l'oxygène au sein de la solution ou à travers la couche d'oxyde formée : la première peut être éliminée et la seconde limitée justement par une agitation vigoureuse, qui défavorise le dépôt d'oxyde ferrique sur les particules de minerai non attaqué.

Dans le cas de la lixiviation en milieu ferrique, CONDE (55) soulignait le rôle positif joué par les ions chlorures, alors que, pour JONES (56), l'effet n'était pas clair : accroissement de 50% de la vitesse de dissolution en ajoutant une mole de NaCl dans une solution 0,03M FeCl<sub>3</sub>, mais aucun effet pour une solution 0,1M FeCl<sub>3</sub>.

Dans le cas du chlorure cuivrique, cette influence est évidente. Ainsi JONES a étudié le potentiel pris par une électrode de chalcopyrite dans différentes solutions :  $Fe_2(SO_4)_3$ ,  $FeCl_3$ , mais aussi  $CuCl_2$  en milieu NaCl. Il apparait que dans ce dernier cas, le potentiel pris est fonction des concentrations en  $Cu^{2^+}$ ,  $Cu^+$ , mais aussi  $Cl^-$ , alors que ce n'est pas le cas pour  $FeCl_3$ . Ceci démontre le rôle particulier que jouent les ions chlorures dans la lixiviation pour  $CuCl_2$ : il sera étudié par la suite.

Bien que, dans plusieurs procédés industriels de traitement de la chalcopyrite, une étape de lixiviation par le chlorure cuivrique soit proposée cette réaction a fait l'objet de fort peu d'études et encore dans des cas particuliers :

- TSEFT et col (60) ont observé pour des concentrés de cuivre obtenus après élimination du plomb et du zinc que la lixiviation par FeCl<sub>3</sub>était plus éfficace que par CuCl<sub>2</sub> en milieu CaCl<sub>2</sub> et que, au-delà de 350g/l, la teneur en CaCl<sub>2</sub> avait peu d'influence; ils ont, d'autre part remarqué une décroissance de la cinétique en fin de réaction, qu'ils attribuent à la précipitation de sulfure de cuivre.
- CATHRO (61) a étudié la lixiviation de chalcopyrite activée thermiquement en présence de soufre ; les conditions optimales déterminées sont les suivantes : 1M/1 de  $CuCl_2$  , 3,5M/1 de NaCl , 1M/1 de HCl pour 25g/1 de minerai à  $105^{\circ}$ C. Lors de l'attaque de cette phase activée, le rapport  $\frac{Fe}{Cu}$  passé en solution est de l'ordre de 0,15 0,20 au lieu de l pour la chalcopyrite.

### γ) Sulfate cuivrique en milieu nitrile-eau

Les composés cuivreux ne sont solubles en phase aqueuse que sous forme de complexes (chlorures, ...) mais des solvants organiques, tels que l'acétonitrile sont, selon PARKER (62), d'excellents complexants de Cu<sup>+</sup> solubles dans l'eau.

Les sulfures se sont tout d'abord avérés difficiles ou même impossibles à dissoudre d'après CATHRO (63). Toutefois, PARKER (62) est parvenu par cette méthode à transformer la chalcocite en cuivre et covellite activée CuS.

$$Cu^{2+}$$
 +  $Cu_2S$  +  $4An$   $\longrightarrow$   $CuS^{*}$  +  $2CuAn_2^+$   
 $2Cu$   $An_2^+$   $\xrightarrow{chauffage}$   $Cu$  +  $Cu^{2+}$  +  $4An$ 

La covellite activée CuS<sup>\*</sup> peut ensuite être mise en solution par des oxydants classiques en milieu aqueux tels que l'oxygène en solution sulfurique.

Pour la chalcopyrite, une solution a été trouvée par PARKER, MUIR et col (64) : l'activation à 400°-450°C par le soufre pour former de la pyrite, de l'idaite ou de la bornite dont le cuivre peut être extrait dans un tel milieu, alors que le fer est abandonné dans le résidu. La méthode d'activation est assez analogue à celle proposée par CATHRO (61) en milieu chlorure. Le procédé est intéressant dans la mesure où il permet l'obtention de cuivre très pur par simple chauffage dans un milieu fort peu corrosif ; toutefois, il est difficile d'accélérer la cinétique en opérant à température élevée, car l'hydrolyse de l'acétonitrile devient importante.

### δ) <u>Une réaction particulière consommant de l'acide</u>

MEYERS et col (155) ont, en quelque sorte, appliqué la réaction de CLAUS dans le cas de la lixiviation de la chalcopyrite :  $SO_2$  sert à oxyder les ions sulfures de la chalcopyrite. La réaction qui se déroule à  $180^{\circ}$ C sous une pression de 12 bars de  $SO_2$ , mène à des taux d'extraction du cuivre de 99-100% en 30 mm alors que, au dessous de  $150^{\circ}$ C, elle n'a pratiquement pas lieu :

$$4\text{CuFeS}_{2} + 3\text{SO}_{2} + 12\text{HC1} \longrightarrow 4\text{CuC1} + 4\text{FeC1}_{2} + 11\text{S} + 6\text{H}_{2}\text{O}$$

Cette réaction apparaît relativement complexe dans la mesure où elle utilise le dioxyde de soufre SO<sub>2</sub> comme oxydant et l'acide chlorhydrique, à la fois comme source d'acide et d'ions chlorures complexants. L'intérêt en est de transformer le soufre du sulfure en soufre élémentaire, mais par ailleurs, la sélectivité de l'oxydation de la chalcopyrite par rapport à celle de la pyrite n'est pas très bonne. Un autre inconvénient important est le problême de la régénération des réactifs : SO<sub>2</sub> est régénéré en brûlant le soufre formé, alors que HCl l'est par pyrohydrolyse du chlorure ferreux formé.

### B. Electrochimie des sulfures et lixiviation par les poudres métalliques:

a) <u>Mécanismes électrochimiques et diffusion dans les sulfures</u> métalliques :

Le mécanisme de corrosion proposé par WOODCOCK (7) est confirmé par l'analyse de AMMOU-CHOKROUM (50), selon laquelle deux minéraux en contact électrique peuvent constituer une pile. Pour comprendre ces mécanismes, de nombreux auteurs ont mesuré le potentiel de repos des sulfures dans divers milieux, c'est-à-dire la différence de potentiel s'établissant dans une solution d'électrolyte entre l'électrode de minéral et une électrode de référence, généralement de calomel (tableau 2).

L'étude des courbes de polarisation permet également de mieux appréhender les phénomènes de type électrochimique : il y a en effet généralement un retard dans le processus électrochimique se déroulant à l'interface minéral-solution. Celui-là est en effet généralement lent et peu réversible.

Ainsi JONES (56) a observé deux domaines pour la polarisation anodique de la chalcopyrite: tout d'abord, un domaine diffusionnel, où l'intensité du courant est fonction du temps et indépendante du potentiel, puis un domaine attribué à l'établissement d'une charge spatiale dans le minéral, où l'intensité élevée du courant est une fonction linéaire du potentiel, mais indépendante du temps.

Pour la plupart des minéraux, les diagrammes de POURBAIX E-pH ont été tracés : PETERS (66) a ainsi tracé celui ayant trait au système Cu-Fe-S-H<sub>2</sub>O à 25°C (fig 5) alors que FERREIRA (67) a étudié très récemment les systèmes S-H<sub>2</sub>O, Cu-S-H<sub>2</sub>O et Fe-S-H<sub>2</sub>O à haute température.

Toutefois, l'apparition des espèces figurées sur le diagramme peut être limitée par des phénomènes cinétiques : les espèces indiquées pouvant même ne pas se former. Par contre, il est fréquent de voir apparaitre des phases métastables qui n'auraient pas dû exister d'un point de vue purement thermodynamique.

A côté des limitations cinétiques énoncées dans l'introduction, certaines réactions sont limitées ou voient leur cinétique imposée par des phénomènes de diffusion dans la phase solide minérale :

Minéral	Milieu	Température (°C)	Potentiel de repos (P.rap.SHE) (mv)	Référence
Pyrite	NaC1(100g/1), CaC1 <sub>2</sub> (22g/1), pH 4		658	Rachenberg d'après (19)
<b>b</b> -	$1 \mathrm{MH_2} \mathrm{SO_4}$	25	630	Masuko et Hisamatsu d'après (65)
=	1MHCL O <sub>4</sub>	25	620	Peters et Majima d'après (65)
Chalcopyrite	Chalcopyrite NaCl(100g/1),CaCl $_2$ (22g/1), pH $_4$	ı	558	Rachenberg d'après (19)
=	1MHC10 <sub>4</sub>	25	530	(65)
Covellite	NaCl(100g/1), CaCl <sub>2</sub> (22g/1), $p_{H_4}$	ı	448	Pachenberg d'après (65)
ш	$1 \mathrm{MHC1O_4}$	25	. 420	(65)
متق[ من	1 Jun (1/2021/2020)   Jun (1/2021/2020)		C	7017
משדבוום	Maci(1008/11), caci <u>1</u> 2228/11), pn 4		393	Kachenberg d'apres (19)
=	$100 \mathrm{g} / 1  \mathrm{H_2}  \mathrm{SO_4}$	20	284	Chizhikov et Kovylina d'après
<b>:</b>	1MHC104	25	240	(65)
:	$1 \mathrm{MHC1O_{t}}$	25	230	Peters et Majima d'après (65)

TABLEAU 2 : Potentiel de repos de divers minéraux dans différents milieux

Remarque : En dehors du cas de la galène, les résultats obtenus par les divers auteurs sont relativement proches

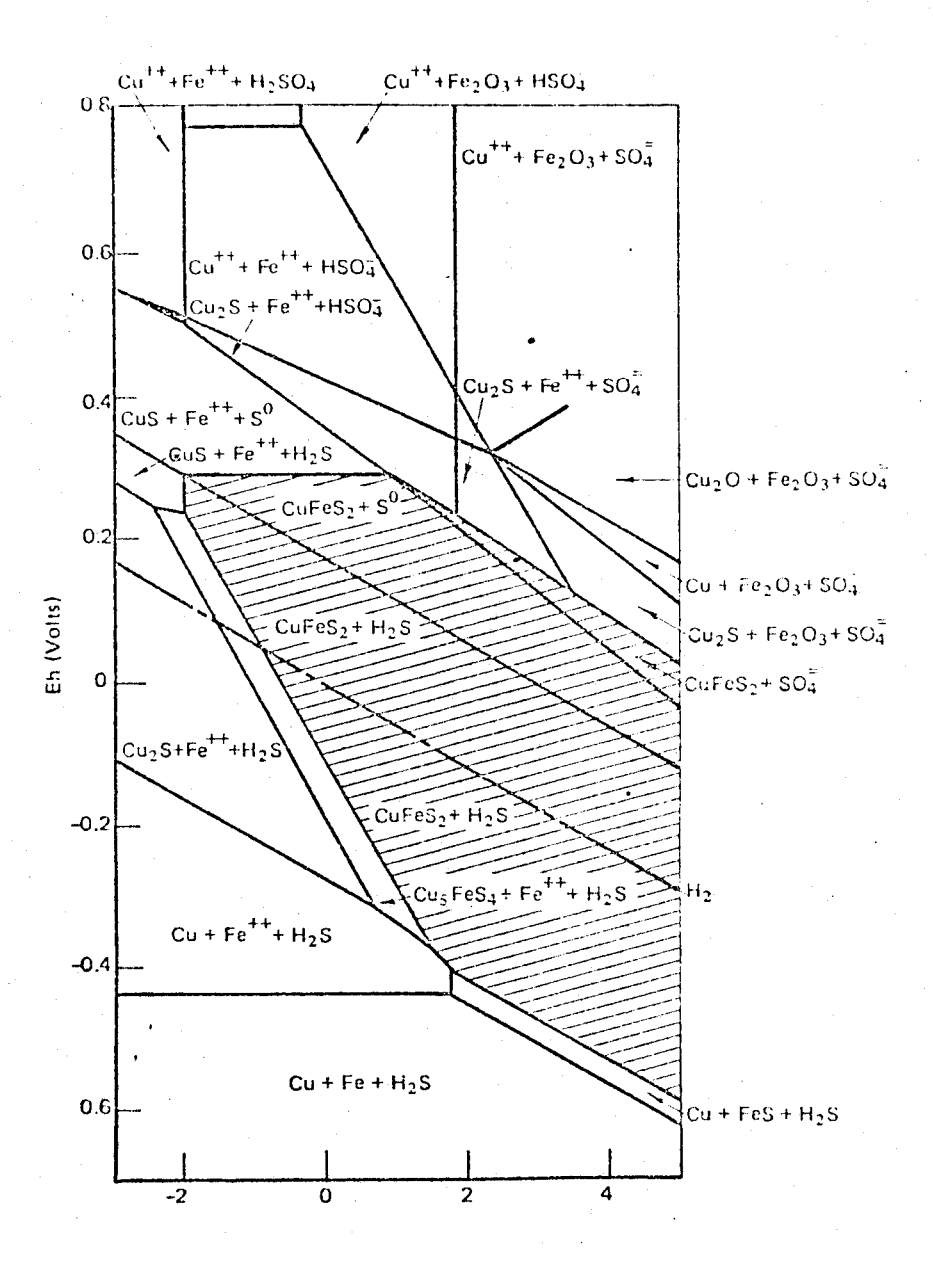


FIGURE 5: Diagramme de POURBAIX

Pour le système Cu-Fe-S-H<sub>2</sub>O à 25°C
d'après PETERS (66)

- BURKIN (68) a observé la transformation du minéral au cours de l'attaque en une phase non stoechiométrique : ainsi, en milieu ferrique, la chalcopyrite  $\beta$  (CuFeS<sub>1,83</sub>) est transformée en une phase  $\alpha$  métastable (CuFe<sub>1,2</sub>S<sub>2,3</sub>), qui n'est plus modifiée jusqu'à la fin de la dissolution.
- BAUR, GIBBS, WADSWORTH (69), en utilisant des techniques radiochimiques, ont pu mettre en évidence, dans la première phase de la cinétique d'attaque, une dissolution plus rapide du fer que du cuivre, probablement due à la présence d'oxydes de fer à la surface de la chalcopyrite, ainsi qu'un mécanisme d'échange entre les ions "cuivre" de la solution et du minéral.
- CHEN et HARVEY (70) ont étudié la diffusion du fer et du cuivre dans la chalcopyrite en mettant en contact deux parallélépipèdes de minéral, l'un devenu radioactif à la suite d'une irradiation de neutrons et l'autre n'étant pas radioactif : il apparaît que la diffusion du cuivre est plus rapide que celle du fer. D'autre part, les énergies d'activation sont différentes: 12,1 kcal/mole pour le cuivre , 6,4kcal/mole pour le fer. Les auteurs estiment que les vitesses les plus élevées qui puissent être obtenues pour la lixiviation de la chalcopyrite sont justement celles de la diffusion en phase solide des ions métalliques vers l'interface chalcopyrite-solution de lixiviation. La très bonne corrélation observée entre les valeurs d'énergie d'activation et les rayons ioniques de Ag<sup>+</sup>, Cu<sup>+</sup> et Fe<sup>3+</sup> (Fig.6) tend à confirmer que, dans le réseau de la chalcopyrite, des liaisons à la fois de types covalent et ionique lient les ions sulfures à Cu<sup>+</sup> et Fe<sup>3+</sup>.

# b) Réduction de la chalcopyrite par les poudres métalliques

Il a été proposé de transposer les réactions de caractère électrochimique se déroulant à l'interface minéral-liquide à la réduction directe de la chalcopyrite par des poudres métalliques. HISKEY et WADSWORTH(71) proposent, dans le cas de la réduction par le cuivre, la réaction suivante menant à la formation de chalcocite.

$$CuFeS_2 + Cu + 2H^+ \longrightarrow Cu_2S + Fe^{2+} + H_2S$$

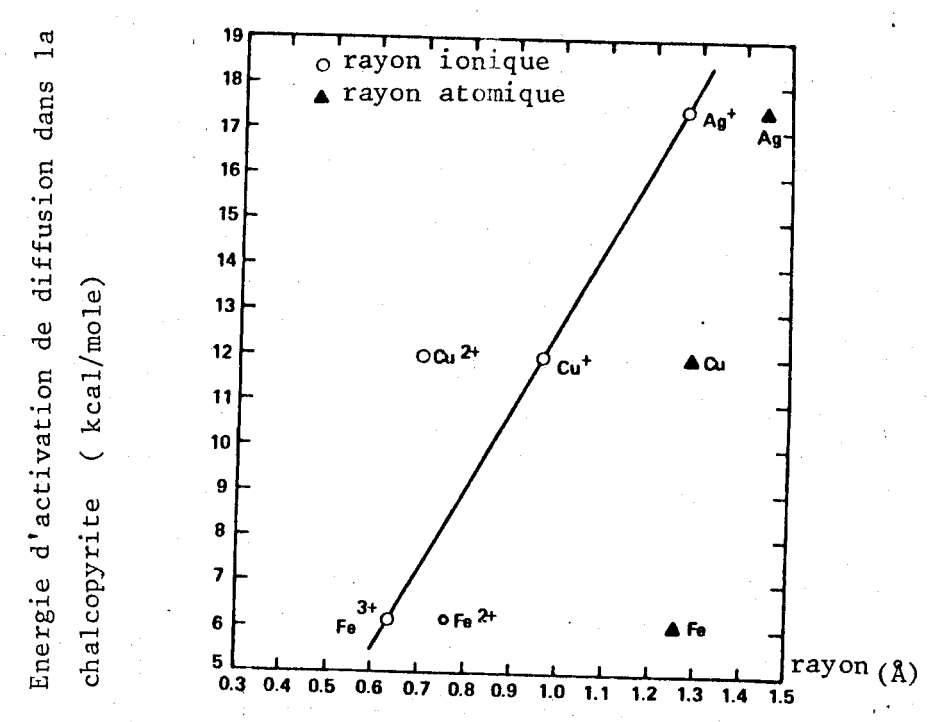


FIGURE 6 : Relation entre l'énergie d'activation et le rayon des espèces diffusantes dans la chalcopyrite,

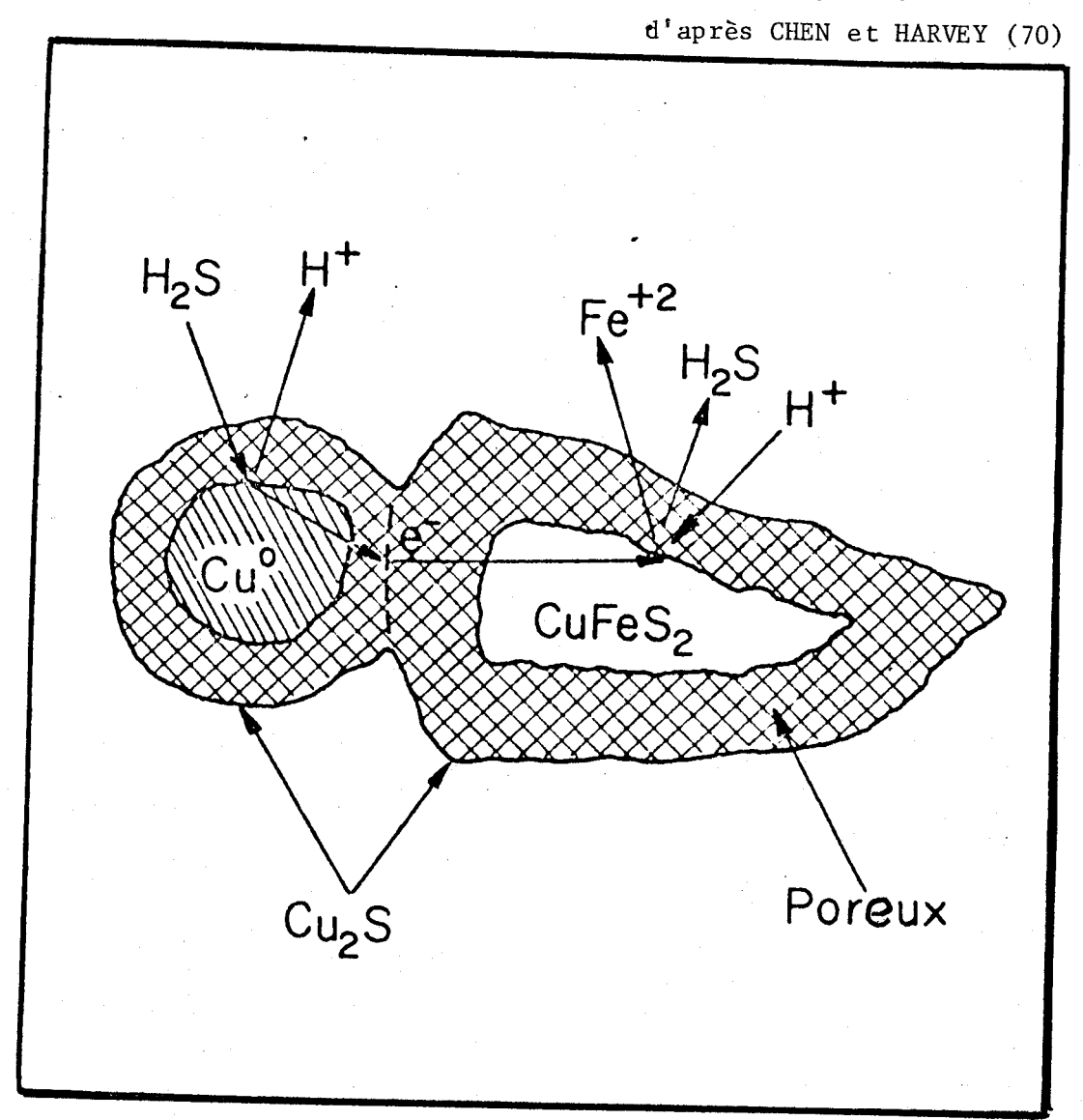


FIGURE 7: Shéma du modèle électrochimique de réaction pour le le système CuFeS<sub>2</sub> - Cu - H<sup>+</sup> d'après HISKEY et WADSWORTH (71)

La figure 7 montre bien les deux réactions électrochimiques :

- l'une de type cathodique sur la chalcopyrite :

$$2CuFeS_2 + 6H^+ + 2e^- \rightarrow Cu_2S + 2Fe^{2^+} + 3H_2S$$

- l'autre de type anodique sur le cuivre :

$$2Cu + H_2S \longrightarrow Cu_2S + 2H^+ + 2e^-$$

l'agitation dans un tel type de réaction a un effet défavorable, la granulométrie de la chalcopyrite ne joue pas de rôle, alors que les caractéristiques physiques du cuivre introduit ont une influence fondamentale. La réaction qui se déroule est une réaction de surface, dont l'énergie d'activation est de 11,5 kcal/mole.La vitesse est une fonction linéaire de la racine carrée de la concentration en ions H<sup>+</sup> mais est diminuée par la présence d'ions Cu<sup>2+</sup>. La chalcocite qui apparait au cours de l'attaque est relativement poreuse et ne gêne donc pas la poursuite de l'attaque.

La société COMINCO (72) a même mis au point un procédé basé sur cette réaction : la chalcopyrite est transformée en chalcocite, qui est ensuite facilement mise en solution en milieu sulfurique sous pression d'oxygène.

SHIRTS, WINTER et col (73) ont également utilisé comme réducteur de la poudre de fer. Deux réactions sont possibles :

- formation de chalcocite:

$$2\text{CuFeS}_2$$
 + Fe +  $6\text{H}^+$   $\longrightarrow$   $\text{Cu}_2\text{S}$  +  $3\text{Fe}^{2^+}$  +  $3\text{H}_2\text{S}$ 

- précipitation de cuivre métallique :

$$CuFeS_2$$
 + Fe +  $4H^+$   $\longrightarrow$   $Cu$  +  $2Fe^{2}$  +  $2H_2S$ 

La réaction menant à l'apparition de cuivre métallique est favorisée après que la moitié de la chalcopyrite ait été réduite.

Il apparaît d'autre part que le milieu chlorhydrique est plus favorable que le sulfurique. Avec le plomb, les réactions sont assez similaires à celles observées en présence de poudre de fer.

NICOL (74), à la suite de l'étude des diverses courbes intensité-potentiel, estime que la chalcocite  $Cu_2S$  n'est réduite à l'état de cuivre métallique que pour un potentiel inférieur à  $_{-}$ 0,3V: nulle trace de cuivre formé n'apparait en effet à  $_{-}$ 0,15V.

L'ANVAR (75) a déposé un brevet concernant un procédé, mis au point par BLAZY, utilisant la réduction de la chalcopyrite par la poudre de fer en chalcocite, qui est ensuite lixiviée par une solution de sulfate ferrique. BLAZY et col (76) ont également indiqué que cette méthode était applicable dans le cas de gisements pyriteux, contenant du cuivre, du plomb et du zinc; en effet, la pyrite n'est pratiquement pas attaquée au cours de la lixiviation.

BIEGLER et col (77) ont récemment proposé d'éffectuer directement la transformation de la chalcopyrite en un sulfure exempt de fer par électrolyse en milieu 5MHCl à 80-90°C, suivant la réaction :

$$2CuFeS_2 + 6H^+ + 2e^- \longrightarrow Cu_2S + 3H_2S + 2Fe^{2+}$$

Le produit de la réaction de la chalcopyrite, qui apparait être en milieu chlorure la djurléite (Cu<sub>1,97</sub>S) plutôt que la chalcocite (Cu<sub>2</sub>S) formée en milieu sulfate, est ensuite soumis à une lixiviation par le chlorure cuivrique dans les conditions proposées par CATHRO (61)

Une remarque s'impose au sujet de ces méthodes utilisant des poudres : théoriquement, elles présentent un immense intérêt dans la mesure où il serait possible en présence de poudre de fer d'obtenir directement du cuivre, mais, pratiquement, il est délicat de les mettre en oeuvre, car il est difficile d'imaginer un procédé continu, où l'on aurait la certitude d'avoir un contact électrique entre le minerai et la poudre métallique. Toutefois, leur étude et leur utilisation en tant que catalyseur ou activant présente un grand intérêt.

## II - PROCEDES HYDROMETALLURGIQUES DE TRAITEMENT DE LA CHALCOPYRITE

Ces procédés ont pour but de traiter des concentrés de chalcopyrite, mais éventuellement aussi des minerais complexes à forte teneur en cuivre, plomb, zinc,...: plusieurs revues bibliographiques ont fait le point sur leur état d'avancement et leur intérêt (78-83).

# A. Procédés menant à la mise en solution du cuivre sous forme de sulfate

a) Procédés utilisant des oxydants "puissants"

# $\alpha$ )En milieu acide nitrique

BJORLING a proposé plusieurs flow-sheets comprenant les étapes suivantes :

CHICAGO	(1973)	(84)
OHLUM	(1)/3/	(07)

## LAS VEGAS (1975) (85)

- lixiviation en deux étapes

  (pH 0, puis 1,6)

  avec précipitation simultanée

  de Fe(OH)<sub>3</sub> et du soufre
- Elimination des sulfates par précipitation de gypse à l'aide de chaux
- Extraction par solvant du cuivre en milieu nitrate
- Electrolyse de CuSO<sub>4</sub>
- Régénération de HNO<sub>3</sub> à partir de NO par l'air

- lixiviation en deux étapes
  - . neutralisation (pH peu acide)
  - . acide (pH très acide)
- Cristallisation de CuSO4
- Elimination du fer sous forme d'oxyde
- Electrolyse de CuSO<sub>4</sub>
- Extraction par solvant du zinc
- Régénération de  $\mathrm{HNO}_3$ à partir de  $\mathrm{NO}$  par l'air

N.B.: Dans les flow-sheets décrits ci-après, les traits discontinus représentent le traitement ou l'obtention de solides, les traits continus, ceux des solutions.

La Société DU PONT DE NEMOURS (86) a breveté en 1974, un procédé basé sur la réaction de lixiviation suivante en milieu sulfo-nitrique :

$$3CuFeS_2 + 9HNO_3 + 11H^+ \longrightarrow 3Cu^{2+} + 3Fe^{3+} + 2SO_4^+ + 4S^o + 9NO + 10H_2O$$

L'acide nitrique résiduel est réduit par l'introduction d'ions ferreux; les ions ferriques provenant de la lixiviation et ceux obtenus lors de la précédente réaction sont précipités sous forme d'ammonojarosite à l'aide d'hydroxyde d'ammonium à 160-180°C sous une pression d'environ 10 atmosphères. Il est ensuite possible de déposer par électrolyse un cuivre de haute pureté à partir de la solution qui contient alors moins de 1g/1 d'ions nitrates et moins de 5g/1 d'ions ferriques.

La Société KENNECOTT COPPER CORP. (87) a mis au point un procédé basé sur la réaction de la lixiviation étudiée par PRATER et col (27).

Le flow-sheet de la figure 8 montre les principales étapes de ce procédé :

- lixiviation à 90°C en milieu nitrique et séparation liquidesolide
- extraction par solvant du cuivre et précipitation des ions sulfates formés
  - -régénération de l'acide nitrique.

Toutefois, l'hydrométallurgie en milieu nitrique se heurte à plusieurs difficultés malgré l'obtention de bons rendements d'extraction du cuivre (27):

- le peu d'éxpérience de l'industrie dans l'utilisation de l'acide nitrique
  - le danger présenté par l'acide nitrique et les oxydes d'azote
- la gêne occasionnée par la formation de mousses au cours de la lixiviation.

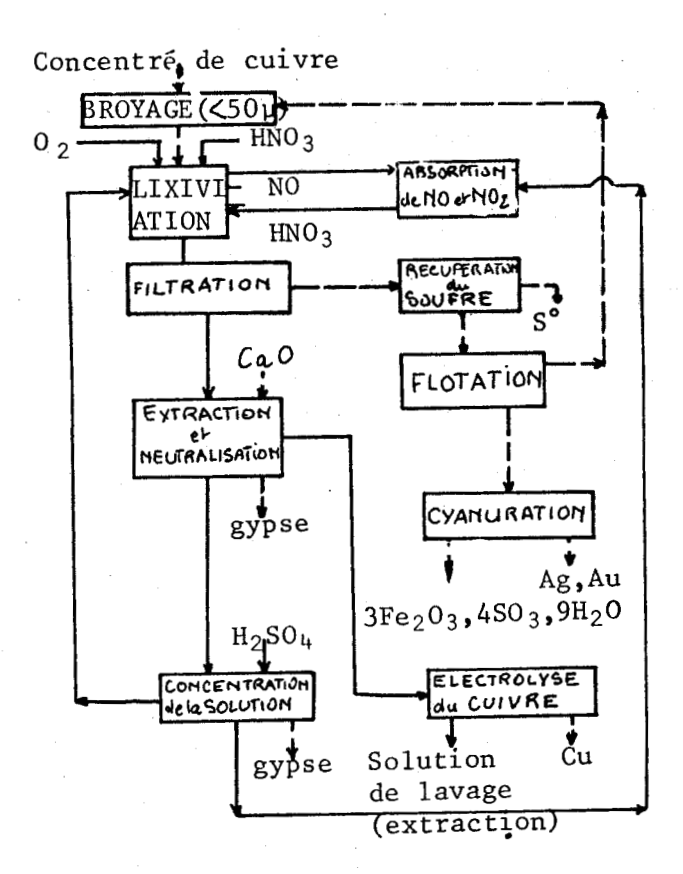


FIGURE 8 - Procédé du traitement de concentrés sulfurés de cuivre par l'acide nitrique d'après PRATER et col (27)

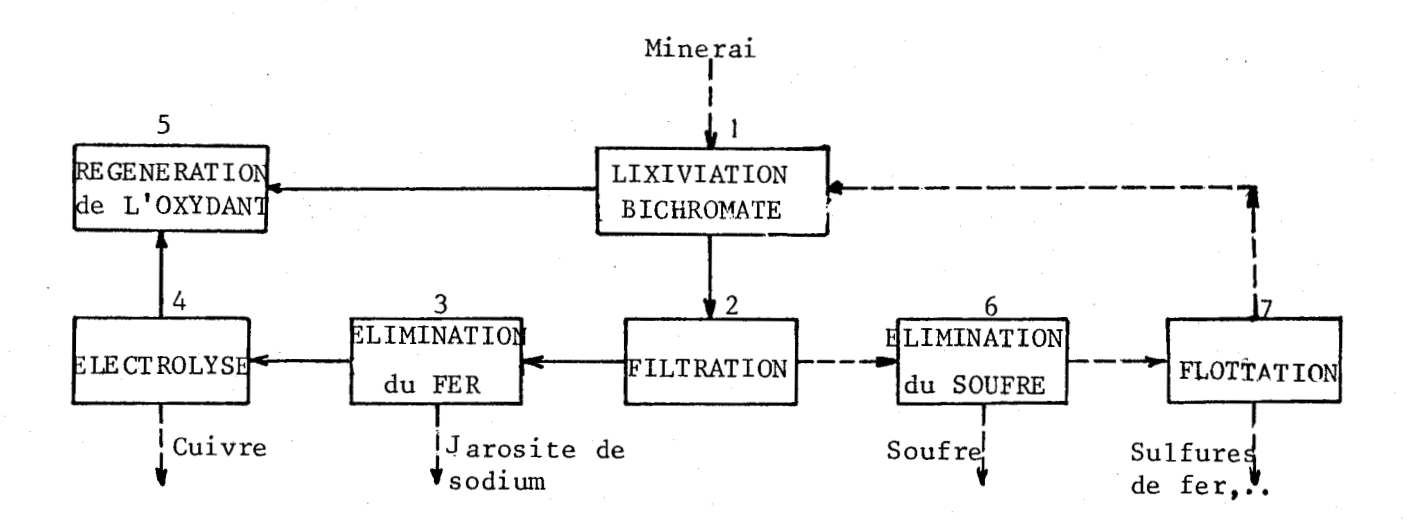


FIGURE 9 - Procédé de traitement de concentrés de cuivre par le bichromate d'après SHANTZ et MORRIS (16)

## β) En milieu bichromate

Le procédé proposé en 1974 par SHANTZ et MORRIS (16) comprend les étapes suivantes (Fig. 9):

- lixiviation du concentré à la température d'ébullition par une solution sulfurique de bichromate de sodium
- -élimination du fer dont la présence gêne l'étape d'électrolyse, sous forme de jarosite de sodium à 170°C sous une pression de 7 bars

$$Na_2SO_4 + 3Fe_2(SO_4)_3 + 12H_2O \longrightarrow 2[Na Fe_3(SO_4)_2(OH)_6] + 6H_2SO_4$$

- électrolyse en deux étapes dans une cellule à diaphragme :
- . à l'anode, régénération du bichromate :

$$2Cr^{3+} + 7H_2O - 6e^ Cr_2O_7^- + 14H^+$$

. à la cathode, précipitation de cuivre :

$$\frac{3}{2} \operatorname{Cu}^{2^{+}} - 3e^{-} \longrightarrow \frac{3}{2} \operatorname{Cu}$$

puis production d'hydrogène:

$$3H^+ - 3e^- \longrightarrow \frac{3}{2} H_2$$

L'I.N.C.O. (88) a également proposé de régénérer le bichromate par des gaz oxydants tels que le chlore ou l'ozone.

L'intérêt essentiel de cette méthode réside dans le faible temps de séjours nécessaire à la lixiviation de la chalcopyrite (50% d'extraction de cuivre en 15 mm), mais trois problèmes handicapent ce procédé:

- l'oxydation d'une partie du soufre à l'état de sulfate.
- la faible sélectivité de dissolution de la chalcopyrite par rapport à la pyrite.
  - -les pertes de chrome lors de l'hydrolyse du fer.

# b) Procédés utilisant l'oxygène sous pression

# $\alpha$ )En milieu ammoniacal

Le procédé ARBITER (59) utilise au niveau de la lixiviation des conditions modérées de température (de 50 à 90°C) et de pression (0,3 bar), à un pH compris entre 9 et 1! : l'opération se déroule dans une série de plusieurs réacteurs en cascade à contre-courant (89). Les autres étapes essentielles, figurées sur le flow-sheet de la figure 10, consistent en :

- l'extraction liquide-liquide du cuivre par le LIX65N, suivie de sa récupération électrolytique sous forme de cathode.
- la régénération de l'ammoniac par traitement du sulfate d'ammonium par la chaux, qui conduit à l'élimination des ions sulfates sous forme de gypse.

A la suite de l'élevation du prix de l'énergie, une modification importante a été apportée au schéma antérieur du procédé (90), le cuivre en solution n'est plus extrait par une phase organique, mais précipité à l'aide d'un bullage de  $\rm SO_2$  sous forme d'un sulfite de cuivre et d'ammonium :  $\rm Cu_2SO_3$  ,  $\rm 7(NH_4)_2SO_3$  ,  $\rm 10H_2O$  ou  $\rm CuNH_4SO_3$  suivant les conditions. Ces sels qui cristallisent bien peuvent ensuite être décomposés thermiquement pour donner du cuivre extrêmement pur.

FONSECA (91) a mis au point pour la Continental 0il Company un procédé proche du précédent qui diffère toutefois sur deux points:

- les conditions de lixiviation sont plus sévères : température de 150°C et pression de 20 bars.
- le cuivre est déposé à l'aide d'ammoniac sous forme de sulfate hydraté de cupri-tétraammine [Cu(NH<sub>3</sub>)<sub>4</sub>SO<sub>4</sub>, H<sub>2</sub>O] qui est ensuite décomposé thermiquement pour donner de l'ammoniac et du sulfate de cuivre, à partir duquel le cuivre peut être obtenu par électrolyse ou hydrogènation.

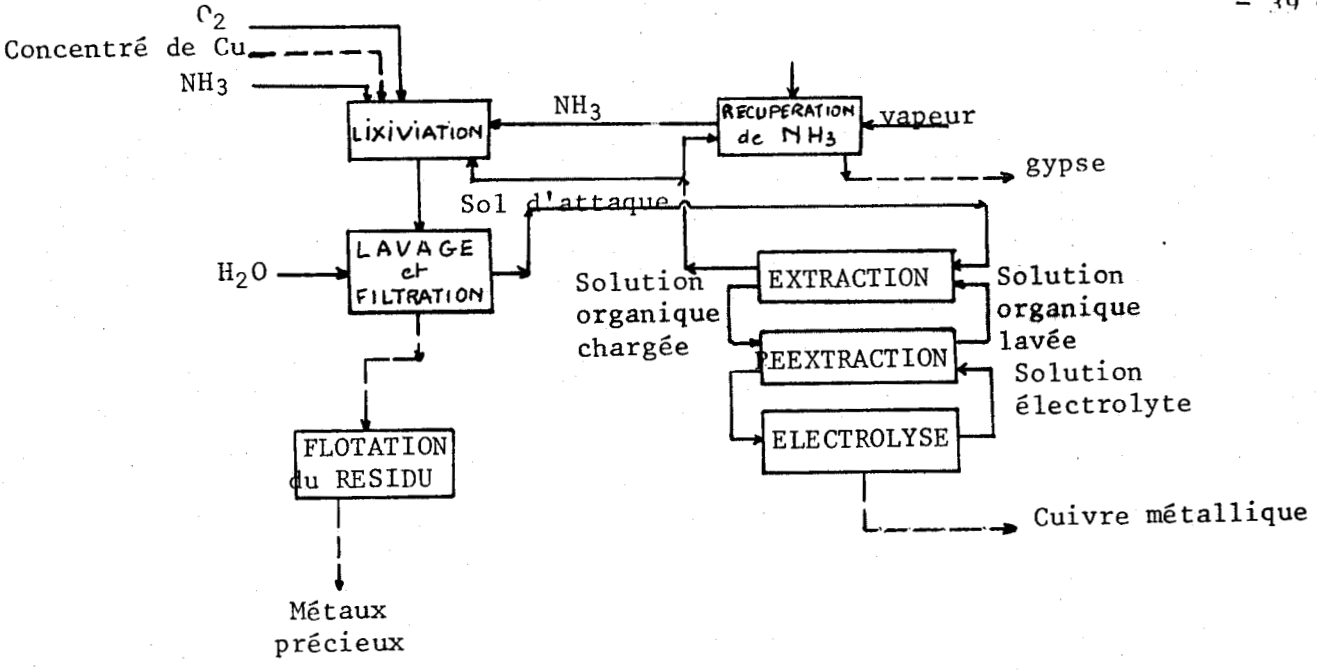


FIGURE 10 - Version initiale du procédé ARBITER du traitement de concentrés du cuivre en milieu ammoniacal

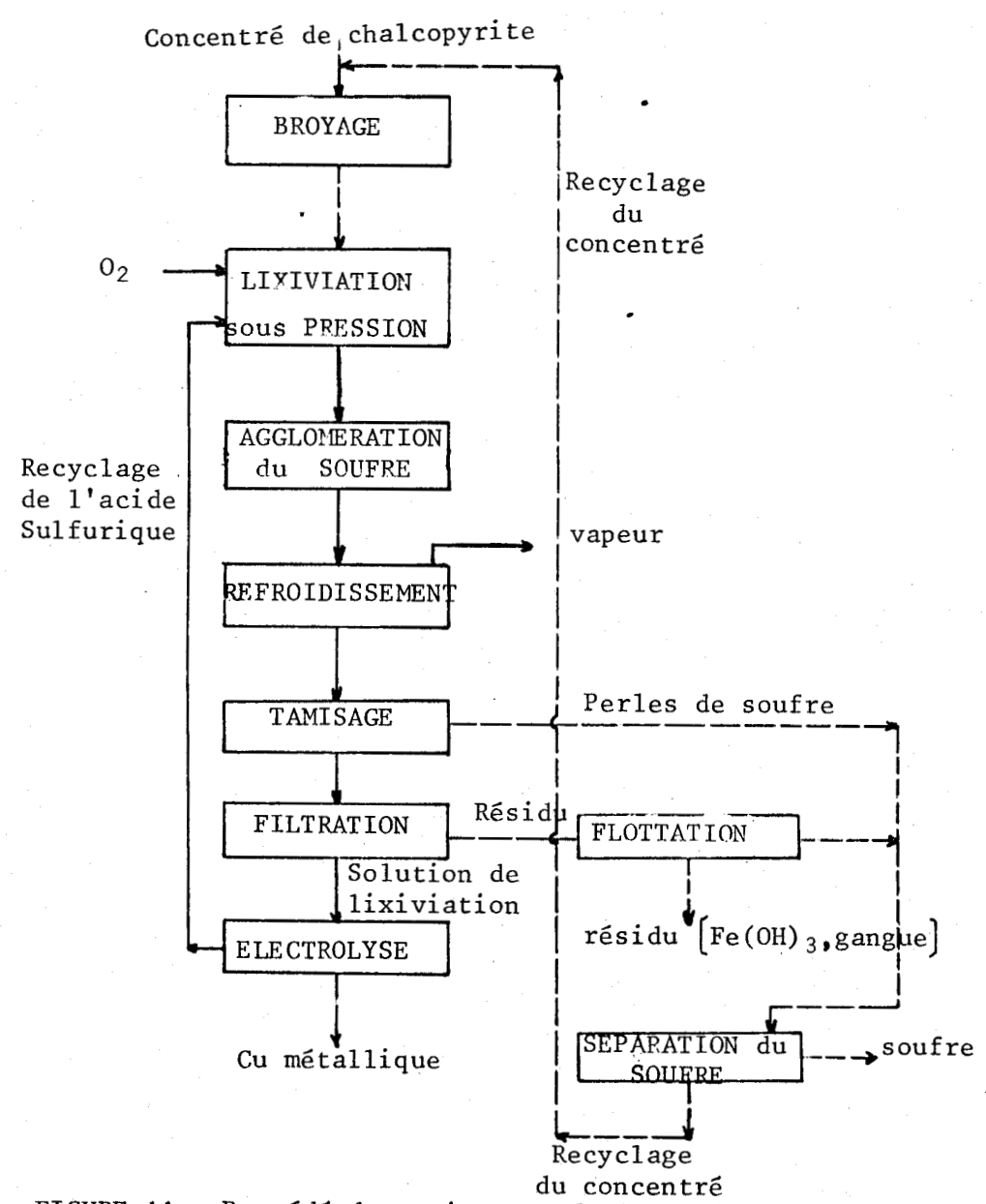


FIGURE 11 - Procédé de traitement de la chalcopyrite par l'oxygène sous pression en milieu sulfurique, d'après VISZOLYI et col (22)

# A En milieu sulfurique

La société autrichienne MITTERBERG, l'Université Technique de BERLIN-OUEST et LURGI se sont associés pour la mise au point d'un procédé en milieu sulfurique et le pilotage d'une unité de 3 tonnes par jour qui fonctionne depuis le printemps 1974 en Autriche. Le procédé est basé sur une activation de la chalcopyrite par un broyage extrêmement poussé qui créerait, selon GERLACH et col (92), des tensions dans le réseau cristallin permettant une lixiviation à un potentiel nettement plus faible que pour un minerai non activé.

Il est alors dans ces conditions possible de dissoudre 99% de la chalcopyrite en deux heures à 110°C avec une supression de 20 bars d'oxygène et d'arrêter l'oxydation de plus de 80% du sulfure à l'état de soufre élémentaire. Dans la suite du procédé décrit par BIANGARDI et PIETSCH (93), la solution est évaporée de façon à précipiter le sulfate de cuivre ; les ions cuivriques résiduels sont précipité à l'état de CuS par introduction de sulfure de sodium. Le sulfate de cuivre est ensuite électrolysé, alors que les métaux précieux sont extraits du résidu par chloruration par une solution de NaCl sous faible courant de chlore.

VISZOLYI et col (22) sont également parvenus à dissoudre 99% du cuivre contenu dans un concentré broyé à moins de 44µ, mais dans des conditions de température et de pression un peu plus sévères que dans le précédent procédé (plus de 30 bars d'oxygène et 165°C). La figure 11 représente le flow-sheet mis au point par VISZOLYI et col : il souligne en particulier le traitement pour la récupération du soufre et l'élimination du fer.

#### B. Procédés en milieu chlorure

# a) Procédés basés sur une lixiviation par le chlorure ferrique

# α) Procédés de l'U.S. Bureau of Mines

Le premier flow-sheet proposé (35) date de 1971. Il comprenait les étapes suivantes :

- -lixiviation par le chlorure ferrique à 106°C sur du minerai broyé à une granulométrie de 3,4µ permettant d'extraire 99,9% du cuivre en deux heures.
  - -cémentation du cuivre par de la poudre de fer.
- -cristallisation du fer provenant de la chalcopyrite et de la cémentation sous forme de chlorure ferreux hydraté (FeCl<sub>2</sub>,4H<sub>2</sub>O) qui, par décomposition thermique, donne de l'oxyde ferrique Fe<sub>2</sub>O<sub>3</sub>et du gaz chlorhydrique.
- -régénération du chlorure ferrique par le chlore provenant de l'électrolyse d'acide chlorhydrique.
- -récupération du soufre par extraction par le sulfure d'amonium et de l'or par cyanuration.

Toutefois, dans ce procédé, les étapes de cémentation et de régénération de Fe Cl<sub>3</sub> pour le chlore se sont avérées peu intéressantes et, par suite, HAVER, BAKER et WONG (94) ont proposé un schéma (Fig. 12) qui n'a plus en commun avec l'ancien flow-sheet que la première et la dernière étape. Dans sa nouvelle version , le procédé comporte :

- une électrolyse dans une cellule à diaphragme où le cuivre est déposé sous forme de poudre à la cathode et le chlorure ferrique partiellement régénéré à l'anode.
- une oxydation par l'air du chlorure ferreux dans un réacteur agité sous pression d'oxygène à 80°C permettant de finir de régénérer le chlorure ferrique et de déposer le fer provenant de la chalcopyrite sous forme d'oxyde ferrique hydraté :

$$3 \text{FeC1}_2 + 3/4 \text{H}_2 0 \xrightarrow{\text{xH}_2 0} 2 \text{FeC1}_3 + (\frac{1}{2} \text{Fe}_2 \text{O}_3, \text{xH}_2 \text{O})$$

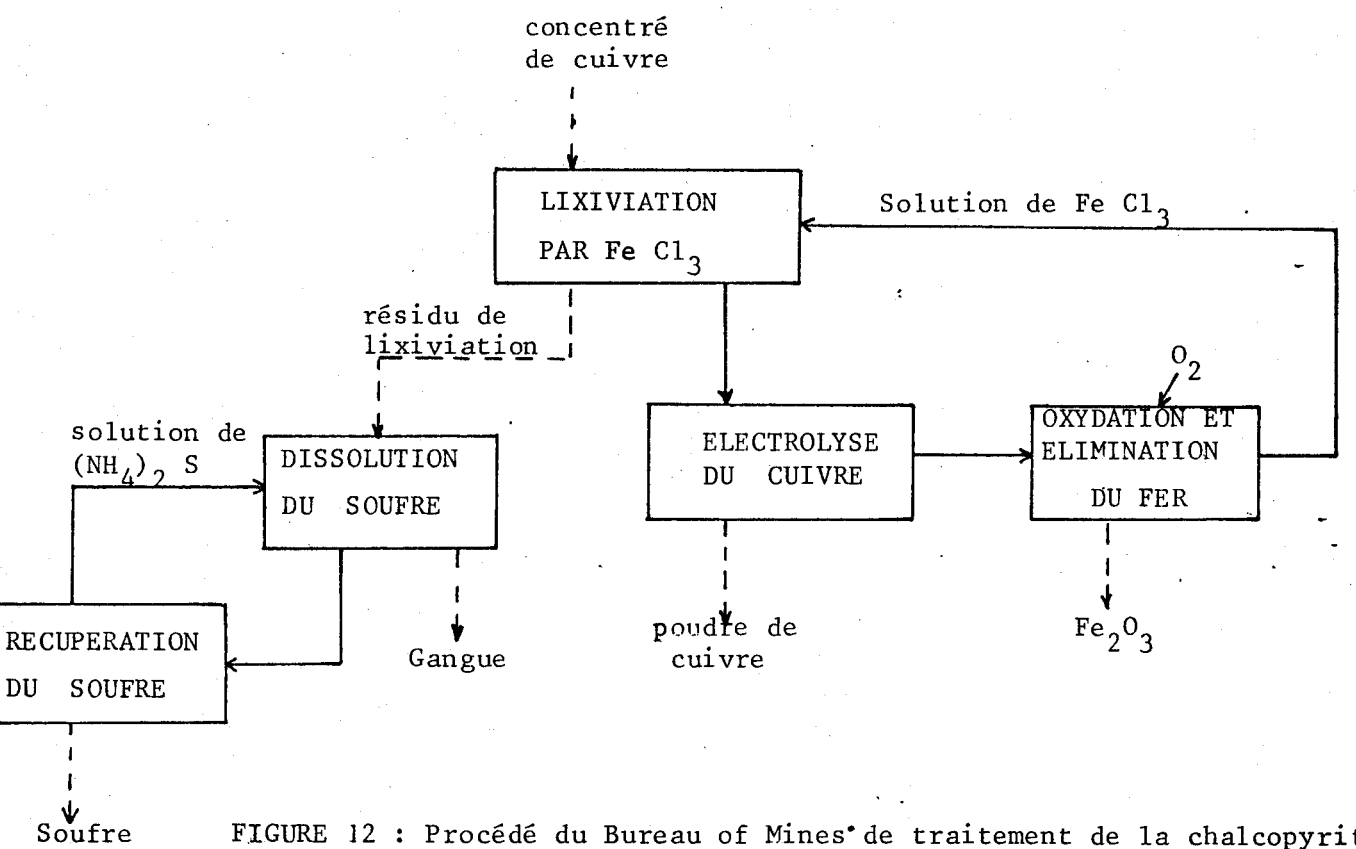


FIGURE 12 : Procédé du Bureau of Mines de traitement de la chalcopyrite d'après HAVER et Col. (94)

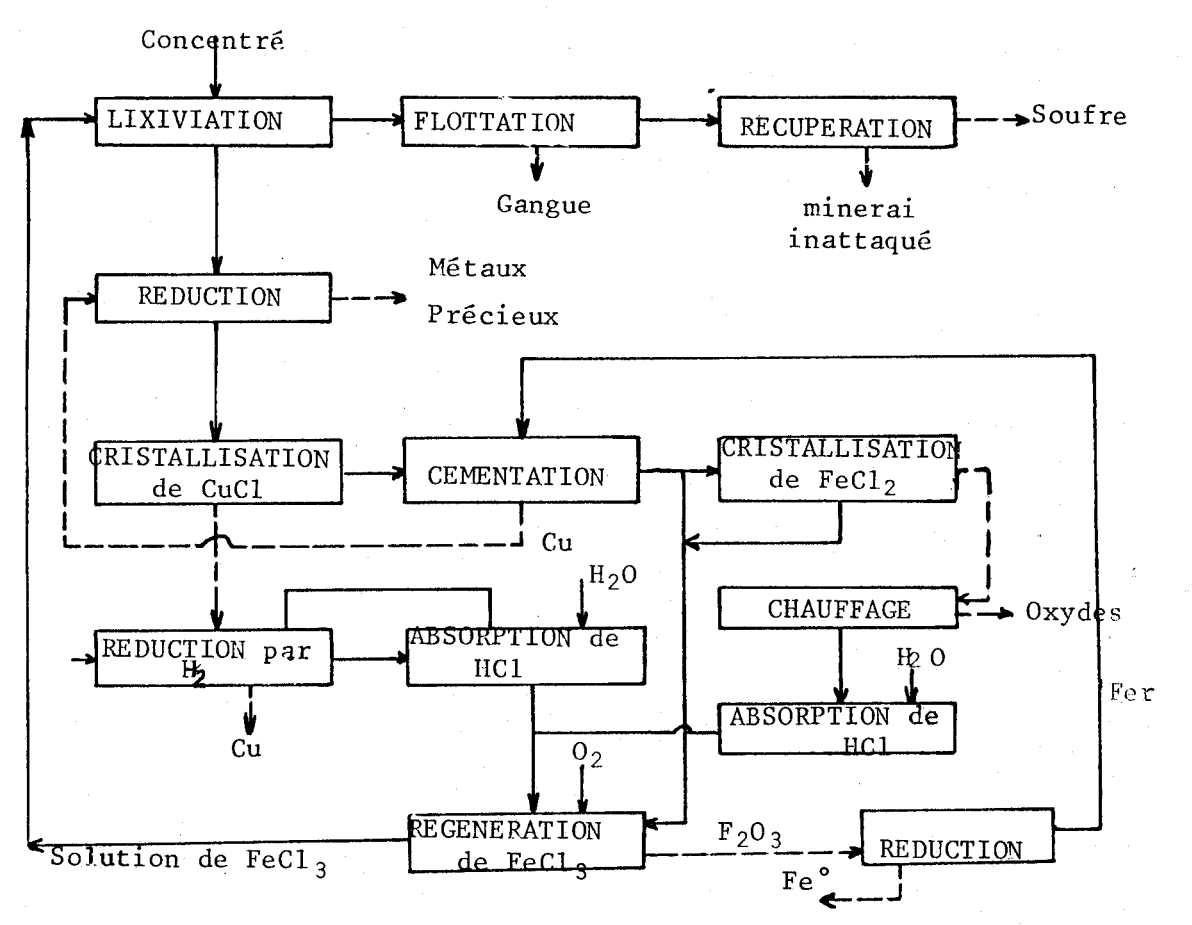


FIGURE 13 - Procédé de traitement de concentrés sulfurés de cuivre par le chlorure ferrique de la Société COMINCO (96)

Le Bureau of Mines a également mis au point un procédé basé sur la lixiviation par le chlorure ferrique pour la galène PbS (95), comprenant les étapes suivantes :

- lixiviation par le chlorure ferrique en milieu NaCl > 100°C permettant d'extraire la totalité du plomb en une heure.
- précipitation puis purification de  ${\mbox{PbCl}}_2$  , qui est ensuite cristallisé.
- électrolyse en sel fendu de  $PbCl_2$  dans l'eutectique  $piCl_2$  dans  $piCl_2$  dans
- régénération du chlorure ferrique par absorption de chlore dans la solution de chlorure ferreux provenant de la lixiviation.

# β) Procédé COMINCO

Ce procédé a été mis au point au Canada et breveté à la fin de l'année 1973 (96). Les étapes essentielles décrites sur la figure 13 sont les suivantes :

- lixiviation par le chlorure ferrique à 95-100°C, permettant d'extraire 99% du cuivre de la chalcopyrite en un temps compris entre 9 et 12 heures.
- réduction à 100°C des ions cuivriques à l'état cuivreux par de la poudre de cuivre
  - cristallisation du chlorure cuivreux par refroidissement
- réduction entre 300 et  $500^{\circ}$ C du chlorure cuivreux précipité par l'hydrogène : CuCl +  $\frac{1}{2}$  H<sub>2</sub>  $\longrightarrow$  Cu + HCl
- cristallisation à partir de la solution de lixiviation du chlorure ferreux provenant de la chalcopyrite, ensuite décomposée par chauffage en oxyde de fer et en gaz chlorhydrique.
- régénération du chlorure ferrique et précipitation du fer provenant de la cémentation sous forme d'un oxyde anhydre filtrable par înjection d'oxygène à 10 bars à une température comprise entre 135 et 165°C dans un réacteur en titane.

# γ) Procédé du N.I.M. de Johannesburg

Dans le flow-sheet mis au point par le National Institute for Metals et décrit par PAYNTER (81) en 1973 apparait pour la première fois dans un procédé en milieu chlorure une étape d'extraction par solvant avec le LIX64N. Les étapes essentielles décrites sur la figure 14 sont les suivantes :

- lixiviation par le chlorure ferrique
- extraction par solvant suivie de la récupération électrolytique du cuivre.
  - récupération du soufre et des métaux précieux
- cémentation du cuivre résiduel suivie de l'élimination du fer sous forme de goethite Fe O(OH) par oxydation par l'air à 100°C (ou obtention de cathodes de fer par électrolyse)
- régénération du chlorure ferrique à 95-100°C sous une pression d'oxygène de 3 bars.
  - b) Procédés basés sur une lixiviation par le chlorure cuivrique

# a) Procédés HOEPFNER et CHAMBERS

Dès la fin du sciècle dernier, HOEPFNER (97) proposait un procédé où les minéraux cuprifères et argentifères étaient lixiviés par le chlorure cuivrique en présence de chlorure alcalins ou alcalinoterreux; la solution de lixiviation était ensuite envoyée dans une cellule d'électrolyse à diaphragme, où le cuivre était déposé à la cathode et le chlorure cuivrique régénéré à l'anode. Toutefois, quelques années plus tard, de nombreux inconvénients sont apparus tels que la perte de solvant dans le traitement de minerais de faible teneur, l'élimination difficile du fer , la mauvaise qualité du cuivre déposé,... (98); malgré les solutions proposées, le procédé n'est jamais passé au stade industriel en raison de problèmes technologiques, qui n'étaient pas résolus à l'époque, telsque la corrosion en milieu chlorure.

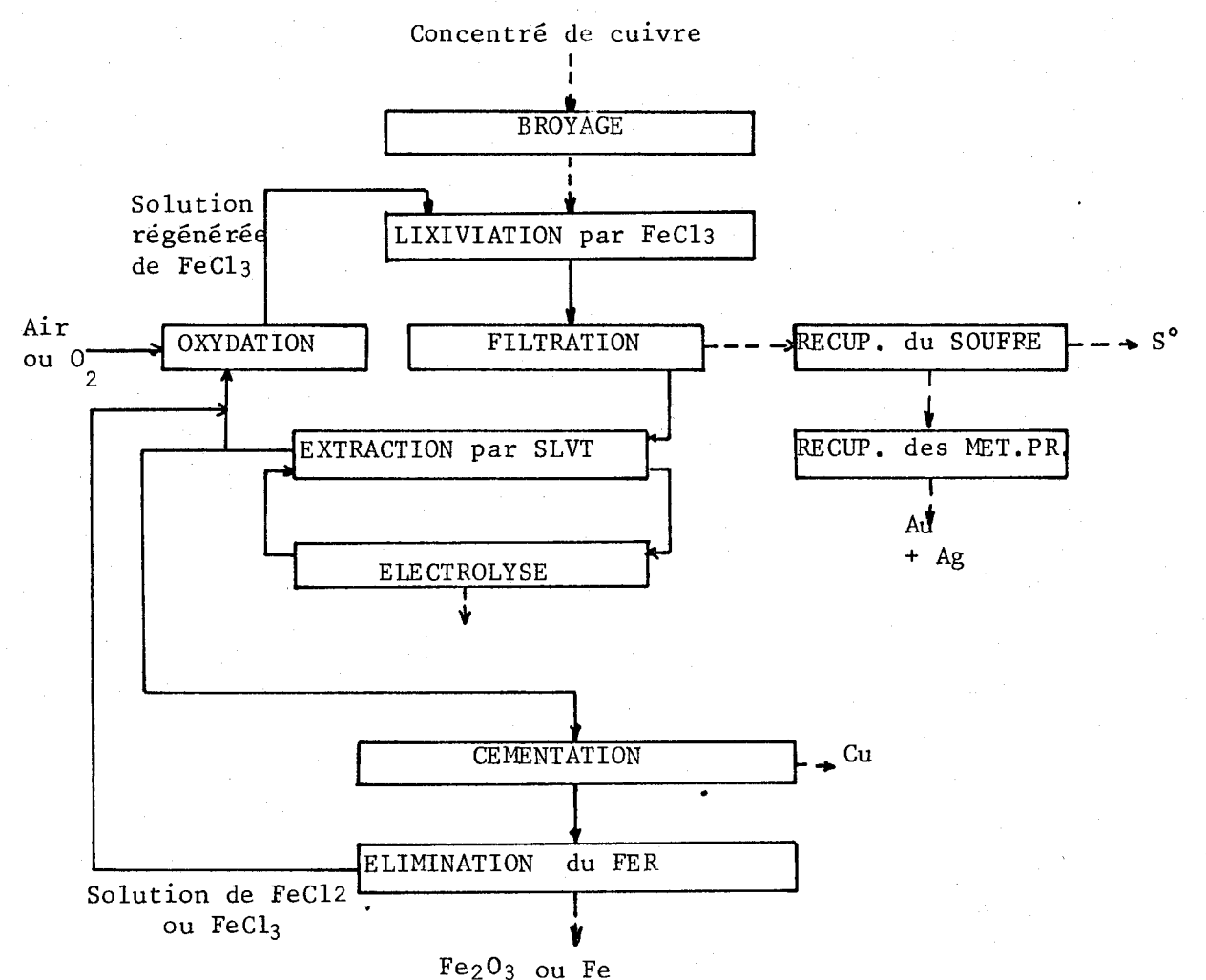


FIGURE 14 -Procédé de traitement de concentrés de cuivre par le chlorure ferrique du N.I.M. de Johannesburg , d'après PAYNTER (84)

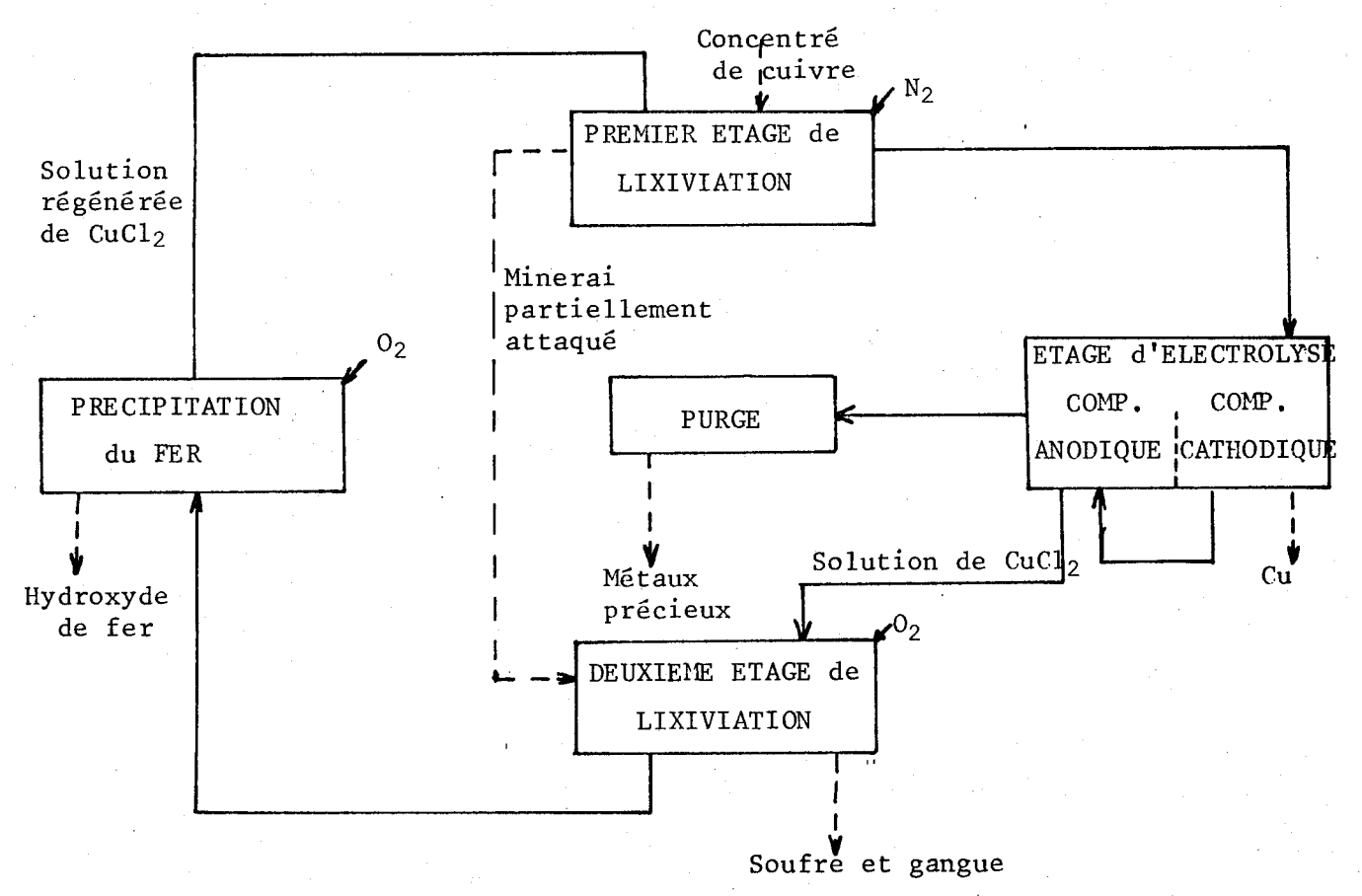


FIGURE 15 - Schéma du procédé DU PONT DE NEMOURS (100) en milieu chlorure cuivrique

La Société CHAMBER'S PROCESS LTD (99)a repris l'essentiel de ces idées dans le procédé qu'elle propose :

- lixiviation de minerais cuprifères par le chlorure cuivrique en présence d'agents de solubilisation de CuCl tels que les halogénures alcalins à des températures et pendant des temps pouvant varier suivant la nature du minerai.
- électrolyse dans une cellule à diaphragme de la solution de lixiviation menant à la régénération de CuCl<sub>2</sub> à l'anode et au dépôt de cuivre sous forme de poudre dans le compartiment cathodique.

# β)Procédé du C.S.I.R.O. (Melbourne)

CATHRO (61) propose, dans une première phase, d'activer <sup>1</sup>e concentre de chalcopyrite en chauffant a 350°C pendant 4 heures un mélange contenant 90% de minerai et 10% de soufre.

$$5\text{CuFeS}_2 + 4\text{S} \longrightarrow \text{Cu}_5\text{FeS}_6 + 4\text{FeS}_2$$

La phase contenant le cuivre qui est ainsi formée est beaucoup plus facilement lixiviable que la chalcopyrite avant activation .

$$Cu_5Fe S_6 + 7CuCl_2 \longrightarrow 12CuCl + FeCl_2 + 6S$$

Ie résidu est essentiellement constitué de pyrite et ainsi seulement environ 10% du fer passe en solution. Par suite de la teneur relativement faible en impuretésde la solution, le cuivre déposé est de bonne qualité; de plus, la consommation énergétique est deux fois plus faible que dans le cadre des procédés classiques, puisque le cuivre est en solution à l'état cuivreux.

# y) Procédé Du Pont de Nemours

La lixiviation se déroule dans ce procédé en deux étapes. Bien que le flow-sheet ne soit pas figuré dans le brevet, il est possible de le déduire (Fig. 15) à partir des indications données dans le brevet datant de 1974 (100).

- première étape de lixiviation du minerai broyé à moins de  $45\mu$  (en excès) à  $100-120^{\circ}\text{C}$  par une solution de  $\text{CuCl}_2$  déjà partiellement réduite contenant de 6 à 7 moles de  $\text{NH}_4\text{Cl}$
- électrolyse à 50°C dans une cellule diaphragmée de la solution provenant du premier étage de la lixiviation : le chlorure cuivrique est régénéré à l'anode et le cuivre, déposé à la cathode.
- deuxième étape de la lixiviation où le minerai provenant du premier étage est lixivié à  $100^{\circ}$ C par la solution régénérée de CuCl<sub>2</sub> sous pression d'oxygène.
- élimination du fer par précipitation d'hydroxyde ferrique à 100-110°C sous pression d'oxygène.

# 8) Procédé Pennaroya

La Société PENNAROYA a mis au point un procédé comportant plusieurs étapes, qui a été connu à la fin 1975 (101). Toutefois, des variantes sont proposées pour certaines de celles-ci.

Le procédé décrit sur la figure 16 comporte essentiellement six étapes (102):

- lixiviation en deux étapes à  $107^{\circ}$ C du minerai par une solution de CuCl $_2$  à  $250 \mathrm{g}/1$  de NaCl de pH inférieur à 1.
- élimination du fer par précipitation de goethite FeO(OH) avec oxydation parallèle des ions cuivreux à l'état cuivrique par l'aîr, à un pH compris entre l et 3 et à 80°C.

$$6FeCl_2 + 12CuCl + \frac{9}{2}O_2 + 3H_2O \longrightarrow 6FeO.OH + 12CuCl_2$$

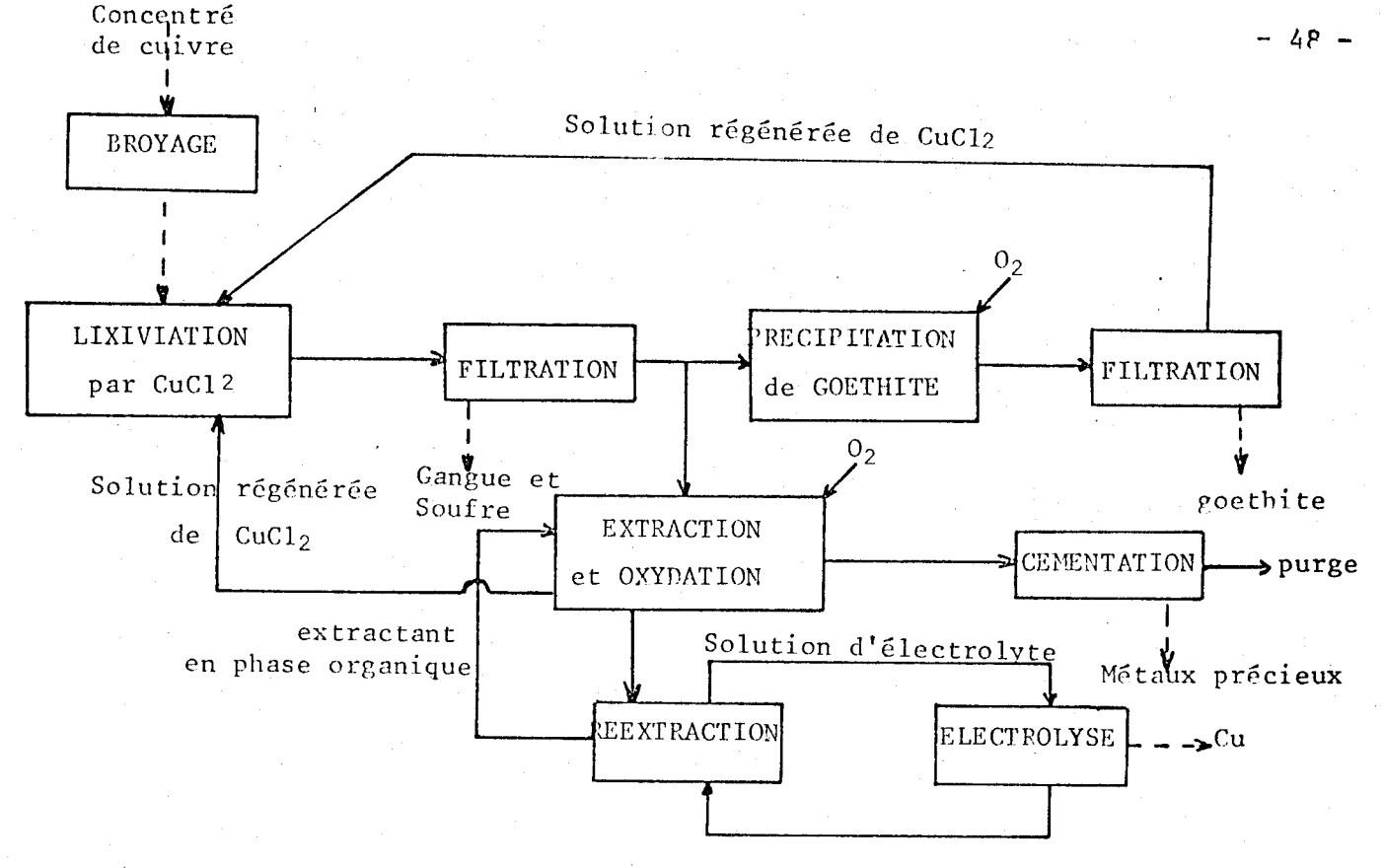


FIGURE 16 - Procédé PENNAROYA de traitement de minéraux cuprifères en milieu chlorure cuivrique - d'après DEMARTHE et Col (101)

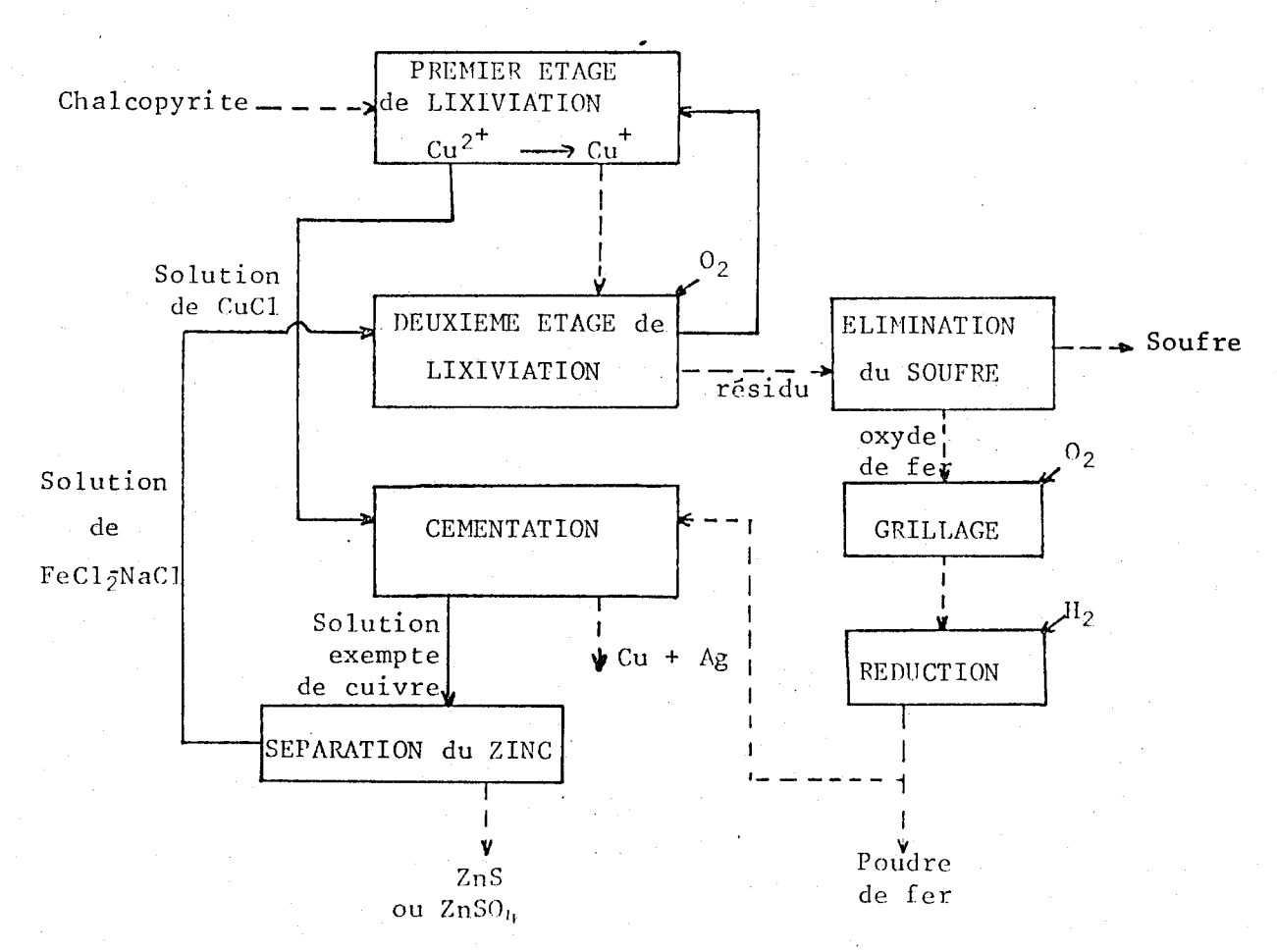


FIGURE 17 - Procédé SHERRITT- GOEDON de traitement de la chalcopyrite en milieu chlorure, d'après KUNDA et Col (104)

- extraction par solvant de la moîtié des ions cuivriques formés par oxydation des ions cuivreux présents initialement en solution :

$$2Cu^{+} + 2\overline{RH} + \frac{1}{2}O_{2} \longrightarrow \overline{CuR_{2}} + Cu^{2}^{+} + H_{2}O$$
 (les termes surmontés d'une barre représentent des espèces en phase organique)

- réextraction du cuivre de la phase organique par la solution aqueuse provenant de l'électrolyse :

$$\overline{R_2Cu}$$
 +  $H_2SO_4$  -  $CuSO_4$  +  $\overline{2RH}$ 

- électrolyse de la solution de  ${\rm CuSO_4}$  pour l'obtention de cuivre métallique
  - récupération des métaux précieux (Ag,...)

Deux modifications ont été apportées dans un autre brevet (103) par rapport à ce dernier procédé:

- lixiviation par le chlorure cuivrique généré in situ par injection d'air en présence d'acide chlorhydrique dans le deuxième étage de lixiviation (épuisement du minerai)
- élimination du fer par pyrohydrolyse de la solution de chlorure ferreux, menant à la précipitation de  ${\rm Fe_2O_3}$  et à la formation de gaz chlorhydrique.

#### n) Procédé Sherrit-Gordon

KUNDA et col (104) ont également proposé d'effectuer la lixiviation de la chalcopyrite par CuCl<sub>2</sub> généré in situ, sous une pression d'oxygène de 3 bars en milieu 4M NaCl à 135°C; dans ces conditions, au bout de 90 mm, 99% du cuivre est mis en solution, alors que 10% seulement du soufre est oxydé à l'état de sulfate. Les autres étapes du procédé décrit sur la figure 17 sont les suivantes:

- conversion du CuCl<sub>2</sub> provenant de l'étape précédente de lixiviation en CuCl par du minerai frais à 135°C en quelques minutes
- cémentation à 100°C pendant 5 mm des ions cuivreux par de la poudre de fer, obtenue par réduction par l'hydrogène à 870°C de l'oxyde ferrique précipité au cours de la lixiviation. L'intérêt

est que la quantité de poudre de fer nécessaire correspond à 60% de celle de cuivre à précipiter, puisque, en solution le cuivre est à l'état cuivreux.

- élimination du zinc par précipitation du sulfure ou du sulfate.

## c) Procédés basés sur deux types de lixiviation

## a)Procédé Cymet

La Société CYPRUS Metallurgical Process Corporation (105) a initialement proposé un procédé électrolytique de mise en solution des sulfures métalliques dans le compartiment anodique : le sulfure est dissocié par passage de courant dans une solution chargée en ions halogènures, chlorures essentiellement, alors que le métal est déposé électrolytiquement à la cathode. Cette réaction a ensuite été insérée dans le cadre d'un procédé de traitement de la chalcopyrite, le procédé CYMET.

Dans sa première version datant de 1972, le procédé comportait essentiellement les étapes suivantes (106-7):

- lixiviation en milieu chlorure ferrique dans des conditions relativement modérées (70-90°C).
- dissolution électrolytique : le minerai inattaqué est dissocié dans le compartiment anodique d'une cellule, alors que le cuivre est déposé sous forme de poudre à la cathode.

-dismutation électrolytique du chlorure ferreux en fer, qui est déposé à la cathode, et en chlorure ferrique, qui est régénéré à l'anode et recyclé vers la premier étage de lixiviation.

Toutefois, dans sa version la plus récente (10%), l'étape de dissolution électrolytique du minerai est encore suivie par deux étapes de lixiviation par le chlorure ferrique, mais dans des conditions de température plus sévères que celles de la première. En ce qui concerne le fer une alternative est proposée. Le flow-sheet général du procédé en cours de pilotage est décrit sur la figure 18. Une amélioration a été conçue (109) pour le procédé au niveau de la lixiviation, celle de l'addition de charbon actif, qui semble jouer le rôle de catalyseur : les

résultats apparaissent particulièrement intéressants en milieu chlorure ferrique, où l'addition d'une quantité de charbon actif représentent 20% de celle de chalcopyrite accroit de près de 40% le taux de dissolution du cuivre et réduit la formation de sulfate.

## β) Procédé DUVAL

Ce procédé, également dénomé CLEAR, a été connu au courant de l'année 1972 : un pilote est en cours d'installation. La lixiviation de la chalcopyrite est effectuée en deux étapes ; dans sa première version (110 - 111) le flow-sheet comprenait les étapes suivantes :

- premier étage de la lixiviation (étape de réduction) à l'abri de l'air où la moitié du minerai introduit est dissous au bout de quatre heures par le chlorure cuivrique en présence de chlorure de sodium (4M), à la température d'ébullition de la solution, soit 107°C: dans la solution sortante, le cuivre est totalement à l'état cuivreux, après réduction par la poudre de cuivre.
- électrolyse dans une cellule à diaphragme à 55°C de la solution cuivreuse provenant du premier étage de lixiviation menant à la précipitation de cuivre métallique à la cathode et à la régénération du chlorure cuivrique à l'anode.
- étape de régénération et de purge où, à 107°C, sous une pression de 2,7 bars d'oxygène, il suffit de moins d'une heure pour oxyder le chlorure ferreux à l'état ferrique et faire précipiter le fer provenant de la chalcopyrite à l'état de jarosite.
- deuxième étage de lixiviation (étape d'oxydation) où le minerai est lixivié à 140°C par la solution de chlorure ferrique, provenant de l'étage de régénération : 99,9% du cuivre est ainsi extrait au bout d'une heure. Le soufre du minerai, qui se retrouve essentiellement oxydé à l'état de soufre élémentaire, peut être séparé par chauffage audessus de sa température de fusion puis filtration.

Il est également proposé de coupler les deux dernières étapes et cela apparaît clairement dans la plus récente version du procédé, datant de 1975 (112) et décrite sur la figure 19.

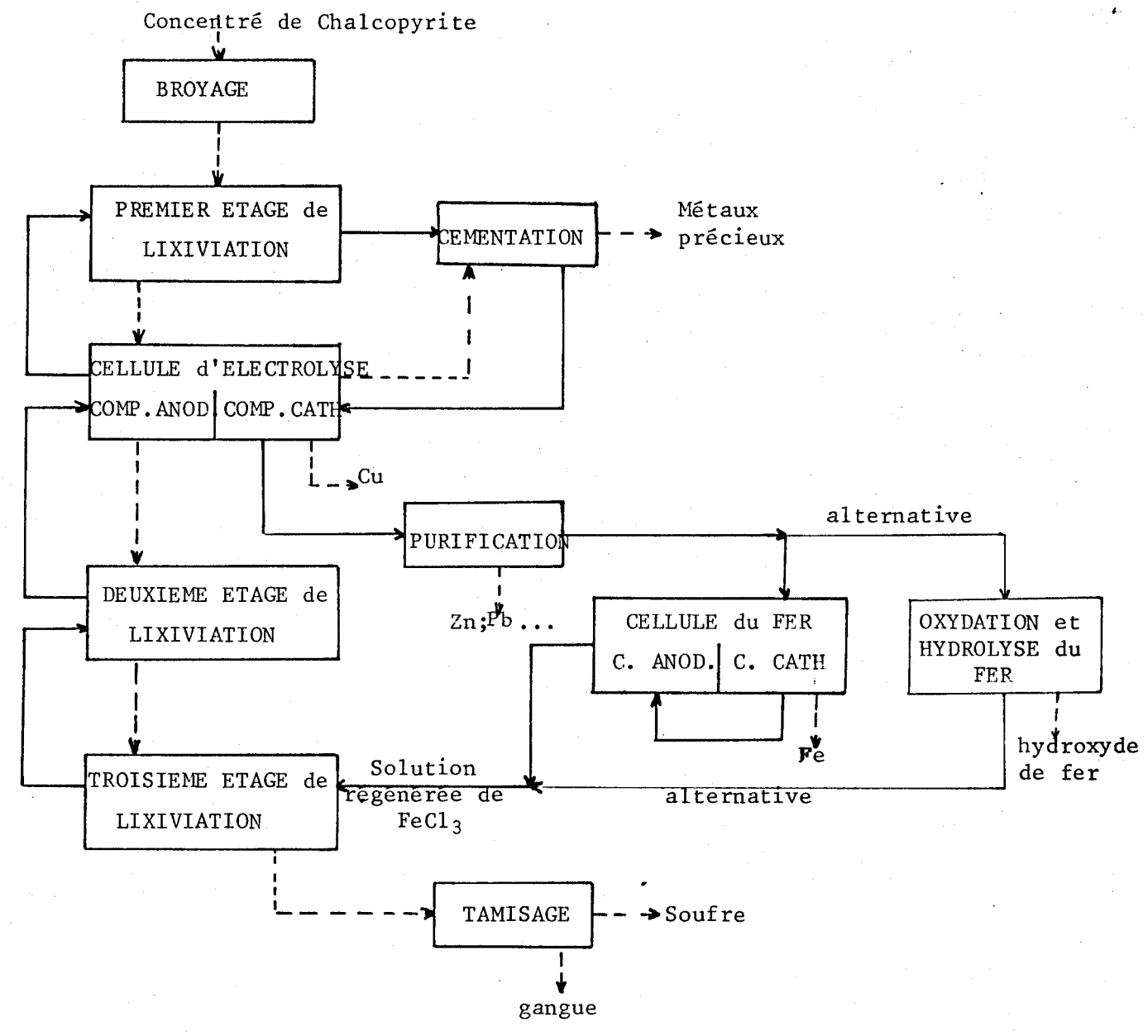


FIGURE 18 - Seconde version du procédé CYMET de traitement de la chalcopyrite d'après KRUESI (108)

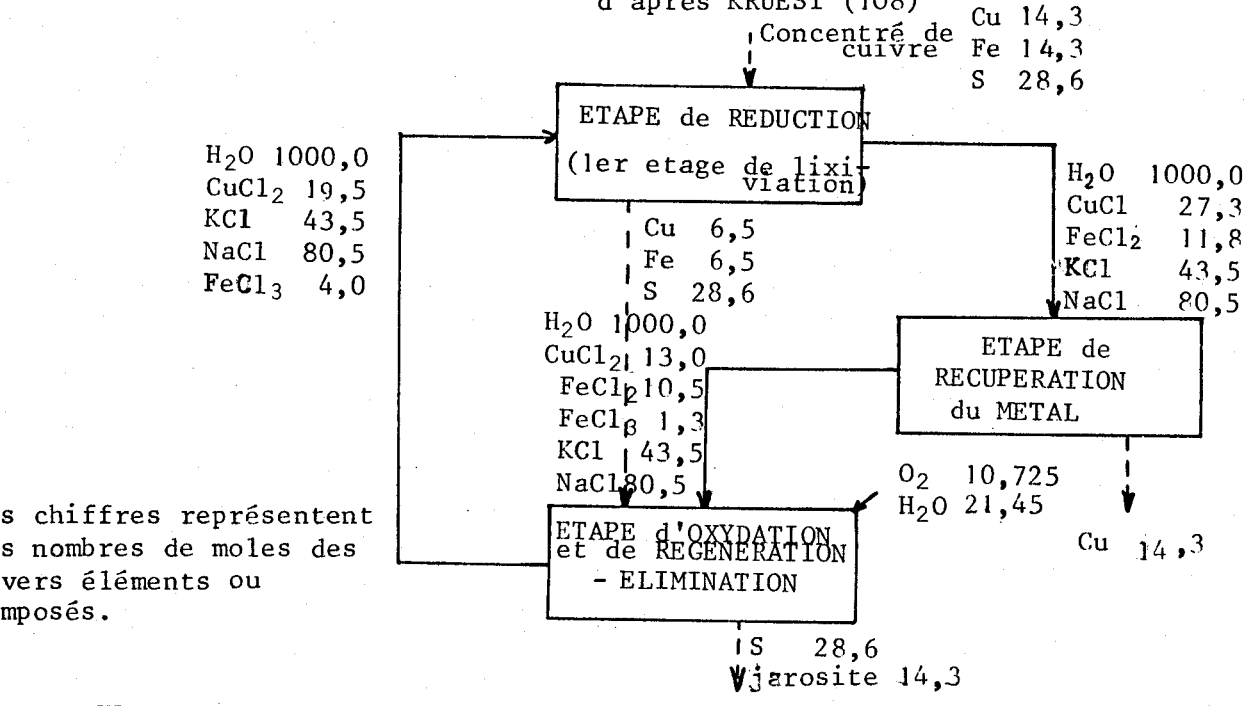


FIGURE 19 - Seconde version du procédé DUVAL (CLEAR) de traitement de concentrés de cuivre (112)

Il est ainsi possible d'opérer dans un milieu plus oxydant que précédemment : à la sortie du réacteur d'oxydation et de régénération-élimination, la solution est encore chargée d'ions ferriques, alors qu'elle sortait totalement réduite dans la première version.

Dans les deux versions, la teneur globale en ions chlorures est identique (175 moles d'ions chlorure pour mille d'eau), mais les sources n'en sont pas identiques : NaCl et FeCl<sub>2</sub> dans la première version, alors que, ultérieurement, une partie des ions chlorures provient de KCl et non plus de chlorure ferreux. L'addition d'ions chlorures a de nombreux effets bénéfiques:

- solubilisation du cuivre dissous lors de l'étape d'oxydation
- effet retardant sur l'oxydation du soufre en sulfate
- limitation de la réoxydation du chlorure cuivreux par l'air au niveau de la solution provenant de l'étape de réduction
- effet favorable sur les propriétés du cuivre précipité électrolytiquement.

Leur addition sous forme de chlorure de potassium ajoute deux avantages :

- celui de faciliter la précipitation des ions sulfates formés sous forme de jarosite de potassium
- celui de permettre la poursuite de la lixiviation avec des rapports  $\frac{\text{Cu}^{2^+}}{\text{Cu}^+}$  , encore plus faibles qu'auparavant.

#### d) Comparaison de quelques procédés en milieu chlorure

Etant donné que les problèmes de corrosion par les ions chlorures semblent avoir été surmontés par l'utilisation de nouveaux matériaux tels que le titane ou le polypropylène, la voie chlorure semble avoir un grand avenir. Un des atouts majeurs est l'obtention du soufre sous forme élémentaire, dans la mesure où, d'après JANSEN et MILLIGAN (113), l'augmentation des coûts de l'énergie grève un procédé dans lequel le soufre sermit récupéré sous forme de sulfate comme le procédé ARBITER.

Parmi les nombreux procédés en milieu chlorure, six ont été retenus dans le tableau comparatif ci-dessous (tableau 3) : deux basés sur une lixiviation par FeCl3, deux sur une lixiviation par le chlorure cuivrique et enfin deux sur des types différents de lixiviation.

Il apparait peu utile de revenir sur les différentes possibilités au niveau de la lixiviation déjà étudiée précédemment. Par contre il semble intéressant d'insister plus particulièrement sur les solutions proposées dans le cadre des divers procédés pour trois autres étapes fondamentales : la séparation du cuivre à partir de la solution de lixiviation, la régénération de l'oxydant et, enfin, l'élimination (ou la récupération) du fer.

## α) Séparation du cuivre

Le but ultime d'un procédé hydrométallurgique de traitement de minerais cuprifères est l'obtention de cuivre métallique pur. Quatre voies se présentent essentiellement pour cette étape :

- la cémentation sur poudre de fer, qui conduit à un cuivre devant être encore raffiné thermiquement ou électrolytiquement, est proposée dans le procédé Sherrit-Gordon (97) et l'était également dans la première version du prodédé de l'U.S. Bureau of Mines (35); cette méthode est de plus en plus délaissée à l'heure actuelle au profit de l'extraction par solvant:
- l'extraction par solvant est une méthode, proposée dans plusieurs procédés en milieu chlorure et l'est également dans le cadre de procédés en milieu nitrate, ammoniacal, ...: elle est suivie d'une électrolyse de la solution de lavage de la phase organique pour déposer le cuivre.
- la précipitation du cuivre sous forme d'un composé minéral pur, qui peut ensuite soit être décomposé thermiquement (90), soit être réduit par l'hydrogène (96) à l'état de cuivre métallique.
- la déposition électrolytique directe à partir de la solution de lixiviation à la cathode d'une cellule à diaphragme est proposée dans plusieurs procédés en milieu chlorure ainsi que dans celui au bichromate.

Elimination du fer	déposition de (F <sub>2</sub> O <sub>3</sub> ,xH O)	déposition de goethite ( ou fer électrolytique)	déposition de goethite	déposition d'oxyde ferrique	déposition de fer électro- lytique (ou d'hydroxyde ferrique)	déposition de jarosite
Pégénération de l'oxydant	par l'oxygène ( sous pression)	par l'oxygène ( sous pression)	par l'oxygène		par électrolyse	par l'oxygène (sous pression)
Séparation du cuivre	Electrolyse dans une cellule à diaphragme	extraction par solvant	extraction par solvant	cémentation .	électrolyse dans une cellule à diaphragme	électrolyse dans une cellule à diaphragme
Solution de lixiviation	FeC13	FeC13	$CuC1_2$	$0_2$ en présence de HCl (CuCl $_2$ )	FeCl3 et Cl2 généré électroly- tiquement	CuCl2 et FeCl3
	Procédé du Bureau of Mines	Procédé du N.I.M. Johannesburg	Procédé PENNAROYA (I métal)	Procédé SHERRITT-GORDON	Procédé CYMET	Procédé DUVAL

TABLEAU 3 - Comparaison de quelques procédés en milieu chlorure

Cette méthode présente essentiellement deux avantages :

- l'obtention de cuivre métallique en une seule étape.
- une diminution sensible de la consommation énergétique d'électrolyse dans plusieurs des procédés utilisant cette étape (DU PONT, CYMET, DUVAL), étant donné que le cuivre est réduit de la valence un à la valence zéro, alors que, dans l'électrolyse classique en milieu sulfate, le cuivre se trouve initialement à la valence deux. Toutefois la pureté du cuivre ainsi obtenu n'est pas toujours suffisante et dans le cadre du procédé CYMET, il doit encore être raffiné électrolytiquement.

De toutes ces méthodes, l'extraction par solvant apparaît la plus sûre pour l'obtention de cuivre pur, tandis que la déposition électrolytique directe apparaît la plus prometteuse dans la mesure où elle réduit en milieu chlorure l'énergie nécessaire au dépôt électrolytique du métal et permet l'obtention de poudre de cuivre en une seule étape, mais cette poudre est moins pure que les cathodes obtenues par électrolyse de solutions de sulfate de cuivre.

## β)Régénération de l'oxydant

La méthode la plus couramment utilisée est l'oxydation par l'air ou l'oxygène dans des conditions plus au moins sévères suivant le milieu : elle s'applique en particulier dans le cadre du procédé à l'acide nitrique. Un cas intéressant est celui du procédé PENNAROYA (101-3) où l'oxydation est favorisée par le fait qu'elle est couplée, d'une part, à la précipitation du fer sous forme de goethite et, d'autre part, à l'extraction du cuivre.

Deux autres solutions sont proposées :

- régénération par le chlore dans la première version du procédé de traitement par le chlorure ferrique de la chalcopyrite (35) et dans celui de la galène (94) du Bureau of Mines américain.

- régénération électrolytique à l'aide d'une cellule à diaphragme, que l'oxydant soit le chlorure ferrique (106-7), le chlorure cuivrique (100) ou même le bichromate (16).

## Y)Elimination du fer provenant de la chalcopyrite

La solution la plus généralement proposée est la précipitation de composés du fer, soit dans un réacteur particulier par injection de gaz ou par refroidissement, soit dans le réacteur-même de lixiviation. Les formes sous les quelles il est proposé d'éliminer le fer sont les suivantes : hydroxyde, oxyde, goethite, jarosite s'il y a formation de sulfate, où même chlorure ferreux qui est ensuite décomposé par chauffage en oxyde et gaz chlorhydrique (35).

L'autre voie est l'obtention de fer électrolytique; dans le cadre des procédés CYMET (109) et du N.I.M. de Johannesburg (81), elle apparaît en alternative avec la précipitation de composés ferriques.

#### e) Conclusion

Pour chacune des étapes d'un procédé hydrométallurgique, les possibilités sont donc très variées; les procédés proposés en milieu chlorure sont, par suite, fort nombreux et cela souligne l'intérêt de ce milieu.

Le grand nombre de ces procédés s'explique certes par l'imagination de leurs auteurs mais aussi par une contrainte fondamentale dans
ce domaine, l'aspect économique. Le coût des matières premières utilisées
peut en effet varier dans l'espace et dans le temps : ainsi, un procédé
utilisant une cémentation du cuivre peut être intéressant dans une
région disposant d'importantes quantités de ferrailles, alors qu'un
procédé récupérant le cuivre par l'électrolyse directe peut l'être
dans une contrée disposant d'énergie électrique à bon marché. De plus,
les minerais utilisés contiennent des quantités variables d'autres
métaux que le cuivre, dont l'intérêt de la récupération peut modifier les
dits procédés.

La capacité d'adaptation de la voie chlorure semble ainsi très large : un exemple récent vient d'être donné dans le cas du chlorure cuivrique que LANGER et col (114) proposent comme agent de dissolution de résidus de cuivre dans le cadre d'un procédé de récupération de déchets métalliques.

# III - CHOIX DU MILIEU ET CONDITIONS EXPERIMENTALES

#### A. Choix du milieu

Dans les précédents chapitres, l'intérêt de la voie chlorure a été souligné, en particulier au niveau des économies d'énergie relatives à l'oxydation du soufre. Les oxydants susceptibles d'être utilisés dans un tel milieu sont le chlore, le chlorure ferrique, le chlorure cuivrique et l'oxygène en milieu chlorhydrique. La lixiviation de la chalcopyrite par le chlore généré électrolytiquement, étape analogue à celle de dissolution électrolytique du procédé CYMET, a été étudiée dans le cadre d'un contrat D.G.R.S.T. (115). En ce qui concerne le chlorure ferrique, deux thèses ont été soutenues et JONES (56) affirme dans sa conclusion que les ions ferriques ne servent qu'à réoxyder les ions cuivreux formés et que la lixiviation dans ce milieu est en réalité une lixiviation par le chlorure cuivrique. D'autre part, dans la lixiviation par l'oxygène en milieu chlorhydrique, l'agent d'oxydation est en fait le chlorure cuivrique qui est consommé au fur et à mesure de sa régénération in situ. De plus, de récents procédés sont basés sur une étape de lixiviation par le chlorure cuivrique (Du Pont de Nemours, PENNAROYA,...) ou en comprennent une (Sherritt-Gordon en milieu chlorure, CLEAR, ...) Tout cela souligne l'intérêt de l'étude de la lixiviation par le chlorure cuivrique aussi bien du point de vue académique d'une meilleure compréhension des mécanismes mis en jeu que du point de vue appliqué pour l'industrie.

La réaction globale s'écrit:

 $\text{CuFeS}_2 + 3\text{Cu(II)} \xrightarrow{} 4\text{Cu(I)} + \text{Fe(II)} + 2\text{S}^\circ$  où Cu(II) et Cu(I) sont les espèces cuivriques et cuivreuses, éventuel-lement complexées par les ions chlorures.

Cette réaction est en fait la somme de deux réactions électrochimiques élémentaires

## B. Mineraisétudiés

Dans le cadre d'un procédé hydrométallurgique, les minerais à traiter peuvent être de divers types :

- minerai riche (de forte teneur en cuivre).
- concentré : le minerai de teneur initialement faible (0,5-3) est concentré par flottation(méthode permettant de séparer les minéraux selon leur aptitude à être mouillés par une solution contenant un floculant) ; la teneur en est, après cette opération, de l'ordre de celle d'un minerai riche.
  - minerai pauvre, de teneur en cuivre de l'ordre de 0,5 à 2%

Le minerai qui a été utilisé pour l'étude de la lixiviation par le chlorure cuivrique est du second type : c'est un concentré provenant du Chili, essentiellement formé de chalcopyrite.

Le spectre granulométrique du minerai utilisé s'étendait entre 0 et 250µ. La tranche la plus utilisée au cours du présent travail est la plus importante en poids dans le minerai étudié, 56-71µ.

L'analyse chimique de cette tranche a donné les résultats suivants:

		teneur	méthode d'analyse
	Cu	34,25 ± 0,4%	attaque à l'eau régale suivie du dosage par absorption atomique
İ	Fe	25,05 ± 0,45%	11
	S	31,5 ± 0,3%	attaque à l'eau régale suivie du dosage gravimétrique de BaSO,

D'autres éléments ont été détectés dans le minerai : Si, Al, et, à des teneurs comprises entre 0,15 et 0,01%, Zn, As, Mo et Ti. Une analyse chimique du minerai tout venant avait donné des résultats nettement différents en ce qui concerne le cuivre, 30,6%, et le fer, 26,5%; toutefois, pour la frange granulométrique 71-80 $\mu$ , les résultats sont encore proches de ceux observés pour celle 56-71 $\mu$ (33,5  $\pm$  0,4% pour le cuivre ; 25,4  $\pm$  1,2% pour le fer)

La comparaison des teneurs du minerai avec celle de la chalcopyrite pure laisse penser que d'autres sulfures de cuivre et (ou) de fer sont présents.

	Mînerai chilîen tranche 56-71µ	Chalcopyrite pure
Cu	34,25	34,6
Fe	25 <b>,</b> 05	30,4
S	31,5	34,9

L'observation microscopique des échantillons (photos 20) a prouvé que le minerai contenait, à côté de la chalcopyrite, de la pyrite (FeS<sub>2</sub>) de la chalcocite (Cu<sub>2</sub>S) et de la covellite (CuS) ainsi que de la bornite (Cu<sub>5</sub>FeS<sub>4</sub>). La proportion de chacun des minéraux présents a pu être déterminée en se basant sur le fait que le concentré contenait de la chalcopyrite, de la pyrite et une troisième phase de composition moyenne  ${\rm Cu}_3{\rm S}_2$ , intermédiaire entre la chalcocite et la covellite.

La résolution du système d'équations conduit aux résultats suivants :

- nombre de moles de chalcopyrite/kg de minerai = 4,085 - " de pyrite/kg " " = 0,400 - " de sulfures de cuivre/kg " = 0,435

Les teneurs en fer et cuivre sous forme de c'alcopyrite se déduisent aisément, respectivement 22,8  $\pm$  2,5% pour le fer, et 25,95  $\pm$  2,8% pour le cuivre.

Les incertitudes observées apparaissent particulièrement importantes au niveau des espèces minérales, de l'ordre de 10%; cela est dû à ce qu'il n'existe pas de méthode sélective d'attaque de ces minéraux et que les incertitudes d'analyse, relativement faibles pour les divers éléments, s'ajoutent. Ceci entraîne qu'il sera difficile de suivre avec précision et d'interpréter les cinétiques de lixiviation au delà de 80% de dissolution.



PHOTO 20 a : Echantillon du minerai au grossissement  $\sim$  2500

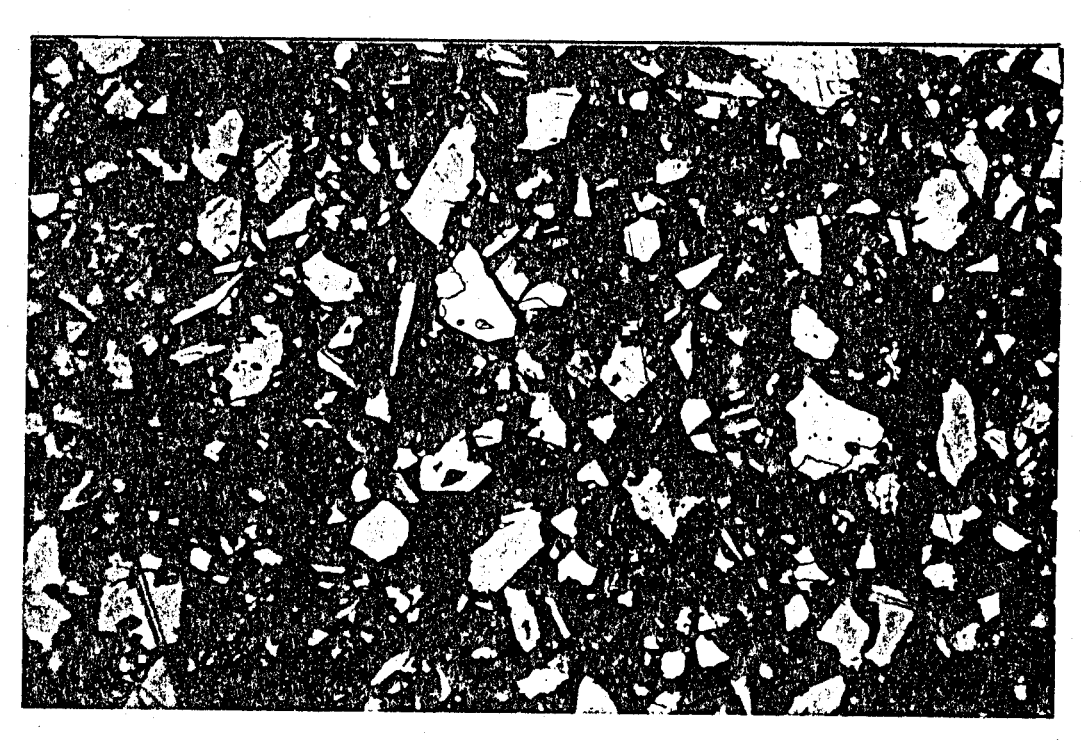


PHOTO 20 b : Echantillon du minerai au grossissement  $\sim$  1000

Remarque : la différence de teinte sur l'original en couleur entre la chalcopyrite, la pyrite et les autres sulfures de cuivre n'apparait pas nettement sur ces reproductions.

## C. Montages expérimentaux et découlement des manipulations

Dans la première partie de l'étude concernant l'influence du potentiel sur la cinétique de lixiviation, le montage utilisé comprenait (figure 21) :

- un réacteur de lixiviation de capacité approximative 700ml, dans lequel une paroi filtrante dans la partie inférieure permet éventuellement de filtrer la solution résiduelle ou d'assurer une circulation avec l'extérieur (afin de mesurer le potentiel de la solution et de faire les prélèvements, le débit étant de quelques litres/h.). Dans la partie supérieure sont disposés les accessoires tels que réfrigérant, agitateur, thermomètre, bulleur de gaz ainsi qu'un filtre plongeant pour prélever la solution afin de la faire circuler hors du réacteur.

-une cellule où le potentiel est mesuré en continu à l'aide d'une électrode de platine et d'une électrode de référence à l'argenthal (qui n'est pas déteriorée et qui donne un potentiel relativement stable à température élevée) : elle est également munie d'un thermomètre, d'un réfrigérant et d'un bulleur de gaz. (Le réacteur et la cellule sont thermostatés à l'aide d'un ultra-thermostat à circulation extérieure).

- enfin un robinet à trois voies permettant d'effectuer des prélèvements de solution au cours de la réaction.

Le minerai (~ 5g) est introduit sous forme de pulpe et les prélévements sont faits à des temps d'autant plus espacés que la réaction est avancée (environ dix prélèvements pendant cinq heures). Les manipulations ont été effectuées dans des conditions où le potentiel ne doit que peu varier : une quantité faible de minerai est donc introduite, alors que la solution initiale contient un grand excès d'ions cuivriques et cuivreux. Le bullage d'azote dans le réacteur et dans la cellule a pour but d'éviter l'oxydation de la solution par l'air; la principale réaction parasite susceptible de se produire est l'oxydation des ions cuivreux par l'air :

$$2Cu^{+} + 2H^{+} + \frac{1}{2}O_{2} \longrightarrow 2Cu^{2+} + H_{2}O$$
.

- 64-

Elle est gênante dans la mesure où elle tend à élever le potentiel de la solution et également par le fait que, consommant des ions H<sup>+</sup>, elle entraîne une élévation du pH et peut par suite causer la précipitation du fer sous forme de goethite FeO(OH) et de cuivre sous forme d'oxychlorure Cu<sub>2</sub>(OH)<sub>3</sub>Cl.

Toutefois, avec ce montage, certaines sources d'erreur sont apparues à côté d'incertitudes inhérentes aux phénomènes étudiés sur la température, le dosage par absorption atomique, ou dues à la variation de la composition minéralogique entre échantillons de minerai. Ces erreurs sont de deux types :

- celles conduisant à un taux de dissolution plus élevé que la réalité :
- . les pertes d'eau par entraînement dans les réfrigérants et sur les parois intérieures des couvercles.
- . le volume des échantillons de solution prélevés pour analyse ( 1-2m1)
- celles conduisant à un taux de dissolution plus faible que la réalité :
- . les pertes de minerai, dues à une mauvaise dispersion ou à l'entraînement par des bulles de gaz, par dépôt sur le couvercle ou dans le réfrigérant.

Pour pallier à ces erreurs expérimentales et atteindre ainsi une meilleure précision expérimentale, un montage plus compact (fig 22) a été utilisé dans la seconde partie de l'étude (rôle de la granulométrie, de la température, ...). En effet la mesure de potentiel est effectuée au sein-même du réacteur de lixiviation (de capacité égale à un litre), l'électrode de référence est introduite dans un pont réfrigéré de façon à éviter que celle-ci ne soit polluée par le minerai ou déteriorée si la température de la solution est trop élevée. En ce qui concerne les sources d'erreur précédemment décrites, les solutions suivantes ont été trouyées :

- réduction des pertes d'eau par :
- . l'utilisation d'un couvercle plat permettant de limiter les volumes morts.
  - . un bullage d'azote est effectué dans la solution avant la

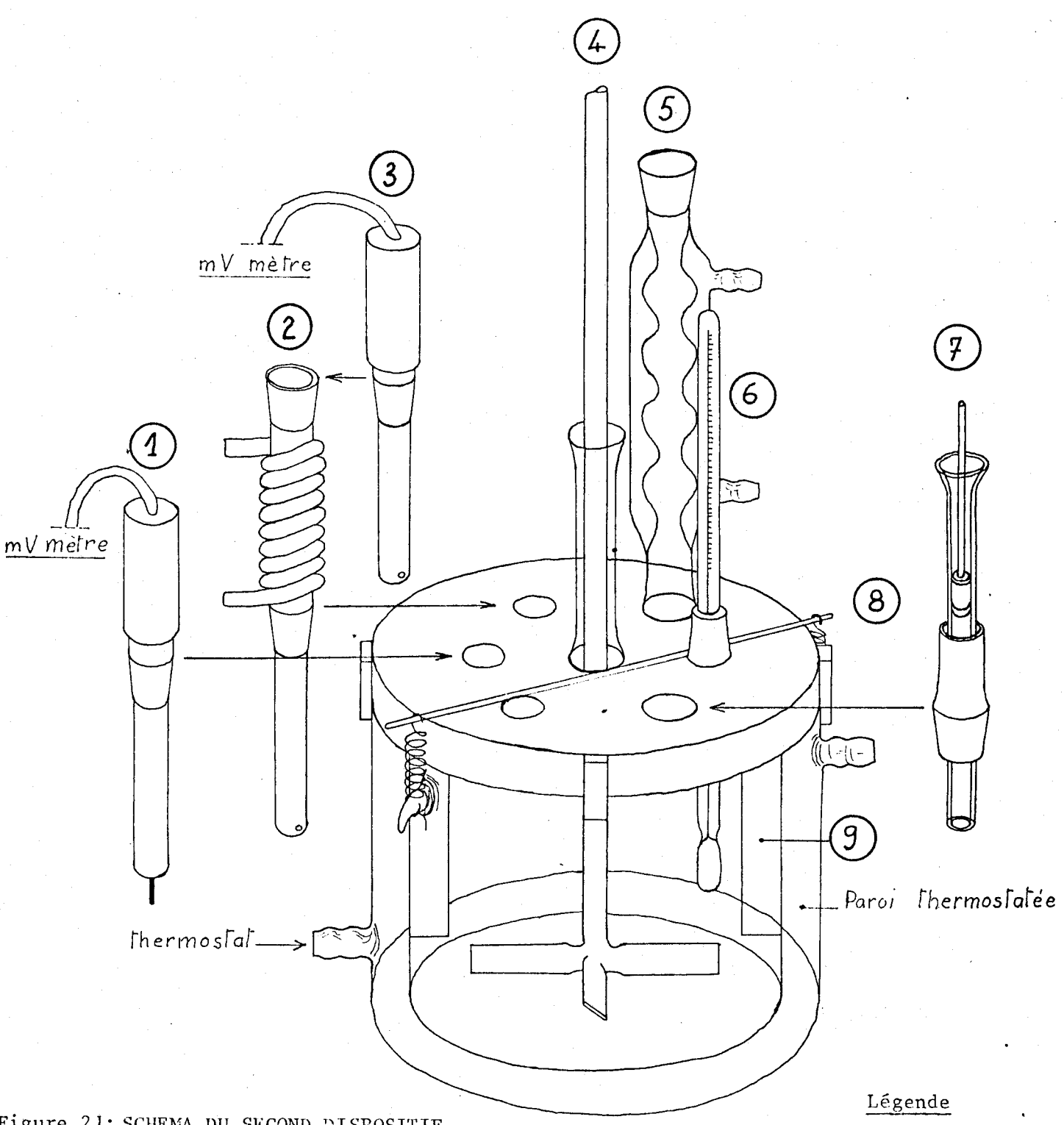


Figure 21: SCHEMA DU SECOND DISPOSITIF

EXPERIMENTAL

- 1 Electrode de Pt
- 2 Pont réfrigéré
- 3 Electrode de calomel
- 4 Agitateur
- 5 Réfrigérant
- 6 Thermomètre
- 7 Système d'introduction du minerai
- 8 Tige et ressorts de fixation du couvercle
- 9 Baffles (4)

manipulation, mais pas durant celle-ci de façon à limiter les pertes d'eau par entraînement : le bullage s'avère beaucoup moins utile que dans la précédente manipulation, dans la mesure où il n'y a plus de circulation extérieure de liquide et, par suite, moins de risques d'introduction d'air.

- réduction du volume des échantillons prélevés : celui-ci (de l'ordre de 50 à 200 [1) correspond à la quantité nécessaire au dosage par absorption atomique et est prélevé directement au sein de la solution à l'aide d'une micropipette, après une interruption momentanée de l'agitation de façon à éviter de prélever du minerai conjointement à la solution.
- les pertes de minerai sont également réduites grâce à un système permettant de l'introduire directement à l'état de poudre : il est mis dans un tube cylindrique, puis poussé jusqu'au sein de la solution à l'aide d'un piston.

Au cours de la manipulation, certaines mesures sont effectuées :

- le potentiel est mesuré en continu , de façon à s'assurer qu'il varie peu par rapport à la valeur initiale (dans le cas où les variations ne sont pas négligeables, une valeur moyenne du potentiel est prise) : L'électrode de référence utilisée est basée sur le système Ag/AgCl qui présente, selon BENOIT et DERANSART (116), l'intérêt d'être stable et constant jusqu'à des températures de l'ordre de 100°C.
- l'acidité a été fixée au cours des manipulations par addition de 0,1 mole d'acide chlorhydrique : le pH, mesuré en début et en fin de réaction, a généralement été trouvé proche de 0,8.
- la vitesse d'agitation dans le réacteur a été fixée à 600t/nm, qui est pratiquement la vitesse maximale susceptible d'être atteinte avec l'agîtateur utilisé.

- la cinétique d'attaque du minerai est suivie en dosant le fer dans les échantillons prélevés. Le fer, qui est à l'état d'oxydation trois dans le réseau de la chalcopyrite, est réduit à l'état deux au contact des ions cuivreux présents en solution. Le dosage du fer pourrait être effectué par potentiométrie à l'aide d'une solution oxydante telle que Ce(IV), mais l'absorption atomique s'est avérée être une méthode plus rapide et plus précise.

#### Remarque:

Le fer été préféré au cuivre comme traceur, dans la mesure où le fer dissous provient uniquement de la chalcopyrite, la pyrite n'étant pas attaquée, alors que le cuivre provient à la fois de la chalcopyrite et d'autres sulfures qui sont lixiviés en même temps que celle-ci.

D'autre part la précision est beaucoup grande pour le dosage du fer que pour celui du cuivre, dont une quantité généralement proche de 1 M/l est introduite initialement.

### A. Modèles proposés

Selon FORWARD et WARREN (8) deux étapes peuvent imposer la cinétique dans le cas de réactions hétérogènes, en dehors de celle du transport des espèces, qui est liée à la vitesse d'agitation :

- la réaction chimique, dont l'expression générale fait apparaître l'ordre  $\nu_j$  par rapport aux concentrations  $C_j$  des diverses espèces  $-\frac{dN}{dt} = k \ \mathbb{I} \ C_j \ \nu_j$ 

Un cas particulier simple est celui où la vitesse n'est fonction que de la concentration  $\mathbf{C}_{\mathbf{M}}$  du minéral, celle de l'oxydant  $\mathbf{C}$  restant sensiblement constante tout au long de l'expérience ;

$$-\frac{dN}{dt} = k C^{V} C_{M}^{VM}$$

Ainsi lors de l'étude de la lixiviation du minerai du Burg par le chlore généré électrolytiquement (115), la concentration du chlore en solution a pu être supposée constante au cours de la manipulation. La courbe cinétique en est tracée figure 23 et il est apparu qu'un ordre un par rapport à la concentration du minerai correspond bien aux résultats observés.

Toutefois WARREN (19) et YU et col (11) en milieu sulfurique sous pression d'oxygène, ainsi que ERMILOV (51) en milieu chlorure ferrique, ont observé que la vitesse de la réaction était proportionnelle, non pas à la concentration de minerai, mais à la surface A de celui-ci en contact avec la solution :

$$-\frac{dN}{dt} = k C^{V} A$$

Ce modèle qui sera plus amplement explicité dans le paragraphe a, est généralement appelé "modèle de dissolution".

N.B.: Les relations utilisées dans le chapitre IV sont récapitulées à la fin de celuî-ci (p84)

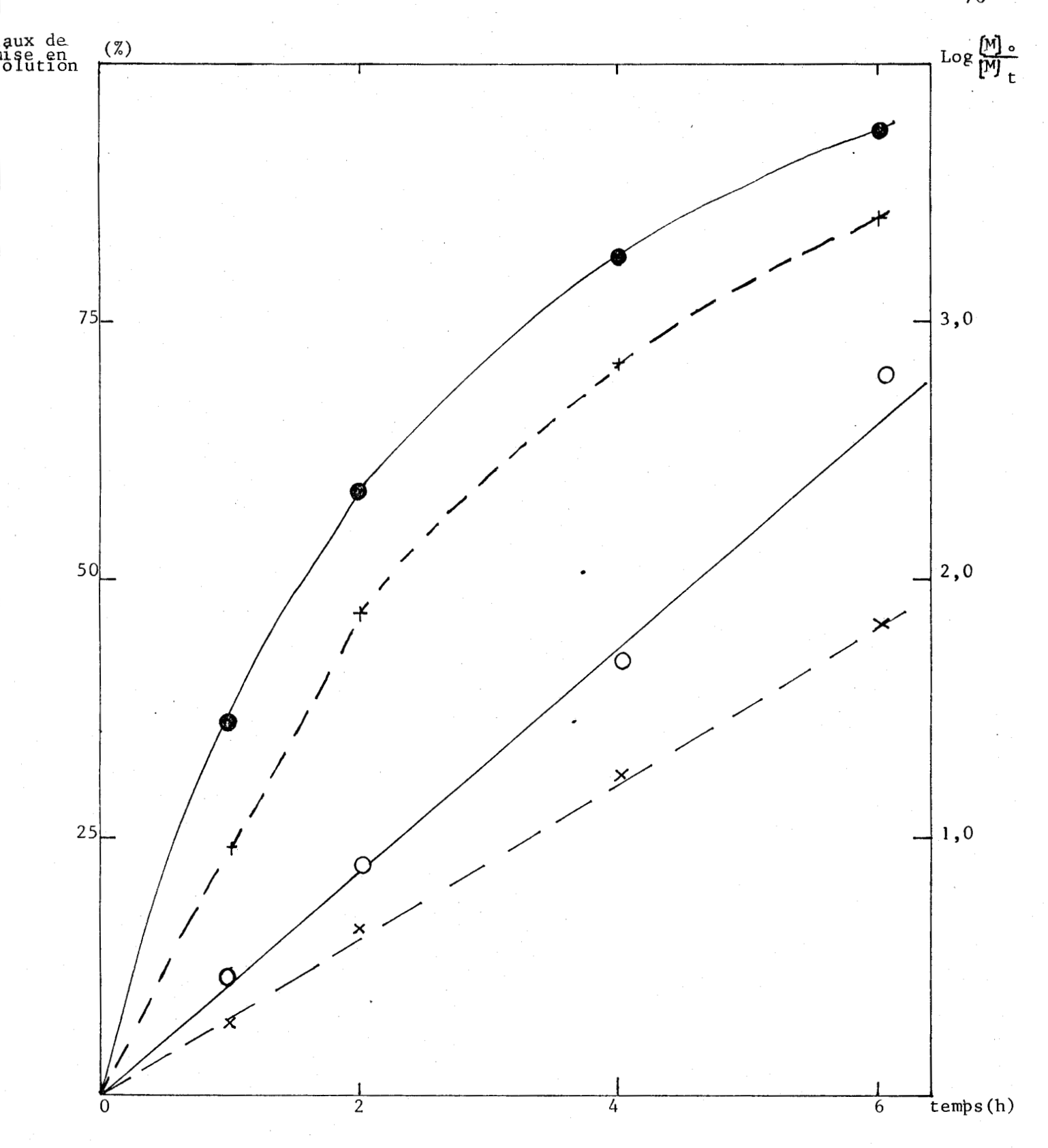


Figure 23 : Cinétique de mise en solution de Cu et Fe par électrooxydation : ordre un par rapport à la chalcopyrite (minerai de Burg)

- la diffusion à travers une couche de produit insoluble formée au cours de la réaction à la surface du solide (soufre, oxydes, ou phase non stoechiométrique (68),...); la cinétique d'attaque décroît alors avec le temps. Diverses hypothèses ont été proposées dans le cadre de ce modèle d'attaque : elle seront décrites dans le paragraphe b.

## a) Modèle de dissolution (fig. 24)

Dans le cadre d'un tel modèle, il est nécessaire de faire une hypothèse sur la forme des grains : ils ont été assimilés à des parti-cules sphériques. L'expression précédemment proposée pour le modèle est équivalente, à un terme multiplicatif constant près, intégré dans la constante k, à la suivante :

$$-\frac{dN}{dt} = k A C^{V}$$

d'où -  $4 \pi r_1^2 dr_1 = K 4\pi r_1^2 C$  dt avec  $\rho$ , la masse volumique du minéral et  $r_1$ , le rayon de la partie du grain non attaqué au temps t.

$$\int_{r_0}^{r_1} dr_1 = \frac{kC^{\nu}}{\rho} \int_{0}^{t} dt \longrightarrow r_0 - r_1 = \frac{kC^{\nu}}{\rho} t$$

Or le taux de dissolution a peut être exprimé en fonction de

We et W
$$\alpha = \frac{W_{o} - W}{W_{o}} = \frac{\frac{4}{3}\pi r_{o}^{3} - \frac{4}{3}\pi r_{1}^{3}}{\frac{4}{3}\pi r_{o}^{3}}$$

$$= 1 - \frac{r_{1}^{3}}{r_{o}^{3}}$$

$$d'ou, r_1 = r_0 (1-\alpha)^{1/3}$$

L'expression générale de ce modèle de dissolution est, par suite, la suivante :

$$1 - (1 - \alpha)^{1/3} = \frac{k C^{\vee}}{r \circ \rho} t$$

14	E.	01	1		1						'n	; ;;		1	, .	C~		ا اء م -		0.22	v 11 m	enta	ri vo	ا ا	0.5	ma	45		t.j	: !	נו		<sub></sub> 1		-	72	
10	CT	<u>.</u> U.I	-		-				<b>-</b>			1.8	UL		4	CO	uri	Des	5 I	  -	. 1	en, f	1 1	ì		) '	- 1	63	11	1.2	112	-	L .	3-	:	,	
		ì				.									ļ ,	H.		mc	dè	le	de	dis	solut	i 01	n												
.		!										-	: 1		· •	•	1				: i	JANI	! "			sic	( ac				,						
90	E+	OC			-						<u> </u>		L			2	Ì	f				- CRAI	1				ĺ									- 1	
	4															113		IAC		10	ue	Citri			10.			Į								,	10
1		-		-	-															·		-		-	-				•••								
80	E±	oc 	-	<u>.</u> !	-	- !		·			1		·											-	,								-	i i			-
		ļ		; ;			- 1	:																									- //		-,		-
	i 											<u> </u>		,	- train -						٠,	.,							11			l.		-+	4 - j-		ابا
70	E+	OC				.  -		. :																							- 1,		/-	•:!	1.1	1. 1	***, }
-	•	i -		1 .	-							-						•		-		1															
-		1						•								:					ļ											/-		-			
60	E+	96	-	<u> </u> 	-		-			-	· 	<u> </u>	1											+-							-/		1				
					_	-															-	•							·		/				, j., <u>j.</u>		
							i												ta.		i							:			, 1.		1		- 		
<b>5</b> ¢	E+	-00	)					other treatment and		1,00	ļ, ļ		j					one of the same	amingt a																		
		1		1		!	-	:				1						1			· ·				;				/								1
-				.							: !		; 												ļ ·		1,	/				$\int_{\mathbb{R}}$					
40	E+	00	)	-	-						·	 												_		/										.11	
						.							i : !									1										/					
								•					1				-	•						/													
3¢	E+	-00	)	.i				•																							/						
-		ļ														- 1													112		,		/.				
		 																			/					. !					н <sub>3</sub>						
20	E-t	OC	ļ }		_	!	-					-	<u>.</u>					/	_					ļ				_				/					_
;.		. : .					.				!															/										-	1.1
								· .		·	!						* *													:			11.				***
10	E+	OC	)		-	:. .  -						-	t .,					:																	1 - 1	-11-	
			-	J		ا				-:	·		:								ا					!									24 12 mil		
	ļ. <u>.</u>	 			1								ı												j.												
1	_											! 	,,,,,,,,,,	1					1											<u>.</u>							
•										00			. (	00			00		! !		00		00			00			6				21	}		0	
	• • • •	10E+00.		1		20E+00_				30E+00_		1	ı	F0E+00.			50E+00				30E+00.		70E+00_	1		30E+00			Ĺ	JUE+UU.			DF101	}	 	. 41	++
i i		Ħ		ŧ	1	$\asymp$	}			3		11.				!	17.			l			7,	1		8				กั	!		~	1			
							•																														

## b) Modèles de diffusion (Fig. 24 et 24 bis)

Dans le cas où, au cours de la réaction, un produit non poreux se dépose à la surface du grain de minéral non attaqué, la résistance de la couche liquide de diffusion peut être négligée devant celle de la couche du produit solide déposé. Diverses hypothèses ont été proposées pour décrire ce type de réaction : elles ont été appliquées aux processus hydrométallurgiques par WADSWORTH (117) et HABASHI (118). Dans le cas présent, le produit non-poreux qui se dépose sur les grains de minerai peut être du soufre élémentaire et l'hypothèse faite est que l'on est en régime de diffusion stationnaire.

## α) Modèle simple de JANDER : cas des surfaces planes

En début de réaction, l'attaque d'un grain sphérique et celle d'une surface plane peuvent être assimilées. Dans ce dernier cas, le flux de diffusion J des espèces oxydantes s'exprime, selon la loi de Fick, en fonction du coefficient de diffusion des espèces oxydantes p , de la surface du minéral en contact avec la solution A et du gradient de concentration  $\frac{C-Ci}{y}$ , où Ci est la concentration de l'oxydant à l'interface minéral— solide formé et y, l'épaisseur de la couche du solide déposé :

 $J = - DA \frac{C-Ci}{y}$ 

Or ce flux est proportionnel à la variation du nombre de moles N du minéral non attaqué au temps t, où s est le coefficient stoechiométrique de la réaction:

 $J = s \frac{dN}{dt} = s A \frac{dy}{dt}$ 

En égalant les deux pression de J et, après intégration, l'expression suivante est obtenue  $\frac{y^2}{2} = \frac{D}{s}$  (C-Ci) t

Or, pour un grain sphérique, y représente la différence  $(r_0-r_1)$  et, comme dans le cas du modèle de dissolution, une fonction de  $\alpha$  peut-être mise sous la forme d'une fonction linéaire du temps :

Ce modèle peut correspondre à la phase initiale d'attaque du grain, mais a été en fait mis au point pour la lixiviation de surfaces planes.

											· · · · ·		!	1		i i		74 -
F(a)				Fi	gure 2	4 Bis	s : c	ourb	es re	prése	ntati	ves d	es mo	dèles	н <sub>2</sub> ,	Н <sub>3</sub> е	t H <sub>4</sub>	
						,	(	ordo	nné∈s	rame	nées	à la	même	éche1	1e)			3 as
								<b>K</b> -	modè1	!		!				• 7, 2	· · ·	
1111								-	modèl modèl		4							- /k
			-			;		4	***************************************	:	1	! ! .					****	
					•	1			. !		i .	i : :		i 	:			
	! . !				:					·								
111							• • .				1					4		/
		1			· •	;			· •		. !	!			i			
	: : :				i								·	!				
		-										-					//	
					- 1			1	3								/ -	
	24					•												
											,					//	4	
					and the second					•		i				/		
-							B-R p											
																	/	
	٠٠					•							·		-		/	
	. ,											. 1		/		. /	<b>'</b>	
												H <sub>3</sub> /	H <sub>4</sub> .		H <sub>2</sub>	/		
		. !																
						<b>4</b>				!					/			
		-   -																
411		•							-			:						
-		-		<u> </u>			. !											α
10E+00		20E+00		)O+:		40E+00.		505.00	, -	00+		+000		00+		+30		+01
101		206		.30E+00.		40E	-	ר ר	2	.E0E+00		.70E+00	-	.80E+00		30E+30		10E+01
				•		•	,				•	•		•		. •	1	•

non attaqué

Ainsi, DUTRIZAC et col. (15) ont observé que ce modèle s'appliquait dans le cas de l'attaque de dîsques de chalcopyrite en milieu sulfate ferrique. Dans ces condîtions, l'épaisseur y est en effet directement proportionnelle à la masse de mînerai attaqué (Wo - W) et donc  $-\frac{dW}{dt} = \frac{k}{W_1-W}$ 

soit en intégrant :  $(W_0 - W)^2 = 2k t + Cste$ La masse de minerai dissoute est une fonction linéaire de la racine carrée du temps de réaction.

#### β) Modèle de CRANK

Les hypothèses faites dans ce cas sont que le volume du grain ainsi que la concentration de l'oxydant en solution restent constants au cours de l'attaque. La loi de Fick s'écrit pour une particule sphérique; couche de produit non poreux

$$J = - AD \frac{dC}{dr} = - 4\pi r^2 D \frac{dC}{dr}$$

$$\int_{\text{Ci}}^{\text{C}} dC = -\int_{\text{ro}}^{\text{r}} \frac{J}{4\pi r^2} dr$$

d'où 
$$C - C_{i} = \frac{J}{4\pi D} \frac{r_{o} - r_{1}}{-r_{o}r_{1}}$$
 ou  $J = -4\pi D(\frac{r_{o}r_{1}}{r_{o} - r_{1}})$   $(C - C_{i}^{*})$ 

Comme précédemment,  $\alpha$  peut s'exprimer en fonction de ro et  $\mathbf{r}_1$ :

$$1 - \alpha = (\frac{r_1}{r_0})^3$$
 soit  $r_1 = r_0(1 - \alpha)^{1/3}$ 

Or le flux de diffusion J est encore égal à :

$$s \frac{dN}{dt} = s \frac{4\pi \rho r_1^2 dr}{Mdt}$$

et, en égalant les deux expressions de J, l'on obtient :

$$J = -4\pi D \left(\frac{r_0 r}{r_0 - r_1} 1\right) (C - C_i) = s4\pi \frac{\rho r_1^2}{M} \frac{dr_1}{dt}$$

soit: 
$$-\frac{MD}{s\rho} (C - C_i) dt = \frac{r_1(r_0 - r_1)}{r_0} dr_1$$

en intégrant cette expression entre les temps 0 et t :

$$-\frac{MD(C - C_{i})}{s\rho} \int_{0}^{t} dt = \int_{r_{\bullet}}^{r_{1}} (r_{1} - \frac{r_{1}^{2}}{r_{\bullet}}) dr_{1}$$

$$-\frac{MD(C - C_{i})}{s\rho} t = (\frac{r_{1}^{2}}{2} - \frac{r_{\bullet}^{2}}{2}) - (\frac{r_{1}^{3}}{3r_{\bullet}} - \frac{r_{\bullet}^{2}}{3})$$

$$= \frac{r_{1}^{2}}{2} - \frac{r_{\bullet}^{2}}{6} - \frac{r_{1}^{2}}{3r_{\bullet}}$$

En remplaçant  $\boldsymbol{r}_1$  par son expression en fonction de ro et  $\alpha$  , l'expression suivante est obtenue :

$$-\frac{MD(C - C_{i})}{s\rho} t = \frac{r_{o}^{2}}{2} \left[ (1 - \alpha)^{2/3} - \frac{1}{3} - \frac{2}{3} (1 - \alpha) \right]$$
soit 
$$\frac{2MD(C - C_{i})}{r_{o}^{2} s\rho} = 1 - \frac{2}{3} \alpha - (1 - \alpha)^{2/3}$$

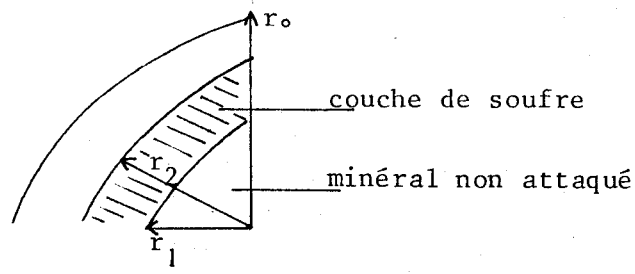
### γ) <u>Modèle</u> de VALENSI

Ce modèle est plus élaboré que le précédent dans la mesure où il prend en compte la variation de volume du grain de minerai.

$$Z = s' \quad \frac{\underline{W'}}{\underline{V}} = s' \quad \frac{\underline{\underline{M'}}}{\underline{\rho}}$$

$$\begin{cases} M : \text{masse molaire du minéral} \\ \rho : \text{masse volumique du } \end{cases}$$

$$M': \text{masse molaire du produit formé} \\ \rho': \text{masse volumique du } \end{cases}$$



(Si 1'on fait 1'hypothèse que, pour la chalcopyrite, il se forme une couche de soufre rhomboédrique ( $\rho' = 2,07$ ), Z = 0,71)

En intégrant la loi de Fick entre  $r_1$  (rayon du minéral non attaqué) et  $r_2$  (rayon du minéral recouvert de soufre)

$$\int_{C_{i}}^{C} dC = -\frac{J}{4\pi D} \int_{r_{1}}^{r_{2}} \frac{dr}{r^{2}}$$
soit  $J = -4\pi D(\frac{r_{1}r_{2}}{r_{2}-r_{1}})$  (C - C<sub>i</sub>)

Comme dans les cas précédents, J peut être exprimé en fonction de  $\frac{dN}{dt}$  :

$$J = s \frac{dN}{dt}$$

et alors

$$-\frac{MD}{S}$$
 (C - C<sub>i</sub>) dt =  $(r_1 - \frac{r_1^2}{r_2})^{\bullet}$  dt

Le nombre de moles du minéral attaqué est égal à celui du produit formé :

$$s' \frac{(\frac{4}{3}\pi r_0^3 - \frac{4}{3}\pi r_1^3)\rho}{M} = \frac{(\frac{4}{3}\pi r_2^3 - \frac{4}{3}\pi r_1^3)\rho'}{M'}$$

$$s' \frac{\rho M'}{\rho M} = \frac{r_2^3 - r_1^3}{r_0^3 - r_1^3}$$

Or le premier terme représente Z.

Donc 
$$Z = \frac{r_2^3 - r_1^3}{r_0^3 - r_1^3}$$
 et  $r_2 = (r_1^3 (1 - Z) + Zr_0^3)^{1/3}$ 

En remplaçant r<sub>2</sub> par son expression dans J:

$$-\frac{MD}{s\rho} (C - C_i) dt = (r_1 - \frac{r_1^2}{\left[2r_0^3 + r_1^3(1 - Z)\right]^{1/3}}) dr_1$$

En intégrant entre les temps 0 et t :

$$-\frac{MD}{SD} (C - C_{i})t = \int_{r_{o}}^{r_{1}} \left(r_{1} - \frac{r_{1}^{2}}{\left[2r_{o}^{3} + r_{1}^{3} (1 - Z)\right]^{\frac{1}{3}}}\right) dr_{1}$$

$$= \frac{r_{1}^{2} - r_{o}^{2}}{2} - \int_{r_{o}^{3}}^{2r_{o}^{3} + r_{1}^{3} (1 - Z)} \frac{du}{3(1 - Z)u^{\frac{1}{3}}}$$

$$= \frac{r_{1}^{2} - r_{o}^{2}}{2} - \frac{1}{2(1 - Z)} \left[2r_{o}^{3} + r_{1}^{3} (1 - Z)\right]^{\frac{2}{3}} + \frac{r_{o}^{2}}{2(1 - Z)}$$

$$-2(1-Z)\frac{MD}{s\rho}(C-C_{i})t = r_{1}^{2}(1-Z) + Zr_{o}^{2} - \left[Zr_{o}^{3} + r_{1}^{3}(1-Z)\right]^{2/3}$$

Or  $r_1$  s'exprime en fonction de  $r_0$ :  $r_1 = r_0(1 - \alpha)^{1/3}$ 

$$Zr_o^2 + 2(1 - Z) \frac{MD}{S\rho} (C - C_i)t = r_o^2 \left[ Z + (1 - Z)(1 - \alpha) \right]^{2/3} - (1 - Z)r_o^2 (1 - \alpha)^{2/3}$$

En divisant par r<sub>o</sub><sup>2</sup>:

$$Z + 2(1 - Z) \frac{MD}{spr_0^2} (C - C_i)t = \left[1 + \alpha (Z - 1)\right]^{2/3} + (Z - 1) (1 - \alpha)^{2/3}$$

- Remarques : Le modèle de CRANK est en fait un cas particulier du modèle plus général qu'est celui de VALENSI , celui où Z est égal à un.
  - CONDE (52) a montré que, en milieu ferrique, que ce soit chlorure ou sulfate, ce modèle représente bien les résultats expérimentaux (avec Z = 0,71)

### B. Modèles particuliers

Dans certains cas, il est apparu que la cinétique était en fait limitée à la fois par une réaction de surface ou de dissolution et par la diffusion à travers une couche solide.

- Dans une solution de pH 1,25 en présence d'oxygène, après une première étape de courte durée, dont la valeur de l'énergie d'activation fait penser à une réaction limitée par la diffusion en solution, BAUR et col (69) proposent une cinétique limitée à la fois par des phénomènes de surface et de diffusion en phase solide:

$$\frac{\Delta n}{k_d} + \frac{\Delta n}{k_1} = (t - t_o)$$

An quantité de cuivre dissoute autemps t

to temps marquant le début de la deuxième étape

k<sub>d</sub>,k<sub>l</sub> constantes cinétiques de diffusion et de réaction de surface

Par contre, pour le bichromate, l'eau oxygénée et le sulfate ferrique, la cinétique n'est limitée que par la diffusion de l'oxydant.

- MADSEN et col (119) ont proposé, dans le cas de la lixiviation in situ un "modèle de zone de réaction" dont l'équation cinétique est une combinaison linéaire de celles de diffusion et de dissolution :

$$\left[1 - \frac{2}{3} \alpha - (1 - \alpha)^{2/3}\right] + \frac{\beta'}{Gr_0} \left[1 - (1 - \alpha)^{2/3}\right] = \frac{\gamma' \tau}{Gr^2}$$

 $\beta$ ', G,  $\gamma$ ' sont des termes que les auteurs calculent à partir du coefficient de diffusion du réactif dans la particule de minéral, du coefficient stoechiométrique de la réaction, d'un facteur lié à la porosité du milieuet de diverses autres constantes.

C. <u>Comparaison des divers modèles</u>: limitation de la cinétique par une couche de soufre à température supérieure à 85°C.

D'après les expressions littérales de chacun des modèles, quelques remarques peuvent être faites :

- dans tous les cas, il est possible d'établir une relation linéaire entre une fonction Y de  $\alpha$  et le temps :  $Y(\alpha) = kt$  (k : pseudo-constante cinétique de la réaction)
- la pseudo- constante cinétique est dans le cas du modèle de dissolution inversement proportionnelle à la granulométrie initiale des grains ro, alors que, pour ceux de diffusion, elle l'est au carré de ro
- l'allure des courbes représentatives des divers modèles (figure 24 et 24 bis) in dique que le modèle de dissolution semble assez facile à différencier de ceux de diffusion : ainsi, alors que pour ces derniers, la pente à l'origine est nulle (ce qui traduit une vitesse initiale infinie), elle est égale à 1/3 pour le modèle de dissolution ; pour les divers modèles, la vitesse en fin de réaction tend à devenir nulle.

Afin de connaître le modèle qui convenaît le mieux par rapport aux résultats expérimentaux observés, un programme a été mis au point (annexe 1). L'équation de la droite représentant le mieux les résultats observés dans le cadre de chacun des modèles est obtenu à l'aide d'une méthode des moindres carrés ; l'écart-type sur les y est également ainsi obtenu. Le test utilisé consiste à comparer pour chacun des modèles le rapport :

La comparaison entre les divers modèles a été effectuée sur la base d'une dizaine d'expériences pour les températures supérieures à 85°C et d'un nombre plus restreint de manipulations pour les températures inférieures. Pour chacune d'elles, la valeur de  $S_{test}$  ainsi que le temps correspondant à une ordonnée nulle (intersection de la droite représentative avec l'axe des abscisses) ont été calculés (tableau 4).

Il ressort des résultats observés que :

- Pour les températures supérieures à 85°C, les résultats sont très proches pour les divers modèles de diffusion, alors que celui de

	Nombres de	Mode	ele H₁	Modèl	Le H <sub>2</sub>	Modè	le H <sub>3</sub>	Modè	le H <sub>4</sub>
Expérience	points	S <sub>test</sub>	temps ou y=0 (mn)	S test	temps où y=0 (mn)	S test	temps où y=o (mn)	S	temps où y=0 (mn)
Températures	supérieures °C 5 7 9 10 6 9 7 7 7	0,223 0,176 0,107 0,151 0,045 0,128 0,183 0,357 0,296 0,164	-63,9 -89,6 -25,5 -83,1 -39,6 -46,3 -35,2 -43,6 -60,1 -49,4	0,148 0,104 0,117 0,028 0,071 0,092 0,036 0,262 0,297 0,148	-9,1 +0,8 +11,8 + 2,6 +0,65 +15,7 + 6,1 -11,1 -17,3 -13,6	0,159 0,133 0,080 0,076 0,066 0,049 0,066 0,285 0,306 0,151	-13,2 +6,2 +9,1 -7,9 -0,1 +10,8 +3,0 -13,5 -20,0 +11,1	0,154 0,122 0,045 0,059 0,069 0,065 0,052 0,276 0,302 0,149	-11,4 + 3,1 +10,3 - 3,8 + 0,3 +13,0 + 4,4 -12,4 -18,7 +12,3
moyenne		0,183± 0,091	-47,6±25,4	0,130± 0,089	+1,37±11,07	0,137 <u>+</u> 0,092	-1,45 <sub>±</sub> 11,39	0,134 <u>+</u> 0,089	-0,29 <sub>±</sub> 11,07
température à 85	es inférieures 5°C				•				
n°11 n°12 n°13 n°14	7 8 5 10	0,098 0,049 0,020 0,107	-205,0 - 67,4 -115,9 -56,3	0,169 0,112 0,051 0,113	-52,3 +14,5 + 5,2 + 8,7	0,169 0,108 0,046 0,107	-53,4 +13,6 - 0,2 + 5,5	0,169 0,110 0,048 0,118	-52,5 +14,1 + 2,5 + 7,0
moyenne		0,0685± 0,041	-111,1±67,7	0,116± 0,49	-5,97±31,1	0,107± 0,050	-8,62±30,38	0,111± 0,050	-7,22±30,56

TABLEAU 4

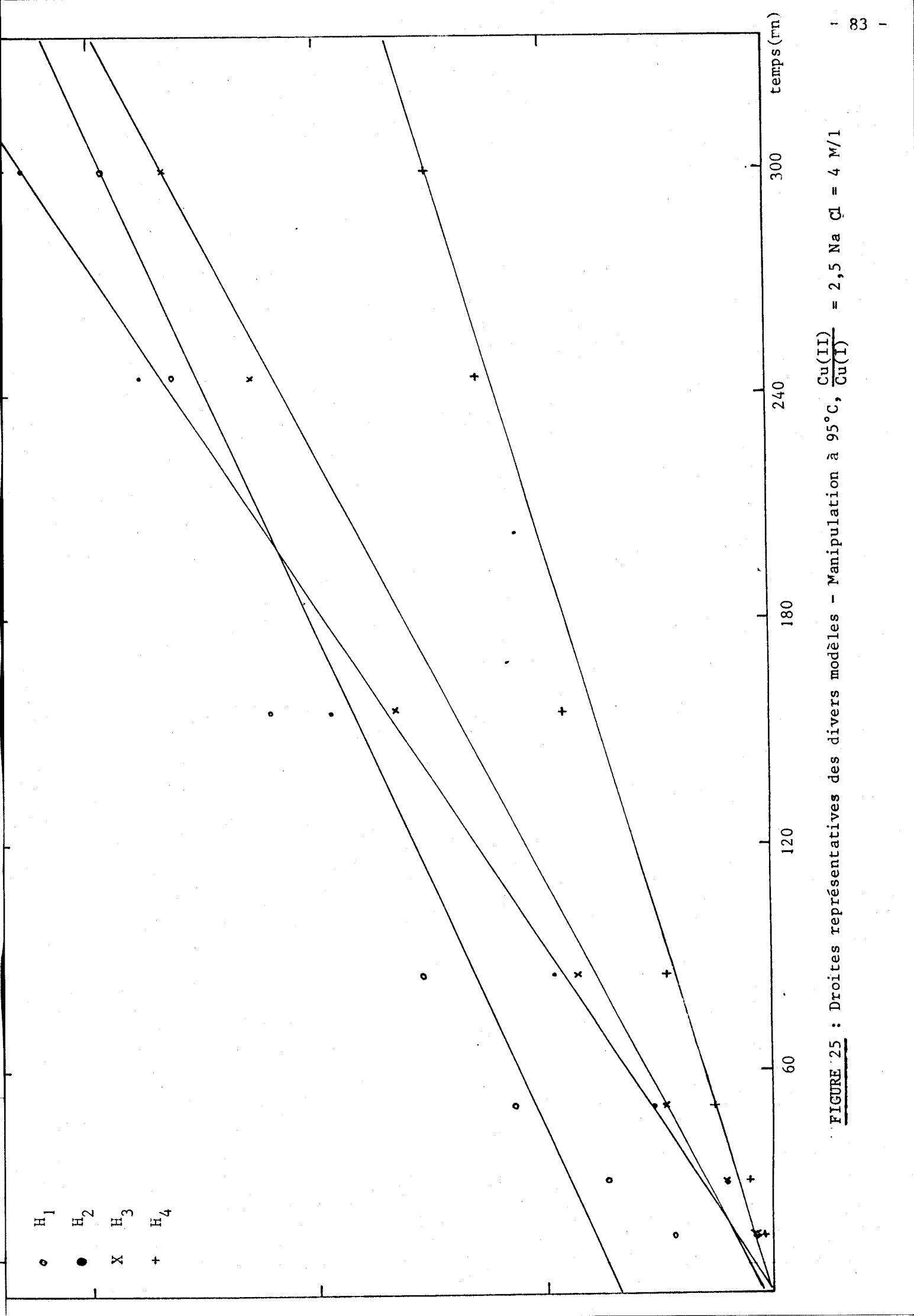
Comparaison des dîvers modèles

dissolution donne une valeur moyenne de S plus élevée.

- pour les températures inférieures à 85°C, la valeur moyenne de S est, par contre, plus faible pour le modèle de dissolution que pour ceux de diffusion.

Toutefois, ce dernier résultat est tempéré par la valeur élevée des temps correspondant à une ordonnée nulle dans le cas du modèle de dismolution: une conclusion claire ne peut donc être tirée pour ce domaine de température. Par contre, pour les températures supérieures à 85°C, les valeurs moyennes de Stest sont donc plus faibles pour les modèles de diffusion, et de plus, les temps correspondant à une ordonnée nulle sont dans tous les cas nettement inférieurs à zéro pour le modèle de dissolution, alors que ceux de diffusion donnent des temps très proches de zéro; cela prouve que la droite correspondant au modèle de dissolution est fort éloignéedes points expérimentaux de début de réaction: ceux-ci sont en effet "sous-estimés" dans la mesure où l'écart-type tient compte des écarts absolus et non relatifs par rapport à la droite représentative. La figure 25, qui représente les résultats de l'expérience 2, proche de la moyenne des résultats observés, le démontre clairement.

En conclusion, il est possible d'affirmer que les modèles de diffusion conviennent mieux pour les résultats observés que celui de dissolution pour les températures supérieures à 85°C; par contre, concernant la différenciation entre modèles de diffusion, elle s'avère beaucoup plus délicate, dans la mesure où il aurait fallu observer des cinétiques allant jusqu'à des taux d'extraction supérieurs à 90% et avec une meilleure précision sur les mesures pour pouvoir conclure. D'autre part, au sujet de la concentration Ci à l'interface minéral-phase non poreuse formée qui apparaît dans les expressions des divers modèles de diffusion, il faut remarquer qu'elle semble très délicate à déterminer.



# Notations utilisées dans le chapitre IV

- A surface d'un grain de minéral  $(=4\pi r^2 \text{ dans le cas de grain sphériques})$
- C concentration de l'oxydant en solution
- C<sub>i</sub> concentration de l'oxydant l'interface minéral-solide non poreux
- C; concentration de l'espèce j
- $\mathbf{C}_{\mathbf{M}}$  concentration du minéral
- D constante de diffusion des espèces oxydantes à travers la couche de produit formé
- J flux de diffusion des espèces oxydantes à travers la couche de produit formé
- k constante cinétique de la réaction
- M masse molaire du minéral
- M' masse molaire du produit formé
- n nombre de points expérimentaux
- N nombre de moles du minéral non atattaqué à l'instant t
- ro rayon initial du grain de minéral
- r<sub>1</sub> rayon de la partie du grain non attaqué à l'instant t
- rayon du grain recouvert du proluit formé au cours de la réaction

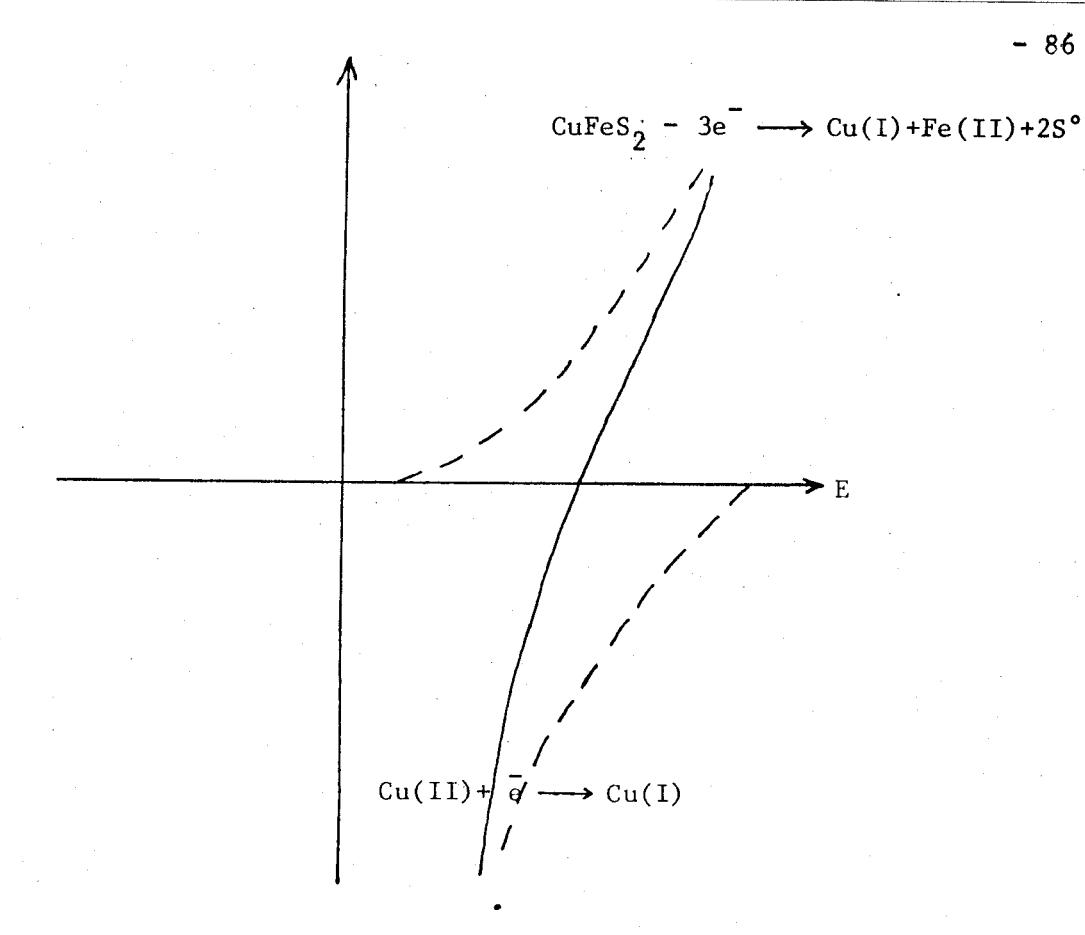
- s' coefficient stoechiométrique de la réaction (minéral + oxydant s'produit déposé)
- s. écart-type sur les Y.
- V volume molaire du minéral
- V' volume molaire du produit formé
- W. masse initiale du minéral  $(\frac{4}{3} \pi \rho r_0^3)$  pur des grains sphériques
- W masse du minéral à l'instant t  $(=\frac{4}{3}\pi\rho r_1^3 \text{ pur des grains sphériques})$
- y épaisseur de la couche de produit formé
- $Y_{i}$  valeur de la fonction  $Y(\alpha)$  au point i
- α taux de dissolution du minéral
- $\nu$  ordre par rapport à l'oxydant
- v<sub>j</sub> ordre par rapport à l'espèce j
- ρ masse volumique du minéral
- $\rho^{\, {}^{\prime}}\,\,$  masse volumique du produit formé
- $\beta$ , paramètres du modèle de zone de  $\beta$ , réaction (lixiviation in situ)

Précédemment, les valeurs du potentiel de repos de divers sulfures ont été rapportées (tableau 2): elles avaient été mesurées dans des solutions électrolytiques, où les minerais n'étaient pas attaqués. Par contre, JONES(56) a mesuré le potentiel mixte de la chalcopyrite en divers milieux (Fe<sub>2</sub>(SO<sub>4</sub>)<sub>3</sub>, FeCl3, CuCl2), dans lesquels elle est lixiviée : ce potentiel est différent de celui de repos, dans la mesure où un courant de corrosion du minéral apparaît. Dans ce domaine de la modèlisation électrochimique des réactions de lixiviation, il faut souligner l'intérêt des résultats obtenus par NICOL et Col (120), qui sont parvenus à corréler la cinétique de dissolution du dioxyde d'uranium UO, avec les propriétés électrochimiques des divers oxydants utilisés ; mais, dans ce cas, il n'y a pas de problème diffusion à travers une couche de produit formé au cours de la réaction comme dans le présent travail. L'étude des courbes intensité-potentiel de la réaction d'oxydation de la chalcopyrite et de réduction de l'oxydant s'avère donc fondamentale (Fig. 26) pour la compréhension des mécanismes mis en jeu.

# A. Courbes intensité-potentiel de réactions mises en jeu et courant de corrosion

Il n'a pas été possible de tracer la courbe intensité-potentiel de la chalcopyrite, dans la mesure où ce type d'expérience est très délicat à mettre en oeuvre et où le laboratoire n'a pas acquis le savoirfaire nécessaire dans ce domaine. Seule, la courbe i-E du couple Cu(II)/Cu(I) a été tracée à diverses valeurs du rapport CuCl et concentrations en chlorure sur électrode de platine : le montage utilisé est décrit à la figure 27 . Les résultats ne devraient pas être bien différents sur électrode de chalcopyrite de ceux sur électrode de platine.

La source de courant est un potentiostat Tacussel PRT 10-20, transformé en source de courant régulé par l'introduction dans le circuit d'une résistance de 10  $\Omega$  . Le montage est à trois électrodes ; l'électro de référence est une électrode coudée dont la nature de la solution de



FICURE 26 : Allure supposée des courbes intensité-potentiel de la chalcopyrite et de Cu(II)/Cu(I)

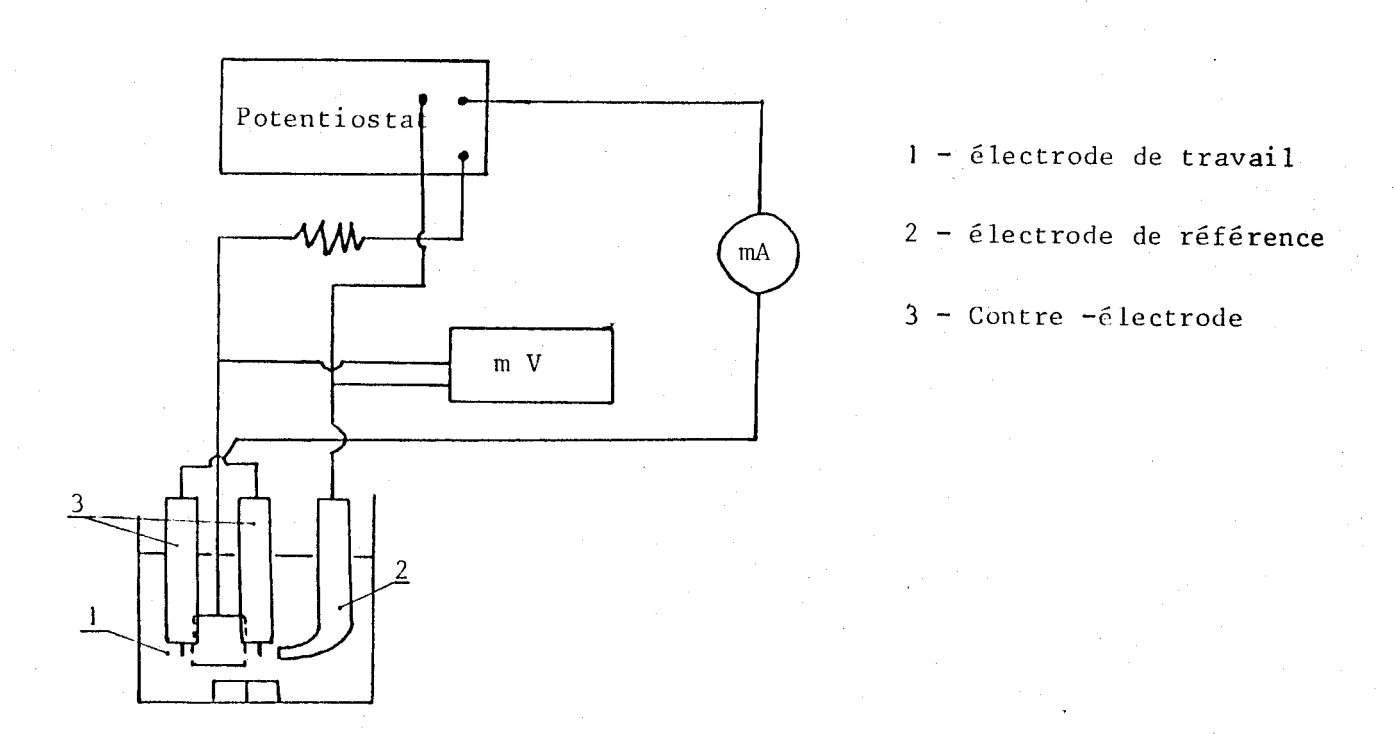


FIGURE 27 : Montage potentiostatique utilisé pour le tracé des courbes  $\cdot$  i-E du couple Cu(II)/Cu(I)

remplissage est la plus proche possible de celle du milieu étudié (4M NaCl); enfin la contre-électrode est constituée de deux électrodes à fil de platine situées de part et d'autre de celle de travail (de façon à ce que la réduction des ions cuivriques s'opère sur les deux face de l'électrode de travail).

Les résultats obtenus font apparaı̂tre que les courbes E = f(i) ont des pentes relativement proches pour des rapports  $\frac{Cu(II)}{Cu(I)}$  et des teneurs en chlorures variables dans le domaine 0 < i < 10 mA/cm<sup>2</sup> (figures 28 et 28 bis)

D'autre part, les résultats expérimentaux de lixiviation obtenus au cours de ce travail indiquent que l'intensité du courant correspond à l'échange d'électrons durant la lixiviation, est au maximum de 3,6 mA/cm<sup>2</sup>, comme le prouve le raisonnement suivant :

A 104°C, 5g de minerai de granulométrie 45-56 μ (moyenne 50,5μ) ont été dissous à 60 % en 30 mm - Connaissant la granulométrie moyenne (g.m.) et la masse volumique du minerai, il est facile de déduire la surface globale des grains.

$$S = \frac{5}{\rho + \frac{4}{3}\pi + (g.m.)^3} = \frac{3.5}{\rho \cdot g \cdot m.} \approx 730 \text{cm}^2$$

Or en 30 mm,  $\frac{5.0,6}{M}$  moles de chalcopyrite ont été dissous (M : masse molaire de la chalcopyrite)

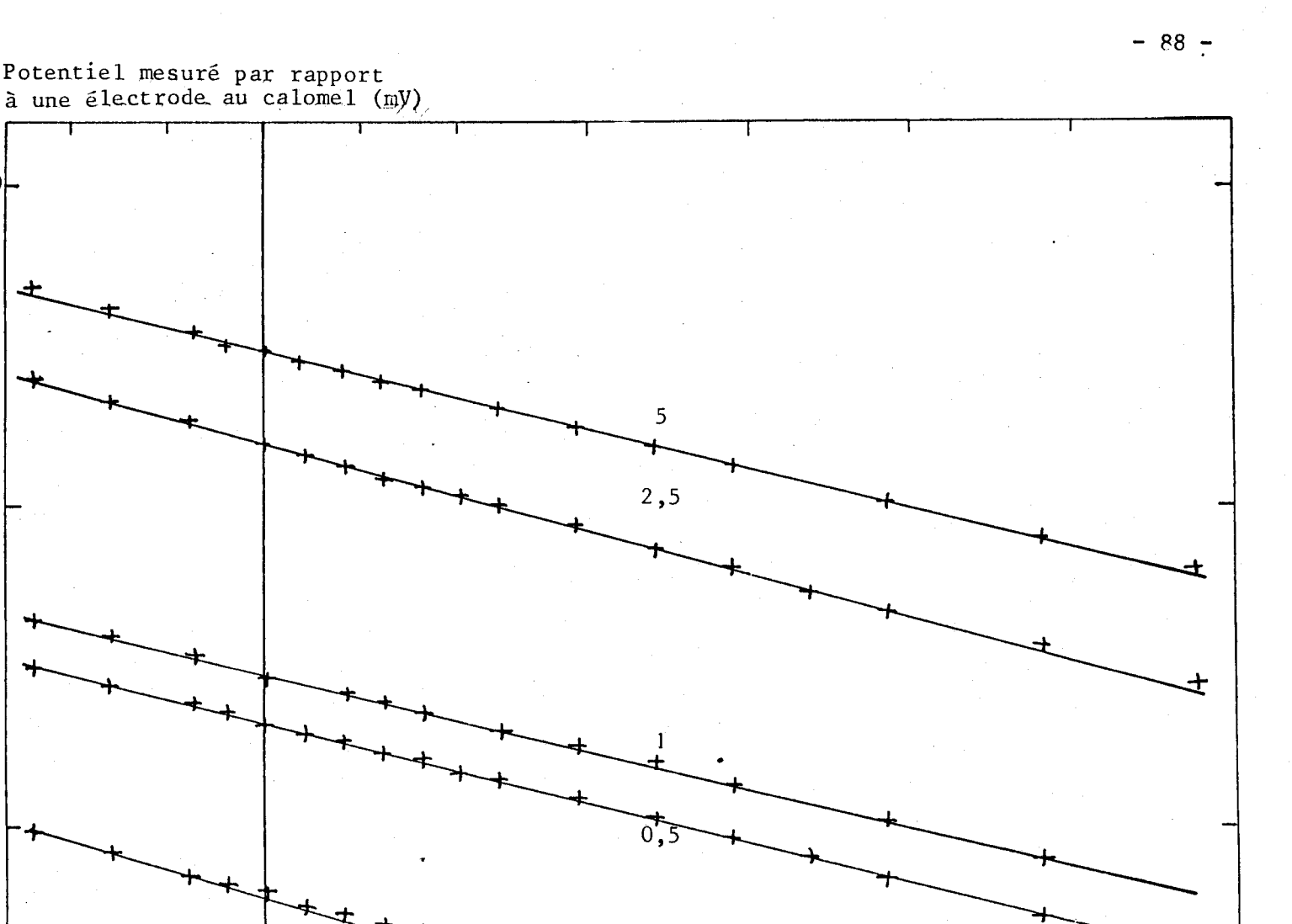
Dans la réaction de lixiviation, trois électrons sont nécessaires et l'intensité correspondante est donc égale à :

$$I = \frac{Q}{t} = \frac{3.5.0,6.96500}{183,5.1800} \approx 2,63 \text{ A}$$

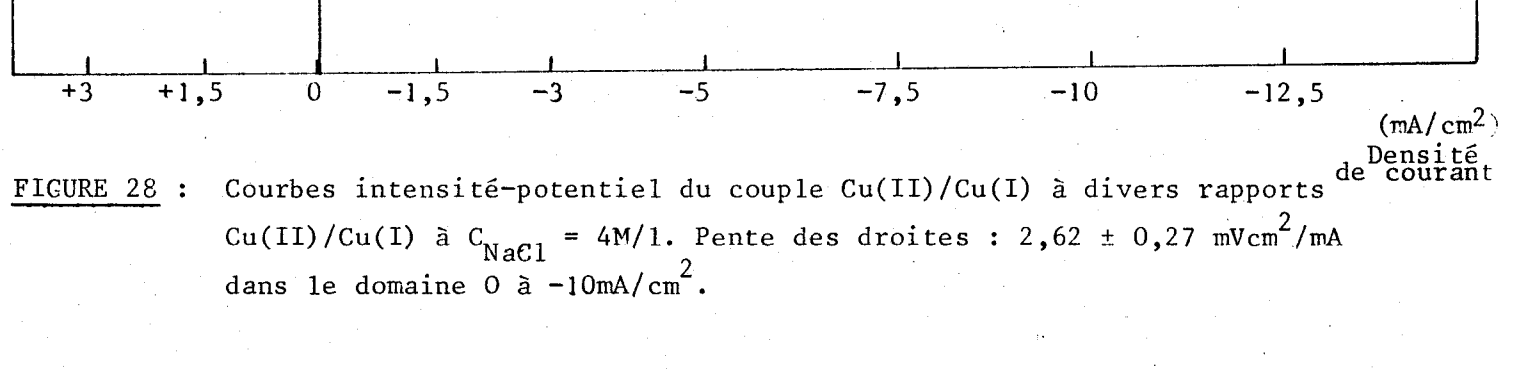
Par suite, l'intensité par unité de surface est égale à :

$$i = \frac{2,63 \cdot 1000}{730} = 3,6 \text{ mA/cm}^2$$

Or cette intensité est l'intensité maximale que l'on puisse observer, étant donné que le calcul a été effectué dans les conditions de



0,2



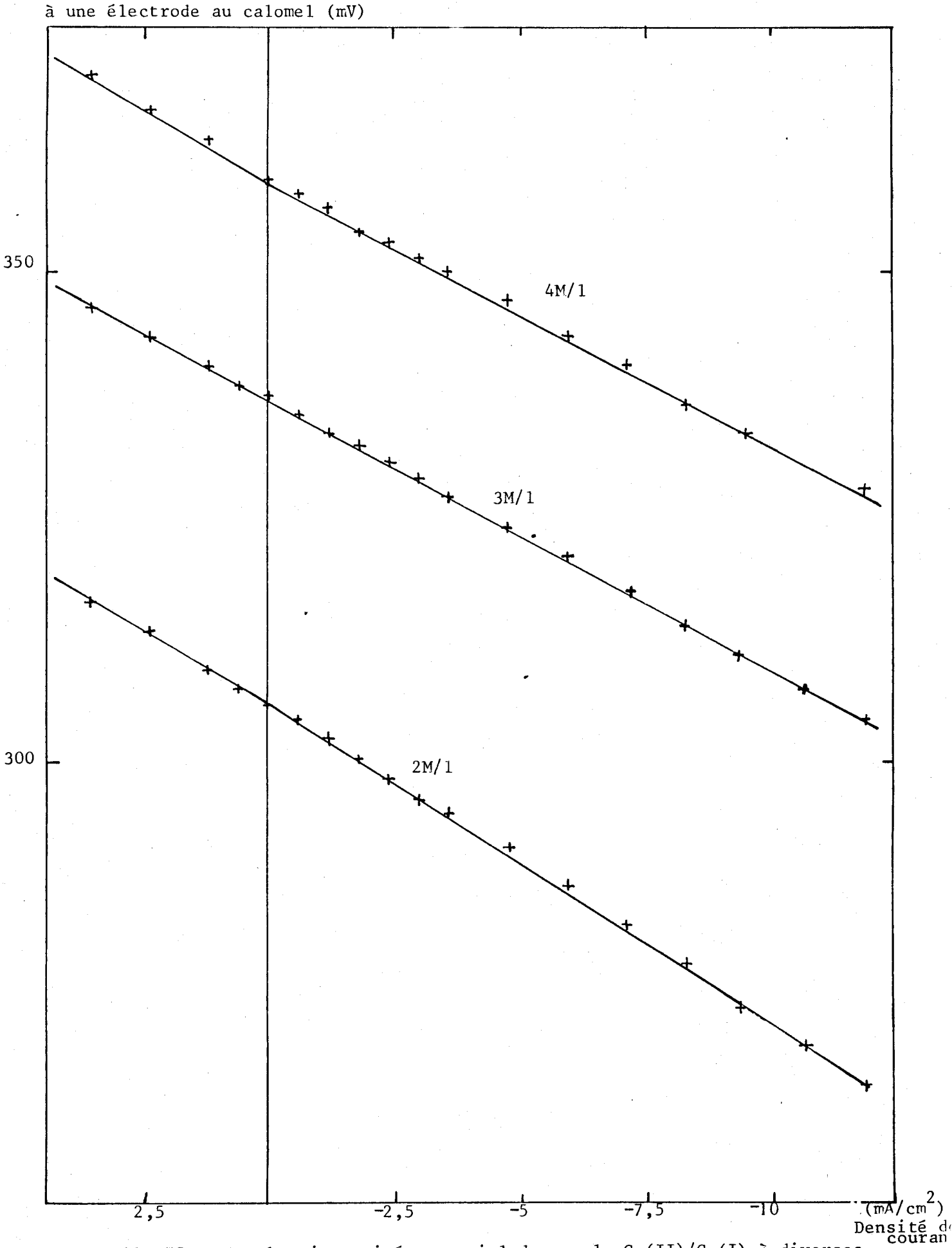
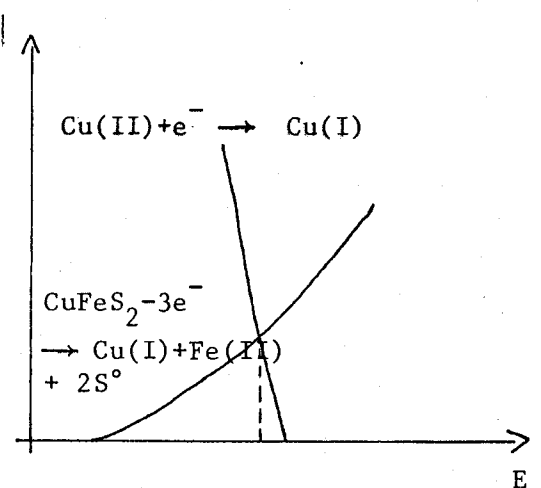


FIGURE 28 BIS: Courbes intensité-potentiel du couple Cu(II)/Cu(I) à diverses concentrations en NaCl pour Cu(II)/Cu(I) = 2,5.

Pente des droites : 2,90  $\pm$ 0,28 mV cm<sup>2</sup>/mA dans le domaine 0 à-10mA/cm<sup>2</sup>

début de réaction (30mm) où la cinétique est la plus rapide.

Or en traçant les courbes donnant le potentiel en fonction de i pour la réduction de Cu(II) et l'oxydation de CuFeS<sub>2</sub>, l'on ramarque que le point d'intersection correspond à un potentiel proche de celui du couple Cu(II)/Cu(I) à intensité nulle dans le cas où la pente de la courbe de réduction de Cu(II) est faible (fig. cicontre.



C'est effectivement le cas ici dans la mesure où la différence entre le potentiel à intensité nulle et pour 3, 6 mA/cm<sup>2</sup> n'excède pas 10mV (fig. 28 et 28 bis)

De plus les droites représentatives pour divers rapports  $\frac{\mathrm{Cu}(1)}{\mathrm{Cu}(11)}$  et concentrations en Cl ont des pentes très proches, ce qui fait que le potentiel de la réaction peut être assimilé à une constante près à celui de la solution, accessible par une simple mesure potentiométrique.

# B. Potentiel redox de la solution : aspects thermodynamique et cinétique :

KAMETANI (121) du National Research Institute for Metals de Tokyo a souligné dans ses travaux que la cinétique d'oxydation des sulfures métalliques était fonction du potentiel de la solution. La méthode utilisée est bien différente des méthodes électrochimiques classiques mesurant la d.d.p. s'établissant entre une électrode du minéral à étudier et une électrode au calomel plongées dans une solution d'électrolyte : le schéma expérimental en est décrit à la figure 29 et les conditions apparaissent proches de celles de la lixiviation en réacteur agité. La procédure consiste à faire un dosage potentiométrique du sulfure par une solution de KMnO<sub>4</sub> : après chaque addition, la stabilisation du potentiel est attendue et, à intervalles réguliers de potentiel, des échantillons de solution sont prélevés pour déterminer le taux de

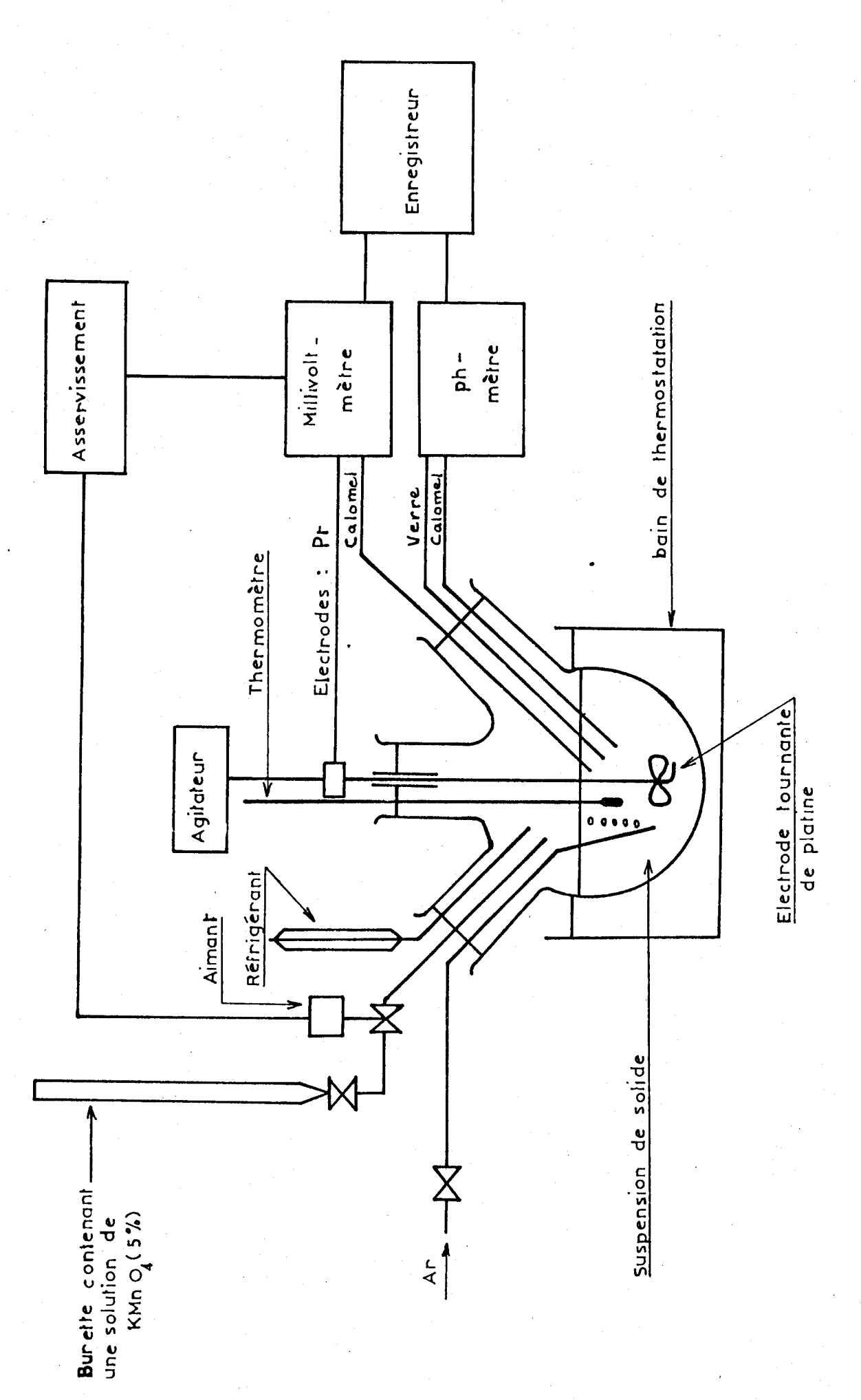


FIGURE 29: Schéma du dispositif expérimental utilisé par KAMETANI (121)

mise en solution. La méthode présente deux inconvénients :

- le potentiel se stabilise non pas lorsque la cinétique devient nulle, mais dès que celle-ci devient lente.
- le permanganate de potassium peut, lors de son addition, oxyder le minerai avant la solution et causer ainsi la formation de sulfate.

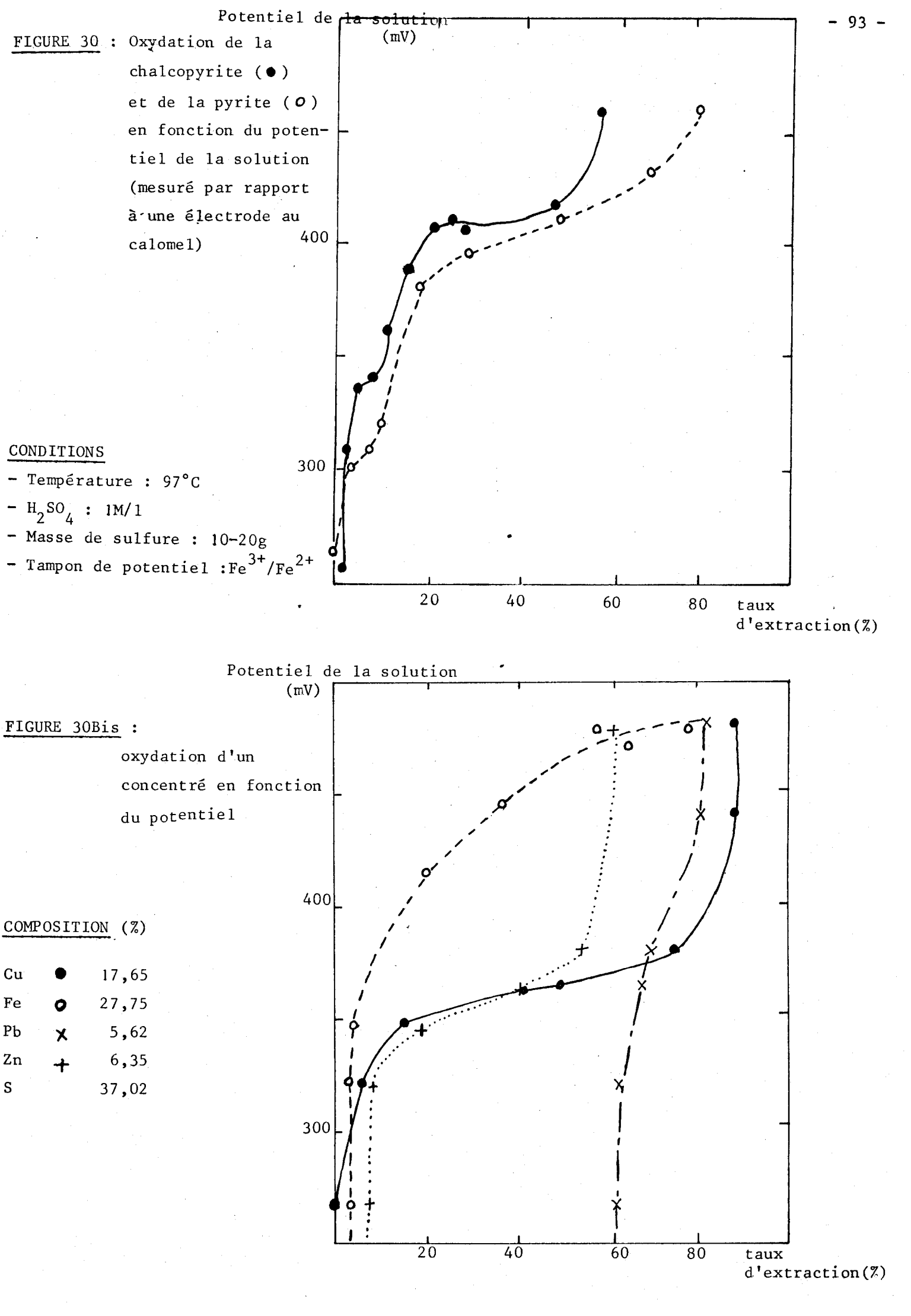
D'après la figure 30, il apparaît que l'oxydation de la chalcopyrite devient visible (taux de mise en solution supérieur à 20 %) à un potentiel de 400 mV par rapport à l'électrode au calomel : les résultats pour la pyrite en sont proches. Par contre, lorsque pyrite et chalcopyrite se trouvent conjointement dans un même concentré, comme c'est le cas dans la figure 30 bis, la mise en solution du cuivre est sélective par rapport à celle du fer pour des valeurs du potentiel relativement faibles (à 380mV, 10 % de fer seulement est mis en solution, alors que près de 80 % du cuivre l'est.). Lorsque le potentiel de la solution atteint des valeurs plus élevées, la sélectivité est très nettement diminuée : à 480 mV, 90 % du cuivre, mais aussi 83 % du fer, sont mis en solution. En milieu ferrique, aussi bien DUTRIZAC (48) que AMMOU-CHOUKROUM(50) ont trouvé que la chalcopyrite était mise en solution sélectivement par rapport à la pyrite, ce qui correspond sensiblement au résultat trouvé par KAMETANI pour des solutions dont le potentiel redox est de l'ordre de 380 mV par rapport à l'électrode de calomel à 97°C.

Dans le milieu étudié, le potentiel redox des solutions est une fonction complexe du rapport  $\frac{Cu(II)}{Cu(I)}$  et de la concentration des ions chlorures.

#### a) Aspect thermodynamique

α) Données thermodynamiques concernant le couple Cu(II)/Cu(I) en milieu chlorure :

L'introduction initiale d'une quantité importante d'ions chlorures dans le cas de la lixiviation par le chlorure cuivrique est indispensable.



En effet, le chlorure cuivreux est pratiquement insoluble dans l'eau (0,062g/1), alors qu'il peut être solubilisé dans des milieux complexants tels que l'ammoniaque ou les solutions concentrés de chlorure. Or, au cours de la réaction, le cuivre passe en solution à l'état d'oxydation un et, par suite, la présence en solution d'ions chlorures apparaît nécessaire.

GLODZINSKA et ZEMBURA (122) ont ainsi lissé la courbe de solubilité de CuCl(g/l) en fonction de la concentration en HCl dans le domaine 55-370g/l de HCl par le polynôme suivant :

$$c_{\text{CuC1}} = -22,2605 + 7,362.10^{-1}c_{\text{HC1}} + 7.10^{-4}c_{\text{HC1}} + 3,35.10^{-6}c_{\text{HC1}}^{3}$$

D'autre part, CHALTYKJAN (123) a observé que la solubilité variait légèrement suivant le cation associé à l'ion chlorure dans le sel ajouté selon l'ordre :  $K^+$  >  $NH_4^+$  >  $Na^+$  >  $H^+$ 

La solubilité de CuCl en milieu chlorure apparaît donc comme une fonction croissante de la concentration en chlorure dépendant également de la nature du sel ajouté.

En solution concentrée de chlorure, les ions cuivreux, mais aussi cuivriques sont complexés. Les proportions des complexes sont régies par les constantes relatives à chacun des équilibres de complexation ( les termes entre parenthèse représentent des concentrations ; les γ sont des coefficients d'activité)

$$Cu^{+} + C1^{-} \rightleftharpoons CuC1$$

$$K_{1} = \frac{1}{|Cu^{+}|\gamma_{Cu}^{+}|C1^{-}|\gamma_{C1}^{-}}$$

$$Cu^{+} + 2C1^{-} \rightleftharpoons CuC1_{2}^{-}$$

$$K_{2} = \frac{|CuC1_{2}^{-}|\gamma_{Cu}C1_{2}^{-}}{|Cu^{+}|\gamma_{Cu}^{+}|C1^{-}|^{2}\gamma_{C1}^{2}}$$

$$Cu^{+} + 3C1^{-} \rightleftharpoons CuC1_{3}^{-}$$

$$K_{3} = \frac{|CuC1_{3}^{-}|\gamma_{Cu}C1_{3}^{-}}{|Cu^{+}|\gamma_{Cu}^{+}|C1^{-}|^{3}\gamma_{C1}^{3}}$$

Auteurs	CHALTYKJAN (123)	HURLEN (124)	AHRLAND et RAWSTHORNE (125)	VASIL KUN (12	IN	LOURIE (127)
méthode de mesure	solubilité	électrochimie	électrochimie	calori	métrie	valeurs rapportées
conditions	μ extrapolé à O	μ = 1 (KC1)	μ = 5 (NaClO <sub>4</sub> )	μ extra polé à O	μ = 5 (NaC10 <sub>4</sub> )	μ extrapolé à 0
log K <sub>l</sub>	<b>-</b>	-	7,38	6,80	6,81	5,92
log K <sub>2</sub>	4,94	5,46	6,00	5,57	5,84	5,35
log K <sub>3</sub>	5,84	5,58	5,99	5,79	5,96	5,63

Complexes de Cu(I)

Auteurs	HELGESON (128) d'après BJERRUM (129)	GRIMALDI et LIBERTI (130)	ASHURST (131)	LOURIE (127)	KHAN et SCHWING-WEILL (132)
méthode de mesure	spectrophoto- métrie	échange d'ions sur papier	spectrophoto- métrié	valeurs rapportées	spectrophoto- métrie
conditions	μ extrapolé à Ο	_	μ = 5(NaCl <sub>2</sub> )	μ extrapolé à O	μ = 5
log K'	0,01	- 0,03	0,27	0,07	0,6
log K'	- 0,69	- 0,81	0	- 0,57	0,67
log K'3	- 2,29	- 1,3	_	- 2,1	0,20
log K' <sub>4</sub>	- 4,59	-		-	- 0,77

Complexes de Cu (II)

 $\star \mu$ : force ionique du milieu

$$Cu^{2+} + C1^{-} \rightleftharpoons CuC1^{+}$$

$$K'_{1} = \frac{|CuC1^{+}| \gamma_{CuC1}^{+}}{|Cu^{2+}| \gamma_{Cu}^{2+}| c1^{-}| \gamma_{C1}^{-}}$$

$$Cu^{2+} + 2C1^{-} \rightleftharpoons CuC1_{2}$$

$$K'_{2} = \frac{|CuC1_{2}| \gamma_{CuC1_{2}}}{|Cu^{2+}| \gamma_{Cu}^{2+}| c1^{-}|^{2} \gamma_{C1}^{2}}$$

$$Cu^{2+} + 3C1^{-} \rightleftharpoons CuC1_{3}^{-}$$

$$K'_{3} = \frac{|CuC1_{3}^{-}| \gamma_{CuC1_{3}^{-}}}{|Cu^{2+}| \gamma_{Cu}^{2+}| c1^{-}|^{3} \gamma_{C1}^{3}}$$

$$Cu^{2+} + 4C1^{-} \rightleftharpoons CuC1_{4}^{-}$$

$$K'_{4} = \frac{|CuC1_{4}^{-}| \gamma_{Cu}^{2+}| c1^{-}|^{4} \gamma_{C1}^{4}}{|Cu^{2+}| \gamma_{Cu}^{2+}| c1^{-}|^{4} \gamma_{C1}^{4}}$$

Les auteurs proposent diverses valeurs rapportées dans le tableau 5 pour les constantes de formation des chlorocomplexes cuivreux et cuivriques, soit qu'elles aient été obtenues à force ionique donnée par addition préalable de sels totalement dissociés en phase aqueuse, soit qu'elles aient été extrapolées pour une force ionique nulle.

En ce qui concerne les constantes de complexation de Cu(I), les valeurs proposées par les différents auteurs sont assez proches. Toutefois, certains auteurs soutiennent l'existence d'autres chlorocomplexes. Ainsi AHRLAND et RAWSTHORNE (125) sont les seuls à supposer la formation d'un complexe cuivreux tétracoordonné  $\operatorname{CuCl}_4^{3-}$ , qui n'apparaîtrait que pour des concentrations supérieures à  $\operatorname{5M}/1$ ; ils pensent également qu'îl se forme des complexes polynucléaires de charge -2 dont le plus simple serait  $\operatorname{Cu}_2^{\operatorname{Cl}_4^-}$ , alors que CHALTYKJAN (123) estime qu'il y a, à faible concentration en chlorure, association entre CuCl et  $\operatorname{CuCl}_2^-$  pour former un ion  $\operatorname{Cu}_2^{\operatorname{Cl}_3^-}$ .

Pour le couple Cu<sup>2+</sup>/Cu<sup>+</sup> à 20°C, la loi de Nernst s'écrit :

$$E = E_{\circ}(Cu^{2+}/Cu^{+}) + \frac{0.058}{n} \log \frac{|Cu^{2+}| \gamma Cu^{2+}}{|Cu^{+}| \gamma Cu^{+}}$$
 avec n=1

L'activité des divers chlorocomplexes peut être exprimée en fonction de celle des ions cuivreux et cuivriques ainsi que chlorures et des constantes de complexation. Toutefois, l'on se heurte à une difficulté importante dans la mesure où il n'y a pas de données sur le calcul du coefficient d'activité des ions cuivreux dans la littérature comme, par exemple, les travaux de BROMLEY (133). Il est possible de la contourner en utilisant les valeurs proposées par VASILEV et KUNIN (126) pour une force ionique donnée. L'intervalle de variation en est relativement faible et les valeurs moyennes suivantes peuvent être retenues :

$$log K_2$$
: 5,6 ± 0,35  
 $log K_3$ : 5,85 ± 0,2

A partir de ces données, il est possible de déduire les formes sous lesquelles se trouve le cuivre en solution suivant le niveau en chlorure.

Calcul du degré moyen de complexation des ions cuivreux en milieu NaCl

Les différentes équations de conservation de la masse s'écrivent :

En raison de la faible valeur du produit de solubilité de CuCl, la concentration en ions cuivreux  $|\mathrm{Cu}^+|$  peut être négligée de vant celle des chlorocomplexes. Des précédentes équations, il peut alors être déduit :  $\mathrm{M_{Cl}} = |\mathrm{Cl}^-| + 3\mathrm{U} - |\mathrm{CuCl}_2^-|$ 

D'après ce qui a été dit plus haut, ce sont les concentrations, et non les activités des diverses espèces qui sont prises en compte. Ainsi,  $|\operatorname{CuCl}_2^-|$  peut s'exprimer en fonction de  $K_1$ ,  $K_2$  et de la concentration en ions chlorures.

$$|\operatorname{CuCl}_{2}^{-}| = K_{2}|\operatorname{Cu}^{+}| |\operatorname{Cl}^{-}|^{2} = \frac{K_{2}}{K_{1}}|\operatorname{Cl}^{-}|$$

$$|\operatorname{Cl}^{-}| = \frac{M_{C1}^{-} - 3U}{1 - \frac{K_{2}}{K_{1}}} = 1,04(M_{C1}^{-} - 3U) = 1,04(C_{NaC1}^{-} - 2U)$$

Par suite, le rapport des concentrations de  $CuCl_{\frac{1}{2}}^{-}$  et  $CuCl_{\frac{1}{3}}^{-}$  peut être calculé :

$$|\operatorname{CuC1}_{2}^{-}| = K_{2} |\operatorname{Cu}^{+}| |\operatorname{C1}^{-}|^{2}$$

$$|\operatorname{CuC1}_{3}^{-}| = K_{3} |\operatorname{Cu}^{+}| |\operatorname{C1}^{-}|^{3}$$

$$= K_{3} |\operatorname{Cu}^{+}| |\operatorname{C1}^{-}|^{3}$$

$$= 1,85 (C_{NaC1} - 2U)$$

Le degré moyen de complexation des ions cuivreux peut alors être facilement déduit :

$$\tilde{n} = \frac{\begin{vmatrix} 3 \text{ CuCl}_{3}^{=} | + 2 | \text{CuCl}_{2}^{=} |}{|\text{CuCl}_{3}^{=} | + |\text{CuCl}_{2}^{=} |} = \frac{3(|\text{CuCl}_{3}^{=} | + |\text{CuCl}_{2}^{=} |) - |\text{CuCl}_{2}^{=} |}{|\text{CuCl}_{3}^{=} | + |\text{CuCl}_{2}^{=} |} = 3 - \frac{1}{1,85 (C_{\text{NaCl}} - 2U) + 1}$$

la précédente expression donne pour n des valeurs comprises entre 2,7 et 2,9 dans le domaine des concentrations des diverses espèces étudiées.

En ce qui concerne les ions cuivriques, COGNET (134) a estimé que les espèces prépondérantes en milieu NaCl étaient Cu<sup>2+</sup> et CuCl<sup>+</sup>: le degré moyen de complexation devrait donc être compris entre 0 et 1. Toutefois, d'autres auteurs (131,132) estiment que le degré de coordination moyen des complexes chlorures formés dans ces conditions est supérieur à un.

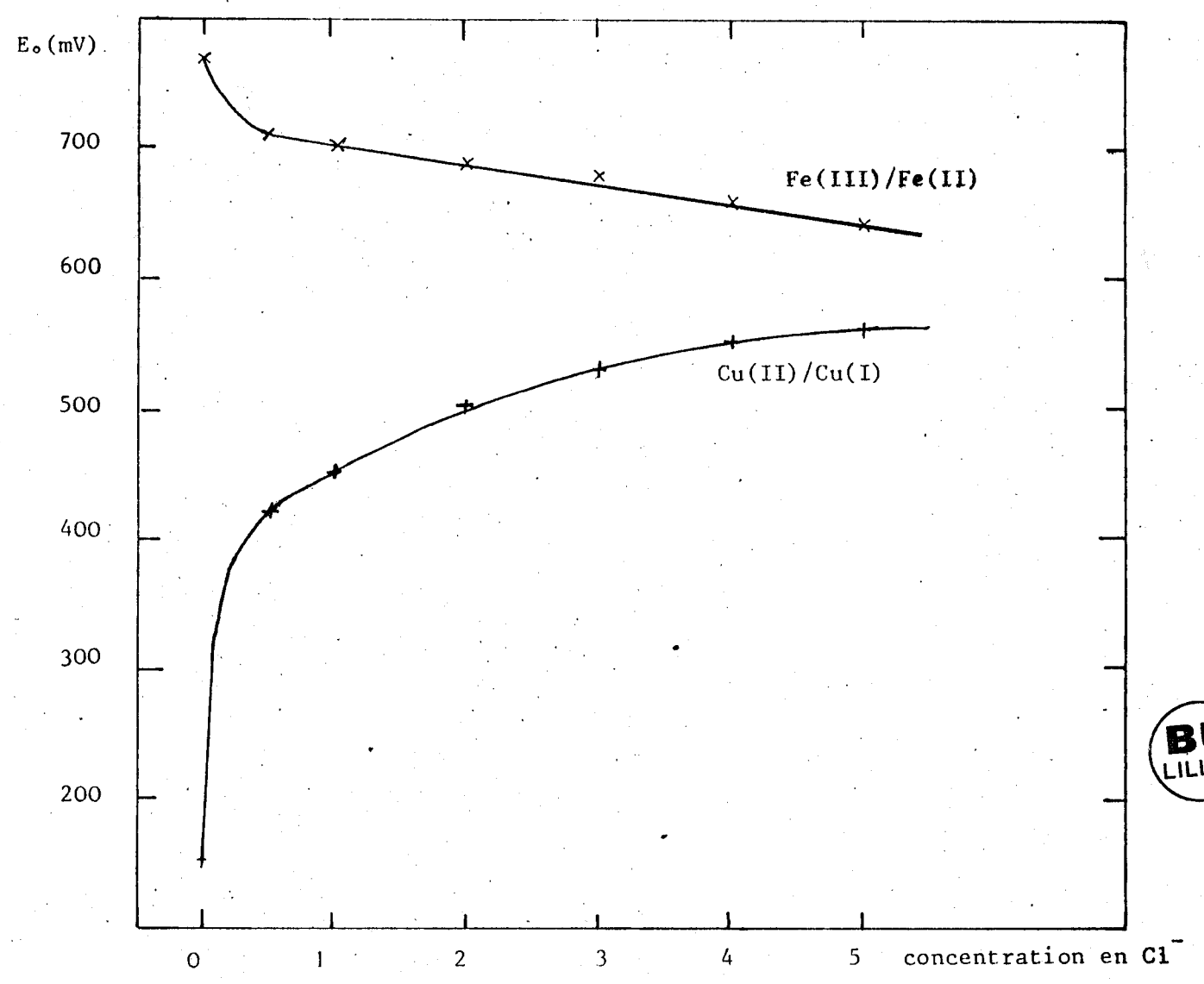


Figure 3 1 Résultats expérimentaux et extrapolés de SUCHA et URNER (135)

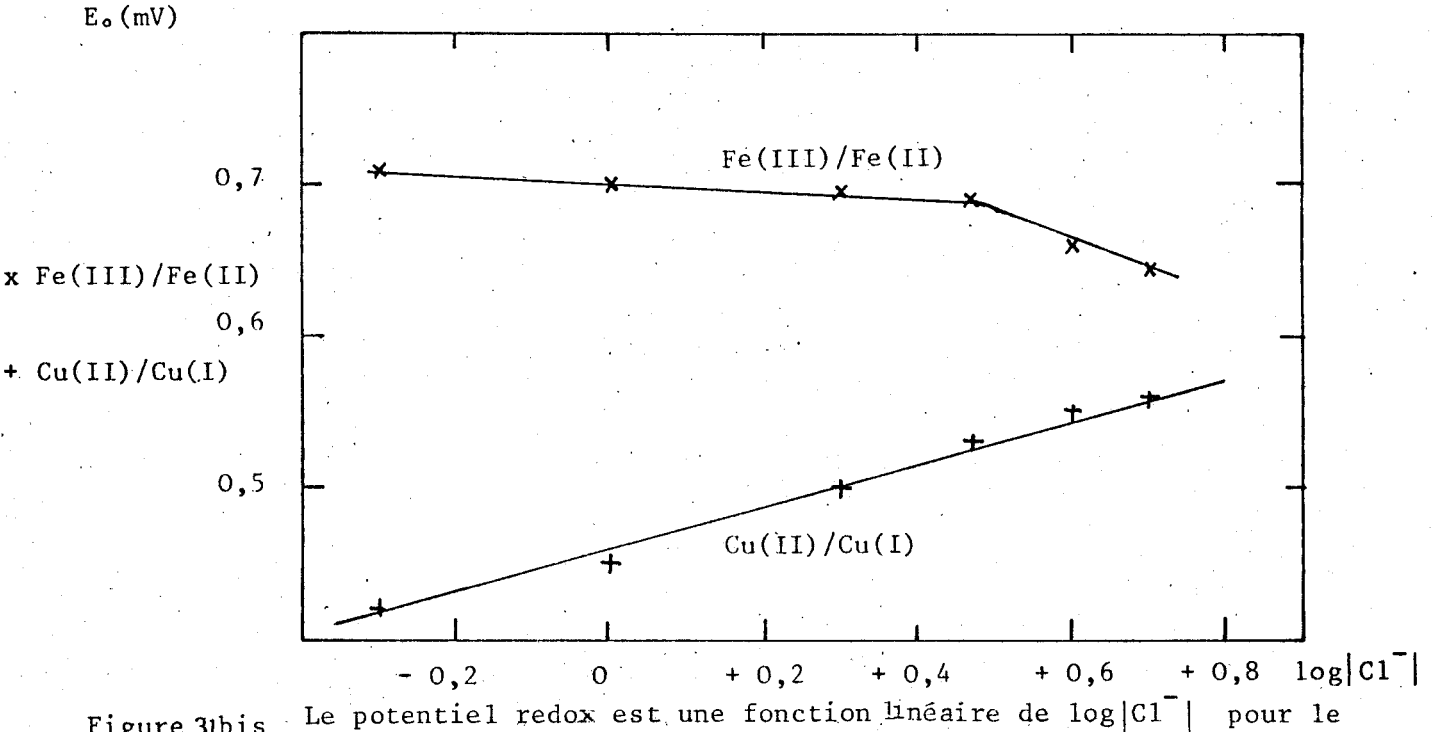


Figure 31bis Le potentiel redox est une fonction Linéaire de log C1 | pour le couple Cu(II)/Cu(I) d'après SUCHA et URNER (135)

# β) - Comparaison entre les résultats observés sur l'influence des ions chlorures sur le potentiel.

Selon tous les auteurs, le potentiel est une fonction croissante de la teneur en chlorure. En effet, si l'on fait l'hypothèse que les ions cuivreux étaient en solution essentiellement sous forme de CuCl (i-1)-et les ions cuivriques, sous forme de CuCl (j-2)-, il est possible d'exprimer le potentiel redox en fonction de la concentration en ions chlorures libres, en assimilant activité et concentration, à  $20^{\circ}$ C:

$$E = E_{\circ} + 0,058 \log \frac{Cu^{2+}}{Cu^{+}} = E_{\circ} + 0,058 \log \frac{CuCl_{j}^{(j-2)-}}{CuCl_{i}^{(i-1)-}} + 0,058 \log \frac{Ki}{K_{j}^{*}} + 0,058 \log \frac{CuCl_{j}^{(j-2)-}}{CuCl_{i}^{(j-2)-}} = E_{\circ}^{*} + 0,058 \log \frac{CuCl_{j}^{(j-2)-}}{CuCl_{j}^{(i-1)-}} + 0,058 (i-j) \log |Cl_{j}^{*}|$$

$$= E_{\circ}^{*} + 0,058 \log \frac{CuCl_{j}^{(j-2)-}}{CuCl_{j}^{(i-1)-}} + 0,058 (i-j) \log |Cl_{j}^{*}|$$

$$= E_{\circ}^{*} + 0,058 \log \frac{Ki}{K_{j}^{*}} + 0,058 \log \frac{Ki}{K_{j}^{*}$$

Il apparaît donc bien que le potentiel croît en fonction de |C1| si i est supérieur à j, c'est-à-dire si le degré de complexation de  $Cu^+$  est supérieur à celui de  $Cu^{2+}$ , ce qui est effectivement le cas d'après les différents auteurs et le présent calcul (par  $\alpha$ ). Par contre, des divergences apparaîssent sur l'aspect quantitatif de ce phénomène.

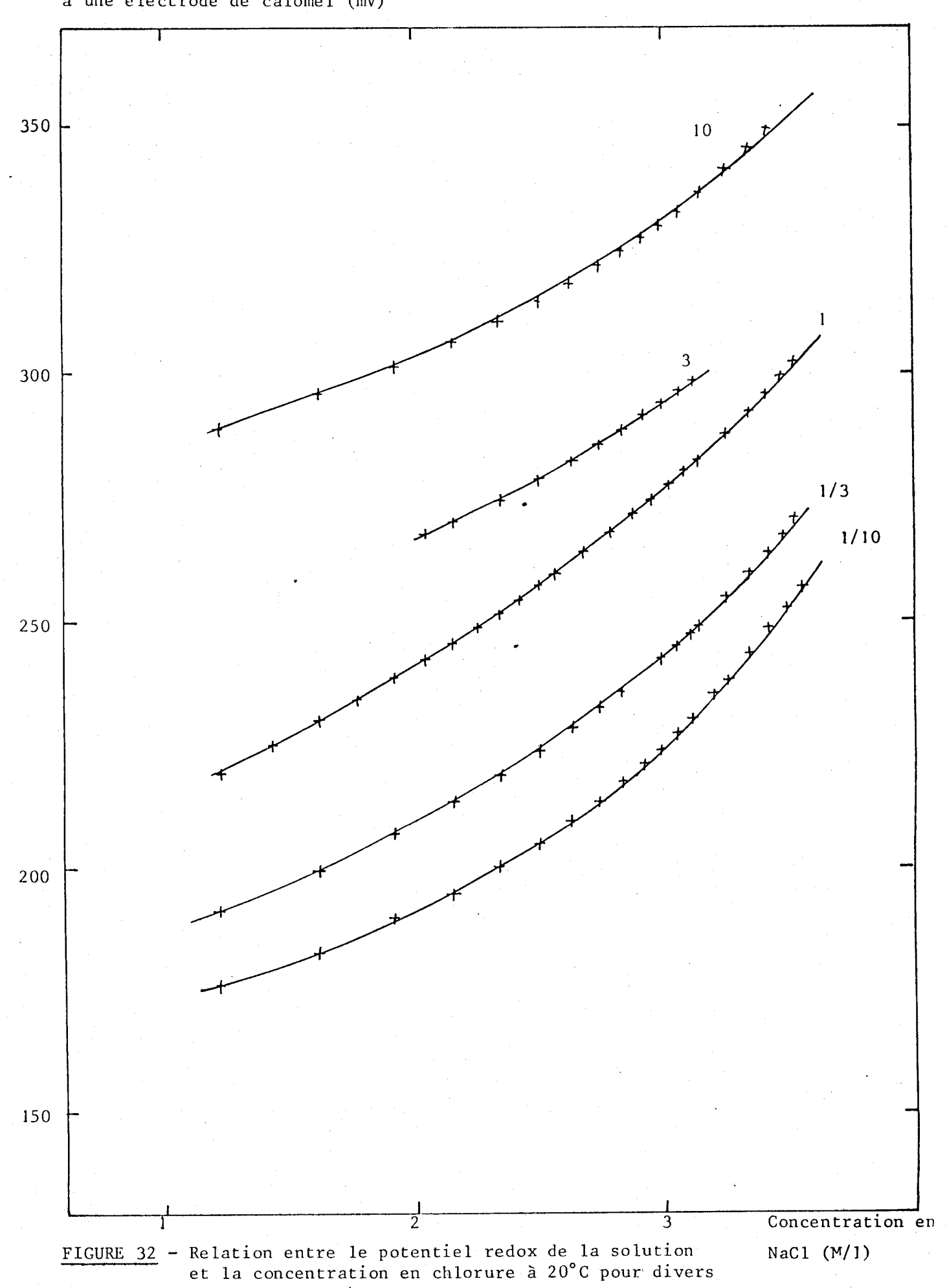
Ainsi JONES (56) estime que les espèces prépondérantes sont, soit  $\operatorname{CuCl}_3^=$  et  $\operatorname{CuCl}_4^+$ , soit  $\operatorname{CuCl}_2^-$  et  $\operatorname{Cu}^{2+}$  et que le potentiel redox du couple  $\operatorname{Cu}^{2+}/\operatorname{Cu}^+$  est donc une fonction linéaire de  $|\operatorname{Cl}^-|$  de pente deux. SUCHA et URNER (119) ont étudié, dans le cadre de leur étude sur le titrage des solutions contenant  $\operatorname{Fe}(\operatorname{III},\operatorname{II})$  et  $\operatorname{Cu}(\operatorname{II},\operatorname{I})$  par  $\operatorname{Ti}(\operatorname{III})$ , la variation du potentiel normal des couples  $\operatorname{Cu}^{2+}/\operatorname{Cu}^+$  et  $\operatorname{Fe}^{3+}/\operatorname{Fe}^{2+}$  en fonction de la teneur en chlorure du milieu : il apparaît, d'après les figures 31 et 31 bis que, pour  $\operatorname{Fe}^{3+}/\operatorname{Fe}^{2+}$ , le potentiel décroît très faiblement en fonction de la concentration en  $\operatorname{Cl}_3^-$ , alors que, pour  $\operatorname{Cu}^{2+}/\operatorname{Cu}_3^+$ , il croît linéairement en fonction du logarithme de celle-ci avec une pente égale à  $\sim 2,3$ .

Les manipulations effectuées dans le présent travail l'ont été avec des concentrations en CuCl<sub>2</sub> et CuCl suffisamment faibles pour pouvoir être négligées devant celle de NaCl.

Les courbes E = f(C1) ont été tracées à 20°C pour divers rapports  $\frac{Cu(II)}{Cu(I)}$  (Fig. 32).

Potentiel mesuré par rapport à une électrode de calomel (mV)

rapports



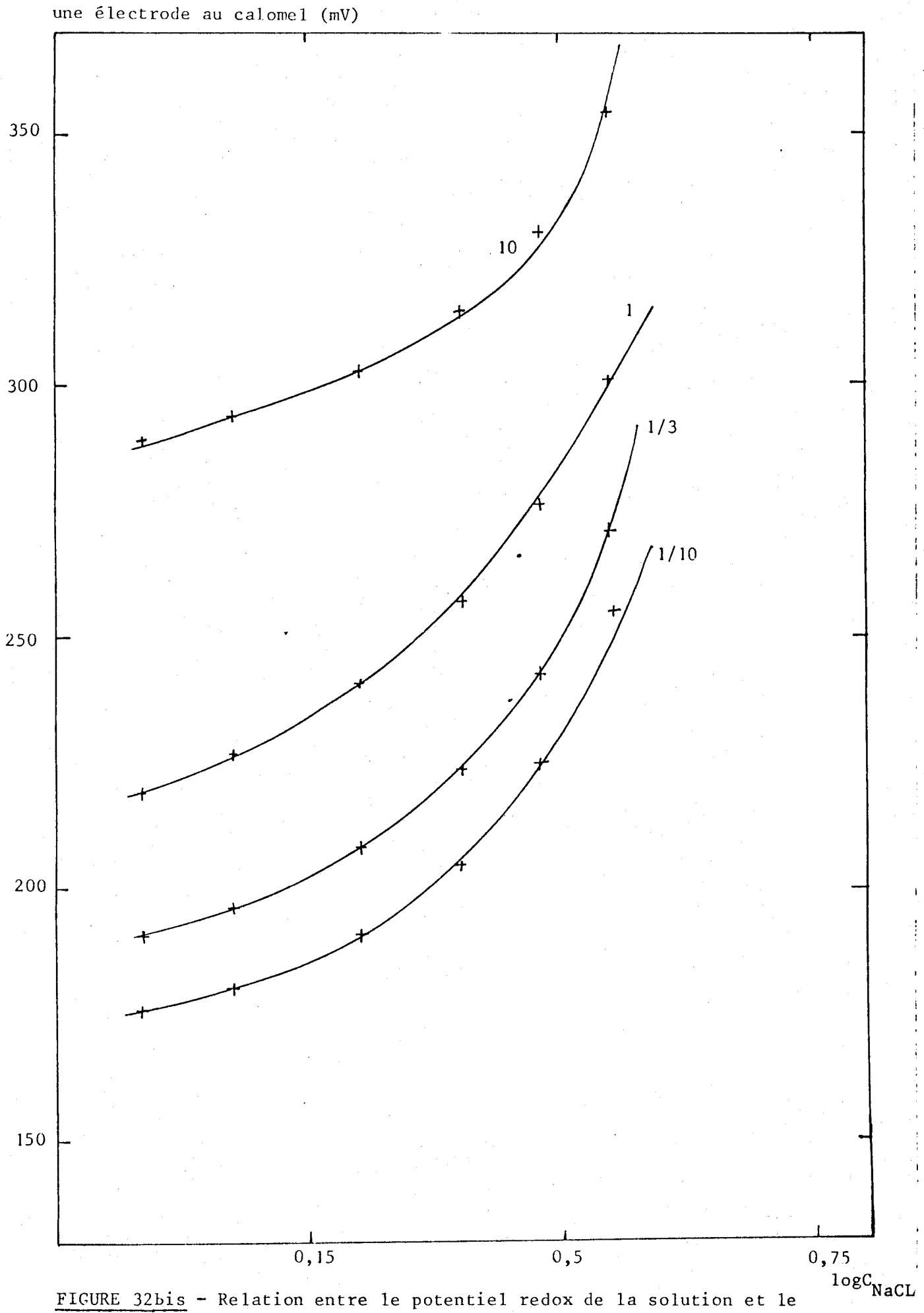


FIGURE 32bis - Relation entre le potentiel redox de la solution et le logarithme de la concentration en chlorure à 20°C pour divers rapports <u>Cu(II)</u>

Les courbes représentatives de la variation du potentiel en fonction du logarithme de la concentration en chlorure n'apparaissent pas linéaires (fig. 32 bis), ce qui signifierait que la corrélation entre potentiel de la solution et log |Cl | est plus complexe que celle que proposent JONES ou SUCHA et URNER. Ceci peut s'expliquer par le fait que le chlorocomplexe prépondérant change selon le niveau en chlorure de la solution; de plus, la prise en compte des coefficients d'activité des diverses espèces apparaît nécessaire pour comprendre les résultats observés. Comme le prouve l'expression générale suivante qui suppose que tous les chlorocomplexes de cuivre sont présents:

$$E = E_{\circ}(Cu^{2+}/Cu^{+}) + 0,058 \log \frac{a_{Cu}^{2+}}{a_{Cu}^{+}} = E(Cu^{2+}/Cu^{+}) + 0,058 \log \frac{Cu(II)}{Cu(I)}$$

$$1+K_{2}\frac{\gamma Cu^{+}}{CuC_{1}} \cdot |C1^{-}|^{2}\gamma_{C1}^{2} + K_{3}\frac{\gamma Cu^{+}}{CuC_{1}} \cdot |C1^{-}|^{3}\gamma_{C1}^{3} - \frac{1}{2}$$

$$0,058 \log \frac{1}{1+K_{1}^{2}\frac{\gamma Cu^{2+}}{\gamma Cu^{-}C_{1}^{2}}} \cdot |C1^{-}|^{2}\gamma_{C1}^{2} + K_{2}\frac{\gamma Cu^{2+}}{\gamma CuC_{1}^{2}} \cdot |C1^{-}|^{3}\gamma_{C1}^{3} + K_{2}\frac{\gamma Cu^{2+}}{\gamma CuC_{1}^{2}} \cdot |C1^{-}|^{4}\gamma_{C1}^{4} - \frac{1}{2}\gamma_{C1}^{2} + K_{2}\frac{\gamma Cu^{2+}}{\gamma CuC_{1}^{2}} \cdot |C1^{-}|^{3}\gamma_{C1}^{3} + K_{2}\frac{\gamma Cu^{2+}}{\gamma CuC_{1}^{2}} \cdot |C1^{-}|^{4}\gamma_{C1}^{4} - \frac{1}{2}\gamma_{C1}^{2} + \frac{1}{2}\gamma_{$$

La connaissance de la nature des complexes présents en solution en fonction de la concentration en chlorure, mais également de la température, s'avère importante, comme lé prouvent les calculs thermodynamiques de l'annexe 2. Le problème du calcul des coefficients d'activité de complexes semble à l'heure actuelle difficile à résoudre étant donné que les travaux récents de PITZER (136) ainsi que de KUSIK et MEISSNER (137) n'ont trait qu'à des électrolytes forts, où ne se posent pas de problèmes de complexation.

# b) <u>Influence du potentiel redox de la solution sur la cinétique</u> de <u>lixiviation</u>

Les expériences effectuées ont prouvé que le potentiel avait une influence sur la cinétique de lixiviation. Elles ont été réalisées à 95°C à des valeurs du potentiel variant en fonction du rapport  $\frac{\text{Cu(II)}}{\text{Cu(I)}}$  et de la concentration en NaCl, la vitesse d'agitation étant fixée à 600t/mm. La quantité de minerai introduite en début de réaction est de 5g et la quantité de  $\text{CuCl}_2$ , de 0,5 mole, hormis les cas où  $\frac{\text{Cu(II)}}{\text{Cu(I)}}$  est inférieur à un. Le potentiel a tendance à baisser au cours de la réaction en raison de la consommation des ions cuivriques pour l'oxydation de la chalcopyrite, mais peut égalements'élever s'il se produit une oxydation parasite des ions cuivreux par l'air.

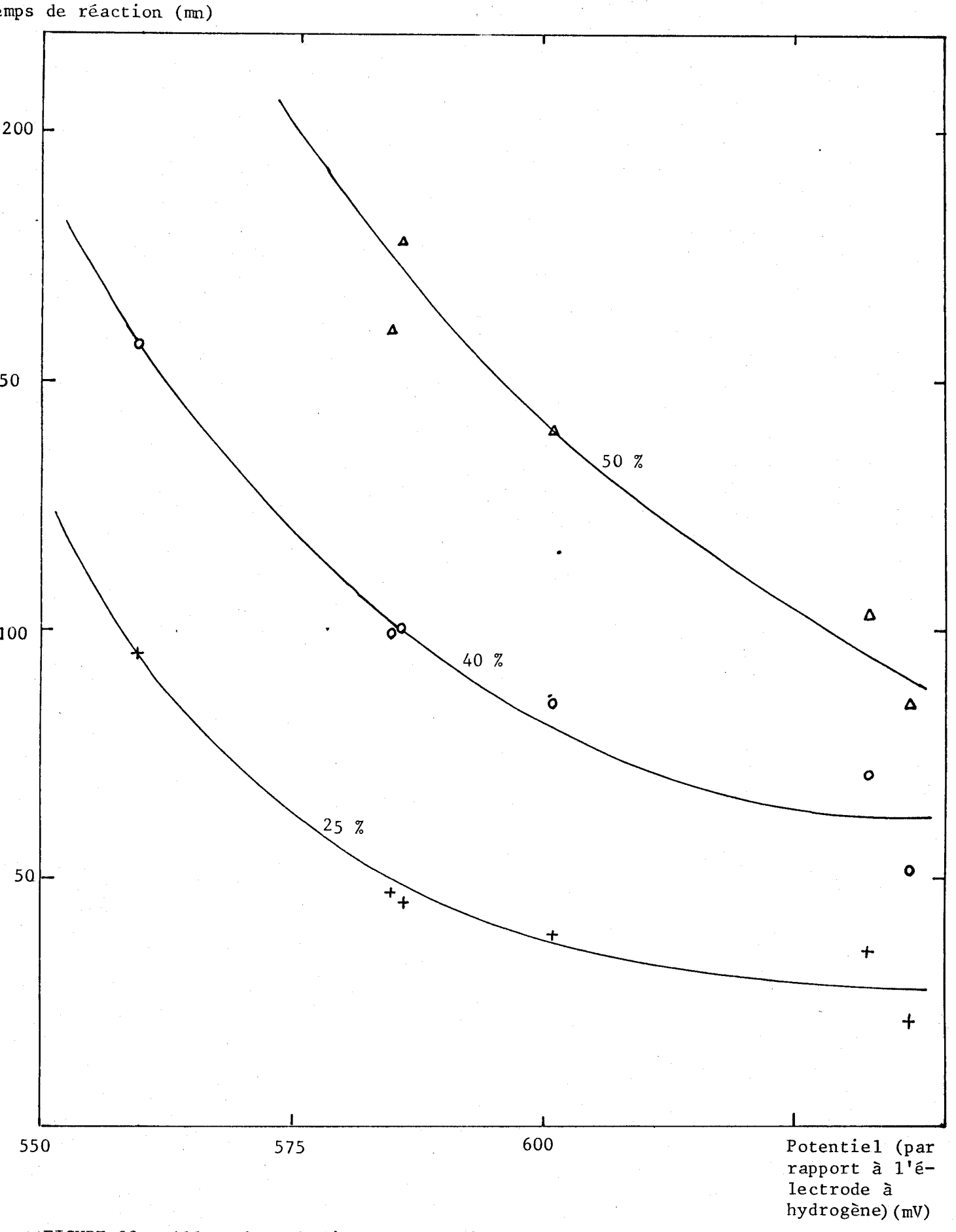


FIGURE 33 : Allure hyperbolique de décroissance du temps de réaction en fonction du potentiel (à pourcentage de dissolution fixé)

D'après la figure 33, le temps nécessaire pour atteindre un certain taux de dissolution est une fonction décroissante du potentiel, c'est-à-dîre que ce temps est d'autant plus court que le potentiel est élevé :pour des taux de dissolution de 25,40 et 50 %, les courbes représentatives ont une allure hyperbolique. Selon les modèles précédemment décrits, la constante cinétique est dans le cas de la limitation par la diffusion à travers une couche de produit non poreux, une fonction linéaire de la concentration en oxydant, ou plutôt du gradient de celle-ci entre la solution et l'interface, et il apparaît que, dans le cas présent, le facteur essentiel n'est pas la concentration en oxydant, mais plutôt le potentiel redox de la solution, qui est une fonction logarithmique de la concentration en oxydant. Par suite, c'est le logarithme de la pseudo-constante cinétique qui a été exprimé sous forme d'une fonction linéaire du potentiel : log k = A.E -B (fig. 34). Il s'est avéré que cette expression représentait relativement bien les résultats observés. Il est à remarquer que cette expression n'est valable que dans le domaine limité de potentiel étudié (550-650 mV/SHE) : une extrapolation serait erronée dans la mesure où la constante cinétique ne s'annuleraît que pour une valeur infiniment négative du potentiel !

L'influence du potentiel peut être encore dissociée en celle du rapport  $\frac{Cu(II)}{Cu(I)}$  et celle des ions chlorures.

## $\alpha$ ) Influence du rapport $\frac{Cu(II)}{Cu(I)}$

Un certain nombre d'expériences ont été effectuées à des rapports  $\frac{\mathrm{Cu}(\mathrm{II})}{\mathrm{Cu}(\mathrm{I})}$  variables, mais à une concentration fixée à 4M/1 de NaCl. Dans le tableau ci-dessous sont indiqués l'intervalle de variation du potentiel, la valeur moyenne du potentiel, les valeurs extrêmes du rapport  $\frac{\mathrm{Cu}(\mathrm{II})}{\mathrm{Cu}(\mathrm{I})}$  ainsi que la valeur moyenne logarithmique. Les valeurs du potentiel mesurées à 20°C sont ici rapportées à l'électrode de référence

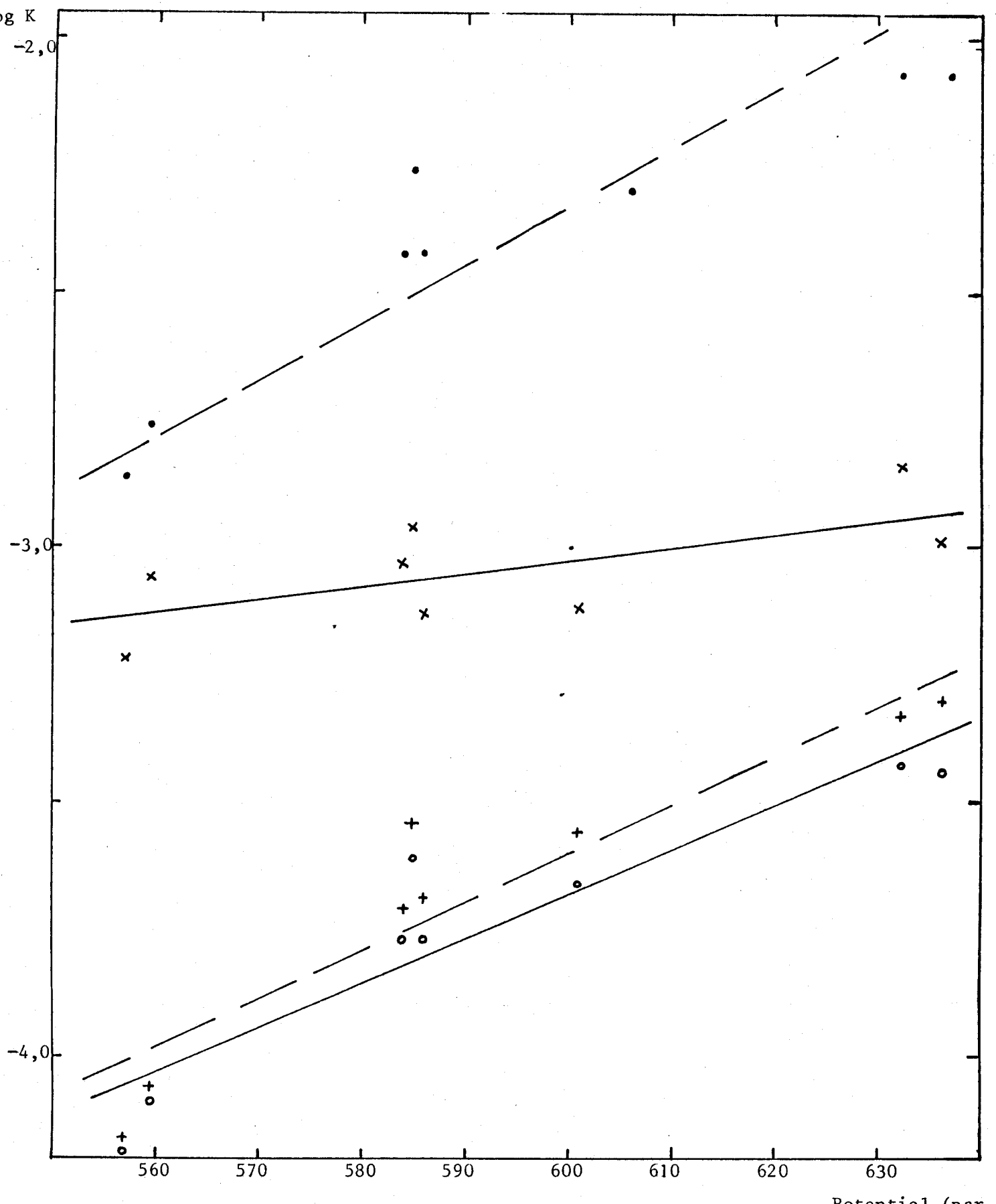


FIGURE 34 : Le logarithme de la constante cinétique k est la fonction linéaire du potentiel redox des solutions pour les modèles de diffusion (H2; H3, H4)

 $H_1 - H_2 - H_3 - O H_4$ 

Potentiel (par rapport à l'électrode à hydrogène en mV) Ag/AgC1-KC1 saturé; pour connaître la valeur par rapport à celle à hydrogène, il suffit d'ajouter 200mV. Quant aux courbes cinétiques obtenues dans chacun des cas, elle sont tracées sur la figure 35. Les teneurs respectives en ions cuivreux sont dosées à l'aide d'une solution 0,1N de sulfate cérique par potentiomètrie à courant imposé.

Pour les mesures de potentiel, l'électrode de référence Ag/AgCl-KCl saturé est étalonnée à l'aide d'une solution à 1 % de phtalate de potassium et quinhydrone qui a un potentiel bien défini de 462 mV par rapport à l'électrode à hydrogène.

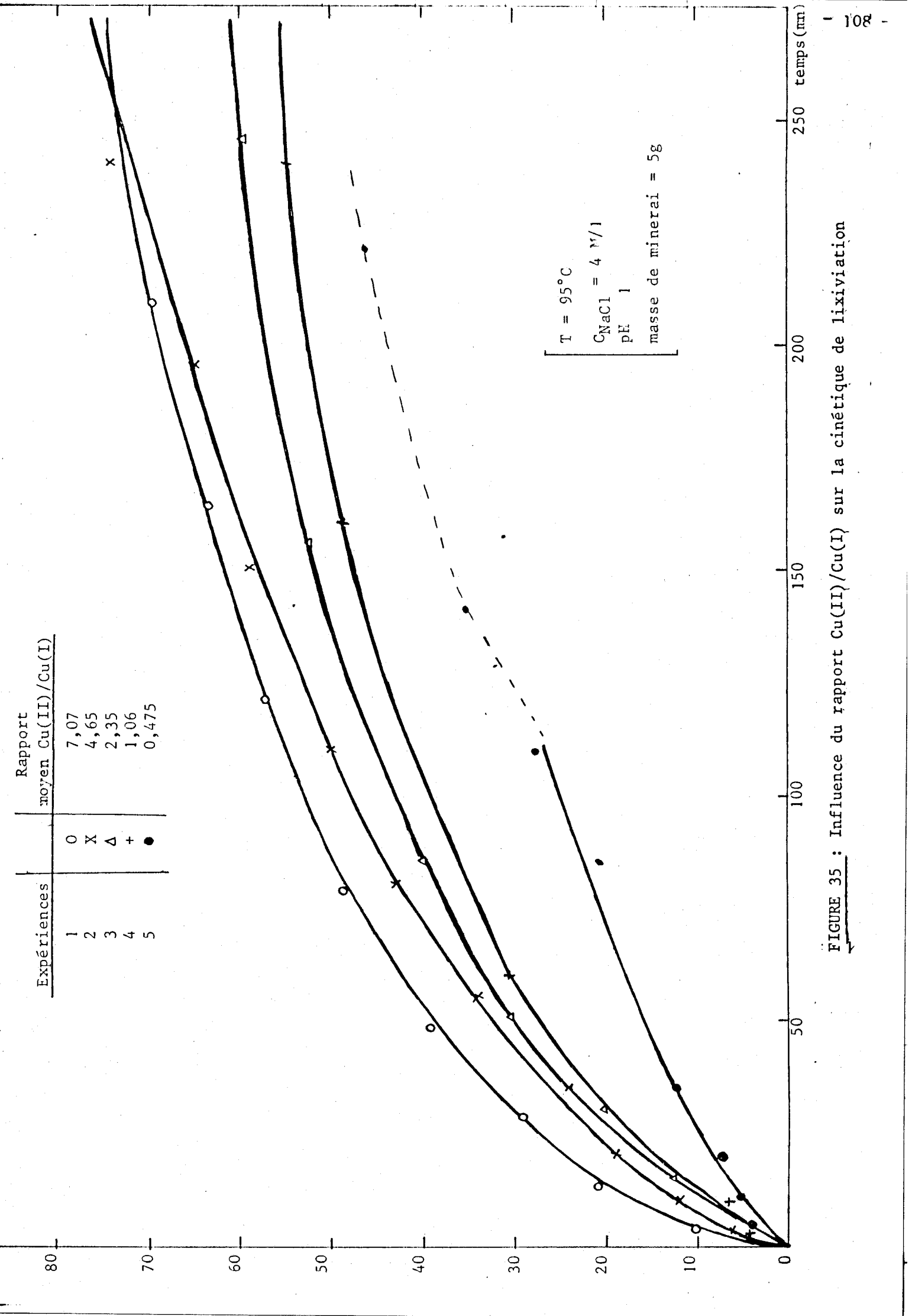
### Conditions expérimentales

			<u> </u>		
Cu <sup>2+</sup>   initial	0,2 M/1	0,5 M/1	· 0,5 M/1	0,5 M/1	0,5 M/1
Cu <sup>+</sup>   initial	0,4 M/1	0,5 M/1	0,2 M/1	0,1 M/1	0,05M/1
Intervalle de potentiel (mesure à 20°0	560±4 mV	586±3 mV	603±5 mV	632 ±4 mV	633±10 mV
Potentiel moyen	559,5 mV	586mV	601 mV	632,5 mV	636,5 mV
(ox/red) initial	0,5	1,0	2,5	5	10
(ox/red)final	0,45	1,13	2,2	4,35	5
(ox/red)moyen	0,475	1,06	2 <b>,</b> 35	4,65	7,07

Si l'on assimile l'activîté des espèces à leur concentration, le potentiel est, à une concentration fixée en chlorure, une fonction linéaire de log  $\left|\frac{Cu(II)}{Cu(I)}\right|$ : E = E<sub>o</sub> + 58 log  $\left|\frac{Cu(II)}{Cu(I)}\right|$  à 20°C (en mV)

Or la pseudo-constante cinétique est fonction du potentiel suivant la loi : log k = A.E - B

Par suite,  $\log k = A (E_o + 58 \log \frac{Cu(II)}{Cu(I)}) - B$ , où  $E_o$  est le potentiel redox normal du couple  $Cu^{2+}/Cu^{+}$  en milieu NaCl-4M.Il faut préciser que, selon ce raisonnement, les variations relatives de potentiel en fonction du rapport  $\frac{Cu(II)}{Cu(I)}$  à la température de la réaction (95°C) et à 20°C doivent être sensiblement identiques.



Si k était une fonction linéaire du rapport  $\frac{|Cu(II)|}{|Cu(I)|}$ , le terme A devrait être égal à  $\frac{1}{58}$ . Or pour les divers modèles, la valeur trouvée est nettement différente : k est donc une fonction linéaire de  $\frac{|Cu(II)|^u}{|Cu(I)|}$ , avec  $u = 58 \, \text{A}$ .

Suivant les modèles, une relation linéaire entre logk et E représente plus ou moins bien les résultats observés ; quant à la valeur de u qui en découle, elle varie également

modèle H <sub>1</sub>	modèle H <sub>2</sub>	modèle H <sub>3</sub> .	modèle H <sub>4</sub>
$\log K : 0,27 \cdot 10^{-2} = 4,10$	: :0,99 10 E-7,55	: 0,87 10 <sup>-2</sup> E-7,15	0,92 10 E=6,00
coeffici- ent de cor- 0,684 rélation:	: : 0,940	0,930	0,933
u :	0,57(4)	0,50(5)	0,53(4)

A partir du tableau ci-dessus, il apparaît, daprès les valeurs des coefficients de corrélation, que pour les modèles de diffusion (H<sub>2</sub>, H<sub>3</sub>, H<sub>4</sub>), une fonction linéaire représente bien les variations de log k en fonction du potentiel dans le domaine étudié, ce qui n'est pas le cas pour le modèle de dissolution H<sub>1</sub> qui donne un coefficient de corrélation bien inférieur à un, et donc, des points dispersés de façon très aléatoire.

Pour les modèles de diffusion, la valeur de u trouvée est très proche de  $\frac{1}{2}$ . BECKSTEAD et MILLER (138) ont proposé, dans le cas de la lixiviation de la chalcopyrite par l'oxygène en milieu ammoniacal, un mécanisme électrochimique qui conduit à une expression de la vitesse en fonction de plusieurs paramètres à la puissance  $\frac{1}{2}$ :

$$\frac{d\alpha}{dt} = \text{Cste. (OH}^{-})^{1/2} \frac{(K_1^{Po}_2)}{1 + K_2^{Po}_2} (K_1 + K_2^{Cu})^{1/2} + (1 - \alpha)^{2/3}$$

Cette valeur  $\frac{1}{2}$  trouvée pour u pourrait donc être expliquée à l'aide d'une modèlisation purement électrochimique de la réaction.

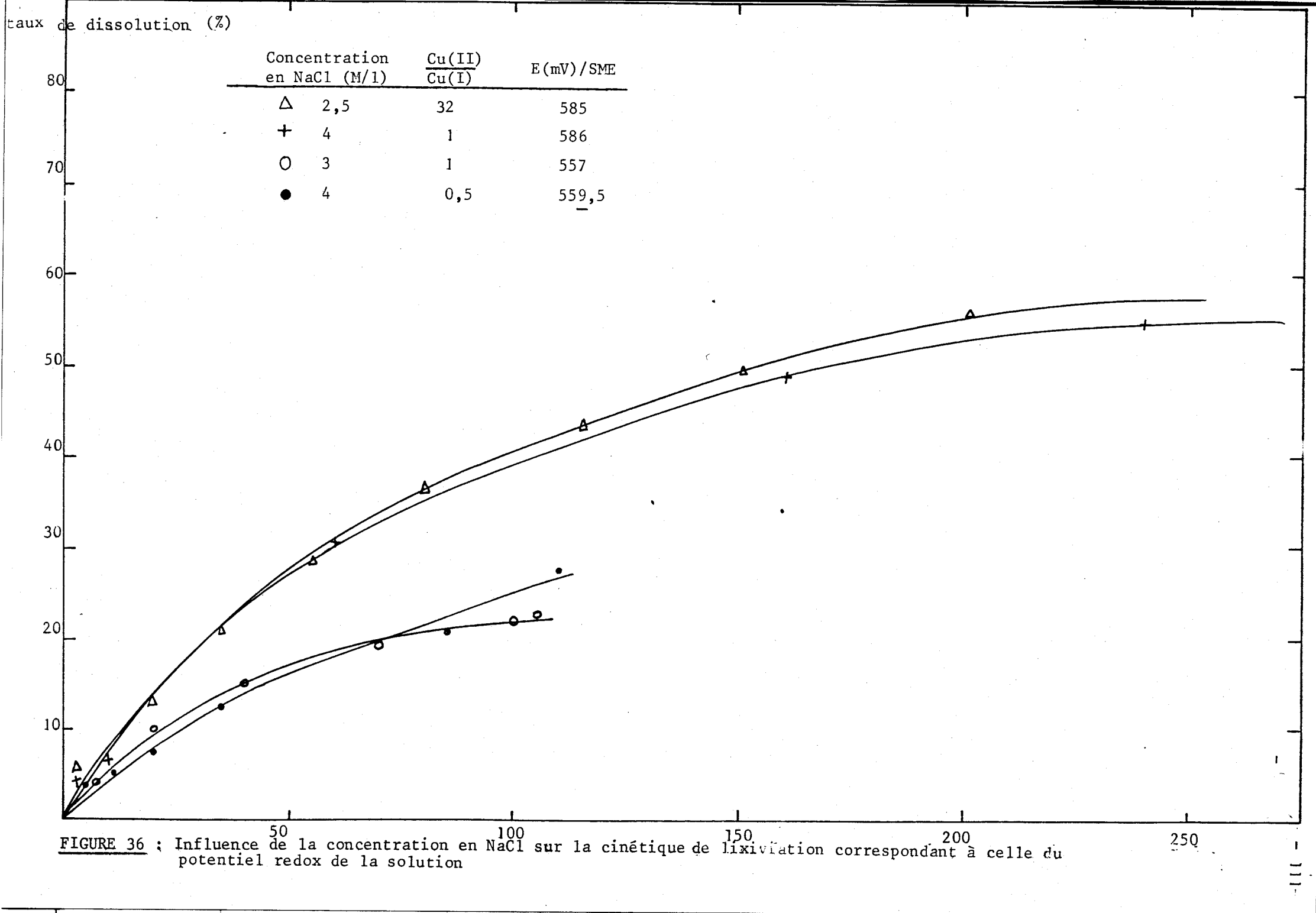
# β) <u>Influence de la concentration en chlorure de la solution</u> <u>sur la cinétique de lixiviation</u>

La plupart des auteurs soulignant l'intérêt de l'addition d'ions chlorures dans divers milieux : dans le cas de l'acide sulfurique dilué pour la lixiviation in situ (29, 139, 140) et dans celui du sulfate ferrique (55), où MONOZ-RIBADENEIRA . et GOMBERG (139) et CONDE
(55) ont observé que la constante cinétique était proportionnelle à  $|C1^{-1/3}|^{1/3}$  . Cette addition modifie, selon DUTRIZAC et MAC DONALD (141),
la nature du blocage cinétique : la courbe d'allure parabolique en
l'absence de chlorure de sodium devient linéaire en présence d'une
concentration de 0,1 M/1 de NaCl. Par contre, dans le cas de l'électrooxydation (génération électrochimique de chlore à partir de solutions de chlorure ), il est apparu que la concentration en chlorure
n'avait qu'une faible influence sur·la cinétique d'attaque (142)

Les résultats observés dans le présent travail font apparaître que la cinétique de lixiviation croît avec la concentration en chlorure, que la source des ions chlorures soit NaCl (fig. 36) ou CaCl<sub>2</sub> (fig36bis). De plus, la figure 36 montre que, pour des valeurs différentes du rapport Cu(II) et de la concentration en chlorure correspondant approximativement au même potentiel redox de la solution de lixiviation, des cinétiques très proches sont observées. Ceci prouverait que, pour le milieu Cu(II)-Cu(I), l'accroissement de cinétique dû à l'introduction d'ions chlorures correspond à l'élévation du potentiel ainsi occasionné. La comparaison entre NaCl et CaCl<sub>2</sub> comme sources d'ions chlorures s'est avérée délicate, dans la mesure où le comportement de ces solutions diffère en fonction de la température: la variation de potentiel des solutions chargées de CaCl<sub>2</sub> est plus faible que celle des solutions de NaCl quand on enlève la température.

Dans le cadre de l'étude de plusieurs procédés, une comparaison a été effectuée entre plusieurs sources d'ions chlorures possibles :

- KUNDA et Co1 (104) concluent, après avoir utilisé NH<sub>4</sub>Cl, AlCl<sub>3</sub>, MgCl<sub>2</sub>, CaCl<sub>2</sub> et NaCl, que la cinétique de lixiviation en milieu CuCl<sub>2</sub> sous pression d'oxygène est une fonction croissante de la concentration en chlorure quelle qu'en soit la source et qu'un accroissement du taux



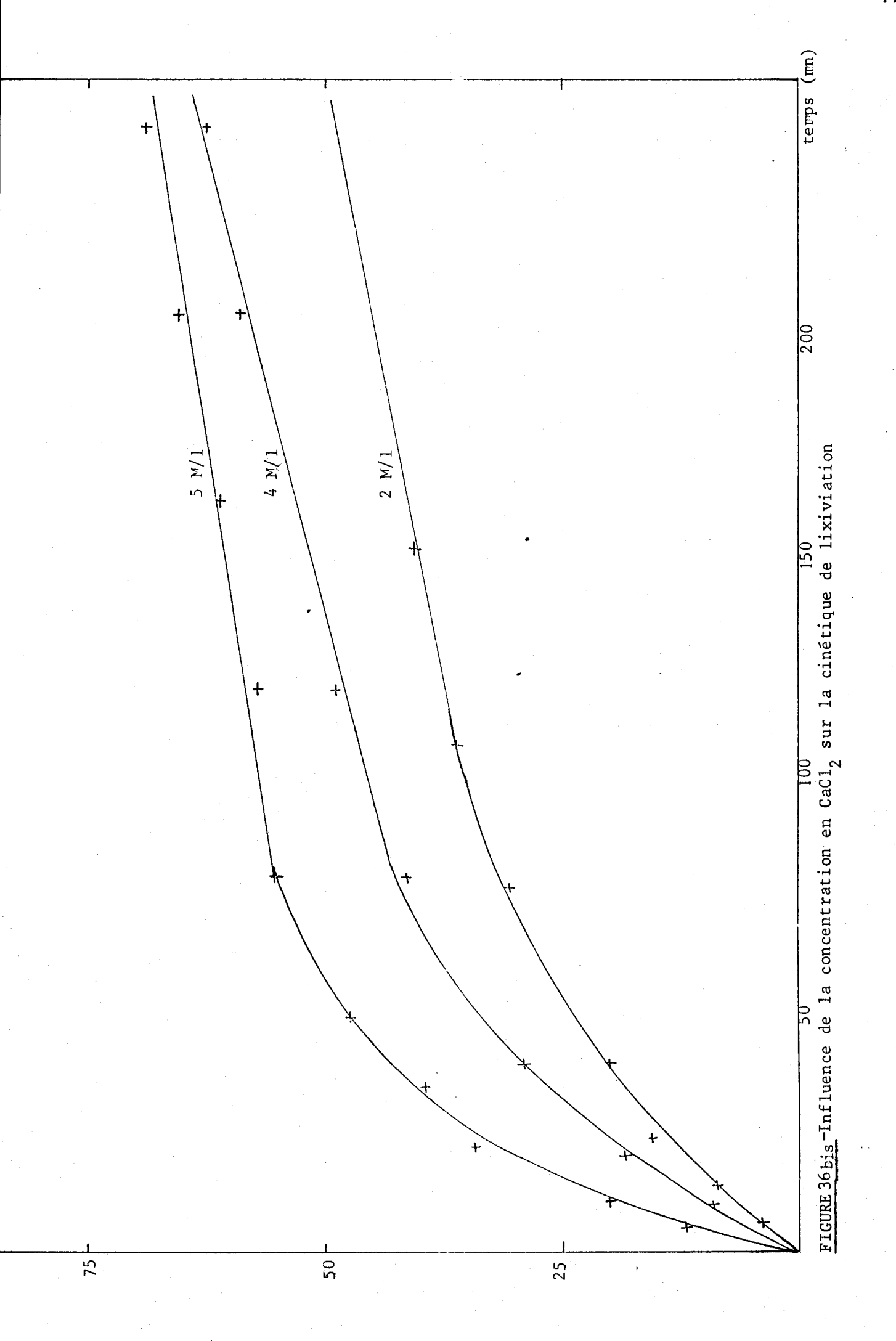
de dissolution du cuivre se fait aux dépens de la sélectivité d'oxydation du sulfure en soufre plutôt qu'en sulfate.

- Dans le cadre du procédé DU PONT DE NEMOURS (100), l'utilisation de NH<sub>4</sub>Cl est proposée dans la mesure où elle permet d'atteindre des concentrations de l'ordre de 6 à 7 moles en ions chlorures.
  - La source d'ions chlorures préconisée dans le procédé CLEAR de la société DUVAL a varié ; tout d'abord (110), le milieu proposé fut NaCl(4 M/1) FeCl $_2$ (2,2 M/1), puis, dans la version la plus récente du procédé (112), l'utilisation de KCl (~10 M/1) a été préférée dans la mesure où elle permet de sortir de la prémière étape de lixiviation des solutions dont le rapport  $\frac{\text{Cu}}{\text{Cu}}$  est plus élevé que précédemment, de l'ordre de 99 %, et qu'il ne sera par suite pratiquement pas nécessaire de réduire avant l'étape d'électrolyse.

#### c) Conclusion

Les résultats observés ont montré la relation étroite pouvant exister entre la thermodynamique et la cinétique par le biais du potentiel redox des solutions de lixiviation. Ce potentiel est donc apparu comme étant à la fois fonction du rapport  $\frac{Cu(II)}{Cu(I)}$  et de la concentration en ions chlorures. La quantification de l'influence de celle-ci sur le potentiel redox des solutions de cuivre et, par suite, sur la cinétique de lixiviation n'a pas été possible. Un progrès sur ce sujet ainsi que sur l'explication de la différence des résultats observés suivant la source d'ions chlorures pourra certainement être obtenu à l'aide de la connaissance des coefficients d'activité des diverses espèces présentes dans ces milieux complexes.

L'optimum recherché dans le cadre d'un procédé n'est pas forcément le taux de dissolution maximal du minéral dans la mesure où la composition de la solution est également fondamentale pour d'autres étapes du procédé (extraction liquide-liquide, précipitation d'impuretés comme dans le procédé CLEAR (112), ...) De plus, dans bien des milieux, le taux d'extraction du cuivre et la formation de sulfate, qu'il est ensuite nécessaire d'éliminer, augmentent conjointement :



l'optimisation entre contraintes opposées sur la composition des solutions à utiliser, au niveau d'une même étape ou d'étapes différentes d'un procédé, s'avère donc indispensable.

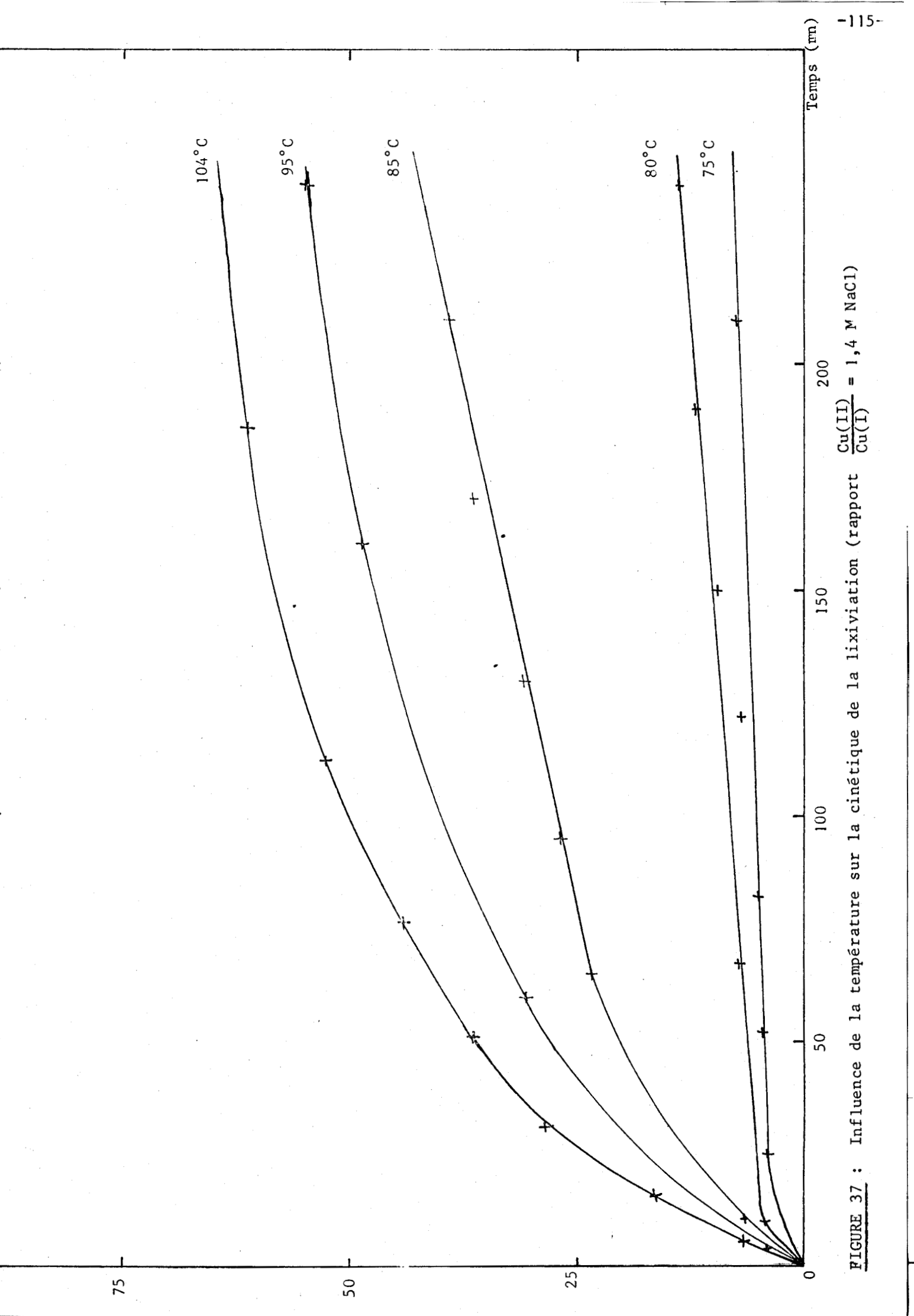
## VI - INFLUENCE DE CERTAINS PARAMETRES ET DISCUSSION DE LA MODELISATION PROPOSEE

#### A. <u>Influence</u> de certains paramètres

#### a) Température :

L'accroissement de la température joue généralement un rôle favorable sur la cinétique de lixiviation. Toutefois, suivant le type de limitation de la réaction , la constante, de vîtesse varie différemment en fonction de la température : ainsi pour les réactions limitées par la diffusion en phase liquide, la constante de diffusion est proportionnelle à la température (équation de STOKES-EINSTEIN : aD =  $\frac{RT}{N} = \frac{1}{2\pi r\eta}$ ), alors que, pour les réactions limitées chimiquement, c'est la loi d'ARRHEMIUSS qui s'applique: k = B e  $^{-E/RT}$ 

Les résultats obtenus dans les milieux étudiés varient d'un auteur à l'autre, aussi bien en ce qui concerne le mécanisme limitatif de la cinétique que la valeur de l'énergie d'activation ; toutefois, celle-ci a été calculée dans tous les cas à l'aide de la loi d'ARRHENIUS, à laquelle la réaction de la lixiviation de la chalcopyrite obéit donc généralement. Quant aux divergences observées, elles pourraient certes s'expliquer par la diversité des milieux étudiés, mais pour un même milieu, les auteurs proposent des mécanismes limitatifs et des valeurs de l'énergie d'activation de la réaction souvent contradictoires. Parmi les milieux étudiés, celui qui apparaît le plus proche du chlorure cuivrique est le chlorure ferrique dans la mesure où, le soufre du sulfure s'y retrouve également à l'état élémentaire. Les phénomènes limitatifs proposés y sont, d'une part la diffusion à travers le soufre formé et d'autre part, la réaction chimique des ions ferriques sur la chalcopyrite; quant à la valeur de l'énergie d'activation, elle varie de 12,3 à 22 kcal/mole selon les auteurs.



Dans le présent travail, l'essentiel de l'étude a porté sur l'influence de la température sur la cinétique de lixiviation à une valeur de potentiel bien fixée, en l'occurence pour un rapport  $\frac{Cu(II)}{Cu(I)}$  égal à un et une concentration de 4 M/l en NaCl (fig. 37) . Les résultats obtenus ont prouvé qu'il y avait deux domaines de température, où la loi d'ARRHENIUS s'appliquait mais àvec des énergies d'activation bien différentes (fig. 38).

Modèles	H <sub>1</sub>	H <sub>2</sub>	H <sub>3</sub>	<sup>H</sup> 4
Energie d'activation dans le domainne 85-104°C (kcal/mole)		21,1	16,8	19,5
Energie d'activation dans le domainne 75-85°C (kcal/mole)	51,9			

Pour ce qui est du domaine des températures supérieures à 85°C, les modèles de diffusion conviennent mieux d'après ce qui a été vu dans le chapitre IV : l'énergie d'activation moyenne trouvée selon les trois modèles de diffusion proposés est de 19,1  $\pm$  2,2 kcal/mole. Toutefois, cette énergie d'activation est fonction du potentiel de la solution : elle diminue quand celui-ci augmente, ainsi, pour un rapport  $\frac{\text{Cu(II)}}{\text{Cu(I)}}$  egal à un et une concentration de 4 M/l en NaCl, est de 11,6 $\pm$  1,1 kcal/mole.

Par contre, à température inférieure à 85°C, aucun des modèles proposés n'est satisfaisant et l'énergie d'activation très élevée trouvée dans le cadre du modèle de dissolution fait penser que le mécanisme de la réaction est différent de celui à haute température. THOMAS et INGRAHAM (41), dans le cas de la lixiviation de la covellite, ainsi que DUTRIZAC et col (43) dans celui de la bornite, tous deux en milieu sulfate ferrique, ont également observé un changement de mécanisme lorsque la température s'élevait (tableau 1): l'énergie d'activation du processus limitatif à température élevée est dans tous les cas plus faible que celle du processus limitatif à plus basse température. BRITTAN (143) propose un modèle pour l'énergie d'activation de réactions de lixiviation, selon lequel celle-ci diminue lorsque le taux d'avancement de la réaction progresse, mais les résultats observés dans le présent travail ne sont pas cohérents avec une telle idée.

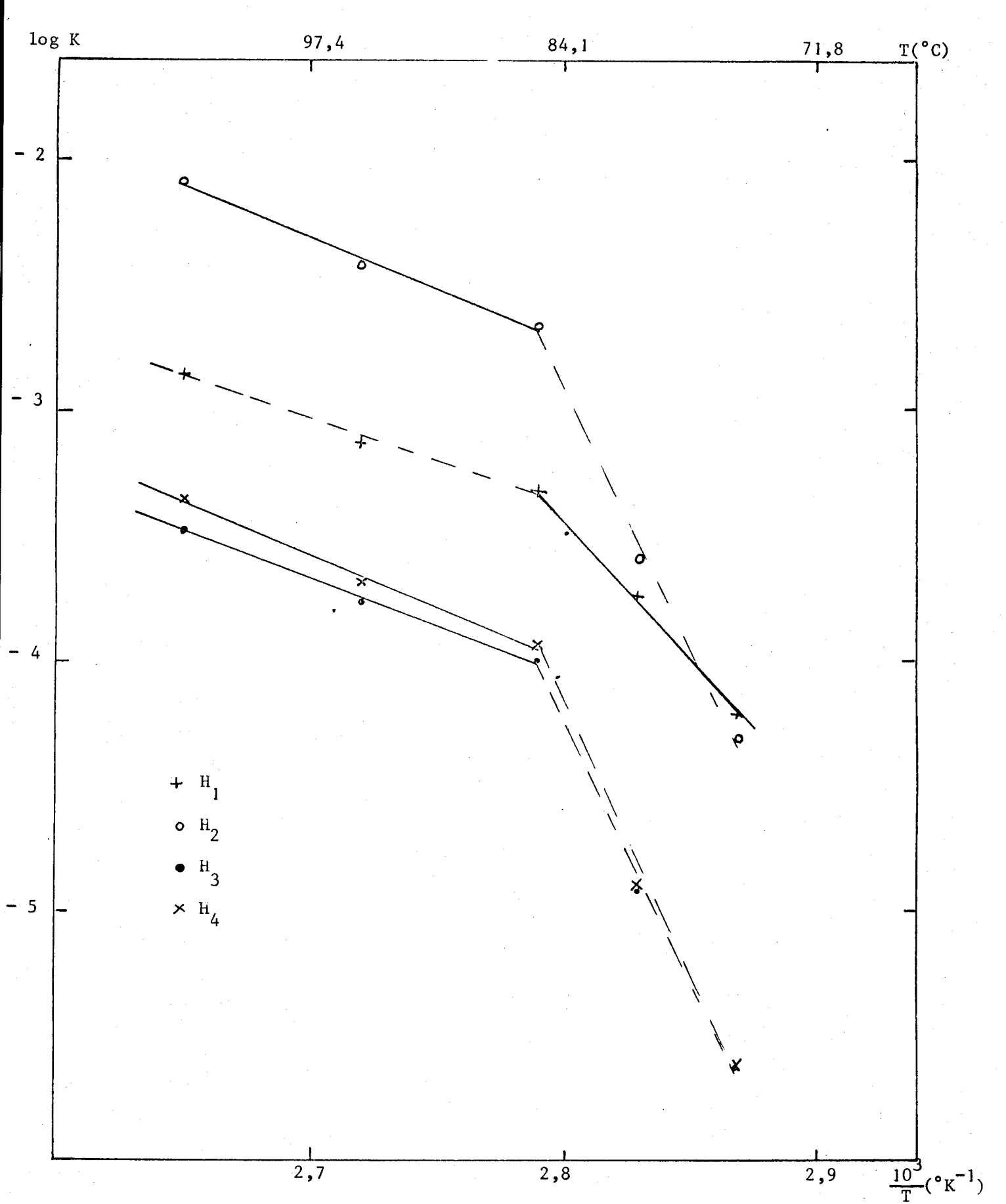


FIGURE 38 - Influence de la température sur l'énergie d'activation de la réaction de lixiviation en milieu  $\frac{Cu(II)}{Cu(I)} = 1 - 4 \text{ M NaCl}$ 

AMMOU-CHOKROUM (144), qui a travaillé entre 25 et 75°C en milieu FeCl<sub>3</sub> sur des pastilles cylindriques de chalcopyrite synthétique obtenues par compression, apporte une réponse à ce probleme. Il a trouvé que trois réactions principales se déroulaient lors de la lixiviation :

- une réaction d'absorption de Fe<sup>3+</sup> sur la chalcopyrite de courte durée.
- une diffusion du cuivre à l'état solide dans la charpente sulfurée.
- la dissolution du ou des sulfures cuprifères résultant de cette diffusion.

Or la troisième étape qui donne, pour les pastilles cylindriques, une cinétique de lixiviation porportionnelle au temps, n'apparaît pas à température supérieure à 65°C: ceci signifierait que, la réaction est alors essentiellement limitée par la diffusion en phase solide, comme le prouvent les résultats du présent travail, alors que, à plus basse température, la mécanisme est bien plus complexe étant donné que plusieurs étapes limitatives apparaîtraient selon le degré d'avancement de la réaction. Cela expliquerait donc les valeurs anormalement élevées trouvées pour l'énergie d'activation, aux températures inférieures à 85°C.

L'influence de la température apparaît donc fondamentale : elle n'est pas simple mais il est possible de dire, à la vue des résultats observés, qu'il paraît exclu de travailler industriellement à température inférieure à 85°C car les cinétiques sont alors trop lentes. De plus, la diversité des résultats observés concernant la valeur de l'énergie d'activation s'explique certainement par la variété des mécanismes mis en jeu suivant la nature de l'oxydant utilisé, mais également par la valeur du potentiel redox des solutions utilisées et, par suite, de la réaction.

#### b) Granulométrie

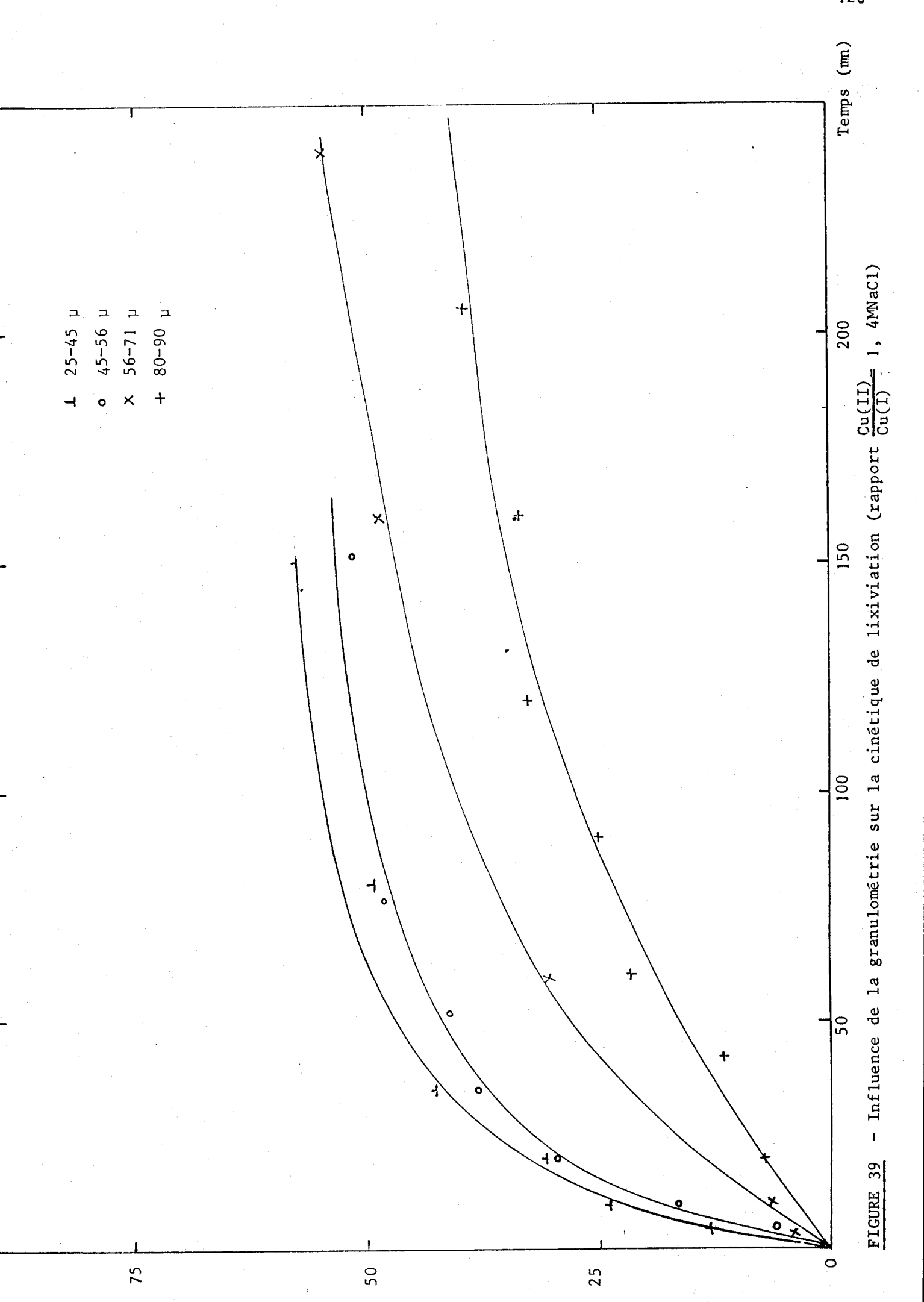
Les modèles de diffusion laissent prévoir que les constantes cinétiques sont inversement proportionnelles au carré de la granulométrie.

Du point de vue pratique, il parait difficile d'assimiler les particules de minerai à des sphères, et, même sans cela, les tranches granulométriques sont relativement étendues, ce qui rend délicat le calcul d'un granulométrie moyenne : toutefois, l'approximation consistant à prendre comme granulométrie moyenne, la moyenne arithmétique des granulométries extrêmes  $\mathbf{r}_1$  et  $\mathbf{r}_2$  est généralement utilisée par les divers auteurs et est peu éloignée de la valeur exacte obtenue par intégration

Les résultats observés (fig. 39 et 40) prouvent que dans le domaine 45-90 $\mu$ , les constantes de vitesse calculées suivant les trois modèles de diffusion sont assez bien représentées par une fonction linéaire de l'inverse de la granulométrie : un calcul de régression linéaire du logarithme de la constante de vitesse en fonction du logarithme de la granulométrie moyenne a en fait donné une relation linéaire liant la constante de vitesse à  $(\frac{r_1+r_2}{2})^{-1}$ , 78 dans le cadre du modèle de VALENSI. L'écart observé n'est pas étonnant dans la mesure où il est difficile d'assimiler les particules de minerai à des sphères.

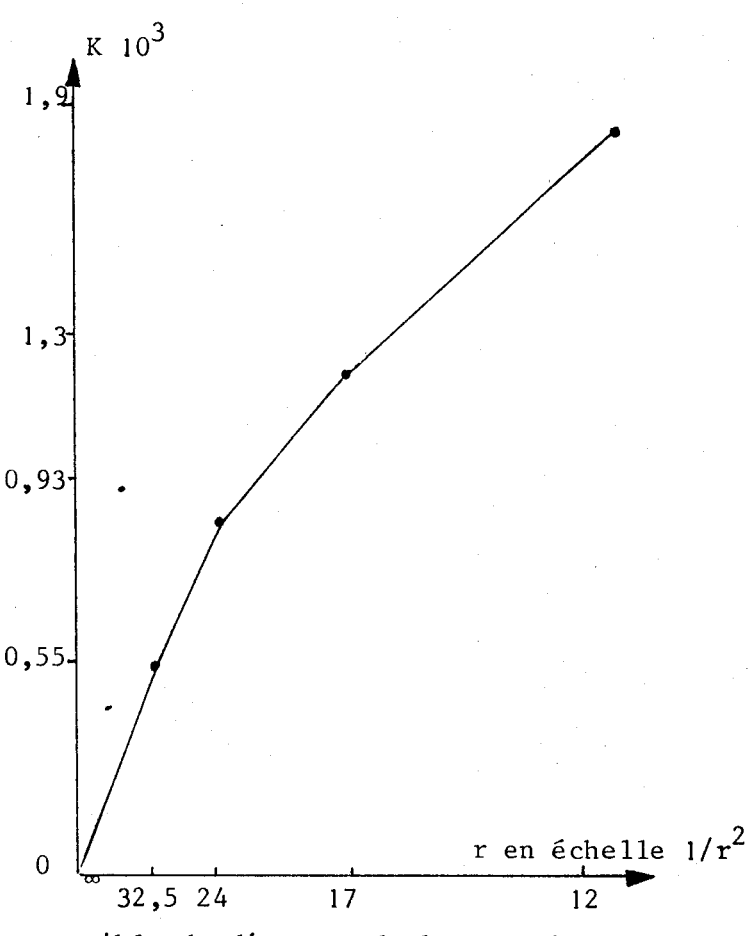
D'autre part, sur la figure 40, on observe que, pour la tranche 25-45µ, la cinétique est certes accrue par rapport à celle observée avec les tranches granulométriques plus grossières mais que l'accroissement est nettement plus faible que celui attendu. Cela peut s'expliquer, d'une part, par le fait que la tranche 25-45µ est relativement plus large que les autres (le rapport des granulométries extrêmes est en effet nettement supérieur à celui observé dans les autres cas) et d'autre part, dans ce cas, une partie non négligeable du minerai introduit initialement avait tendance à flotter au-dessus de la solution en fin de réaction.

JCNES (56) qui se plaçait dans l'hypothèse d'une cinétique proportionnelle à la surface du minerai exposée (la constante est



alors inversement proportionnelle à la granulométrie moyenne) a observé que, pour les faibles granulométries, l'hypothèse proposée ne s'applique pas et-pense que, pour expliquer l'augmentation de la cinétique inférieure à celle attendue pour les faibles granulométries, il faut faire intervenir un coefficient de rugosité.

Quant à CONDE (55) qui a opéré sur des tranches granulométriques comprises entre 37 et 10 µ, il obserbe également que la pente de la courbe représentative diminue pour les faibles granulométries (courbe cicontre). Il apparaît donc qu'il se pose un problème important de génie chimique pour les fines particules de minerai.



En conclusion, il est possible de dire que le broyage à une granulométrie fine favorise la cinétique de la lixiviation, mais dans une proportion moindre que le laissaient prévoir les divers modèles.

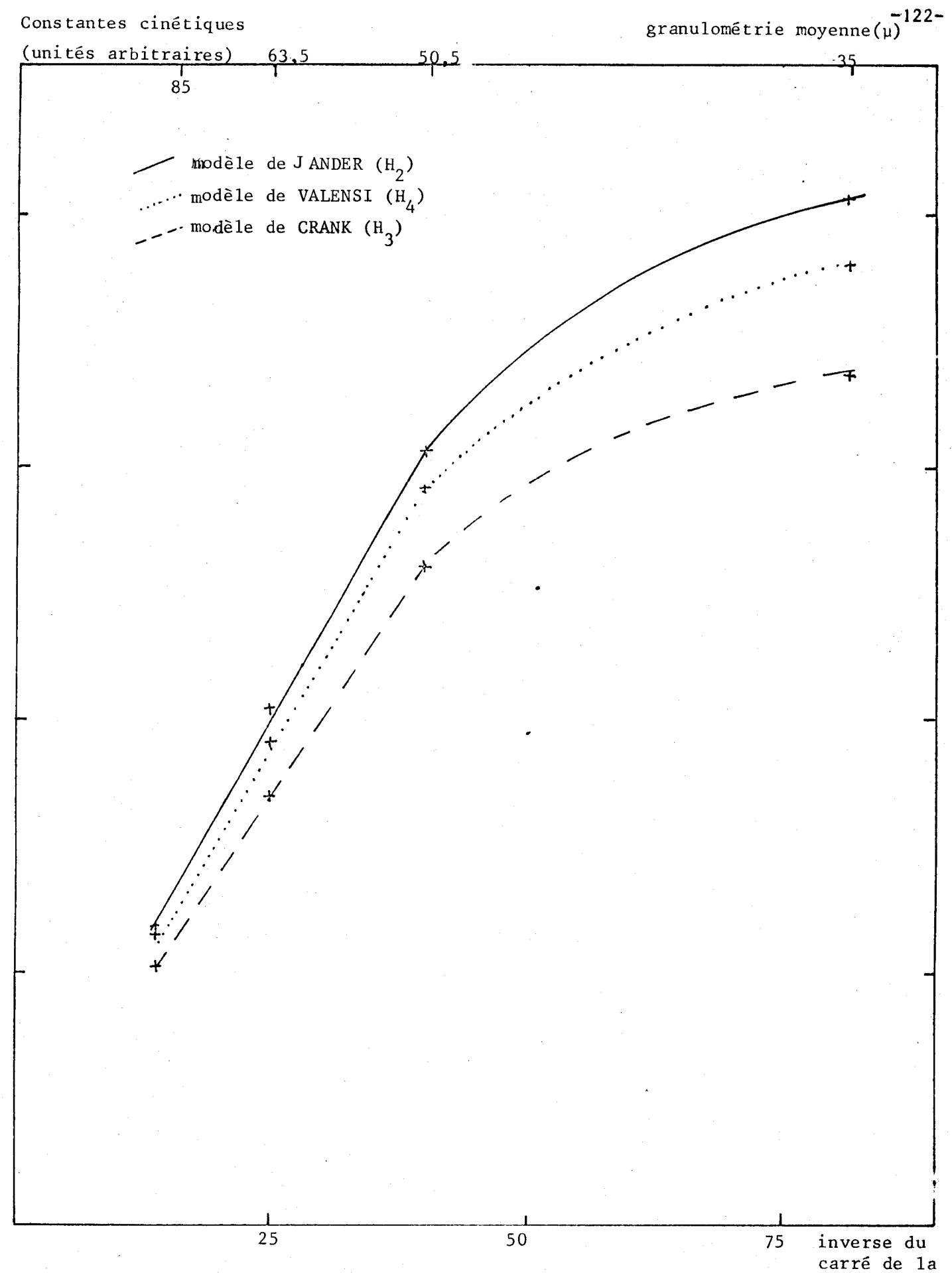


FIGURE 40 - Relation entre les constantes cinétiques de diffusion et le carré de la granulométrie moyenne.

inverse du carré de la granulométrie (mm<sup>-2</sup>) B. <u>Discussion de la modèlisation proposée</u>: observation de la phase solide.

#### a) Observation de la phase solide

Les méthodes utilisées dans ce travail ont été essentiellement les suivantes : l'observation au microscope de micrographies de minerai, l'analyse des spectres de diffraction X, la microscopie à balayage éelctronique ainsi que la microsonde de CASTAING.

La première méthode a été essentiellement utilisée pour l'observation du minerai attaqué : la chalcopyrite, qui apparaît de couleur jaune-orangé, est facile à distinguer de la pyrite de teinte jaune tirant sur le blanc ; les autres sulfures de cuivre présents sont de couleur bleuâtre et la silice résiduelle, grisâtre (photos 20) Il est ainsi apparu que pyrite et chalcopyrite n'étaient généralement pas présentes conjointement dans de mêmes grains de minerai, ce qui permet d'exclure l'hypothèse de l'existence de mixtes minéralogiques qui se comportent, selon AMMOU-CHOKROUM (50), comme des piles galvaniques. Les diagrammes de diffraction X ont été obtenus à l'aide d'un montage Seemann-Bohlin par transmission et d'un générateur C.C.R. de type Cristallobloc 31 (conditions opératoires : V=40kV, I=12mA, anticathode de cobalt). L'analyse des diagrammes à l'aide de l'ouvrage du J.C.O.D.S. pour les minéraux (145) a permis d'observer 1'évolution de la phase solide au cours des manipulations : l'intensité des raies correspondant à la chalcopyrite décroît, alors que celle des raies correspondant au soufre croît au fur et à mesure que la réaction progresse; les raies caractéristiques de la pyrite sont toujours présentes et gagnent même en intensité en fin de réaction, attestant ainsi que la pyrite n'est pas attaquée, comme l'indique PETERS (146) en milieu chlorure ferrique. D'autre part, l'apparition de sulfures de cuivres tels que la covellite CuS est contestée. DE LA CUADRA et col (147) en ont observé la formation intermédiaire dans le cas de la lixiviation du cinabre (HgS) par des solutions de chlorure cuivrique suivant la réaction : HgS + CuCl<sub>2</sub> + 2Cl = CuS + HgCl<sub>4</sub>; JONES (56) a également mis en évidence une telle formation par oxydation anodique de la chalcopyrite à haute température sous pression. Toutefois, malgré

#### PHOTOS 41:

Observation à la microsonde d'un grain de minerai partiellement recouvert de soufre

(% attaque  $\sim$  60%)

Conditions de lixiviation:

- température : 85°C

 $-\frac{Cu(II)}{Cu(I)} = 2,5 ; 4M NaC1$ 

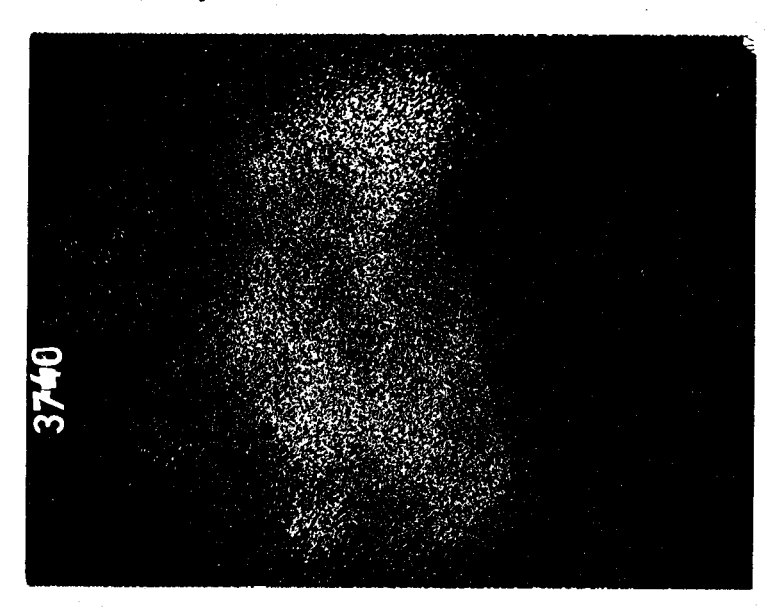
- granulométrie : 56-71<sub>4</sub>

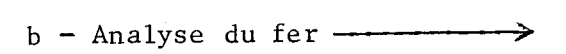
- durée : 260 mn

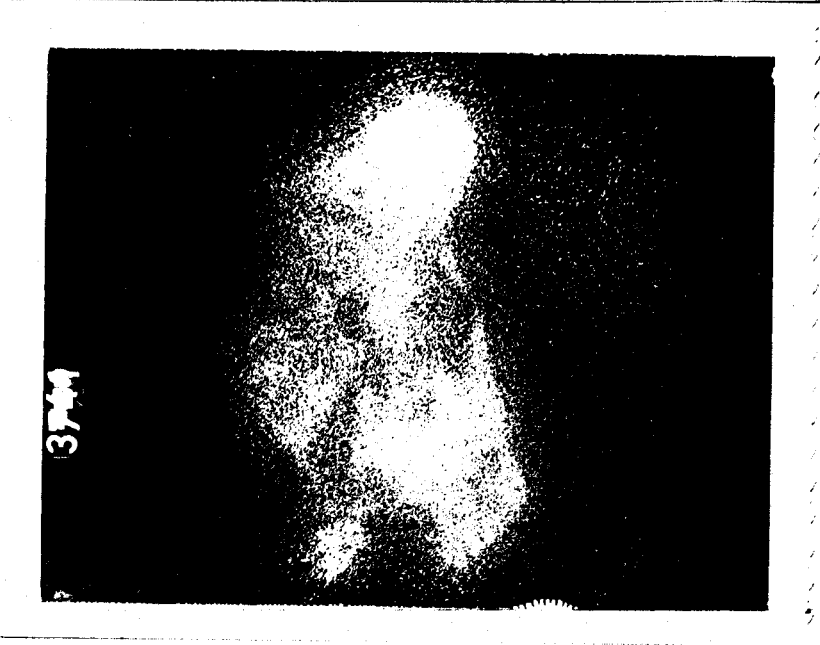
- Grossissement: 600

a - Photo électronique -----









c - Analyse du soufre

ces observations et celle de STANCZYX et RAMPACEK (23) dans le cas la lixiviation sulfurique de la chalcopyrite sous pression d'oxygène, PETERS (146) conclut que la réaction CuFeS<sub>2</sub> + 20x -> Fe<sup>2+</sup> + 2Red + CuS + S° ne se produit pas dans les conditions classiques de lixiviation. Les spectres de diffraction obtenus dans le présent travail n'ont également pas permis de déceler une telle formation, ce qui n'est pas étonnant dans la mesure où la lixiviation de la covellite est plus aisée que celle de la chalcopyrite. La microscopie à balayage électronique et l'analyse par microsonde ont été mises en oeuvre au Centre des Matériaux de l'Ecole des Mines de Paris. Le microscope utilisé et du type Cambridge MK2 : la tension accélératrice des électrons est de 20 kV et les électrons analysés sont des électrons secondaires En ce qui concerne la microsonde, le modèle employé est un appareil Caméca-Canebax à spectrométre incliné équipé de cristaux détecteurs en Li F (pour l'analyse de Cu et Fe) est pentaerithrytol (pour l'analyse du soufre). Ces méthodes ont permis de confirmer certains mécanismes et d'un observer d'autres intéressants:

- le dépôt de soufre sur les grains de minerai apparaît clairement par analyse à la microsonde (photos41 et 42) confirmant ainsi que c'est la réaction de lixiviation menant à la formation de soufre élémentaire qui est favorisée du point de vue cinétique :  $\operatorname{Cu} \operatorname{FeS}_2 + \operatorname{3Cu}(\operatorname{II}) \longrightarrow \operatorname{4Cu}(\operatorname{I}) + \operatorname{Fe} \left(\operatorname{II}\right) + \operatorname{2S}^\circ.$
- le recouvrement progressif de la surface des grains de chalcopyrite par le soufre formé est particulièrement net lorsque l'on compare les analyses du soufre et des espèces métalliques suivant le degré d'avancement de la réaction (photos 41 et 42).
- -la microscopie à balayage électronique à très fort grossissement a montré que le soufre formé avait en certains endroits une texture très poreuse (photo 43 b) et en d'autres une texture beaucoup plus \_\_compacte (photo 43 a)
- la taille des grains en fin de réaction apparaît très supérieure à leur taille initiale (photo 42a) : cela est dû à l'agglomération des grains recouverts de soufre, déjà observée par TSEFT et TARTARInova (148), qui pensent que le phénomène se déroule après la lixiviation, au niveau de la décantation ou de la foltration.

#### PHOTOS 42:

Observation à la microsonde de minerai totalement recouvert de soufre (attaque totale)

Conditions de lixiviation :

- température : 104°C

 $-\frac{Cu(II)}{Cu(I)} = 1 ; 4M NaC1$ 

- granulométrie : 56-71μ

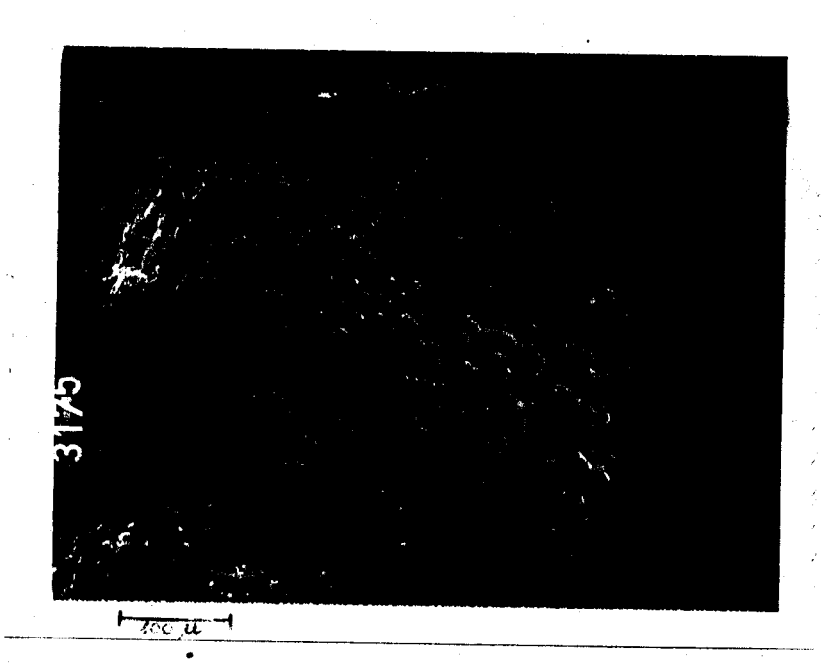
- durée : 23 h

- Grossissement: 150

Métallisation par dépôt de

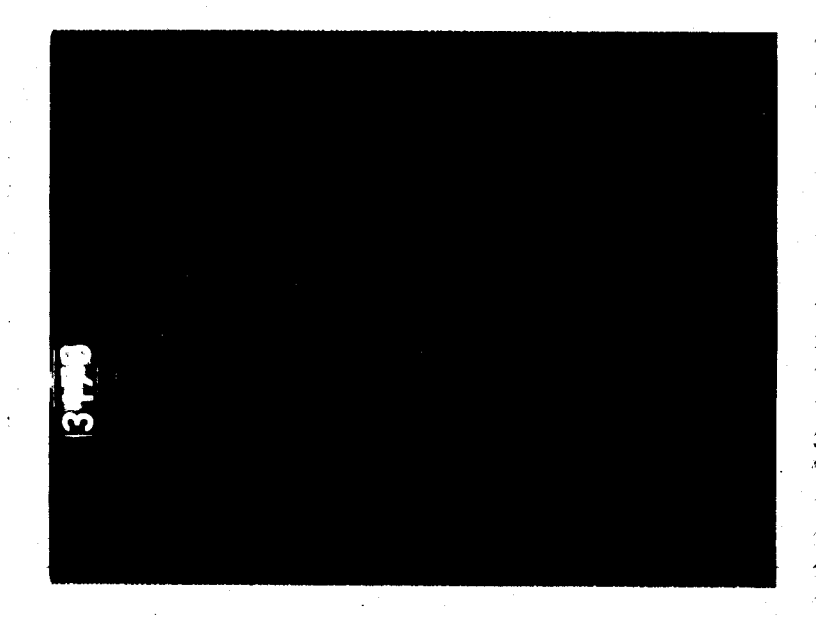
carbone

a - Photo électronique -----





b - Analyse du soufre



c - Analyse du cuivre et du fer ----- Enfin, la mesure de surface spécifique à l'aide d'un appareil B.E.T. a démontré que la surface spécifique des grains de chalcopyrite reste très faible après leur lixiviation.

### b) Manipulation complémentaires et discussion de la modélisation proposée :

Les deux aspects qu'il a paru intéressant d'essayer de préciser par des manipulaitons particulières sont, d'une part, la nature de la phase solide responsable de la limitation de la cinétique et, d'autre part, la confirmation du rôle du potentiel.

Dans la partie IV, il est apparu que les divers modèles de diffusion proposés étaient sensiblement équivalents : il n'est donc pas possible d'en tirer de conclusion déterminante quant à la nature de la phase solide à travers laquelle les espèces diffusent. Plusieurs auteurs ont très récemment proposé l'idée selon laquelle il se formait des phases non stoechiométriques, suivant en cela l'observation de BURKIN (68, par. IBa) dans le cas de la lixiviation chalcopyrite par le sulfate ferrique : AMMOU-CHOKROUM (144) explique ainsi la troisième phase de la cinétique observée en milieu ferrique à température inférieure à 60°C. Celui-ci est d'accord avec LUNGE (149) pour dire que le solide à travers lequel la diffusion se produit n'est pas du soufre, dans la mesure où célui-ci est poreux et que l'énergie d'activation observée est nettement supérieure aux énergies d'activation de réactions limitées par la diffusion en phase liquide. En effet, LUNGE, qui a opéré à potentiel régulé en milieu Fe(NO2)2-Fe(NO<sub>3</sub>), entre 20 et 40°C, a observé, après une phase initiale de cinétique très rapide pendant les premières minutes, une cinétique de type parabolique laissant supposer une limitation par la diffusion des espèces en phase solide : celle-ci se produirait à travers des phases non-stoechiométriques, comportant des trous d'électrons et des ions H<sup>+</sup> interstitiels, du type  $Cu_{1-x}$   $Fe_{1-2x}$   $b_{3x}$   $H_{2x}$   $S_{2}$  (où les h<sup>+</sup> sont des trous d'électrons), qu'il n'a toutefois pu mettre en évidence. Mais le soufre formé ne nous est pas apparu uniformément poreux (photo 43e De façon à prouver que le solide qui recouvre les grains de minerai et cause aînsi la limitation de la cinétique est une phase bien différente

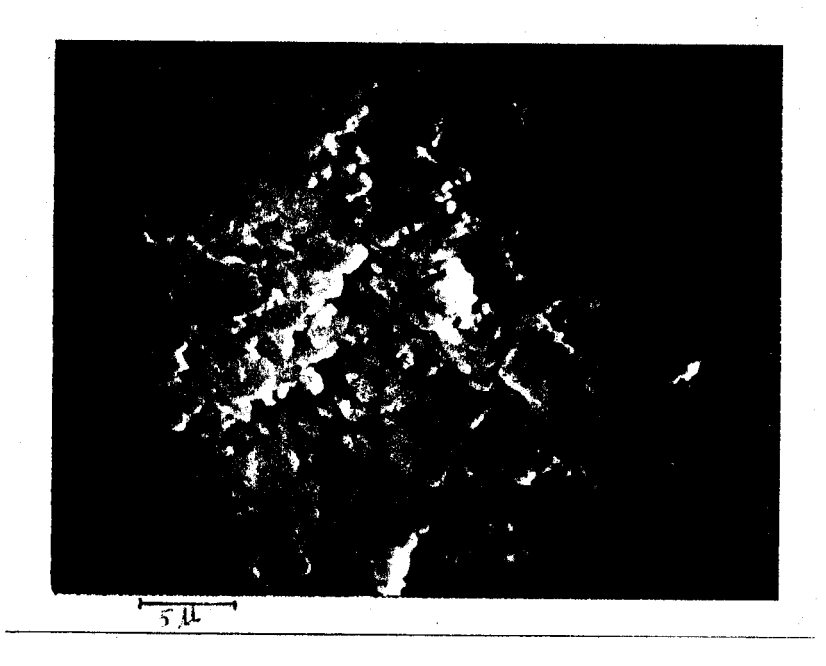


Photo a - Le soufre apparaît compact



Photo b - le soufre apparaît poreux

#### PHOTOS 43:

Observation du dépôt de soufre par microsonde à balayage électronique Conditions de lixiviation : cf. Photos 42

Grossissement: 2500

de la chalcopyrite, une manipulation a été effectuée avec une agitation par ultra-sons, comme le proposent ZELIKMAN et ZVEREV (150).

L'accroissement observé par rapport aux moyens classiques d'agitation

l'avait déjà été par RUSIKHINA et OZOLIN (151) : il ne permet

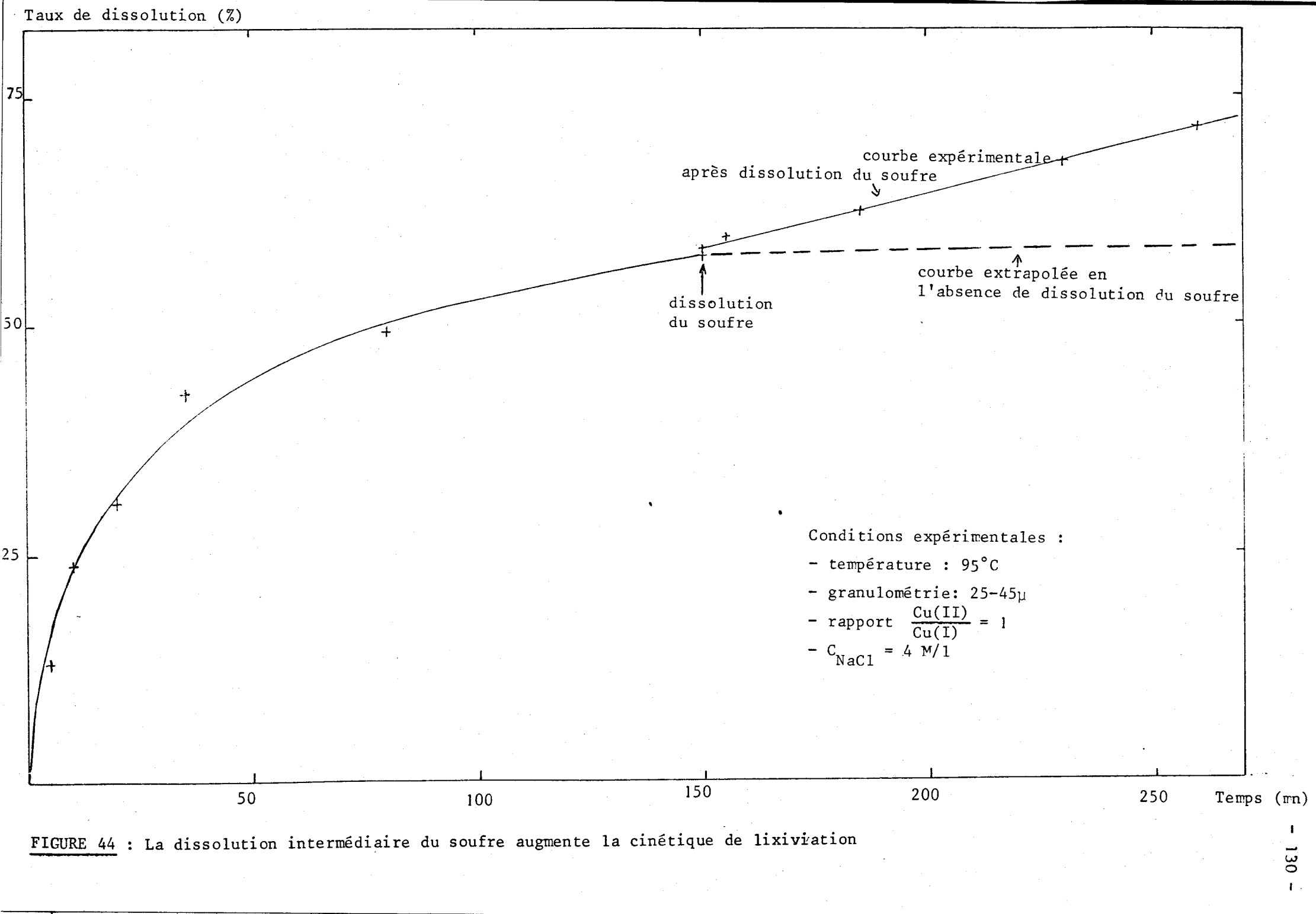
toutefois de tirer de conclusion au sujet de la nature de l'étape

limitative.

Une autre méthode que nous avons mise en oeuvre a consisté à laver intermédiairement les grains de minerai partiellement attaqué par des solvants du soufre (perchloroéthylène, xylène, alcool) : la cinétique observée après ce lavage est supérieure , malgré les pertes de minerai, à ce qu'elle était auparavant, prouvant ainsi la limitation causée par le soufre (fig. 44). Toutefois, ERMILOV, après avoir souligné l'effet positif d'un dissolution intermédiaire du soufre (53), le nie quelques années plus tard (54). En fait, la nature des minerais traités est certainement fondamentale et peut expliquer l'apparition de phases intermédiaires observées par BURKIN (66) qui a opéré sur de la chalcopyrite synthétique.

. Il aurait été possible d'imaginer, à la suite du résultat obtenu après le lavage du minerai par un solvant organique, de mettre en oeuvre une extraction du soufre dans le réacteur -même de lixiviation. Toutefois, les pertes de solvant, déjà très importantes selon LUCAS et RITCEY (152), dans le cas de l'extraction liquide-liquide de l'uranium en pulpe, le seraient encore plus dans le cas présent où il est nécessaire que la phase organique soit en contact avec les particules de minerai.

Au niveau des modèles proposés, le facteur important concernant la solution était le gradient existant entre celle-ci et l'interface minerai-solide déposé. Or, au cours du présent travail, c'est le rôle du potentiel redox de la solution, et non de la concentration de l'oxydant en solution, qui est apparu fondamental : il n'est pas difficile de passer de l'un à l'autre, puisque le potentiel redox d'une solution est simplement lié au logarithme du rapport des concentrations en oxydant et réducteur. Une confirmation de l'idée de l'importance du potentiel de la solution a été apporté par les résultats obtenus au cours d'une manipulation menée dans des conditions assez analogues à celles de KAMETANI (121), où le potentiel était régulé par l'addition de KMnO4 avec une concentration faible d'ions cuivriques et cuivreux dans le milieu (0,2 M/1 de CuCl2 et 0,2 M/1 de CuCl



pour 7g de minerai). Les résultats obtenus lors d'une telle manipulation, où le rapport  $\frac{Cu(II)}{Cu(I)}$  était fixé à un par addition de KMnO4, la température de 100°C et la granulométrie utilisée, 45-56  $\mu$  sont bien en accord avec ceux que laissaient prévoir les résultats obtenus précédemment, où le rapport  $\frac{Cu(II)}{Cu(I)}$  restait sensiblement constant en raison de la valeur élevée du rapport  $\frac{Cu(II)}{\min \text{rai}}$ . Le tableau ci-dessous le prouve bien, puisque les différences observées sont relativement faibles :

Constante K dans le cadre des modèles	н <sub>2</sub>	Н3	<sup>H</sup> 4
Résultats obtenus	0,498 10 <sup>-3</sup>	0,369 10 <sup>-3</sup>	0,869 10 <sup>-2</sup>
Résultat prévus	0,512 10 <sup>-3</sup>	0,396 10 <sup>-3</sup>	0,908 10 <sup>-2</sup>
Différence	2,8 %	7,1 %	3,2 %

De nombreux auteurs se sont rendus compte de l'importance du potentiel redox de la solution, mais ont exprimé cette idée de manière peu scientifique en parlant comme MUIR et col (153), du rôle de catalyseur des ions  $\mathrm{Cu}^{2+}$  pour la lixiviation de sulfures de zinc et de plomb: la comparaison des deux systèmes  $\mathrm{HC1/O_2/CuCl_2}$  et  $\mathrm{Cl_2/CuCl_2}$  aurait pourtant dû les mener à une telle conclusion.

Dans le second système, si la réaction se prolonge, la sélectivité diminue, probablement à cause de l'élèvation du potentiel de la solution, c'est-à-dire que la pyrite est à son tour lixiviée et que le soufre est en partie oxydé à l'état de sulfate. En effet, PETERS (146) précise que, en milieu ferrique (Eo=770mV), la pyrite n'est pas attaquée et c'est donc à fortiori le cas en milieu cuivrique complexant (E≈600mV); d'autre part, concernant l'oxydation du sulfure, la transformation sélective en soufre élémentaire est due, en milieu cuivrique, toujours selon PETERS, à des phénomènes d'ordre cinétique. Mais toutes ces données sont bouleversées si le couple redox fixant le potentiel n'est plus Cu(II)/Cu(I), mais Cl<sub>2</sub>/Cl dont le potentiel normal est de 1,39V. Toutefois, le potentiel redox de l'agent oxydant n'est pas le seul paramètre régissant la cinétique de lixiviation : dans la partie V du présent travail, il a été bien précisé que l'assimilation du potentiel de la réaction à celui de la solution à intensité nulle était une approximation, dont nous avons d'ailleurs justifié

le fondement dans le cas de nos manipulations. En effet, BAEV et ORLOV (154) insistent sur le fait que la vitesse de lixiviation correspond au courant d'échange entre le minéral et la solution, qui est fonction de l'allure relative des courbes intensité-potentiel des divers systèmes électrochimiques mis en jeu; or ces courbes peuvent se déplacer si la concentration de certaines espèces varie ou si la nature de la phase solide évolue au cours de la réaction.

#### Conclusion

Dans la première partie de cette étude, l'intérêt de la voie chlorure au niveau industriel a été souligné : il est essentiellement motivé par la transformation sélective du sulfure en soufre élémentaire et la sélectivité de l'attaque de la chalcopyrite par rapport à la pyrite. Le milieu cuivrique présente, de plus, l'intérêt d'avoir une régénération relativement aisée.

Les réactions aussi bien au niveau de la phase solide qu'en solution, sont apparues fort complexes et ont été décrites en faisant quelques approximations simplificatrices. Bien des points paraissent intéressants à approfondir dans le cadre de la poursuite de travaux dans ce domaine :

- l'étude du comportement électrochimique de la chalcopyrite.
- la thermodynamique des solutions complexes utilisées.
- l'observation de la phase solide à l'aide de méthodes plus sophistiquées (spectrométries E.S.C.A. et des électrons Auger, ...)
- l'étude du génie chimiqué de la réaction pour aider à l'extrapolation industrielle, en particulier au niveau des fines granulométries.

A la suite du présent travail, des conclusions ont pu être tirées concernant la lixiviation de la chalcopyrite en milieu chlorure cuivrique:

- le processus limitatif de la cinétique apparaît être à température supérieure à 85°C la diffusion des espèces à travers une couche solide sous l'effet d'un gradient de potentiel; l'observation du minerai lixivié à prouvé que c'est du soufre qui enrobe les grains de minerai. L'influence de la granulométrie est venue confirmer cette idée.
- le rôle du potentiel redox de la solution, qui doit être très proche de celui auquel se déroule la réaction. L'augmentation de la cinétique de la dissolution en fonction de la concentration en chlorure correspond à l'influence de celle-ci sur le potentiel redox du couple Cu(II)/Cu(I).

- le rôle de la température est déterminant : il paraît exclu de travailler industriellement à basse température, étant donné que la cinétique de lixiviation est alors trop lente. L'influence de la température est liée à celle du potentiel redox, car l'énergie d'activation de la réaction est une fonction décroissante du potentiel des solutions de lixiviation.

La continuation des travaux dans ce domaine pourrait faire le lien entre les influences observées des divers paramètres étudiés dans le cadre du calcul du "courant d'échange" des divers systèmes redox présents dans le milieu. Les cinétiques de lixiviation obtenues confirment l'intérêt industriel de ce milieu à température élevée, tout en mettant l'accent sur le ralentissement observé en fin de réaction : un taux d'extraction élevé en un temps de séjour du minerai de quelques heures sera obtenu, soit en opérant dans des conditions plus astreignantes de température et en passant sous pression, soit en utilisant des techniques délicates à mettre en oeuvre industriellement (modes d'agitation particuliers tels que les ultra-sons, attrition, dissolution intermédiaire du soufre formé, ...).

#### BIBLIOGRAPHIE

- (1) YUND et KULLERUD
  Thermal stability of assemblages în the Cu-Fe-S system
  J. of Petrology, 7, p. 454-488 (1966)
- (2) HABASHI Quelques aspects modernes de la métallurgie chimique L'Ingénieur, 59, p. 19-23 (sept 1973)
- (3) GERLACH, PAWLEK et Co1 L'influence de la structure du réseau de composés métalliques sur leur aptitude à la lixiviation Erzmetall, 25, n°9, p. 448-453 (1972)
- (4) FERREIRA et BURKIN
  Acid leaching of chalcopyrite
  Leaching and Reduction in Hydrometallurgy, p. 54-66, 1MM (1975)
- (5) KING, MAH et PANKRATZ

  Thermodynamic properties of copper and its inorganic compounds
  INCRA Monograph II (The Metallurgy of copper) (1973)
- (6) PEMSLER et WAGNER
  Thermodynamic investigations on chalcopyrite
  Metal. Trans. B, 6B, n°2, p. 311-320 (Juin 1975)
- (7) WOODCOCK
  Some aspects of the oxidation of sulphide minerals in aqueous suspension
  Proceedings of the Austr. I.M.M., n°198, p.47-84 (1961)
- (8) BALBERYSZSKI
  Hydrometallurgy in the mineral industries
  Mineral Industries Bulletin, 13, n°1, p. 1-18 (1970)
- (9) FORWARD et WARREN
  Extraction of metals from sulphide ores by wet methods
  Metallurgical Reviews, 5, p. 137-164 (1960)
- (10) WADSWORTH
  Advances in the leaching of sulphide minerals
  Minerals Sci. Engng, 4, n°4, p. 36-47(1972)
- (11) ROMAN et BENNER
  The dissolution of copper concentrates
  Minerals Sci Engng, 5, n°1, p. 3-24 (1973)

- (12) YU, HANSEN et WADSWORTH
  A kinetic study of the leaching of chalcopyrite at elevated temperatures
  Metallurgical Transactions, 4, p. 2137-2144 (Sept. 1973)
- (13) ICHIKUNI
  Dissolution deseminerais sulfurés en divers milieux (II)
  Bull. Chem. Soc. Japan, 33, p. 1052-7 (1960)
- (14) ERMILOV
  Hydrochloric acid method for processing a copper-lead zinc sulphide concentrate.
  Vest. Akad. Nauk. Kazakh S.S.R, 24, n°11, p. 43-9 (1968)
- (15) DUTRIZAC, MAC DONALD et INGRAHAM

  The kinetics of dissolution of chalcopyrite in aqueous acidic ferric sulfate solutions

  Trans. A.I.M.E., 245, p. 955-9 (mars 1969)
- (16) SHANTZ et MORRIS
  Dichromate process demonstrated for leaching of copper sulfide concentrates
  Engng Mining Journal, 176, n°5, p. 71-3 (1974)
- (17) PETERS et LOEWEN
  Pressure leaching of copper minerals in perchloric acid solutions
  Metall. Trans. 4,p.5-14 (Janv. 1973)
- (18) DOBROKHOTOV et MAIAROVA
  Kinetics of the autoclave leaching of white matte
  J. Appl. Chem of U.S.S.R., 36, n°10, p. 2080-5 (1963)
- (19) PETERS et MAJIMA
  Electrochemistry of sulphide dissolution in hydrometallurgical systems.
  VIII International Mineral Processing Congress, Léningrad (1968)
- (20) DOBROKHOTOV et MAIAROVA
  Kinetics of autoclave leaching of chalcopyrite
  J. Appl. Chem. U.S.S.R., 35,n°8,p. 1637-1642 (1962)
- (21) WARREN
  A study of the acid pressure leaching og chalcopyrite, chalcocite, and covellite
  Austral. J. of Applied Science, 9, n°1, p. 36-51 (1958)
- (22) VISZOLYI, VELTMAN, WARREN et MACKIW

  Copper and elemental sulphur from chalcopyrite by pressure leaching,
  J. of Metals, 19, p. 52-59 (Nov. 1967)
- (23) STANCZ YK et RAMPACEK
  Oxidation leaching of copper sulphides in acidic pulps at elevated temperatures
  U.S. Bur. of Mines R. I. 6193 (1963)

- (24) PRATER et QUENEAU
  The sulfation of copper-iron sulphides with concentrated sulfuric acid
  J. of Metals, 22 , p. 23-27 (Déc. 1970)
- (25) BRAUN, LEWIS et WADSWORTH
  In place leaching of primary sulfide ores: laboratory leaching data and kinetics model
  Metall Trans., 5, p. 1717-25 (Août 1974)
- (26) BJORLING et KOLTA Wet oxidation as a method of utilisation of chalcopyrite, sphalerite, and molybdenite. J. Chem. UAR, 12, n°3,p423-435 (1969)
- (27) PRATER, QUENEAU et HUDSON Nitric acid route to processing copper concentrates Trans. S.M.E. A.I.M.E., 254, n°2, p. 117-122 (1973)
- (28) HABASHI
  Action of nitric acid on chalcopyrite
  Trans. S.M.E. A.I.M.E., 253, n°3, p. 224-230 (1973)
- (29) CARNAHAN et HEINEN Simulated in situ leaching of copper from a porphyry ore U.S. Bur. of Mines, TPR 69 (mai 1973)
- (30) SHERMAN et STRICKLAND
  Dissolution of lead sulphide ores in acid chlorine solutions
  Trans. A.I.M.E., 299, P795-800 (Juin 1957)
- (31) SHERMAN et STRICKLAND
  Dissolution of pyrite ores in acid chlorine solutions
  Trans A.I.M.E., 209,p1386-8 (oct 1957)
- (32) FORTUNATOV et Col Chlorination of sulphide ores by chlorine in liquid sulfur chloride Soviet. Progr. in chemistry, 32, n°4p 406-411 (1965)
- (33) JACKSON et STRICKLAND

  The dissolution of sulphide ores in acid chlorine solutions

  Trans. A.I.M.E., 212, p. 373-9 (Juin 1958)
- (34) GROVES et SMITH
  Reactions of copper sulphide minerals with chlorine in aqueous systems
  U.S. Bur. of Mines RI7801 (1974)
- (35) HAVER et WONG
  Recovering elemental sulfur from non-ferrous minerals
  U.S. Bur. of Mines RI7474 (1971)
  Recovery of copper, iron, sulfur from chalcopyrite concentrate using a ferric chloride leach
  J. of Metals, 23, p. 25-29 (Fév. 1971)

- (36) DUTRIZAC et MAC DONALD

  Percolation leaching of bornite ore

  Proc. Australas. IMM, 245, p. 25-31 (mars 1973)
- (37) ZIMMERLEY, MALOUF et Col (Kennecott Copper Corp.)
  pH adjusted controlled-iron-content, cyclic leaching processes for
  copper bearing rock materials
  U.S. Pat. 3,330, 650 (Juil 1975)
- (38) ORTLOFF et COOKE (Esso Prod. Res. Comp.)
  Mineral recovery
  U.S. Pat. 3, 574, 599 (avr. 1971)
- (39) DUTRIZAC
  Ferric ion as a leaching medium
  Minerals Sci. Engng, 6, p. 59-10 (1974)
- (40) THOMAS, INGRAHAM et MAC DONALD
  Kinetics of dissolution of synthetic digenite and chalcocite in aqueous ferric sulphate solutions
  Can. Met. Quart. 6, n°3, p. 281-292 (1967)
- (41) THOMAS, INGRAHAM
  Kinetics of dissolution of synthetic covellite in aqueous ferric sulfate solutions
  Can. Met. quart., 6, n°2, p. 153-165 (1967)
- (42) DUTRIZAC, MAC DONALD

  The kinetics of dissolution of covellite in acidified ferric sulphate solutions

  Can. Met. Quart., 13, n°3, p. 423-433 (1973)
- (43) DUTRIZAC, MAC DONALD et INGRAHAM

  The kinetics of dissolution of bornite in acidic ferric sulphate solutions

  Metall. Trans., 1, p. 225-231 (Janv. 1970)
- (44) DUTRIZAC, Mac DONALD, et INGRAHAM

  The kinetics of dissolution of cubanite in aqueous acidic ferric sulphate solutions

  Metall. Trans., 1, p. 3083-8 (Nov. 1970)
- (45) DUTRIZAC et MAC DONALD

  The kinetics of dissolution of enargite in acidified ferric sulphate solutions

  Can. Met. Quart., 11, n°3, p. 469-476 (1972)
- (46) BECKSTEAD, MUNOZ, SEPULVEDA, HERBST, MILLER, OLSON et WADSWORTH Acid ferric sulfate leaching of attritor-ground chalcopyrite concentrate
  Int. Symp. on Copper Extraction and Refining Las Vegas (Fév. 1976)
- (47) DUTRIZAC, MAC DONALD et INGRAHAM

  Effect of pyrite, chalcopyrite and digenite on rate of bornite dissolution in acidic ferric sulphate solutions

  Can. Met. Quart, 10, n°1, p.3-7 (1971)

- (48) DUTRIZAC et MAC DONALD

  The effect of some impurities on the rate of chalcopyrite dissolution
  Can. Met. Quart., 12, n°4, p.409-420 (1973)
- (49) ICHIKUNI
  Action des ions du fer trivalent sur la chalcopyrite
  Bull. of the Chem. Soc. of Japan, 35, p. 1765-8 (962)
- (50) AMMOU-CHOKROUM
  Aspects électrochimiques de la dissolution des sulfures et minerais sulfurés
  Bulletin de la Société Française de Minéralogie et Cristallographie
  98, p. 121-9 (1975)
- (51) NAGARAJ et VAJU
  Electro-hydrometallurgical recovery of copper from chalcopyrite con concentrates
  Master of Science Thesis, Indian Institute of Science, Bangalore (août 1974)
- (52) KLETS et LIOPO

  Behavior of chalcopyrite in salt leaching
  Tr. Irkutsk. Politekh. Inst., 27, p. 123-130 (1966)
- (53) ERMILOV
  Lixiviation de concentrés polymétalliques avec dissolution simultanée du soufre
  Tr. Inst. Met. I. Obogash., 3, p. 168-183 (1960)
- (54 ERMILOV, TKACHENKO, et TSEFT
  Cinétique de la dissolution de la chalcopyrite en milieu chlorure
  £rrique
  Tr. Inst. Met. I. Obogash, 30, p. 3-14 (1969)
- (55) CONDE Contribution à la valorisation des amas pyriteux. Etude de la cinétique de dissolution de la chalcopyrite par les sels ferriques Thèse de Docteur-Ingénieur, Univ. de Nancy (Juillet 1974)
- (56) JONES
  The leaching of chalcopyrite
  Ph. D. Thesis- Univ. of Br. Columbia (Mai 1974)
- (57) BLAZY
  La lixiviation des sulfures Application à la minéralurgie
  Industrie Minérale; Minéralurgie, p. 193-202 (Nov. 1973)
- (58) SCHANTZ et FISCHER
  Leaching chalcocite with cyanide
  Engng and Mining Journal, Vol. 117, n° 10, p. 72-4 (1976)
- (59) KUHN, ARBITER, KLING
  Anaconda's Arbiter process for copper
  C.I.M. Bull,67, n° 742, p. 62-73 (1974)
- (60) TSEFT, ABLANOV et Col.
  Sur le traitement des concentrés du cuivre après élimination du plomb et du zinc
  Tr Inst. Met. I. Obogash, 8, p.107-112 (1963)

- (61) CATHRO
  Recovery of copper from chalcopyrite concentrates by means of sulphur activation, cupric chloride leach and electrolysis
  Proc. Australas. IMM , 252, p. 2-11 (1974)
- (62) PARKER
  Hydrometallurgy of copper in solvent mixtures
  Search, 4, n°10, p. 426-432 (1973)
- (63) CATHRO
  Segregation and acetonitrile leaching tests on Ukaparinga copper ore
  Proc. Autralas. IMM, 248, p. 17-21 (Déc. 1973)
- (64) PARKER, MUIR, GILES et Co1

  The leaching of copper from sulphur activated chalcopyrite with cupric sulphate in nitrile-water mixtures

  Hydrometallurgy, 1, p. 169-181 (1975)
- (65) MAJIMA
  How oxidation effects selective flotation of complex sulphide ores.
  Can. Met. Quart.; 8, n°3; p. 269-273 (1969)
- (66) PETERS
  The physical chemistry of hydrometallurgy
  International Symposium on Hydrometallurgy, p. 205-228 Chicago (1973)
- (67) FERREIRA

  High-temperatures F-pH diagrams for the systems S-H<sub>2</sub>O, Cu-S-H<sub>2</sub>O and Fe-S-H<sub>2</sub>O Leaching and reduction in hydrometallurgy,

  IMM p. 67-85; (1975)
- (68) BURKIN
  The winning of non-ferrous metals Proc. R. Soc. Lond. A., 338, p. 419-437 (1976)
- (69) BAUR, GIBBS et WADSWORTH
  Initial stage of sulfuric acid leaching kinetics of chalcopyrite
  using radiochemical techniques
  U;S. Bur. of Mines, RI7823 (1974)
- (70) CHEN et HARVEY
  Cation self-diffusion in chalcopyrite and pyrite
  Met. Trans. B., 63, p. 331-9 (Juin 1975)
- (71) HISKEY et WADSWORTH
  Galvanic conversion of chalcopyrite
  Met. Trans. B., 6B, p. 183-190 (mars 1973)
- (72) COMINCO LTD
  Procédé hydrométallurgique de traitement de sulfures complexes de cuivre et de fer
  Brevet Fr. 2.128-615 (Oct 1972)
- (73) SHIRTS, WINTER, BLOOM et POTTER
  Aqueous reduction of chalcopyrite concentrates with metals
  U.S. Bureau of Mines, RI7953 (1975)

- (74) NICOL
  Mechanism of aqueous reduction of chalcopyrite by copper, iron and lead
  Trans. IMM Sect. C; 84, n° 829, p.C.206 -9 (1975)
- (75) A.N.V.A.R.

  Procédé pour la valorisation des produits sulfurés contenant des métaux

  Brevet Fr 2.225.528 (Nov 1974)
- (76) BLAZY, VESTIER, CUNIN et HOUOT Copper leaching from pyritic ores Int. Symp. on Copper extraction and refining, p. 738-751, Las Vegas (Fév. 1976)
- (77) BIEGLER et CONSTABLE
  Upgrading and activation of chalcopyrite concentrate
  Trans. IMM Sect C, 85, p. 23-29 (mars 1976)
- (78) SUBRAMANIAN et JENNINGS
  Review of the hydrometallurgy of chalcopyrite concentrates
  Can. Met. Quart, 11, n°2, p. 387-400 (1972)
- (79) DASHER
  Hydrometallurgy for copper concentrates
  CIM Bull., 66, p. 48-56 (mai 1973)
- (80) UGARTE
  Hidrometalurgia de concentrades da cobre
  Minerales, 28, n° 122, p. 21-6 (1973)
- (81) PAYNTER
  A review of copper hydrometallurgy
  J. South Afr. IMM, 74, n°4, p. 158-170 (1973)
- (82) ROSENZWEIG

  Copper makers look to sulfide hydrometallurgy
  Chem. Engng, 83, n°1, p. 79-81 (1976)
- (83) WADSWORTH
  Annual review of extraction and process metallurgy
  Metallurgical Processes Hydrometallurgy
  J. of Metals, 28, p. 4-8 (mars 1976)
- (84) BJORLING
  Leaching of mineral sulphides by relative oxvdation at normal pressure
  Inst. Symp. on Hydrometallurgy p. 701-717, Chicago (1973)
- (85) BJORLING, FALCT, LINDGREN et TOROMANOV
  A nitric acid route in combination with solvent extraction for hydrometallurgical treatment of chalcopyrite
  Inst. Symp. on Copper Extraction and Refining. p. 725-737, Las Vegas
  (1976)
- (86) E.I. DUPONT DE NEMOURS
  Procédé Hydrometallurgique de récupération du cuivre à partir de minerais enrichis sulfurés
  Brevet Fr. 2.190.928 (Fév. 1974)

- (87) KENNECOTT COPPER CORP
  Nitric acid process for recovering metal values from sulfide
  ore materials containing iron sulfides
  U.S. Pat. 3, 793, 429 (1974)
- (88) INT. NICKEL COMP of CANADA Lessivage oxydant de minerais sulfurés Brevet Fr. 2.173-175 (Oct. 1973)
- (89) ANACONDA CO.

  Récupération de métaux

  Brevet Fr 2.175.074 (Oct 1973)
- (90) ARBITER, MILLIGAN et MAC CLINCY
  Metal production from copper ammine solution with sulfur oxide
  Symp. on Hydrometallurgy, I. Ch. E, p. 11-19, Manchester (Avril 1975)
- (91) FONSECA
  Ammonia-oxidative leach of chalcopyrite
  C.I.M. Bull, 67, n° 747, p. 105-110 (Juillet 1974)
- (92) GERLACH, GOCK et GHOSH

  Activation and leaching of chalcopyrite concentrates with dilute sulfuric acid

  Inst. Symp. on Hydrometallurgy, p. 403-416, Chicago (1973)
- (93) BIANGARDI et PIETSCH

  The treatment of sulphidic copper ores by the Lurgi-Mitterberg Process

  Symp. on Hydrometallurgy , I. Ch. E., p. 5.1-5.7. Manchester (Avr. 1975)
- (94) HAVER, BAKER et WONG
  Improvements in the ferric chloride leaching of chalcopyrite
  concentrates
  U.S. Bur. of Mines, RI 8007 (1975)
- (95) HAYER et WONG Ferric chloride-basic leaching of galena concentrate U.S. Bur. of Mines, RI 8105 (1976)
- (96) COMINCO LTD Copper Hydrometallurgy Can. Pat. 938.793 (Déc 1973)
- (97) HOEPFNER
  Electrolytic production of metals
  U.S. Pat. 507,130 (Août 1893)
- (98) HOEFF NER et ORTH
  Leaching and extraction of metals from their ores
  U.S. Pat. 704, 639 (Juil. 1902)
- (99) CHAMBER'S PROCESS LTD Procédé de préparation de cuivre métallique Brevet Fr. 2.127.007 (Oct 1972)

- (100) DU PONT DE NEMOURS
  Récupération de métaux à partir de concentrés de minerais.
  Brevet Fr. 2.193.092 (Fév. 1974)
- (101) SOC. MIN. METAL. PENNAROYA
  Procédé perfectionné pour l'obtention de cuivre à partir de minéraux
  cuprifères
  Brevet Fr. 2.271.304 (Déc. 1975)
- (102) DEMARTHE, GANDON et GEORGEAUX
  A new hydrometallurgical process for copper
  Int Symp. on Copper Extraction and Refining, p. 825-848, Las Vegas(1976)
- (103) SOC. MIN. METAL. PENNAROYA Procédé pour l'obtention du cuivre à partir de concentrés sulfurés. Brevet Fr. 2.271.303 (Déc. 1975)
- (104) KUNDA, HITESMAN et VELTMAN

  Treatment of sulphidic copper concentrate in chloride systems

  Int. Symp. on Copper extraction and refining, p. 793-813, Las'Vegas

  (1976)
- (105) CYPRUS MET. PROC. CORP.

  Procédé électrolytique de dissociation des métaux à partir de leurs sulfures
  Brevet Fr. 2.180.661 (Nov. 1973)
- (106) ALLEN et KRUESI

  Cymet electrometallurgical process fortuating base metal sulfide concentrates

  Joint Meeting MMIJ AIME, Tokyo, Print T. IVb 4 (mai 1972)
- (107) KRUESI, ALLEN et LAKE

  Cymet process-hydrometallurgical conversion of base-metal sulphide
  to pure metals

  C.I.M. Bull., 66, p. 81-7 (Juin 1973)
- (108) KRUESI
  Cymet copper reduction process
  Mining Congress Journal, 60, p. 22-3 (Sept 1974)
- (109) CYPRUS MET. PROC. CORP.
  Procédé d'oxydation des sulfures métalliques en milieu aqueux
  Brevet Fr. 2.276.258 (Janv. 1973)
- (110) DUYAL CORP.
  Procédé hydrometallurgique de production de cuivre
  Brevet Fr. 2.157.835 (Juin) 1973)
- (111) DRESHER
  Chemical Processing
  Mining Engng, 27, n°2, p. 58-60 (1975)
- (112) DUVAL CORP.

  Procédé hydrometallurgique de production du cuivre
  Brevet Fr 2.257.697 (Août 1975)

- (113) JANSEN et MILLIGAN
  Development in sulfur disposal techniques in hydrometallurgy
  J. of Metals, 27, n°1, p. 13-27 (1975)
- (114) LANGER, KAUN et NAMETZ
  Cupric chloride hydrometallurgical process for copper recovery from scarp
  J. of Metals, 28, n°7, p. 9-14 (1976)
- (115) TURPIN

  Etude de l'électrooxydation comme acide à la lixiviation de minerais pauvres.

  Contrat D.G.R.S.T. 73-7-1495 (1975)
- (116) BENOIT et DERANSART les mesures physico-chimiques dans l'industrie Technique et Documentation - Entreprise Moderne d'Edition (1976)
- (117) WADSWORTH
  Hydrometallurgy, course proposed by the T.M.S. Continuing
  Education (1973)
- (118) HABASHI
  Principles of extractive metallurgy,
  Gordon and Breach (1970)
- (119) MADSEN, WADSWORTH et GROVES Application of a mixed kinetics model to the leaching of low grade copper sulfide ores, Trans. - SME-AIME , 258, n° 1, p. 69-75 (1975)
- (120) NICOL, NEEDES, et FINKELSTEIN
  Electrochemical model for the leaching of uranium dioxide
  Leaching and reduction in hydrometallurgy
  I.M.M., p. 1-19 (1975)
- (121) KAMETANI
  Some aspects of anodic oxidation of sulphide suspension for direct
  electrowinning of metals
  Joint Meeting on Cell Design in Electrowinning and in Electrorefining
  Southampton (Juil 1974)
- (122) GLODZINSKA et ZEMBURA Solubility of cuprous chloride in hydrochloric acid at 25°C Rocziniki Chemii, 48, p. 341-3 (1974)
- (123) CHALTYKJAN
  Properties of cuprous complexes
  Zhurnal Obshchej Khimi, 18, p. 1626-1638 (1948)
- (124) HURLEN
  Electrochemical behaviour of copper in acid chloride solutions
  Acta Chemica Scandinavica 15, p. 1231-8 (1961)

## (125) AHRLAND et RAWSTHORNE

The stability of metal halide complexes in aqueous solution VII - The chloride complexes of copper (I).

Acta Chemica Scandinavica 24, p. 157-172 (1970)

## (126) VASIL'EV et KUNIN

Thermodynamic characteristics of the reactions for the formation of copper (I) chloro-complexes in aqueous solutions.

Russian Journal of Inorganic Chemistry, 20, n°7, p. 1050-3; (1975)

## (127) LOURIE

Aide-mémoire de chimie analytique Editions Mir (Traduction française), (1975)

## (128) HELGESON

Thermodynamic of hydrothermal systems at elevated temperatures and pressures
American Journal of Science - 267, p. 729-804 (été 1969)

## (129) BJERRUM

Studies on acido-complex formation - I - Optical investigations of CuCl<sub>2</sub> in mixture with other chlorides.

Kgl - Danske Vidensk. Selsk. Mat-Fys Medd. ,22, N° 18, (1946)

#### (130) GRIMALDI et LIBERTI

Quantitative determination of the equilibria of copper, cobalt, nickel and cadmium ions in chloride solutions by mean of ion-exchange papers
Journal of Chromatography, 15,p510-3 (1964)

## (131) ASHURST

The thermodynamics of formation of chlorocomplexes of nickel and copper(II) in perchlorate medium
National Institute for Mettallurgy, Report n° 1712 (mai:1975)

# (132) KHAN et SCHWING-WEILL

Stability and electronic spectra of copper (II) chloro-complexes in aqueous solutions
Inorganic Chemistry, 15, n° 9, p. 2202-5 (1976)

## (133) BROMLEY

Thermodynamic properties of strong electrolytes in aqueous solutions.

A. I. Ch. E. Journal, 19, n°2, p. 313-320 (1973)

- (134) COGNET M-C1.

  Thermodynamique de l'extraction liquide-liquide du cuivre(II) par un échangeur cationique à partir de solutions aqueuses concentrées en chlorure et sulfate de sodium.

  Thèse de docteur-ingénieur, Strasbourg (1977)
- (135) SUCHA et URNER
  Détermination titanométrique de Cu (IetII) et Fe (II et III)
  Collection Czechoslov. Chem. Commun., 29, p. 1612-7 (1964)
- (136) PITZER et KIM
   Thermodynamics of electrolytes Activity and osmotic coefficients
   for mineral electrolytes
   J. of the Amer. Chem. Soc., 96, n°18, p 5701-7 (1974)
- (137) KUSIK et MEISSNER

  Calculating activity coefficients in hydrometallurgy: a review.

  Int. J. of Mineral Processing, 2, p. 105-115 (1975)
- (138) BECKSTEAD et MILLER
  Ammonia oxidation leaching of chalcopyrite-Reaction kinetics
  Metall Trans B,8B, N°1, p. 19-29 (mars 1977)
- (139) MUNOZ-RIBADENEIRA et GOMBERG
  Leaching of chalcopyrite (CuFeS<sub>2</sub>) with sodium chloride sulfuric acid solutions.

  Nuclear Technology, 11, p. 367-371 (Juil. 2971)
- (140) THAKUR, SAROS et ASHA GUPTA
  Effect of sodium nitrate and sodium chloride on acid leaching of
  chalcopyrite
  Journal of Mines, Metals and Fuels, p. 118-123 (Avril 1976)
- (141) DUTRIZAC et MAC DONALD

  The effect of sodium chloride on the dissolution of chalcopyrite under simulated dump leaching conditions

  Metallurgical transactions, 2, p.2310-2 (Août 1971)
- (142) BONAN, CARLY et SIBUT-PINOTTE
  Electrooxydation des chalcopyrites
  Industrie Minérale (en cours de parution)
- (143) BRITTAN
  Variable activation energy model for leaching kinetics
  Int. Journal of Mineral Processing, 2, p. 321-331 (1975)
- (144) AMMOU-CHOKROUM et col Oxydation ménagée de la chalcopyrite en solution acide : analyse cinétique des réactions. (Communication privée)
- (145) Joint Committee on Powder Diffraction Standards Selected powder diffraction data for minerals J.C.P.D.S., lère édition (1974)

- (146) PETERS
  Direct leaching of sulfides: chemistry and applications
  Metall. Trans. B, 7B, p. 505-517 (Déc. 1976)
- (147) DE LA CUADRA et Col Cinnabar leaching in a chloride medium using oxigen as oxidiser Ier Congreso International del Mercurio, T.I , p. 369-375, Barcelone (1974)
- (148) TSEFT et TARTARINOVA
  Methods of selective extraction of iron, copper and sulfur from copper concentrates of central Kazakhstan
  Vest. Akad. Nauk. Kazakh., S.S.P., 14, n° 8, p. 32-42 (1958)
- (149) LUNGE
  A study of chalcopyrite dissolution in acidic ferric nitrate by potentiometric titration
  Hydrometallurgy, 2, p. 51-64 (1976)
- (150) ZELIKMAN et ZVEREV Intensification and development of leaching processes in hydrometallurgy Izv. Vyssh. Uchebn. Zavedn. Cvetn. Metall., 18, n°1, p. 19-25 (1975)
- (151) RUSIKHINA et OZOLIN

  Effect of an ultrasonic field on the leaching of copper ores

  Mater. Uses. Karf. Fiz.-Khim. Metod. Razrab.

  Mestowzhd. Polez. Iskop., p..86-107 (1969)

  d'après Chem. Abstr., 79, 33919r (1973)
- (152) LUCAS et RITCEY
  Use of additives to reduce solvent losses in a uranium solvant-inpulp process
  C.I.M. Bulletin, 68,n°6, p. 95-102 (1975)
- (153) MUIR, GALE, PARKER, et GILES
  Leaching of the Mac Arthur River lead-zinc sulphide concentrate
  in aqueous chloride and chlorine systems
  Proc. Australas. I.M.M., n° 259, p. 23-35 (Sept 1976)
- (154) BAEV et ORLOV Electrochemical mechanism of the dissolution of sulphides Soviet. Non-ferrous Metals Research, 3, n°5, p. 182-4 (1975)
- (155) MEYERS, KAMERSMA et KRAFT
  SO<sub>2</sub> pressure leaching of copper ore
  Environmental Science and technology, 9, n°1, p. 70-1 (1975)
- (156) ROSSINI, WAGMAN, EVANS, LEVINE et JAFFE
  Selected values of chemical thermodynamic properties
  Circular of the National Bureau of Standards n° 500, U.S.Dept of
  Commerce (1952)

#### ANNEXE

## PROGRAMME DE TRAITEMENT DES DONNEES

Le programme dont l'organigramme et le listing suivent permet tout d'abord de lire les données qui se présentent sous forme d'un ensemble de points (X, y) où X représente le temps de réaction et y le pourcentage d'extraction. A partir des modèles, les ordonnées Y sont calculées à partir des pourcentages d'extraction. A la suite d'un simple calcul de régression linéaire sont alors calculés.

- la pente de la droite (qui représente la pseudo-constante cinétique) :

$$A = \frac{N.SXY - SX.SY}{N.SX^2 - SX.SX}$$

- l'ordonnée à l'origine :

$$\frac{\text{SY.SX}^2 - \text{SX.SXY}}{\text{N.SX}^2 - \text{SX.SX}}$$

- la variance sur les Y:

$$\frac{\text{SY}^2 - \text{SY.SY}}{\text{N}} - \text{A.} \frac{\text{SXY} - \text{SX.SY}}{\text{N}}$$

- la variance sur la pente :

$$\frac{\text{SY}^2 - \text{SY.SY}}{\text{N}} - \text{A.} \frac{\text{SXY} - \text{SX.SY}}{\text{N}} \cdot \frac{\text{N}}{\text{N}-2}$$

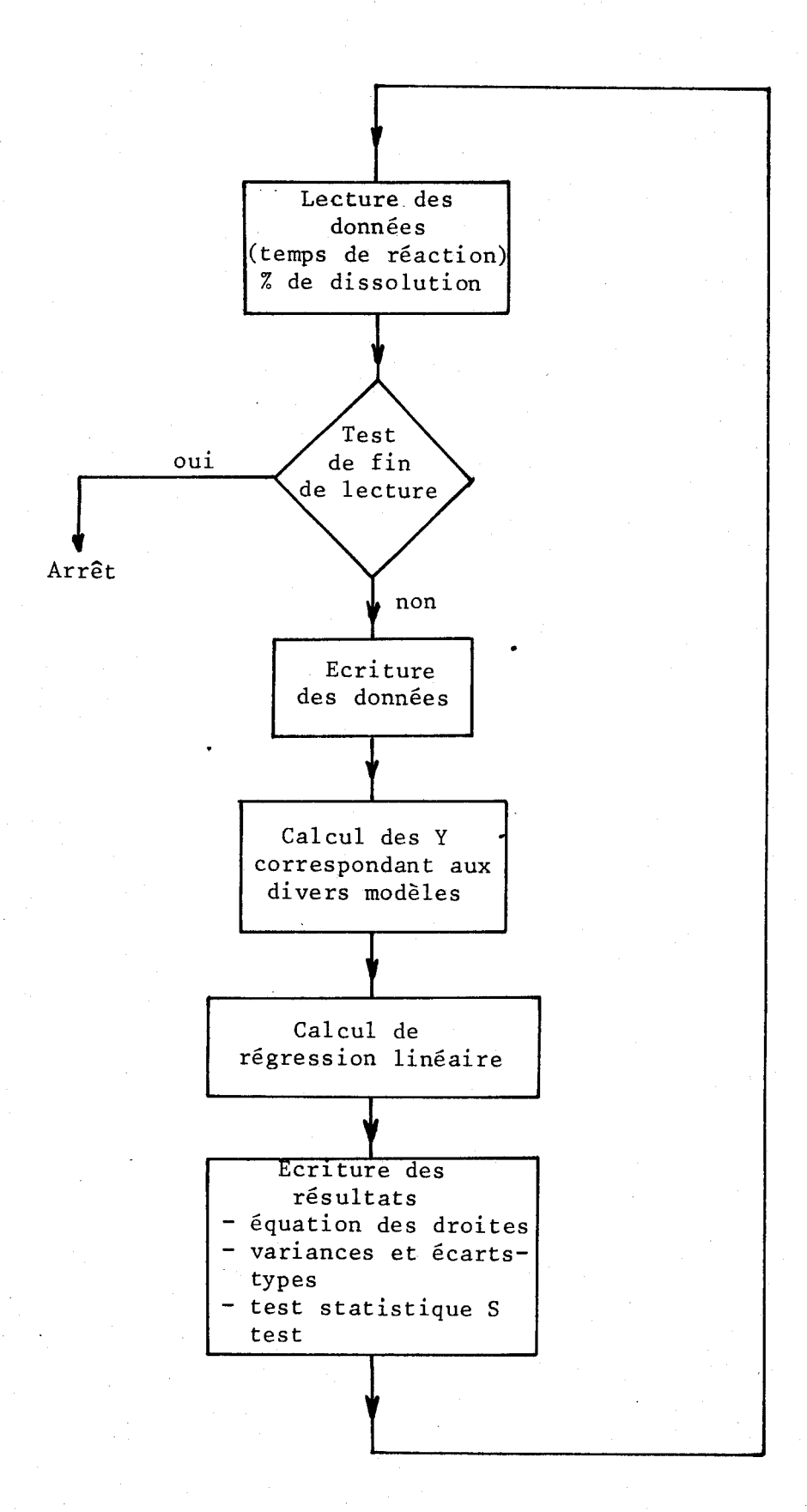
$$\frac{\text{N.SX}^2 - \text{SX.SX}}{\text{N}} \cdot \frac{\text{N}}{\text{N}-2}$$

- la variance sur l'ordonnée à l'origine :

$$\frac{\text{SY}^2 - \text{SY.SY}}{\text{N}} - \text{A.} \frac{\text{SXY} - \text{SX.SY}}{\text{N}} \cdot \frac{\text{SX}^2}{\text{N.SX}^2 - \text{SX.SX}}$$

\* SX représente la somme des X (temps de réaction)

	- L		
SY	$\mathbf{r} = \left( \mathbf{r} \cdot \mathbf{H} \cdot \mathbf{r} \right)$	11	Y (ordonnée calculée dans le cadre d'un modèle)
sx <sup>2</sup>		11	des X au carré
$SY^2$	11	**	des Y au carré
SXY	11	11	des X.Y
N		**	de points



ORGANIGRAMME DU PROGRAMME DE TRAITEMENT DES DONNEES

```
DECIDENCE POLICIPAL
泰泰泰安安安安安安安安安安安安安安安安安安安安安
```

```
SHEROUTING LECTUR(x,Y,TITRE,N,-42-X)

OIMENSION X(1).Y(1).TITRE(1)

COMMON/CNTSOR/LEC.IMP

101 FORMAT(RE10.4)

102 FOR ALLIGA4.I4)

200 FORMAT(//20X.1G44/)

OFAD(LEC.102.EN)=1) (TITRE(I).I=1.1)

FAG(LEC.101) (X(I).Y(I).I=1.1)

FIUR

TUR

E 1
```

- les écarts-types qui sont les racines carrées de la variance
- l'écart statistique S test =  $\frac{\text{N."écart-type sur les Y"}}{\text{SY}}$

```
2-1 F: WMAT(4(F11.3.E19.5))
                                                                                                                                                                                                                                                                                                                                                                                                                                                                                                                                                                                                                                                                                                                                                                                                                                                                                                                                                                                                                                                                                                                                                                                                                                                                                                                                                                                                                                                                                                                                                                                                                                                                                                                                                                                                                                                                                                                                                                                                                                                                                                                                                                                                                                                                                                                                                                                                                                                                                                                                                                                                                                                                                                                                                                                                                                                                                                                                                                                                                                                                                                                                                                                                                                                                                                                                                                                                                                                                                                                                                                                                                                                                                                                                                                                                                                                                                                                                                                                                                                                                                                                                                                                                                                                                                                                                                                                                                                                                                                                                                                                                                                                                                                                                                                                                                                        200 FOUNDT(//4(3X+244+10X+244+IX)/)
                                                                                                                                                                                                                                                                                                                                                                                                                                                                                                                                                                                                                                                                                                                                                                                                                                                                                                                                                                                                                                                                                                                                                                                                                                                                                                                                                                                                                                                                                         wwitte() ~P.201) X(MU(1)).Y(M(1))
1 = 10 = (1) \cdot 1 = 1 \cdot 4
                                                                                                                                                                                                                                                                                                                                                                                                                                                                                                                                                                                                                                                                                                                                                                                                                                                                                                                                                                                                                                                                                                                                                                                                                                                                                                                                                                                                                                                                                                                                                                                                                                                                                                                                                                                                                                                                                                                                                                                                                                                                                                                                                                                                                                                                                                                                                                                                                                                                                                                                                                                                                                                                                                                                                                                                                                                                                                                                                                                                                                                                                                                                                                                                                                                                                                                                                                                                                                                                                                                                                                                                                                                                                                                                                                                                                                                                                                                                                                                                                                                                                                                                                                                                                                                                                                                                                                                                                                                                                                                                                                                                                                                                                   FORMUT(/30%.IJ. POINTS!/)
                                                                                                                                                                                                                                                                                                                                                                                                                                                                                                                                                                                                                                                                                                                                                                                                                                                                                                                                                                                                                                                                                                                                                                                                                                                                                                                                                                                                                                                                                                                                                                                                                                                                                                                                                                                                                                                                                                                                                                                                 \text{**oltr}(\text{Imp.201}) \times (\text{I}) \cdot \text{Y}(\text{I}) \cdot \text{X}(\text{J}) \cdot \text{Y}(\text{J}) \cdot \text{X}(\text{K}) \cdot \text{X}(\text{K}) \cdot \text{X}(\text{L}) \cdot \text{Y}(\text{L})
                                                                                                                                                                                                                                                                                                                                                                                                                                                                                                                                                                                                                                                                                                                                                                                                                                                                                                                                                                                                                                                                                                                                                                                                                                                                                                                                                                                                                                                                                                                                                                                                                                                                                                                                                                                                                                                                                                                                                                                                                                                                                                                                                                                                                                                                                                                                                                                                                                                                                                                                                                                                                                                                                                                                                                                                                                                                                                                                                                                                                                                                                                                                                                                                                                                                                                                                                                                                                                                                                                                                                                                                                                                                                                                                                                                                                                                                                                                                                                                                                                                                                                                                                                                                                                                                                                                                                                                                                                                                                                                                                                                                                                                                                                                                                                                                                                                                                                                                                                                                                            COMMODIVENTSORVEDO TAP
                                                                                                                                                                                                                                                                                                                                                                                                                                                                                                                                                                                                                                                                                                                                                                                                                                                                                                                                                                                                                                                                                                                                                                                                                                                                                                                                                                                                                                                                                                                                                                                                                                                                                                                                                                                                                                                                                                                                                                                                                                                                                                                                                                                                                                                                                                                                                                                                                                                                                                                                                                                                                                                                                                                                                                                                                                                                                                                                                                                                                **ITF(| SP.200) (AND (I) . [=1.
                                                                                                                                                                                                                                                                                                                                                                                                                                                                                                                                                                                                                                                                                                                                                                                                                                                                                                                                                                                                                                                                                                                                                                                                                                                                                                                                                                                                                                                                                                                                                                                                                                                                                                                                                                                                                                                                                                                                                                                                                                                                                                                                                                                                                                                                                                                                                                                                                                                                                                                                                                                                                                                                                                                                                                                                                                                                                                                                                                                                                                                                                                                                                                                                                                                                                                                                                                                                                                                                                                                                                                                                                                                                                                                                                                                                                                                                                                                                                                                                                                                                                                                                                                                                                                                                                                                                                     #/N=1%
                                                                                                                                                                                                                                                                                                                                                                                                                                                                                                                                                                                                                                                                                                                                                                                                                                                                                                                                                                                                                                                                                                                                                                                                                                                                                                                                                                                                                                                                                                                                                                                                                                                                                                                                                                                                                                                                                                                                                                                                                                                                                                                                                                                                                                                                                                                                                                                                                                                                                                                                                                                                                                                                                                                                                                                                                                                                                                                                                                                                                                                                                                                                                                                                                                                                                                                                                                                                                                                                                                                                                                                                                                                                                                                                                                                                                                                                                                                                                                                                                                                                                                                                                                                                                                                                                                                                                                                                                                                                                                                                                                                                                                                                                                                                                                                                                                                                                                                                                                                                                                                                                                                                                                                                                                                                                                                                                          SHARRINTING MONTHE (x.Y.ANDH.)
                                                                                                                                                                                                                                                                                                                                                                                                                                                                                                                                                                                                                                                                                                                                                                                                                                                                                                                                                                                                                                                                                                                                                                                                                                                                                                                                                                                                                                                                                                                                                                                                                                                                                                                                                                                                                                                                                                                                                                                                                                                                                                                                                                                                                                                                                                                                                                                                                                                                                                                                                                                                                                                                                                                                                                                                                                                                                                                                                                                                                                                                                                                                                                                                                                                                                                                                                                                                                                                                                                                                                                                                                                                                                                                                                                                                                                                                                                                                                                                                                                                                                                                                                                                                                                                                                                                                                                                                                                                                                                                                                                                                                                                                                                                                                                                                                                                                                                                                                                                                                                                                                                                                                                                 \mathbb{C}\operatorname{IMEMSION}(X(1),Y(1),ANOM(1),m/(3))
                                                                                                                                                                                                                                                                                                                                                                                                                                                                                                                                                                                                                                                                                                                                                                                                                                                                                                                                                                                                                                                                                                                                                                                                                                                                                                                                                                                                                                                                                                                                                                                                                                                                                                                                                                                                                                                                                                                                                                                                                                                                                                                                                                                                                                                                                                                                                                                                                                                                                                                                                                                                                                                                                                                                                                                                                                                                                                                                                                                                                                                                                                                                                                                          In (N2.85.1) NO(1) +21+1
                                                                                                                                                                                                                                                                                                                                                                                                                                                                                                                                                                                                                                                                                                                                                                                                                                                                                                                                                                                                                                                                                                                                                                                                                                                                                                                                                                                                                                                                                                                                                                                                                                                                                                                                                                                                                                                                                                                                                                                                                                                                                                                                                                                                                                                                                                                                                                                                                                                                                                                                                                                                                                                                        0 1 [=] + 1
                                                                                                                                                                                                                                                                                                                                                                                                                                                                                                                                                                                                                                                                                                                                                                                                                                                                                                                                                                                                                                                                                                                                                                                                                                                                                                                                                                                                                                                                                                                                                                                                                                                                                                                                                                                                                                                                                                                                                                                                                                                                                                                                                                                                                                                                                                                                                                                                                                                                                                                                                                                                                                                                                                                                                                                                                                                                                                                                                                                                                                                                                                                                                                                                                                                                                                                           IF (N2.35.2) No (2) = 21+1
                                                                                                                                                                                                                                                                                                                                                                                                                                                                                                                                                                                                                                                                                                                                                                                                                                                                                                                                                                                                                                                                                                                                                                                                                                                                                                                                                                                                                                                                                                                                                                                                                                                                                                                                                                                                                                                                                                                                                                                                                                                                                                                                                                                                                                                                                                                                                                                                                                                                                                                                                                                                                                                                                                                                                                                                                                                                                                                                                                                                                                                                                                                                                                                                                                                                                                                                                                                                                                                                                                    15 (82.55.3) MU(3)=81+1
                                                                                                                                                                                                                                                                                                                                                                                                                                                                                                                                                                                                                                                                                                                                                                                                                                                                                                                                                                                                                                                                                                                                                                                                                                                                                                                                                                                                                                                                                                                                                                                                                                                                                                                                                                                                                                                                                                                                                                                                                                                                                                                                                                                                                                                                                                                                                                                                                                                                                                                                                                                                                                                                                                                                                                                                                                                                                                                                                                                                                                                                                                                                                                                                                                                                                                                                                                                                                                                                                                                                                                                                                                                                                                                                                                                                                                                                                                                                                                                                                                                                                                                                                                                               2112-44 ]
                                                                                                                                                                                                                                                                                                                                                                                                                                                                                                                                                                                                                                                                                                                                                                                                                                                                                                                                                                                                                                                                                                                                                                                                                                                                                                                                                                                                                                                                                                                                                                                                                                                                                                                                                                                                                                                                                                                                                                                                                                                                                                                                                                                                                                                                                                                                                                                                                                                                                                                                                                                                                                                                                                                                                                                                                                                                                                                                                                                                                                                                                                                                                                                                                                                                                                                                                                                                                                                                                                                                                                                                                                                                                       (3) = -
                                                                                                                                                                                                                                                                                                                                                                                                                                                                                                                                                                                                                                                                                                                                                                                                                                                                                                                                                                                                                                                                                                                                                                                                                                                                                                                                                                                                                                                                                                                                                                                                                                                                                                                                                                                                                                                                                                                                                                                                                                                                                                                                                                                                                                                                                                                                                                                                                                                                                                                                                                                                                                                                                                                                                                                                                                                                                                                                                                                                                                                                                                                                                                                                                                                                                                                                                                                                                                                                                                                                                                                                                                                                                                                                                                                                                                                                                                                                                                                                            ( ) ::
                                                                                                                                                                                                                                                                                                                                                                                                                                                                                                                                                                                                                                                                                                                                                                                                                                                                                                                                                                                                                                                                                                                                                                                                                                                                                                                                                                                                                                                                                                                                                                                                                                                                                                                                                                                                                                                                                                                                                                                                                                                                                                                                                                                                                                                                                                                                                                                                                                                                                                                                                                                                                                                                                                                                                                                                                                                                                                                                                                                                                                                                                                                                                                                                                                                                                                                                                                                                                                                                                                                                                                                                                                                                                                                                                                                                                                             (2) =
                                                                                                                                                                                                                                                                                                                              \mathbb{R}^{n} + (0 \times \mathbb{R}^{n} \times 291) + \mathbb{X}(-91(1)) + \mathbb{X}(-91(1)) + \mathbb{X}(-91(2)) + \mathbb{X}(-91(3)) + 
                                                                                                                                                                                                                                                                                                                                                                                                                                                                                                                                                                                                                                                   (2) = \oplus (1) + \oplus \cup (1)
                                                                                                                                                                                                                                                                                                                                                                                                                                                                                                                                                                                                                                                                                                                                                                                                                                                                                                                                                                                                     \operatorname{IT}^{-1}(\mathbb{R},\mathbb{R},\mathbb{R},\mathbb{S}) = \operatorname{X}(\operatorname{All}(\mathbb{R})) \cdot \operatorname{X}(\operatorname{All}(\mathbb{R})) \cdot \operatorname{X}(\operatorname{All}(\mathbb{R})) \cdot \operatorname{X}(\operatorname{All}(\mathbb{R}))
                                                                                                                                                                                                                                                                                                                                                                                                                                                                                                                                                                                                                                                                                                                                                                                                                                                                                                                                                                                                                                                                                                                                                                    (2) = (1) + (1) (1)
                                                                                                                                                                                                                                                                                                                                                                                                                                                                                   (3) = 30(1) + 40(2)
                                                                                                                                                                                                                                                                                                                                                                                                                                                                                                                                                                                                                                                                                                                                                                                                                                                                                                                                                                                                                                                                                                                                                                                                                                                                                                                                                                                                                                                                                                                                                                                                                                                                  10 (7.8,4,5) .22
                                                                                                                                                                                                                                                                                                                                                                                                                                                                                                                                                                                                                                                                                                                                                                                                                                                                                                                                                                                                                                                                                                                                                                                                                                                                                                                                                                                                                                                                                                                                                                                                                                                                                                                                                                                                                                                                                                                                                                                                                                                                                                                                                                                                                                                                                                                                                                                                                                                                                                         ) ( ] )
                                                                                                                                                                                                                                                                                                                                                                                                                                                                                                                                                                                                                                                                                                                                                                                                                                                                                                                                                                                                                                                                                                                                                                                                                                                                                                                                                                                                                                                                                                                                                                                                                                                                                                                                                                                                                                                                                                                                                                                                                                                                                                                                                                                                                                                                                                                                                                                                                                                                                                                                                                                                                                                                                                                                                                                                                                                                                                                                                                                                                                    • ( ) • ( [ ) • [ = 1 • 4 ) • ( LNOM( ] ) • [ = 1 • 4 )
```

ند ند لد سـ <mark>ن ن</mark>د

14 V

+ 4

-( C. L 7

```
17.
                                                 +
               F(I) = 190.4F(I) - 71.
                                                                                                                                                                                               111 2 111
                                                                                                                                                                                                                                             STAROUTING CALED (Y*F****EY)
  · TUJ.
                                                                                                                                                                                                                              とのイニスピイナ1
                               F(I) = (1.40.29*Y(I)) **(2./3.)+6.2**(1.47(1)) **(2./3.)
                                                                                                                                                                               F(I) = 1. - (1. - 7(I)) **(1.73.)
                                                                                                                                                                                                              SO TO (1.3,5.7). KEY
                                                                                ((1)=1.-Y(1)*2./3.-(1.-Y(1))**(2./3.)
                                                                                                                                            + ===
                                                                                                                                                                E TURE
                                                                                                                               (1) = (1) = (1)
                                                                 - TU-: :
                                               J. [1]
                                                                                               j 1=1.
```

```
71 · 51 P · (1) ***
                               アニ) リケー・オンシン(ア))
                                                                                                                                                                                                                                                                                                                                                                          COLPRINTE F COUNTY (NAME AND STANKE OF
                                                                                - 1 (名) 中 - 2 (1) 年刊 | 1 (1 ) / il
                                                                                                                                                                                                                                                                                                                                         7 HO.
                                                                                                  ・2(1) # (、メンー、アネ・アノデ
                                                                                                                                                                                                                                                                                                                         かって用る。
                                                                                                                                  1 0 H
                                                                                                                                                                                  ・・/コッド/+イ(三) 歩て(三)
                                                                (人(3) ロ・人(1) ※5・タイト
                                                                                                                                                                                                                   14 ( のパスリングール ( なん・イ) / こ
                                                                                                                                                   (オキにこうべく・) ネジメントノスポンド
                                                                                                                                                                                                     くけりく+く(ご)
-1
                                                                                                                                                                     (1) 144 (1) 1411 | 111
                                                                                                                                                                                                                                                                                                       li
C
                                                                                                                                                                                                                                                                                                                                                          x(1) *Y(1) *>< (3) * 5(3)
                                                                                                    T(-)))/rL--T(;--)
```

;

;

```
erafizarziikarakia CE Sor Limbon MFE a LippiGinE=1481zan/264,te
                                                                                                                                                                                                                                                                                                         1 Pt 15: 11 52(1) + 5(1)
                                                                                                                                                                                                                                                                                                                                    ---[(4]:..IST-ST#1.r[12.5]
                                                                                                                                                                                                                          TO VELL TICENZOS CONTROLARITATIVES SUR LA PRATERIO EL PRATERIO.
(32(1)
                                                                                                          "EF " 110-11-6=1.612.5//)
                                                                                                                                                                                        THE TELL TO THE PENTS
                                                                                                                                                                                                                    Y=1,511.5+1:4 +1.611.6//)
                                                                                                                                                                                                                                              77 Tellister / - 1.611.47/)
```

# A N N E X E 2 CALCULS THERMODYNAMIQUES CONCERNANT

## LA LIXIVIATION DE LA CHALCOPYRITE EN MILIEU CHLORURE

Dans cette étude ont été observées les influences de la nature des chlorocomplexes et de la température sur la thermodynamique de la réaction de lixiviation. Il a été supposé que, dans la réaction de base, qui s'écrit :  $\text{CuFeS}_2$  +  $3\text{Cu(II)} \longrightarrow 4\text{Cu(I)}$  + Fe(II) + Fe(II) +  $2\text{S}^\circ$ , les ions cuivriques étaient, soit sous forme de  $\text{Cu}^{2+}$ , soit complexés à l'état de  $\text{CuCl}^+$  ou de  $\text{CuCl}^1_2$ ; quant aux ions cuivreux, ils sont supposés être sous forme de  $\text{CuCl}^{\frac{1}{2}}_2$  ou de  $\text{CuCl}^{\frac{1}{2}}_3$ .

Les données sur les ions et espèces de bases sont tirées des recueils de ROSSINI et col (156), de HEGELSON (129) et de KING et col (5), ce dernier pour les espèces solides à base de cuivre. A partir des données rapportées (AH°, S°, capacités calorifiques moyennes entre T et 298°K Cp  $1_{298°K}^{T°K}$  les enthalpies et enthalpies libres de formation ont été calculées à 333°K et à 373°K.

$$\begin{cases} \Delta H^{T^{\circ}K} = \Delta H_{f}^{\circ} + C_{p} \end{bmatrix}_{298^{\circ}K}^{T^{\circ}K} (T - 298) \\ \Delta G^{T^{\circ}K} = \Delta G_{f}^{\circ} + C_{p} \end{bmatrix}_{298^{\circ}K}^{T^{\circ}K} (T - 298) - T.Log \frac{T}{298} - S^{\circ}(T - 298) \end{cases}$$

Le tableau A ci-dessous donne les résultats obtenus

Espèce	AH° (kela/mole)	S° cal/mole°K		Cp <sup>333°</sup> K (ca1/mole°K			Cp <sup>373°</sup> K (cal/mole°K)		
CuFeS <sub>2</sub>	- 45,5	29,87	- 45,55	23,71	- 45,5	- 45,56	24,66	- 45,46	- 45,57
Cu <sup>2+</sup>	15,39	- 23,6	15,53	49	17,10	16,26	65	20,26	16,73
Cu <sup>+</sup>	12,4	9,4	12,0	33	13,55	11,61	44	15,7	10,91
cı -	- 40,02	13,17	- 31,35	<del>-</del> 51	- 41,73	- 31 <b>,</b> 71	- 58	- 44,3	- 31,83
Fe <sup>2+</sup>	- 21,0	- 27,1	- 20,3	50	- 19,25	- 19,45	66	- 16,05	- 18,84
S°	0,0	7,62	0,0	5 <b>,</b> 55	0,2	- 0,28	5,7	0,43	- 0,62

TABLEAU A: Données thermodynamiques concernant les ions de base et les espèces non ioniques présentes dans le milieu.

A partir des données sur les divers chlorocomplexes de cuivre rapportées par HEGELSON (129), la variation moyenne de la chaleur spécifique de la réaction entre la température désirée et 298°K,  $^{\Delta}$  Cp $^{\dagger}$  a été calculée à partir de la formule suivante déduite de la loi de VAN'T HOFF :

$$\Delta Cp \int_{298^{\circ}K}^{T} = \frac{\left[\log K_{298^{\circ}K} - \log K_{T}\right] - \frac{\Delta H^{\circ}}{2,303R} \left(\frac{1}{T} - \frac{1}{298}\right)}{\frac{\Gamma - 298}{2,303 \text{ RT}} - \frac{\log \frac{T}{298}}{R}}$$

avec  $R = 1,98 \text{ cal/mole}^{\circ} K$ 

Dans le tableau B sont rapportées les données thermodynamiques concernant les réactions de complexation des ions cuivreux et cuivriques

Reaction	∠H° kcal mole deg l	ΔS°. cal mole deg	1οg Κ <sup>25°C</sup>	log K <sup>60°</sup> C	ΔC <sub>1</sub> ] 60°C 25°C <sub>1</sub> al mole deg -1	log K <sup>100°</sup> C	∆Cp] 25°C
$Cu^+ + 2C1^- \rightleftharpoons CuC1_2^-$	- 0,42	21,2	4,94	4,94	+ 0,025	5,06	- 23,32
$Cu^+ + 3C1^- \rightleftharpoons CuC1_3^=$	+ (),26	24,4	5,14	5,18	- 3,35	5,39	- 48,56
$cu^{2+}+c1^{-} \rightleftharpoons cuc1^{+}$	+ 8,65	29,1	0,01	0,53	- 43,64	1,54	-297,5
$cu^{2+} + 2c1 \implies cucl_2$	+10,56	. 32,2	- 0,69	- 0,06	- 52,87	1,15	-357,75

[ABLEAU B : Données thermodynamiques concernant les réactions de complexation.

A partir des données des tableau A et B, il a été possible de calculer l'entropie ainsi que l'enthalpie et l'enthalpie libre de formation des divers chlorocomplexes de cuivre. En effet, pour la réaction  $M^{i+} + nX = MX^{(i-n)+}$  les diverses fonctions thermodynamiques de l'ion  $MX^{(i-n)+}$  complexe peuvent être déduites à partir de celles des ions  $M^{i+}$  et X, des variations d'enthalpie  $\Delta H^\circ$  et d'entropie  $\Delta S^\circ$  et de la chaleur spécifique moyenne  $\Delta Cp$  T 298°K de la réaction entre température désirée et 298°K.

$$s_{\text{complexe}}^{298\text{°K}} = s_{\text{Mi+}} + ns_{\text{X-}} + \Delta s^{\circ}$$

$$\Delta H_{\text{complexe}}^{T} = \Delta H_{\text{Mi+}}^{T} + n\Delta H_{\text{X-}}^{T} + \Delta H^{\circ} + \Delta Cp \Big]_{298\text{°K}}^{T} (T-298)$$

$$\Delta G_{\text{complexe}}^{T} = \Delta G_{\text{Mi+}}^{T} + n\Delta G_{\text{X-}}^{T} + (\Delta H^{\circ} - T \Delta S^{\circ}) + \Delta Cp \Big]_{298\text{°K}}^{T} \Big[ (T-298) - T \log \frac{T}{298} \Big]$$

Lon complexe	s <sup>298°</sup> K (cal/mole°K)	ДН <sup>298°</sup> К (kcal/mole)	ΔG <sup>298°</sup> K (kcal/mole)	ΔH <sup>333°K</sup> kcal/mole)	ΔG <sup>333°K</sup> (keal/mole)	ΔH <sup>373°K</sup> (kcal/mole)	ΔG <sup>373°K</sup> (kcal/mole)
CuC1 <sub>2</sub>	56,94	- 67,92	- 57,43	- 70,32	- 59,29	- 75,07	~ 60,87
CuC1 3	73,31	-107,19	- 89,06	-111,50	- 91;38	-120,58	- 39,00
CuC1+	18,67	- 15,91	- 15,84	- 17,5	- 16,40	- 28,96	- 14,71
CuCl <sub>2</sub>	34,94	- 53,95	- 64,21	- 59,77	- 47,22	- 87,79	- 45,26

TABLEAU C: Fonctions thermodynamiques des chlorocomplexes de cuivre à diverses températures.

A partir des résultats des tableau A et C, il a été possible de cacculer les variations d'enthalpies et d'enthalpie libre de la réaction de lixiviation suivant l'état de complexation des ions cuivreux et cuivriques et à diverses températures.

	•		•
Réaction	Température	ΔG(kcal/mole)	ΔH(kcal/mole)
•			
$CuFeS_2 + 3Cu^{2+} \longrightarrow 4Cu^{+} + Fe^{2+} + 2S^{\circ}$	25°C	+ 26,66	+ 27,93
	60°C	+ 23,37	+ 29,55
	100°C	+ 19,54	+ 32,29
CuFeS <sub>2</sub> + 3Cu <sup>2+</sup> + 8C1	25°C	_ 0,26	+ 26,25
4CuCl <sub>2</sub> + Fe <sup>2+</sup> + 2S°	60°C	- 6,43	+ 27,91
2	100°C	- 12,93	+ 23,61
CuFeS <sub>2</sub> + 3 CuC1 <sup>+</sup> + 9C1 <sup>-</sup>	25°C	- 1,32	+ 3,02
4CuCl <sub>3</sub> + Fe + 2S°	60°C	- 5,10	+ 5,57
3	100°C	- 15,30	+ 30,53
CuFeS <sub>2</sub> + 3CuCl <sub>2</sub> + 6Cl	25°C	- 4,26	- 2,71
2	60°C	- 7,53	+ 6,14
4CuC1 <sup>=</sup> + Fe <sup>2+</sup> + 2S°	100°C	- 19,14	+ 77,12

TABLEAU D : Variations d'enthalpie et d'enthalpie libre de la réaction de lixiviation suivant la nature des chlorocomplexes et la température.

Des résultats observés dans le tableau D, il est possible de tirer plusieurs conclusions :

- la réaction de lixiviation devient thermodynamiquement possible ( $\Delta G$  < 0), lorsque des ions chlorures sont introduits dans le milieu.
- la réaction est d'autant plus favorisée que la température est élevée.
- la réaction est d'autant plus favorisée que les chlorocomplexes présents ont un degré de coordination élevé avec Cl, et donc que la concentration en chlorure du milieu est forte.
  - la réaction de lixiviation apparaît devoir être endothermique.
- Or, les conclusions observées concernant l'influence des ions chlorures et de la température sont analogues à celles tirées des manipulations effectuées : cela laisserait supposer que la thermodynamique expliquerait totalement les phénomènes en jeu. Mais des calculs analogues concernant la formation de sulfate et la lixiviation de la pyrite font apparaître que ces réactions devraient également thermodynamiquement être possibles ; or, elles n'ont pas lieu, ce qui prouve bien que la thermodynamique est importante, mais que la cinétique est également fondamentale pour le type de réactions étudiées.